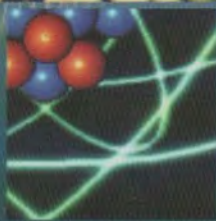


منتدى إقرأ الثقافي
www.iqra.ahlamontada.com

الدليل الهندسي الشامل

المرجع في المعادلات الرياضية والهندسية والتعمية



إعداد الدكتور المهندس أحمد بوشى

لتحميل انواع الكتب راجع: (مُنْتَدَى إِقْرَأِ النِّقَافِي)

پدای دانلود کتابهای مختلف مراجعه: (منتدی اقرا النقای)

بۆدابهزاندهی چۆرهما کتیب: سهردانی: (مُنْتَدَى إِقْرَأِ النِّقَافِي)

www.iqra.ahlamontada.com



www.iqra.ahlamontada.com

للكتيب (كوردی ، عربي ، فارسي)

الدليل الهندسي الشامل
المرجع في المعادلات الرياضية
والهندسية والعلمية

- الطبعة الأولى 2005
 - جميع الحقوق محفوظة
 - الناشر: شعاع للنشر والعلوم
- حارة الرباط 2 - المنطقة 12 - حي السبيل 2

تلغاكس : 00963 (21) 2643545

هاتف : 00963 (21) 2643546

سورية - حلب

ص.ب 7875

لمزيد من المعلومات ولشراء كتب الدار مباشرة على الانترنت

<http://www.raypub.com>

يرجى زيارة موقعنا

nabilray@scs-net.org

البريد الإلكتروني للقراء:

raymail@raypub.com

البريد الإلكتروني لدور النشر والموزعين:

الدليل الهندسي الشامل

المرجع في المعادلات الرياضية والهندسية والعلمية

إعداد

الدكتور المهندس أحمد بوشي

الإهداء

إلى من خلق الوجود لأجله
إلى منبع العلم الذي لا ينضب سيدنا محمد صلى الله عليه وسلم
أهدي هذا العمل المتواضع

أحمد بوشي

المقدمة

للمساهمة في بناء صرح التقدم العلمي ومواكبة تطوره السريع، تحتاج المكتبة العربية اليوم إلى لبنة جديدة تساعد وتدعم إنشاء هذا الصرح.

تبرز أهمية هذا الكتاب لكونه يحتوي على كافة القوانين العلمية والمعادلات الهندسية المستخدمة في شتى أنواع العلوم، بالإضافة إلى الواحدات والجداول والرسوم التوضيحية الخاصة بكل علم.

يشمل هذا الكتاب العلوم المتنوعة التالية:

- الرياضيات.
- المعلوماتية.
- الفيزياء (ويتضمن: الاهتزازات والموجات وميكانيك الموائع والحرارة والصوت).
- الفيزياء الذرية.
- الميكانيك الهندسي.
- الهندسة الكهربائية.
- الهندسة الإلكترونية.
- هندسة التحكم.
- تصميم الآلات.

المقادير والواحدات

المقادير الفيزيائية

ترتبط جميع معادلات وقوانين هذا الكتاب ارتباطاً رياضياً مع المقادير الفيزيائية، لأنها مقادير قابلة للقياس.

يتكون أي مقدار فيزيائي من جداء قيمته العددية وواحدة قياسية (مثلاً المسافة = 3m، شدة التيار الكهربائي = 6A ... الخ). يسمح في الصيغ والجداول والمخططات البيانية التعبير عن دلالات المقادير الفيزيائية برموز أو أدلة صيغة، وقد اتفقت الجمعيات العالمية المختصة بوضع مدلولات قياسية ونظامية للصيغ الهندسية والمقادير الفيزيائية.

حيث يتم بموجب هذا الاتفاق طباعة دلالات الصيغ في الكتب والمجلات العالمية (بشكل مائل) وبحيث تصلح أيضاً لدلالات الرموز، مع أنها تعتبر دلالات صيغ وليست اختصارات. يتم اشتقاق كل المقادير الفيزيائية من خلال جداءات قوى لسبعة قيم أساسية هي: (الطول، الزمن، الكتلة، شدة التيار الكهربائي، درجة الحرارة، شدة الضوء، كمية المادة).

هذه الجداءات توصف كبعد لإحدى القيم التابعة لها، حيث لا يسمح بالخطأ في واحدة المقدار لأنها غير متعلقة بنظام القياس. إن قياس المقادير الفيزيائية - الهندسية يعني المقارنة مع شيء ما، وبشكل يوافق "واحدات قياسية" محددة، وهذا ما يشكل مجموعته نظام قياس أو نظام واحداث. مع مرور الزمن تطورت أنظمة قياس كثيرة، في الغالب فقط لمجالات جزئية محددة من الفيزياء أو الهندسة وقد اشتهر نظامان في علم الميكانيك، الأول (نظام MKS) نظام هندسي متر - كيلوغرام - ثانية، والثاني (نظام CGS) نظام فيزيائي سنتيمتر - غرام - ثانية.

أما في مجال الهندسة الإلكترونية فقد تطور ذلك عن طريق إدخال نظام الأمبير MKSA، والذي أصبح اليوم جزءاً أساسياً من نظام الواحدات العالمي (SI). مع تطور هذا النظام تم إيجاد نسب واضحة في مجال الواحدات أدت إلى خفض عددها بشكل ملحوظ.



المعادلات

تستخدم المعادلات العددية بمهدف ربط المقادير الفيزيائية مع بعضها البعض بدقة، حيث يشير كل رمز من رموز¹ المعادلة إلى أحد المقادير الفيزيائية. إذا هي جداء قيم عددية مع واحدة، لذلك فإن المعادلات ذات المقادير غير المتعلقة بالواحدة المختارة تصلح من حيث المبدأ.

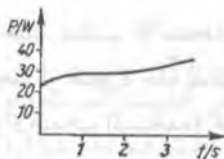
في المعادلات التي تحتوي ثوابت وقيم جدول² ربما شابه ذلك يكون من الأسهل، تعويض واحداً معينة. وهذا ينطبق على المعادلات ذات المقادير المستقلة. وتحتوي هذه المعادلات أيضاً مقادير فيزيائية، والتي تم بواسطة خط كسري (غالباً ماثل) يستخدم للواحدة المعطاة، مثلاً: $m/kg = \rho/kg \text{ dm}^{-3}, V/dm^3$

الكثافة ρ معطاة في الجداول بـ $Kg \cdot dm^{-3}$

تختصر الواحدات بعد تعويض القيم العددية والواحدات للمقادير المستقلة. كما أن عنونة رؤوس الجداول ومحاور الإحداثيات تتم بمهدف المعادلات العددية المفصولة. إن النسبة الحاصلة في قمة الجداول أو نقاط المحاور من المقدار والواحدة هي قيم عددية للمقادير المعينة المقصودة، لذا يسمح بوجود القيم العددية في الجداول أو على امتداد المحاور فقط. ومن الخطأ وضع الواحدات ضمن أقواس من الشكل [1].

للأسف تقوم بعض الكتب الهندسية بكتابة معادلات ذات قيمة عددية، وهذا صحيح فقط عند استخدام واحداً مسبقة محددة مضبوطة. كل صيغة تجسد هنا

¹ بشرط عدم وجود رموز رياضية (sin ln, e, π), ...



الشكل (1)

فقط قيمة عددية، وبذلك تكون معادلات القيم العددية مناقضة للمقولة، المقدار = قيمة عددية \times وحدة.

في هذا الكتاب تميز المعادلات ذات القيم العددية بالرمز بحجة (*).

1. نظام الواحدات العالمية (SI)

إن نظام الواحدات العالمي (SI) للمقادير الهندسية والفيزيائية والواحدات هو النظام الذي يُنصح باستخدامه في كل البلدان. إن اسم "System International d'uites" يختصر في كل اللغات بـ (SI)، وقد أقر في عام 1961 من المؤتمر العام الحادي عشر للمقاييس والأوزان. هذا النظام يشمل الواحدات SI (وهي الواحدات الأساسية لـ SI ومشتقاتها).

يستخدم نظام SI واهحدات المقادير الأساسية المذكورة سابقاً كواحدات أساسية.

رمز الواحدة	الواحدة الأساسية	الرمز	المقدار الأساسي
m	المتر	l	الطول
kg	الكيلو غرام	m	الكتلة
s	الثانية	t	الزمن
A	الأمبير	I	شدة التيار الكهربائي
K	الكالفن	T	الحرارة
mol	المول	n	كمية المادة
cd	الكانديلا	I	شدة الضوء

يمكن اشتقاق واحداث جديدة من الواحدات الأساسية كجداء قوى مع العامل l، تعطى أسماء مستقلة بذاتها (مثلاً، واط، جول، لو كس، نيوتن، الخ)، شرط كتابة الواحدة المشتقة التي تتخذ اسم شخص بحرف كبير، والواحدات الأخرى تكتب بحرف صغير.

أحياناً يتطلب الاستخدام العملي لنظام الوحدات SI التعبير عن قيم عددية كبيرة جداً أو صغيرة جداً لذلك تم توليد أضعاف أو أجزاء لهذا النظام. هذه الأجزاء والأضعاف المستخدمة عالمياً هي:

القيمة	الرمز	الأجزاء	القيمة	الرمز	الأصناف
10^{-1}	d	ديسي	10^1	da	ديكا
10^{-2}	c	سنتي	10^2	h	هيكتر
10^{-3}	m	ميلي	10^3	k	كيلو
10^{-6}	μ	ميكرو	10^6	M	ميغا
10^{-9}	n	نانو	10^9	G	جيجا
10^{-12}	p	بيكو	10^{12}	T	ترا
10^{-15}	f	فيمتو	10^{15}	P	بيتا
10^{-18}	a	أتو	10^{18}	E	اكسا

يسمح استخدام الوحدات التي لها أسماء مستقلة فقط، وذلك لتكوين الأضعاف أو الأجزاء - وترفع الوحدة إلى أس وبذلك تصلح أيضاً للأضعاف والأجزاء دون أن توضع ضمن أقواس، أي تكون مثلاً cm^3 بنفس المعنى لـ $(0.01 \text{ m})^3$.

1.1 الوحدات القياسية (النظامية)

تم خلال المؤتمرات المتعاقبة وضع قوانين ناظمة للوحدات القياسية وتم السماح باستخدامها في العلوم الهندسية والتقنية، وهذه القوانين هي:

1. نظام الوحدات SI (الوحدات الأساسية، المشتقة والمكاملة لنظام وحدات SI)

2. الوحدات القانونية الأخرى.

بالإضافة لذلك وفي الفروع الخاصة من العلوم الهندسية والتقنية هناك بعض الوحدات الأخرى المسموح بها والمحددة بفترة زمنية معينة.

2.1 استخدام الواحدات الغريبة عن SI

في مرحلة الانتقال للتطبيق الشامل لنظام SI يكون من الممكن تحديد استخدام الواحدات القياسية الأخرى. يمكن أن تظهر الصعوبات عند تطبيق قيم الجداول، والمواد الأخرى. وذلك عندما - كما هو الآن في الواحدات العامة - تكون الواحدات SI غريبة. أيضاً في الكتاب المعروض يجب أن تستخدم واحداث SI الأجنبية في معظم المجالات.

بعد ذلك يمكن للقارئ بمساعدة جداول التحويل، الانتقال من واحداث SI وأيضاً بالعكس.

أعطيت في بعض الجداول قيم المواد لواحدات SI وكذلك أيضاً لـ SI الغريبة من أجل سهولة التحويل. عندما يتم اعتبار القاعدة الأساسية، "في جميع المعادلات والحسابات تكتب دائماً واحداث المقادير"، لا يحصل أي خطأ عند إجراء عملية التحويل.

3.1 تحويلات الواحدات

القوة

N	kp	Mp	p	dyn
1	0.102	1.02×10^{-4}	102	10^3
9.81	1	10^{-3}	10^3	9.81×10^5
9.81×10^3	10^3	1	10^6	9.81×10^8
9.81×10^{-3}	10^{-3}	10^{-6}	1	981
10^{-3}	1.02×10^{-6}	1.02×10^{-9}	1.02×10^{-3}	1

الطاقة، العمل

J	kpm	kWh	kcal	erg	eV
1	0.102	2.78×10^{-7}	2.39×10^{-4}	10^7	6.24×10^{18}
9.81	1	2.72×10^{-6}	2.34×10^{-3}	9.81×10^7	6.12×10^{19}
3.6×10^6	3.67×10^5	1	860	3.6×10^{13}	2.25×10^{23}
4187	427	1.16×10^{-3}	1	4.19×10^{10}	2.61×10^{22}
10^{-7}	1.02×10^{-8}	2.78×10^{-14}	2.39×10^{-11}	1	6.24×10^{11}
1.6×10^{-19}	1.63×10^{-20}	4.45×10^{-26}	3.83×10^{-23}	1.6×10^{-12}	1

الاستطاعة

W	kW	kpm s ⁻¹	PS	cal s ⁻¹	kcal h ⁻¹
1	10^{-3}	0.102	1.36×10^{-3}	0.239	0.86
10^3	1	102	1.36	239	860
9.81	9.81×10^{-3}	1	1.33×10^{-2}	2.34	8.43
735.5	0.7355	75	1	175.7	632
4.187	4.19×10^{-3}	0.427	5.69×10^{-3}	1	3.6
1.16	1.16×10^{-3}	0.119	1.58×10^{-3}	0.278	1

الضغط

Pa = N m ⁻²	at = kp cm ⁻²	atm	bar	Torr	mm WS = kp m ⁻²
1	1.02×10^{-5}	9.87×10^{-6}	10^{-5}	75×10^{-4}	0.102
9.81×10^4	1	0.968	0.981	736	10^4
1.013×10^5	1.033	1	1.013	760	1.033×10^4
10^5	1.02	0.987	1	750	1.02×10^4

$\text{Pa} = \text{N m}^{-2}$	$\text{at} = \text{kp}$ cm^{-2}	atm	bar	Torr	mm WS $= \text{kp m}^{-2}$
133	1.36×10^{-3}	1.32×10^{-3}	1.33×10^{-3}	1	13.6
9.81	10^{-4}	9.68×10^{-5}	9.81×10^{-5}	7.36×10^{-2}	1

انتباه: عوامل التحويل مع دقة الحساب. القيم الدقيقة انظر جدول أهم الوحدات. إن وحدات SI هي في العمود الأول.

4.1 جدول لأهم الوحدات

المضاعفات والأجزاء ²	ملاحظات	العلامة	رمزها	الوحدة	الرمز	المقدار
+	SI		m	المتر (وحدة أساسية)	<i>l, s, r</i>	الطول
+	SI		m ²		A	المساحة
+	SI	$l = 10^{-3} \text{m}^3 = \text{dm}^3$	m ³	لتر	V	الحجم
	نظا		l			
+	SI	$\text{rad} = \text{m/m} = 1$	rad	راديان		الزاوية
-	نظا	$1^\circ = 1.745329 \times 10^{-2} \text{ rad}$	°	غراد		
-	نظا	$1' = 1''/60 =$ $2.908882 \times 10^{-4} \text{ rad}$	'	الدقيقة	$\alpha, \beta,$ γ, \dots	
-	نظا	$1'' = 1''/60 =$ $4.848137 \times 10^{-6} \text{ rad}$	''	الثانية		
+	SI	$\text{sr} = \text{m}^2/\text{m}^2 = 1$	Sr	ستوراديان	θ	الزاوية القميحية
+	SI		s	الثانية (وحدة أساسية)		الزمن
-	ges	min = 60 s	min	الدقيقة		
-	ges	h = 60 min = 3600 s	h	الساعة	t	
-	ges	d = 24h = 1440 min = 86400 s	d	اليوم		
+	SI	$\text{Hz} = \text{s}^{-1}$	Hz	هيرتز	f	التردد
-	نظام	$U/\text{s} = \text{s}^{-1}$	U/s	دورة/ثانية		عدد المدورات
-	نظا	$U/\text{min} = 1/\text{min} =$ $1.666667 \times 10^{-2}/\text{s}$	U/min	دورة/دقيقة	n	
-	نظا	$U/\text{h} = 1/\text{h} =$ $2.777778 \times 10^{-4}/\text{s}$	U/h	دورة/ساعة		
+	SI		$\frac{1}{\text{s}}$		n	التردد الزاوي

المضاعفات والأجزاء ²	ملاحظات	العلاقة	رمزها	الوحدة	الرمز	المقدار
+	SI		m/s		v	السرعة
/	نظا	km/h = 1/3.6 m/s	km/h			
/	SI		m/s ²		a	التسارع
+	SI	rad/s = 1/s	rad/s		ω	السرعة الزاوية
+	SI	rad/s ² = 1/s ²	rad/s ²		α	التسارع الزاوي
-	SI		kg	الكيلوغرام (واحدة أساسية)		الكتلة
+	نظا	g = 10 ⁻³ kg	g	الغرام	m	
+	نظا	t = 10 ³ kg	t	الطن		
/	SI		kg/m ³			الكتافة
/	(نظا)	kg/dm ³ = t/m ³ = 10 ³ kg/m ³	kg/dm ³		p	
/	(نظا)	g/cm ³ = kg/dm ³	g/cm ³			
		= t/m ³ = 10 ³ kg/m ³				
+	SI	N = kg·m/s ²	N	نيوتن	F	القوة
-	(نظا)	kp = 9,80665 N	kp	كيلوغرام ظلي		
+	(نظا)	p = 9,80665 mN	p	غرام ظلي	F _C	قوة الطاعة
+	(نظا)	dyn = 10 ⁻⁵ N	dyn	دينة		
+	SI	N·m = kg·m ² /s ²	N·m			عزم القوة
/	(نظا)	kp·m = 9,80665 N·m	kp·m		M	عزم الدوران
/	(نظا)	kp·cm = 10 ⁻² kp·m	kp·cm			
/	(نظا)	= 9,80665 × 10 ⁻² Nm				
/	(نظا)	p·cm = 10 ⁻⁴ kp·m	p·cm			
		= 98,0665 μNm				
+	SI	J = N·m = kg·m ² /s ²	J	جول	W, A	العمل
/	(نظا)	kpm = 9,80665 Nm	kp·m			
-	نظا	kwh = 3,6 MJ	kwh	كيلو واط ساعي		
+	(نظا)	erg = 10 ⁻⁷ J	erg	إرج	W, E	الطاقة
+	zul	eV = 1,602 × 10 ⁻¹⁹ J	eV	الالكترون فولت		
+	(نظا)	cal = 4,1868 J	cal	كالوري		
+	SI	w = J/s = kg·m ² /s ³	W	واط		الإسطمعة
/	(نظا)	kpm/s = 9,80665 W	kp·m/s		P	
-	(zul)	PS = 735,49875 W		حصان بخاري		
+	SI	Pa = N/m ² = kg/m·s ²	Pa	باسكال	P	الضغط
-	(نظا)	at = 98,0665 kps	at	الضغط الجوي		
		= 1 kp/cm ² = 10 ⁴ kp/m ²				
+	(نظا)	atm = 760 Torr	atm	الضغط الجوي القياسي		
		= 0.101325 MPa				
-	(نظا)	Torr = 133.3224 Pa	Torr	عمود ماء		
+	(نظا)	Bar = bar = 10 ⁵ Pa	bar	بار		

المضاعفات والأجزاء ²	ملاحظات	العلامة	رمزها	الواحدة	الرمز	المقدار
+	(نظا)	$mws = 0.1 \text{ at}$ $= 9.80665 \text{ kpa}$	mWS	متر عمود ماء		
-	(نظا)	$mmWS = 10^{-4} \text{ at}$ $= 9.80665 \text{ Pa}$	mWS	مليمتر عمود ماء		
+	SI	$Pa = N/m^2 = kg/ms^2$	Pa	باسكال	σ	الإجهاد
/	(نظا)	$kp/mm^2 = 9.80665 \text{ MPa}$	kp/mm ²			الميكانيكي
/	(نظا)	$Kp/cm^2 = 98.0665 \text{ kpa}$	kp/cm ²			عامل المرونة
					E	عمل
					K	الاصطدام
					G	عمل
						الإنباس
/	SI	$N/m = kg/s^2$	N/m		σ	إجهاد الشد السطحي
+	SI	$Pa.s = Ns/m^2 = kg/ms$	Pa.s	باسكال ثانية		اللزوجة
+	(نظا)	$P = 0.1 \text{ N/m}^2$	P	بوف	η	الديناميكية
-	(نظا)	$cP = 10^{-3} \text{ N/m}^2 = 1 \text{ Pa.s}$	cP	سنتي بوف		
+	(نظا)	$St = 10^{-3} \text{ m}^2/s$	St	ستوكس	ν	اللزوجة الحركية
-	(نظا)	$cSt = 10^{-4} \text{ m}^2/s = \text{mm}^2/s$	cSt	سنتي ستوكس	P	الفلج فورا
/	SI	$Ns = kg \text{ m}^2/s$	N.s			الضخم
/	SI	$N \text{ ms} = kg \text{ m}^2/s$	N.m.s		L	الفلج الديناميكي
/	SI		$kg.m^2$		J	عزم العطالة الكلي
+	SI		m^3		I	عزم عطالة المساحة
+	SI		K	كالفن (وحدة أساسية)	T	درجة الحرارة
-	(نظا)	$t = T - T_0 (T_0 = 273.15 \text{ K})$	°C	درجة مئوية	t	المطالعة
+	SI		K	كالفن		
-	(نظا)		grd	غراد	Δt	فارق درجة
-	نظا		°C	درجة مئوية	ΔT	الحرارة
-	(نظا)		°K	درجة كالفن		
+	SI	$J = Ws = N.m = kg.m^2/s^2$	J	جول	Q, W	كمية الحرارة
+	(نظا)	$\text{cal} = 4.1868 \text{ J}$	cal	كالوري		
-	(نظا)	$\text{kcal} = 4.1868 \text{ كجا}$	kcal	كيلو كالوري		
/	SI	$J/K = Ws/k = Nm/K$ $= Kg\text{m}^2/s^2K$	J/K		C	السعة الحرارية
/	(نظا)	$\text{Kcal/K} = 4.1868 \text{ كجا/K}$	kcal/K		S	الأيروبي

المضاعفات والأجزاء ²	ملاحظات	العلاقة	رمزها	الوحدة	الرمز	المقدار
/	SI	$J/kgK = m^2/s^2K$	J/Kg.K			السطح
/	(نظا)	$Kcal/kgK = 4.1868 kJ/kgk$	kcal/kg.K		c	الحرارة النوعية
/	SI	$W/m^2K = kg/s^2K$	w/m^2k		α	عامل انطال
/	(نظا)	$Kcal/m^2hK = 1.163 W/m^2K$	kcal/m^2hK			الحرارة
/	(نظا)	$cal/cm sK = 4.1868 \times 10^4 W/m^2K$	cal/cmsK		k	عامل التوصيل الحراري
/	SI	$W/mK = kgm/s^2K$	W/mK			قابلية التوصيل الحراري
/	(نظا)	$Kcal/m.h.K = 1.163 W/mK$	kcal/mhK		λ	الحرارة
+	SI		A	الأمبير (وحدة أساسية)	I	شدة التيار الكهربائي
+	SI	$C = As$	C	كولون	Q	كمية الكهرباء، الشحنة الكهربائية
+	SI	$V = W/A = kgm^2/s^2A$	V	الفولت	U	الجهد الكهربائي
+	SI	$\Omega = V/A = kgm^2/s^2A^2$	Ω	أوم	R	المقاومة الكهربائية
+	SI	$S = 1/\Omega = A/V = s^2A^2/kg.m^2$	S	سيمنس	G	لمحة التوصيل الكهربائي (مقلوب المقاومة)
+	SI	$\Omega m = V.m/A = kg m^2/s^2A^2$	Ωm	أوم.متر		المقاومة النوعية
-	نظا	$\Omega mm^2/m = 10^{-6} \Omega m = \mu\Omega m$	$\Omega mm^2/m$		P	
+	SI	$F = C/V = As/V = s^4 A^2/kg.m^2$	F	الفاراد	C	سعة المكثف
/	SI	$C/m^2 = As/m^2$	C/m^2		D	كثافة الإزاحة
/	SI	$V/m = kg.m/s^2A$	V/m		E	شدة الحقل الكهربائي
/	(نظا)	$V/cm = 10^2 V/m$	V/cm			
/	SI	$F/m = s^4 A^2/kg.m^2$	F/m		ϵ	ثابت العزلة الكهربائي

المضاعفات والأجزاء ²	ملاحظات	العلاقة	رمزها	الواحدة	الرمز	المقدار
/	SI mz	$Oe = 10/4\pi \text{ A/cm}$ $= 10^3/4\pi \text{ A/m}$ $= 79.5775 \text{ A/m}$	A/m Oe	اورستد	H	شدة الحقل المغناطيسي
+	SI nz	$Wb = Vs = \text{kg.m}^2/\text{s}^2\text{A}$ $M = 10^8 \text{ Wb}$	Wb M	ويبر ماكسويل	Φ	السدق المغناطيسي
+	SI nz	$T = Wb/m^2 = Vs/A$ $= \text{kg/s}^2\text{A}$ $G = 10^{-8}T$	T G	تسلا غوس	B	التحريض المغناطيسي
+	SI	$H = Wb/A$ $VS/A = \text{Kg.m}^2/\text{s}^2\text{A}^2$	H	هنري	L	شدة التحريض
/	SI	$H/m = Wb/A.m$ $= Vs/A.m = \text{kgm/s}^2\text{A}^2$	H/m		μ	قابلية السنط
+	SI	$Pa = N/m^2$ $= \text{kg/ms}^2$	Pa	باسكال	P	ضغط الصوت
-	(نظا)	$\mu\text{bar} = 0.1 \text{ Pa}$	μbar			
+	SI	$W/m^2 = J/s.m^2 = \text{kg/s}^3$	W/m^2		J	شدة الصوت
+	SI		cd	كندل (وحدة أساسية)	I	شدة الضوء
/	SI		cd/m^2			
+	(نظا)	$sb = \text{cd/cm}^2 = 10^4 \text{ cd/m}^2$	stilb		L	كثافة الإضاءة
-	zal	$asb = 1/\pi \text{ cd/m}^2$ $= 0.31831 \text{ cd/m}^2$	Apostilb			
+	SI	$lm = \text{cd.sr}$	lm	لومن	Φ	السدق الضوئي
+	SI	$lx = \text{lm/m}^2 = \text{Cd.sr/m}^2$	lx	لوكس	E	شدة الإضاءة
/	SI	$C/kg = \text{As/kg}$	C/kg	كولون/كغ	X	كمية الأيونات
+	(نظا)	$R = 2.58 \times 10^4 \text{ C/kg}$	R	رونجن		
+	SI	$Gy = J/kg = \text{m}^2/\text{s}^2$	Gy	غراي	D	كمية الطاقة
+	(نظا)	$rd = 10^{-3} \text{ Gy}$	rd	راد		
+	SI	$Bq = 1/s$	Bq	بيكريل	A	الإشعاع
+	(نظا)	$Cl = 3.7 \times 10^{10} \text{ Bq}$	Cl	كوري		
/	SI		mol	مول (وحدة أساسية)	n	كمية المادة
/	SI		kg/mol		M	الكثافة المولية
/	SI		m^3/mol		V_m	الحجم المولي
/	SI	$J/\text{mol.k} = \text{kg m}^2/\text{s}^2 \text{ mol.k}$	J/mol.k		C_m	سعة الحرارة المولية

(1) ملاحظات

SI : واحدة SI (أساس الواحدة أو الواحدة المشتقة)

نظا: واحدة نظامية

(نظا) : واحدة نظامية (محددة حتى زمن معين)

all : الواحدة المسموح بها (فقط في مجالات خاصة)

(all) : الواحدة المسموح بها (فقط في مجالات خاصة وحتى زمن معين)

n.all : واحدة غير مسموح بها

(2) الرموز والمضاعفات والأجزاء

+ : مسموح بها

- : غير مسموح بها

/ : واحدة مركبة، انظر الواحدات الفرعية.

$$n^2, n^3, \sqrt{n}, \frac{1}{2} \pi n^2, \pi n, \lg n \text{ für } n = 1 \dots 25$$

n	n^2	n^3	\sqrt{n}	$\frac{1}{2} \pi n^2$	πn	$\lg n$
1	1	1	1,000	0,785	3,142	0,0000
2	4	8	1,414	3,142	6,283	0,3010
3	9	27	1,732	7,069	9,425	0,4771
4	16	64	2,000	12,57	12,57	0,6021
5	25	125	2,236	19,63	15,71	0,6990
6	36	216	2,449	28,27	18,85	0,7782
7	49	343	2,646	38,48	21,99	0,8451
8	64	512	2,828	50,27	25,13	0,9031
9	81	729	3,000	63,62	28,27	0,9542
10	100	1000	3,162	78,54	31,42	1,0000
11	121	1331	3,317	95,03	34,56	1,0414
12	144	1728	3,464	113,1	37,70	1,0792
13	169	2197	3,606	132,7	40,84	1,1139
14	196	2744	3,742	153,9	43,98	1,1461
15	225	3375	3,873	176,7	47,12	1,1761
16	256	4096	4,000	201,1	50,27	1,2041
17	289	4913	4,123	227,0	53,41	1,2304
18	324	5832	4,243	254,5	56,55	1,2553
19	361	6859	4,358	283,5	59,69	1,2788
20	400	8000	4,472	314,2	62,83	1,3010
21	441	9261	4,583	346,4	65,97	1,3222
22	484	10648	4,690	380,1	69,12	1,3424
23	529	12167	4,796	415,5	72,26	1,3617
24	576	13824	4,899	452,4	75,40	1,3802
25	625	15625	5,000	490,9	78,54	1,3979
n	n^2	n^3	\sqrt{n}	$\frac{1}{2} \pi n^2$	πn	$\lg n$

$n^2, n^3, \sqrt{n}, \frac{1}{2} \pi n^2, \pi n, \lg n$ für $n = 26 \dots 50$

n	n^2	n^3	\sqrt{n}	$\frac{1}{2} \pi n^2$	πn	$\lg n$
26	676	17 576	5,099	530,9	81,68	1,4150
27	729	19 683	5,196	572,6	84,82	1,4314
28	784	21 952	5,292	615,8	87,96	1,4472
29	841	24 389	5,385	660,5	91,11	1,4624
30	900	27 000	5,477	706,9	94,25	1,4771
31	961	29 791	5,568	754,8	97,39	1,4914
32	1024	32 768	5,657	804,2	100,5	1,5051
33	1089	35 937	5,745	855,3	103,7	1,5185
34	1156	39 304	5,831	907,9	106,8	1,5315
35	1225	42 875	5,916	962,1	110,0	1,5441
36	1296	46 656	6,000	1018	113,1	1,5563
37	1369	50 653	6,083	1075	116,2	1,5682
38	1444	54 872	6,164	1134	119,4	1,5798
39	1521	59 319	6,245	1195	122,5	1,5911
40	1600	64 000	6,325	1257	125,7	1,6021
41	1681	68 921	6,403	1320	128,8	1,6128
42	1764	74 088	6,481	1385	131,9	1,6232
43	1849	79 507	6,557	1452	135,1	1,6335
44	1936	85 184	6,633	1521	138,2	1,6435
45	2025	91 125	6,708	1590	141,4	1,6532
46	2116	97 336	6,782	1662	144,5	1,6628
47	2209	103 823	6,856	1735	147,7	1,6721
48	2304	110 592	6,928	1810	150,8	1,6812
49	2401	117 649	7,000	1886	153,9	1,6902
50	2500	125 000	7,071	1963	157,1	1,6990
n	n^2	n^3	\sqrt{n}	$\frac{1}{2} \pi n^2$	πn	$\lg n$

$n^2, n^3, \sqrt{n}, \frac{1}{2} \pi n^2, \pi n, \lg n$ für $n = 51 \dots 75$

n	n^2	n^3	\sqrt{n}	$\frac{1}{2} \pi n^2$	πn	$\lg n$
51	2601	132651	7,141	2043	160,2	1,7076
52	2704	140608	7,211	2124	163,4	1,7160
53	2809	148877	7,280	2206	166,5	1,7243
54	2916	157464	7,348	2290	169,6	1,7324
55	3025	166375	7,416	2376	172,8	1,7404
56	3136	175616	7,483	2463	175,9	1,7482
57	3249	185193	7,550	2552	179,1	1,7559
58	3364	195112	7,616	2642	182,2	1,7634
59	3481	205379	7,681	2734	185,4	1,7709
60	3600	216000	7,746	2827	188,5	1,7782
61	3721	226981	7,810	2922	191,6	1,7853
62	3844	238328	7,874	3019	194,8	1,7924
63	3969	250047	7,937	3117	197,9	1,7993
64	4096	262144	8,000	3217	201,1	1,8062
65	4225	274625	8,062	3318	204,2	1,8129
66	4356	287496	8,124	3421	207,3	1,8195
67	4489	300763	8,185	3526	210,5	1,8261
68	4624	314432	8,246	3632	213,6	1,8325
69	4761	328509	8,307	3739	216,8	1,8388
70	4900	343000	8,367	3848	219,9	1,8451
71	5041	357911	8,426	3959	223,1	1,8513
72	5184	373248	8,485	4072	226,2	1,8573
73	5329	389017	8,544	4185	229,3	1,8633
74	5476	405224	8,602	4301	232,5	1,8692
75	5625	421875	8,660	4418	235,6	1,8751
n	n^2	n^3	\sqrt{n}	$\frac{1}{2} \pi n^2$	πn	$\lg n$

$n^2, n^3, \sqrt{n}, \frac{1}{2}\pi n^2, \pi n, \lg n$ für $n = 76 \dots 100$

n	n^2	n^3	\sqrt{n}	$\frac{1}{2}\pi n^2$	πn	$\lg n$
76	5776	438976	8,718	4536	238,8	1,8808
77	5929	456533	8,775	4657	241,9	1,8865
78	6084	474552	8,832	4778	245,0	1,8921
79	6241	493039	8,888	4902	248,2	1,8976
80	6400	512000	8,944	5027	251,3	1,9031
81	6561	531441	9,000	5153	254,5	1,9085
82	6724	551368	9,055	5281	257,6	1,9138
83	6889	571787	9,110	5411	260,8	1,9191
84	7056	592704	9,165	5542	263,9	1,9243
85	7225	614125	9,220	5675	267,0	1,9294
86	7396	636056	9,274	5809	270,2	1,9345
87	7569	658503	9,327	5945	273,3	1,9395
88	7744	681472	9,381	6082	276,5	1,9445
89	7921	704969	9,434	6221	279,6	1,9494
90	8100	729000	9,487	6362	282,7	1,9542
91	8281	753571	9,539	6504	285,9	1,9590
92	8464	778688	9,592	6648	289,0	1,9638
93	8649	804357	9,644	6793	292,2	1,9685
94	8836	830584	9,695	6940	295,3	1,9731
95	9025	857375	9,747	7088	298,5	1,9777
96	9216	884736	9,798	7238	301,6	1,9823
97	9409	912673	9,849	7390	304,7	1,9868
98	9604	941192	9,899	7543	307,9	1,9912
99	9801	970299	9,950	7698	311,0	1,9956
100	10000	1000000	10,000	7854	314,2	2,0000
n	n^2	n^3	\sqrt{n}	$\frac{1}{2}\pi n^2$	πn	$\lg n$

arc α , sin α , tan α , cot α , cos α für $\alpha = 0 \dots 90^\circ$

α	arc α	sin α	tan α	cot α	cos α		
0°	0,0000	0,0000	0,0000	∞	1,0000	1,5708	90°
$0^\circ 10'$	0,0029	0,0029	0,0029	343,8	1,0000	1,5679	$89^\circ 50'$
$0^\circ 20'$	0,0058	0,0058	0,0058	171,9	1,0000	1,5650	$89^\circ 40'$
$0^\circ 30'$	0,0087	0,0087	0,0087	114,6	1,0000	1,5621	$89^\circ 30'$
$0^\circ 40'$	0,0116	0,0116	0,0116	85,94	0,9999	1,5592	$89^\circ 20'$
$0^\circ 50'$	0,0145	0,0145	0,0145	68,75	0,9999	1,5563	$89^\circ 10'$
1°	0,0175	0,0175	0,0175	57,29	0,9998	1,5533	89°
$1^\circ 10'$	0,0204	0,0204	0,0204	49,10	0,9998	1,5504	$88^\circ 50'$
$1^\circ 20'$	0,0233	0,0233	0,0233	42,96	0,9997	1,5475	$88^\circ 40'$
$1^\circ 30'$	0,0262	0,0262	0,0262	38,19	0,9997	1,5446	$88^\circ 30'$
$1^\circ 40'$	0,0291	0,0291	0,0291	34,37	0,9996	1,5417	$88^\circ 20'$
$1^\circ 50'$	0,0320	0,0320	0,0320	31,24	0,9995	1,5388	$88^\circ 10'$
2°	0,0349	0,0349	0,0349	28,64	0,9994	1,5359	88°
$2^\circ 10'$	0,0378	0,0378	0,0378	26,43	0,9993	1,5330	$87^\circ 50'$
$2^\circ 20'$	0,0407	0,0407	0,0407	24,34	0,9992	1,5301	$87^\circ 40'$
$2^\circ 30'$	0,0436	0,0436	0,0437	22,90	0,9990	1,5272	$87^\circ 30'$
$2^\circ 40'$	0,0465	0,0465	0,0466	21,47	0,9989	1,5243	$87^\circ 20'$
$2^\circ 50'$	0,0495	0,0494	0,0495	20,21	0,9988	1,5213	$87^\circ 10'$
3°	0,0524	0,0523	0,0524	19,08	0,9986	1,5184	87°
$3^\circ 10'$	0,0553	0,0552	0,0553	18,07	0,9985	1,5155	$86^\circ 50'$
$3^\circ 20'$	0,0582	0,0581	0,0582	17,17	0,9983	1,5126	$86^\circ 40'$
$3^\circ 30'$	0,0611	0,0610	0,0612	16,35	0,9981	1,5097	$86^\circ 30'$
$3^\circ 40'$	0,0640	0,0640	0,0641	15,60	0,9980	1,5068	$86^\circ 20'$
$3^\circ 50'$	0,0669	0,0669	0,0670	14,92	0,9978	1,5039	$86^\circ 10'$
4°	0,0698	0,0698	0,0699	14,30	0,9976	1,5010	86°
		cos α	cot α	tan α	sin α	arc α	α

α	arc α	sin α	tan α	cot α	cos α		
4° 10'	0,0727	0,0727	0,0729	13,73	0,9974	1,4981	85° 50'
4° 20'	0,0756	0,0756	0,0758	13,20	0,9971	1,4952	85° 40'
4° 30'	0,0785	0,0785	0,0787	12,71	0,9969	1,4923	85° 30'
4° 40'	0,0814	0,0814	0,0816	12,25	0,9967	1,4893	85° 20'
4° 50'	0,0844	0,0843	0,0846	11,83	0,9964	1,4864	85° 10'
5°	0,0873	0,0872	0,0875	11,43	0,9962	1,4835	85°
6°	0,1047	0,1045	0,1051	9,514	0,9945	1,4661	84°
7°	0,1222	0,1219	0,1228	8,144	0,9925	1,4486	83°
8°	0,1396	0,1392	0,1405	7,115	0,9903	1,4312	82°
9°	0,1571	0,1564	0,1584	6,314	0,9877	1,4137	81°
10°	0,1745	0,1736	0,1763	5,671	0,9848	1,3963	80°
11°	0,1920	0,1908	0,1944	5,145	0,9816	1,3788	79°
12°	0,2094	0,2079	0,2126	4,705	0,9781	1,3614	78°
13°	0,2269	0,2250	0,2309	4,331	0,9744	1,3439	77°
14°	0,2443	0,2419	0,2493	4,011	0,9703	1,3265	76°
15°	0,2618	0,2588	0,2679	3,732	0,9659	1,3090	75°
16°	0,2793	0,2756	0,2867	3,487	0,9513	1,2915	74°
17°	0,2967	0,2924	0,3057	3,271	0,9563	1,2741	73°
18°	0,3142	0,3090	0,3249	3,078	0,9511	1,2566	72°
19°	0,3316	0,3256	0,3443	2,904	0,9455	1,2392	71°
20°	0,3491	0,3420	0,3640	2,747	0,9397	1,2217	70°
		cos α	cot α	tan α	sin α	arc α	α

α	arc α	sin α	tan α	cot α	cos α		
21°	0,3665	0,3584	0,3839	2,605	0,9336	1,2043	69°
22°	0,3840	0,3746	0,4040	2,475	0,9272	1,1868	68°
23°	0,4014	0,3907	0,4245	2,356	0,9205	1,1694	67°
24°	0,4189	0,4067	0,4452	2,246	0,9135	1,1519	66°
25°	0,4363	0,4226	0,4663	2,145	0,9063	1,1345	65°
26°	0,4538	0,4384	0,4877	2,050	0,8988	1,1170	64°
27°	0,4712	0,4540	0,5095	1,963	0,8910	1,0996	63°
28°	0,4887	0,4695	0,5317	1,881	0,8829	1,0821	62°
29°	0,5061	0,4848	0,5543	1,804	0,8746	1,0647	61°
30°	0,5236	0,5000	0,5774	1,732	0,8660	1,0472	60°
31°	0,5411	0,5150	0,6009	1,664	0,8572	1,0297	59°
32°	0,5585	0,5299	0,6249	1,600	0,8480	1,0123	58°
33°	0,5760	0,5446	0,6494	1,540	0,8387	0,9948	57°
34°	0,5934	0,5592	0,6745	1,483	0,8290	0,9774	56°
35°	0,6109	0,5736	0,7002	1,428	0,8192	0,9599	55°
36°	0,6283	0,5878	0,7265	1,376	0,8090	0,9425	54°
37°	0,6458	0,6018	0,7536	1,327	0,7986	0,9250	53°
38°	0,6632	0,6157	0,7813	1,280	0,7880	0,9076	52°
39°	0,6807	0,6293	0,8098	1,235	0,7771	0,8901	51°
40°	0,6981	0,6428	0,8391	1,192	0,7660	0,8727	50°
41°	0,7156	0,6561	0,8693	1,150	0,7547	0,8552	49°
42°	0,7330	0,6691	0,9004	1,111	0,7431	0,8378	48°
43°	0,7505	0,6820	0,9325	1,072	0,7314	0,8203	47°
44°	0,7679	0,6947	0,9657	1,036	0,7193	0,8029	46°
45°	0,7854	0,7071	1,0000	1,000	0,7071	0,7854	45°
		cos α	cot α	tan α	sin α	arc α	α

أهم الثوابت المستخدمة

$\lg n$	n	المقدار	$\lg n$	n	المقدار
0,238 56	1,732 05	$\sqrt{3}$	0,130 51	1,414 21	$\sqrt{2}$
0,502 85-1	0,318 31	$1 : \pi$	0,497 15	3,141 59	π^2)
0,994 30	9,869 60	π^2	0,895 09-1	0,785 40	$\frac{\pi}{4}$
0,165 72	1,464 59	$\sqrt[3]{\pi}$	0,248 57	1,772 45	$\sqrt{\pi}$
0,565 71-1	0,367 88	$1 : e$	0,434 29	2,718 28	e
0,362 22	2,302 59	$\frac{1}{M_{10}} = \ln 10$	0,637 78-1	0,434 29	$M_{10} = \lg e$
0,495 76	3,131 56	$\sqrt[3]{8}$	0,991 52	9,806 65	$g_n^{(1)}$)

2- علم الحساب والجبر الخطي

1-2 المجموعات

تعريف: تعرف المجموعة بأما جمع مواضيع مختلفة، ومنفردة، (عناصر المجموعة) لوحدة كلية. وغالباً ما يرمز للمجموعات بأحرف كبيرة، مثلاً: A, B, \dots, M ، N, \dots, M_1, M_2 . أما عناصر المجموعة فيرمز لها بأحرف صغيرة مثلاً: $a, b, \dots, x, y, \dots, x_1, x_2$

$a \in A$ يعني أن a هو عنصر من A

$b \notin A$ يعني أن b هو ليس عنصر من A

$A = \phi$ يعني أن A لا تحتوي على أي عنصر، المجموعة الخالية.

تكوين المجموعة (مزاياء)

1. من خلال تعداد العناصر، مثلاً: $\{M_1 = \{-1, 0, +1\}, M_2 = \{0, 2, 4, \dots, 2n, \dots\}$

2. من خلال خواص المجموعة، مثلاً: $M_2 = \{2n \mid n \in N\}$ مجموعة الأعداد الطبيعية.

العلاقات بين المجموعات

المجموعة الجزئية : $A \subseteq B$: هي مجموعة جزئية (محتواة) في B أو B هي المجموعة التي تحتوي A. وكل عنصر من A هو عنصر من B ($A \subset B$) مجموعة جزئية حقيقية: B تحتوي على الأقل عنصر واحد، والذي لا ينتمي إلى المجموعة A).

المساواة: $B = A$ ، كل عنصر في المجموعة A هو عنصر في المجموعة B، والعكس، هذا يعني أن المساواة صحيحة $A \in a \Leftrightarrow B \in a$.

العمليات في المجموعات



الشكل 2a

الاجتماع: $A \cup B$ (اجتماع B) هو مجموع كل العناصر التي تنتمي إلى A أو B (انظر الشكل 2a أو 2b) هذا يعني $a \in A \cup B \Leftrightarrow a \in A \text{ أو } a \in B$



الشكل 2b

التقاطع: $A \cap B$ (A تقاطع B)، كل العناصر التي تنتمي إلى A و B (شكل 3) هذا يعني $a \in A \cap B \Leftrightarrow a \in A \text{ و } a \in B$



الشكل 3

الفرق: $A \setminus B$ (فرق من A و B): مجموعة كل العناصر التي تنتمي إلى A وليس إلى B (شكل 4) هذا يعني: $a \in A \setminus B \Leftrightarrow a \in A \text{ و } a \notin B$



الشكل 4

الجداء: $A \times B$ (A ضرب B) مجموعة كل العناصر الزوجية المرتبة (a_i, b_j) مع $a_i \in A$ و $b_j \in B$.

2-2 المتطابقات الشهيرة

$$(a + b)^2 = a^2 + 2ab + b^2$$

$$(a - b)^2 = a^2 - 2ab + b^2$$

$$a^2 - b^2 = (a + b)(a - b)$$

$$(a + b + c)^2 = a^2 + 2ab + 2ac + b^2 + 2bc + c^2$$

$$(a \pm b)^3 = a^3 \pm 3a^2b + 3ab^2 \pm b^3$$

$$(a + b)^n = a^n + \frac{n}{1}a^{n-1}b + \frac{n(n-1)}{1 \times 2}a^{n-2}b^2 + \frac{n(n-1)(n-2)}{1 \times 2 \times 3}a^{n-3}b^3 + \dots + b^n$$

$$a^3 + b^3 = (a + b)(a^2 - ab + b^2)$$

$$a^3 - b^3 = (a - b)(a^2 + ab + b^2)$$

$$a^n - b^n = (a - b)(a^{n-1} + a^{n-2}b + a^{n-3}b^2 + \dots + ab^{n-2} + b^{n-1})$$

3-2 القوى

$$a^n = \underbrace{a.a.a\dots a}_n \quad \text{تعريف:}$$

$$(\pm a)^{2n} = + a^{2n} \quad , \quad (\pm a)^{2n-1} = \pm a^{2n-1} \quad \text{فك الأقواس (علامة الناقص والزائد):}$$

$$a^1 = a \quad 1^n = 1 \quad 0^n = 0 \quad \text{حالات خاصة:}$$

$$a^0 = 1 \quad \text{تعريفات موسعة:}$$

$$(a \neq 0) \text{ من أجل } a^{-n} = \frac{1}{a^n}$$

قوانين القوى:

$$a^4 \cdot a^3 = a^7 \quad \text{مثلاً} \quad a^m \cdot a^n = a^{m+n}$$

$$a^4 : a^3 = a \quad \text{مثلاً} \quad a^m : a^n = a^{m-n}$$

$$a^3 \cdot b^3 = (a \cdot b)^3 \quad \text{مثلاً} \quad a^n \cdot b^n = (ab)^n$$

$$a^3 \cdot b^3 = (a/b)^3 \quad \text{مثلاً} \quad a^n \cdot b^n = (a/b)^n$$

$$(a^2)^3 = (a^3)^2 = a^6 \quad \text{مثلاً} \quad (a^m)^n = (a^n)^m = a^{m \cdot n}$$

4.2 الجذور

تعريف: $(\sqrt[n]{a})^n = a$ وذلك من أجل $a \geq 0$

يمكن إعادة الحساب إلى قوى كسرية في حالة الجداء، التقسيم، والرفع إلى قوة أو الجذر وكذلك إضافة أو اختصار الجذور:

$$\sqrt[n]{a} = a^{\frac{1}{n}} \quad (a \geq 0)$$

قوانين الجذور:

$$\sqrt[n]{a} \cdot \sqrt[n]{b} = a^{\frac{1}{n}} \cdot b^{\frac{1}{n}} = (ab)^{\frac{1}{n}} = \sqrt[n]{ab}$$

$$\sqrt[n]{a} : \sqrt[n]{b} = a^{\frac{1}{n}} : b^{\frac{1}{n}} = \left(\frac{a}{b}\right)^{\frac{1}{n}} = \sqrt[n]{\frac{a}{b}}$$

$$\left(\sqrt[n]{a}\right)^m = \left(a^{\frac{1}{n}}\right)^m = a^{\frac{m}{n}} = \sqrt[n]{a^m}$$

$$\sqrt[m]{\sqrt[n]{a}} = \left(a^{\frac{1}{n}}\right)^{\frac{1}{m}} = a^{\frac{1}{mn}} = \sqrt[mn]{a}$$

$$\sqrt[n]{a^{\frac{mp}{np}}} = a^{\frac{mp}{np}} = a^{\frac{m}{n}} = \sqrt[n]{a^m}$$

5.2 اللوغاريتمات

تعريف: $n = \log_a b$ عندما $a^n = b$ وذلك من أجل $b > 0$

أنظمة اللوغاريتم:

النظام العشري أو اللوغاريتم الأساسي،

الأساس $a = 10$

$10^n = b$ عندما، $\log_{10} b = \log b = n$

اللوغاريتم الطبيعي: ذو الأساس $a = e$

$e^n = b$ عندما $\log_e b = \ln b = n$

قوانين اللوغاريتمات:

$$\log (b.c) = \log b + \log c$$

$$\log \frac{b}{c} = \log b - \log c$$

$$\log c^n = n \cdot \log c$$

$$\log \sqrt[n]{c} = \frac{1}{n} \cdot \log c$$

حالات خاصة:

$$a^{\log_a b} = b; 10^{\lg b} = b; e^{\ln b} = b$$

$$\log_a (a^n) = n; \log 10^n = n; \ln e^n = n$$

$$\log_a a = 1; \log 10 = 1; \ln e = 1$$

$$\log_a 1 = 0; \log 1 = 0; \ln 1 = 0$$

التحويل:

من النظام العشري إلى النظام الطبيعي

$$\ln a = \ln 10 \cdot \lg a; \ln 10 = \frac{1}{M_{10}} \approx 2.3026$$

من النظام الطبيعي إلى النظام العشري

$$\log a = \lg e \cdot \ln a; \lg c = M_{10} \approx 0.4343$$

دلائل اللوغاريتمات:

$$\lg 1 = 0; \lg 0.1 = 0.00 - 1 = 9.00 - 10$$

$$\lg 10 = 1; \lg 0.01 = 0.00 - 2 = 8.00 - 10$$

$$\lg 100 = 2; \lg 0.001 = 0.00 - 3 = 7.00 - 10$$

$$\lg 1000 = 3;$$

6.2 الأعداد العقدية

الوحدة التخيلية: $i = \sqrt{-1}$

تعريف:

$$i^2 = -1$$

$$i^3 = -i, i^4 = +1, i^5 = +i, \dots; i^0 = +1$$

$$\left. \begin{array}{l} i^{4n} = +1, i^{4n+1} = +i, \\ i^{4n+2} = -1, i^{4n+3} = -i \end{array} \right\} n = 0, 1, 2, \dots$$

العدد العقدي: $a + bi$ (حيث a القسم الحقيقي، b القسم التخيلي)

نسمى العددان العقديان $a + bi$ ، $a - bi$ ، اللذان يختلفان فقط في إشارة القسم التخيلي، بالعددان العقديان المترافقان

$$(a + bi)(a - bi) = a^2 + b^2$$

شكل أولر العقدي (Euler):

$$(a \pm bi) = r(\cos \varphi \pm i \sin \varphi) = r e^{\pm i\varphi}$$

العلاقات:

$$a = r \cos \varphi \quad r = \sqrt{a^2 + b^2}$$

$$b = r \sin \varphi \quad \tan \varphi = \frac{b}{a}$$

7.2 السلاسل

1.7.2 السلاسل العددية

في سلسلة عددية $a_1 + a_2 + a_3 + \dots + a_n$ يكون الفرق d بين أي عنصرين متتاليين ثابت.

$$a_2 - a_1 = a_3 - a_2 = \dots = a_n - a_{n-1} = d$$

كل عنصر في سلسلة عددية هو وسط حسابي للعنصرين المجاورين له. (واقع بينهما).

$$a_k = \frac{a_{k+1} + a_{k-1}}{2}$$

العنصر النهائي:

$$a_n = a_1 + (n-1)d$$

المجموع:

$$s_n = \frac{n}{2}(a_1 + a_n) = \frac{n}{2}[2a_1 + (n-1)d]$$

مجموع الأعداد الموجبة الصحيحة:

$$1 + 2 + 3 + \dots + n = \sum_{k=1}^{k=n} k = \frac{n(n+1)}{2}$$

مجموع الأعداد المربعة:

$$1^2 + 2^2 + \dots + n^2 = \sum_{k=1}^{k=n} k^2 = \frac{n(n+1)(2n+1)}{6}$$

مجموع الأعداد المكعبة:

$$1^3 + 2^3 + 3^3 + \dots + n^3 = \sum_{k=1}^{k=n} k^3 = \frac{n^2(n+1)^2}{4} = (1+2+\dots+n)^2 = \left(\sum_{k=1}^{k=n} k\right)^2$$

2.7.2 السلاسل الهندسية

في سلسلة هندسية $a_1 + a_2 + a_3 + \dots + a_n$ تكون نسبة أي عنصرين متتاليين q ثابتة..

$$\frac{a_2}{a_1} = \frac{a_3}{a_2} = \dots = \frac{a_n}{a_{n-1}} = q$$

كل عنصر في سلسلة هندسية هو وسط هندسي للعنصرين المجاورين له (واقع بينهما).

$$a_k = \sqrt{a_{k+1} a_{k-1}}$$

العنصر النهائي:

$$a_n = a_1 q^{n-1}$$

المجموع:

$$s_n = a_1 \frac{q^n - 1}{q - 1}$$

وذلك من أجل $|q| \geq 1$ أي $|q| \neq 1$.

مجموع السلسلة الهندسية اللانهائية تحت شرط: $|q| < 1$.

$$s = \frac{a_1}{1 - q}$$

8.2 المعينات

تعريف: إن المعينة D ذات n سلسلة هي تابع منطقي كامل من المتحولات a_{ij} ، والمنظم في جدول مؤلف من n سطر و n عمود.

$$D = \begin{vmatrix} a_{11} & a_{12} & \dots & a_{1n} \\ a_{21} & a_{22} & \dots & a_{2n} \\ \vdots & \vdots & \vdots & \vdots \\ a_{n1} & a_{n2} & \dots & a_{nn} \end{vmatrix}$$

قيمة المعينة ذات الترتيب الثاني هي:

$$D = \begin{vmatrix} a_{11} & a_{12} \\ a_{21} & a_{22} \end{vmatrix} = a_{11}a_{22} - a_{21}a_{12}$$

قيمة المعينة ذات الترتيب الثلاثي (قانون Sarrus):

$$D = \begin{vmatrix} a_{11} & a_{12} & a_{13} \\ a_{21} & a_{22} & a_{23} \\ a_{31} & a_{32} & a_{33} \end{vmatrix} \\ = a_{11}a_{22}a_{33} + a_{12}a_{23}a_{31} + a_{13}a_{21}a_{32} \\ - a_{31}a_{22}a_{13} - a_{32}a_{23}a_{11} - a_{33}a_{21}a_{12}$$

لا تتغير قيمة المعينة، وذلك عندما يتم:

١. تبديل الأعمدة مع الأسطر (انعكاس المضلع الأساسي):

$$\begin{vmatrix} a_{11} & a_{12} & a_{13} \\ a_{21} & a_{22} & a_{23} \\ a_{31} & a_{32} & a_{33} \end{vmatrix} = \begin{vmatrix} a_{11} & a_{21} & a_{31} \\ a_{12} & a_{22} & a_{32} \\ a_{13} & a_{23} & a_{33} \end{vmatrix}$$

٢. تغيير المعينة (إضافة أحد الأسطر، والأعمدة، والتي يكون بها نقطة التقاطع مساوية للواحد، والعناصر الأخرى للعمود (سطر) هي صفر، في حين أن سطر (عمود)، قيمة لا على التعيين، مثلاً:

$$\begin{vmatrix} a_{11} & a_{12} \\ a_{21} & a_{22} \end{vmatrix} = \begin{vmatrix} 1 & 0 & 0 \\ x & a_{11} & a_{12} \\ y & a_{21} & a_{22} \end{vmatrix} = \begin{vmatrix} 1 & x & y \\ 0 & a_{11} & a_{12} \\ 0 & a_{21} & a_{22} \end{vmatrix}$$

٣. بإضافة أحد عناصر السلسلة (أسطر أو أعمدة)، بعد ضربه بالعامل λ ، لها سلسلة موازية مثلاً:

$$\begin{vmatrix} a_{11} & a_{12} & a_{13} \\ a_{21} & a_{22} & a_{23} \\ a_{31} & a_{32} & a_{33} \end{vmatrix} = \begin{vmatrix} a_{11} & a_{12} & a_{13} \\ a_{21} + \lambda a_{31} & a_{22} + \lambda a_{32} & a_{23} + \lambda a_{33} \\ a_{31} & a_{32} & a_{33} \end{vmatrix}$$

تأخذ المعينة قيمة الصفر عندما:

1. كل عناصر سلسلة (عمود أو سطر) تساوي الصفر، مثلاً:

$$\begin{vmatrix} a_{11} & a_{12} & a_{13} \\ 0 & 0 & 0 \\ a_{31} & a_{32} & a_{33} \end{vmatrix} = 0$$

2. عناصر السلسلة بموجب عناصر سلسلة موازية تساوي أو مضروبة بنسبة معينة:

$$\begin{vmatrix} a_{11} & a_{12} & a_{13} \\ ma_{11} & m_{12} & ma_{13} \\ a_{31} & a_{32} & a_{33} \end{vmatrix} = 0$$

تتغير إشارة المعينة، عندما يتم تبادل سلسلتين متوازيتين مع بعضهما، تضرب معينة بعامل λ عندما نستطيع أن نضرب هذا العامل بكل عناصر سطر من المعينة (وبالعكس): يمكن إخراج عامل خارج المعينة عندما يكون هذا العامل مضروباً بكل عناصر المعينة

$$\lambda \cdot \begin{vmatrix} a_{11} & a_{12} & a_{13} \\ a_{21} & a_{22} & a_{23} \\ a_{31} & a_{32} & a_{33} \end{vmatrix} = \begin{vmatrix} a_{11} & a_{12} & a_{13} \\ \lambda a_{21} & \lambda a_{22} & \lambda a_{23} \\ a_{31} & a_{32} & a_{33} \end{vmatrix}$$

نحصل على المعينة المختصرة المرتبة α_{ik} ذات العنصر a_{ik} بشطب الأسطر i والأعمدة k . وجميع العناصر المتبقية في معينة ذات ترتيب $(n-1)$. إن المصفوفة المرتبة A_{ik} ، وذات العنصر a_{ik} نحصل عليها بضرب المعينة المختصرة $\alpha_{ik}^{i+k} (-1)^{i+k}$ حيث $A_{ik} = (-1)^{i+k} \alpha_{ik}$

نحصل على قيمة معينة، والتي نضرب كل عنصر من أي سلسلة مع المصفوفة المربعة وإضافة الجداء n الناتج

(تطور معينة حسب عناصر سلسلة) مثلاً:

$$D = \begin{vmatrix} a_{11} & a_{12} & \dots & a_{1n} \\ a_{21} & a_{22} & \dots & a_{2n} \\ \cdot & & & \cdot \\ a_{n1} & a_{n2} & \dots & a_{nn} \end{vmatrix} = a_{21}A_{21} + a_{22}A_{22} + \dots + a_{2n}A_{2n}$$

$$= -a_{21}\alpha_{21} + a_{22}\alpha_{22} - \dots + (-1)^{2+n}\alpha_{2n}$$

يكون شكل العامل:

$$\begin{vmatrix} + & - & + & & \cdot \\ - & + & - & & \cdot \\ + & - & + & & \cdot \\ \cdot & & & \cdot & \cdot \\ \cdot & & & + & - & + \end{vmatrix}$$

حل جملة المعادلات الخطية غير المتجانسة هو:

$$a_{11}x_1 + a_{12}x_2 + \dots + a_{1n}x_n = b_1$$

$$a_{21}x_1 + a_{22}x_2 + \dots + a_{2n}x_n = b_2$$

$$a_{n1}x_1 + a_{n2}x_2 + \dots + a_{nn}x_n = b_n$$

حسب قاعدة cramer:

$$x_1 = \frac{D_1}{D}; x_2 = \frac{D_2}{D}; \dots; x_n = \frac{D_n}{D}; D = \begin{vmatrix} a_{11} & a_{12} & \dots & a_{1n} \\ a_{21} & a_{22} & \dots & a_{2n} \\ \cdot & & & \cdot \\ a_{n1} & a_{n2} & \dots & a_{nn} \end{vmatrix}$$

من أجل قيمة $D = 0$ تكون جملة المعادلات غير قابلة للحل.

تُحسب قيمة صورة المعينات D_k من خلال تعريف العنصر المطلق b_i في D (عناصر المعينة) العناصر a_{ik} ذات العمود k .

9-2 المصفوفات

تعرف المصفوفة بأنها نظام مكون من $m \cdot n$ عنصر a_{ik} ، هذه العناصر تكون مرتبة في شكل مربع m سطر، و n عمود. [مصفوفة ذات الشكل (m, n)].

$$A_{(m,n)} = \begin{pmatrix} a_{11} & a_{12} & \dots & a_{1n} \\ a_{21} & a_{22} & & a_{2n} \\ \vdots & \vdots & & \vdots \\ a_{m1} & a_{m2} & \dots & a_{mn} \end{pmatrix} = (a_{ik})_{(m,n)}$$

شعاع الأسطر: $a_k = (a_{k1}, a_{k2}, \dots, a_{kn})$ ، أما شعاع الأعمدة فهو:

$$a_k = \begin{pmatrix} a_{k1} \\ a_{k2} \\ \vdots \\ a_{km} \end{pmatrix}$$

المصفوفة الصفرية: هي المصفوفة التي تكون كافة عناصرها مساوية للصفر.

منقول المصفوفة: نبادل في مصفوفة ما $A_{(m,n)} = (a_{ik})_{(m,n)}$ الأسطر مع الأعمدة، وبذلك نحصل على منقول المصفوفة.

$$A_{(n,m)}^T = (a_{ki})_{(n,m)}$$

المساواة: تكون المصفوفتان A و B متساويتان. عندما تكونا من نفس النموذج وكل عنصرين متجانسين متساويين، وهذا يعني عندما تصلح لكل العناصر العلاقة:

$$a_{ik} = b_{ik}$$

المصفوفة المربعة الخاصة يكون فيها : $(m = n)$:

المصفوفة المتناظرة: $A^T = A$ ؛ المصفوفة غير المتناظرة: $A^T = -A$

المصفوفة الواحدية

$$E = \begin{pmatrix} 1 & 0 & 0 & \dots & 0 \\ 0 & 1 & 0 & \dots & 0 \\ \cdot & \cdot & \cdot & \cdot & \cdot \\ 0 & 0 & 0 & \dots & 1 \end{pmatrix} = (\delta_{ik})$$

$$\delta_{ik} = \begin{cases} 1 & \text{من أجل } i = k \\ 0 & \text{من أجل } i \neq k \end{cases}$$

مضلع المصفوفة

$$D = \begin{pmatrix} d_{11} & 0 & 0 & \dots & 0 \\ 0 & d_{22} & 0 & \dots & 0 \\ \cdot & \cdot & \cdot & \cdot & \cdot \\ 0 & 0 & 0 & \dots & d_{nn} \end{pmatrix}$$

إن معنية مصفوفة مربعة هي:

$$\det A = |A| = A = \det (a_{ik}) = ||a_{ik}||$$

المصفوفة النظامية: $\det A \neq 0$ ، المصفوفة: $\det A = 0$

إن مقلوب مصفوفة A^{-1} لمصفوفة نظامية مربعة A هو:

$$A \cdot A^{-1} = A^{-1} \cdot A = E$$

$$A^{-1} = \frac{1}{\det A} \begin{pmatrix} A_{11} & A_{21} & \dots & A_{n1} \\ A_{12} & A_{22} & \dots & A_{n2} \\ \cdot & \cdot & \cdot & \cdot \\ A_{1n} & A_{2n} & \dots & A_{nn} \end{pmatrix}$$

جمع وطرح المصفوفات من نفس النموذج:

$$\mathbf{A} \pm \mathbf{B} = \mathbf{B} \pm \mathbf{A}; \mathbf{A} + (\mathbf{B} + \mathbf{C}) = (\mathbf{A} + \mathbf{B}) + \mathbf{C} = \mathbf{A} + \mathbf{B} + \mathbf{C}$$

ضرب مصفوفة بمقدار سلمي λ :

$$\lambda (\mu \mathbf{A}) = (\lambda \mu) \mathbf{A}$$

$$\lambda \cdot \mathbf{A} = \mathbf{A} \cdot \lambda$$

$$(\lambda \pm \mu) \mathbf{A} = \lambda \mathbf{A} \pm \mu \mathbf{A}$$

$$\lambda(\mathbf{A} \pm \mathbf{B}) = \lambda \mathbf{A} \pm \lambda \mathbf{B}$$

جداء مصفوفتين $\mathbf{A} = (a_{ik})_{(m,n)}$ و $\mathbf{B} = (b_{ik})_{(n,p)}$ (عدد الأعمدة في \mathbf{A} يجب أن يكون مساوياً لعدد الأسطر في \mathbf{B})، إن ناتج ضرب مصفوفة $\mathbf{A}_{(m,n)}$ مع مصفوفة $\mathbf{B}_{(n,p)}$ هو مصفوفة $\mathbf{C}_{(m,p)}$ وهذه المصفوفة مساوية $\mathbf{C}_{(m,p)} = \mathbf{A}_{(m,n)} \cdot \mathbf{B}_{(n,p)}$ ، والتي يكون بها كل عنصر c_{ik} هو الجداء العددي لعناصر السطر i من \mathbf{A} مع عناصر العمود k من \mathbf{B} .

$$c_{ik} = \sum_{v=1}^n a_{iv} b_{vk}$$

10-2 الأشعة (المتجهات)

الرمز: $\vec{a}, \vec{b}, \vec{a}, \dots, \vec{b}, \vec{a}$

تعريف: المتجه ذو البعد n : هو عبارة عن n مكعب من n عدد $\mathbf{a} = (a_1, a_2, \dots, a_n)$ أو مصفوفة من الشكل $(1, n)$ شعاع الأسطر أو من الشكل $(n, 1)$ شعاع الأعمدة.

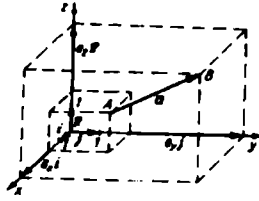
المتجهات ذات الثلاث أبعاد (الشكل 5)

المتجه الحر: تقارب أعداد مربعة

$$\mathbf{a} = (a_1, a_2, a_3)$$

التمثيل الهندسي:

$$\mathbf{a} = \vec{AB} = (a_x, a_y, a_z) \quad \text{المسافة الموجهة:}$$



الشكل (5)

متجهات المنطلق: متجهات لها نقطة انطلاق مشتركة (نقطة بداية).

نصف قطر المتجهات: متجهات المنطلق مع نقطة الأصل في مركز الإحداثيات.

إحداثيات المتجه a :

$$a_x, a_y, a_z$$

مركز المتجه a :

$$a_x = (a_x, 0, 0)$$

$$a_y = (0, a_y, 0)$$

$$a_z = (0, 0, a_z)$$

متجه الأساس (القاعدي):

$$i = (1, 0, 0)$$

$$j = (0, 1, 0)$$

$$k = (0, 0, 1)$$

قيمة الشعاع a :

$$|a| = a = \sqrt{a_x^2 + a_y^2 + a_z^2}$$

اتجاه الشعاع a (التحجيات الموجهة)

$$\cos(\mathbf{a}, \mathbf{i}) = \cos \alpha = \frac{a_x}{|a|};$$

$$\cos(\mathbf{a}, \mathbf{j}) = \cos \beta = \frac{a_y}{|a|};$$

$$\cos(\mathbf{a}, \mathbf{k}) = \cos \gamma = \frac{a_z}{|\mathbf{a}|}$$

$$\cos^2 \alpha + \cos^2 \beta + \cos^2 \gamma = 1$$

قيمة المتجه الواحدي لـ \mathbf{a} :

$$\mathbf{a}^0 = \frac{\mathbf{a}}{|\mathbf{a}|}$$

العلاقات والعمليات في المتجهات:

من $\mathbf{a} = b$ ينتج $a_x = b_x, a_y = b_y, a_z = b_z$

$$\mathbf{a} \pm \mathbf{b} = (a_x \pm b_x, a_y \pm b_y, a_z \pm b_z) = (a_x \pm b_x) \mathbf{i} + (a_y \pm b_y) \mathbf{j} + (a_z \pm b_z) \mathbf{k}$$

علاقة تبادلية: $\mathbf{a} + \mathbf{b} = \mathbf{b} + \mathbf{a}$;

علاقة تجميعية: $\mathbf{a} + (\mathbf{b} + \mathbf{c}) = (\mathbf{a} + \mathbf{b}) + \mathbf{c}$

الضرب بمقياس سلمي: $\lambda \cdot \mathbf{a} = \lambda a_x \mathbf{i} + \lambda a_y \mathbf{j} + \lambda a_z \mathbf{k}$

$$(\lambda \mu \mathbf{a}) = (\lambda \mu) \mathbf{a}; \lambda(\mathbf{a} + \mathbf{b}) = \lambda \mathbf{a} + \lambda \mathbf{b}; (\lambda + \mu) \mathbf{a} = \lambda \mathbf{a} + \mu \mathbf{a}$$

العلاقة الخطية لثلاث متجهات $\mathbf{a}, \mathbf{b}, \mathbf{c}$ عندما:

$$\begin{vmatrix} a_x & a_y & a_z \\ b_x & b_y & b_z \\ c_x & c_y & c_z \end{vmatrix} = 0$$

الجداء السلمي (الجداء الداخلي)

تعريف:

$$\mathbf{a} \cdot \mathbf{b} = |\mathbf{a}| |\mathbf{b}| \cos(\mathbf{a}, \mathbf{b}) = a_x b_x + a_y b_y + a_z b_z$$

$$\mathbf{a} \cdot \mathbf{b} = b \cdot \mathbf{a}; \mathbf{a}(\mathbf{b} + \mathbf{c}) = \mathbf{a} \cdot \mathbf{b} + \mathbf{a} \cdot \mathbf{c}; \mathbf{a} \cdot \mathbf{b} = 0 \text{ عندما } \mathbf{a} \perp \mathbf{b}$$

$$\mathbf{i} \cdot \mathbf{i} = \mathbf{j} \cdot \mathbf{j} = \mathbf{k} \cdot \mathbf{k} = 1; \mathbf{i} \cdot \mathbf{j} = \mathbf{j} \cdot \mathbf{k} = \mathbf{k} \cdot \mathbf{i} = 0$$

الجداء الشعاعي (الجداء الخارجي)

تعريف:

$$\mathbf{a} \times \mathbf{b} = |\mathbf{a}| |\mathbf{b}| \sin(\mathbf{a}, \mathbf{b}) = \begin{vmatrix} \mathbf{i} & \mathbf{j} & \mathbf{k} \\ a_x & a_y & a_z \\ b_x & b_y & b_z \end{vmatrix}$$

$$\mathbf{a} \times \mathbf{b} = -\mathbf{b} \times \mathbf{a}; n(\mathbf{a} \times \mathbf{b}) = (n\mathbf{a}) \times \mathbf{b} = \mathbf{a} \times (n\mathbf{b});$$

$$(\mathbf{a} + \mathbf{b}) \times \mathbf{c} = \mathbf{a} \times \mathbf{c} + \mathbf{b} \times \mathbf{c}; \mathbf{a} \times (\mathbf{b} + \mathbf{c}) = \mathbf{a} \times \mathbf{b} + \mathbf{a} \times \mathbf{c};$$

$$\mathbf{a} \times \mathbf{b} = |\mathbf{a}| |\mathbf{b}|, \text{ عندما } \mathbf{a} \perp \mathbf{b}; \mathbf{a} \times \mathbf{b} = \mathbf{0}, \text{ عندما } \mathbf{a} // \mathbf{b};$$

$$\mathbf{i} \times \mathbf{i} = \mathbf{j} \times \mathbf{j} = \mathbf{k} \times \mathbf{k} = \mathbf{0}; \mathbf{i} \times \mathbf{j} = \mathbf{k}, \mathbf{j} \times \mathbf{k} = \mathbf{i}, \mathbf{k} \times \mathbf{i} = \mathbf{j}$$

الجداء المضاعف للمتجهات:

الجداء المختلط

$$(\mathbf{a} \times \mathbf{b}) \cdot \mathbf{c} = [\mathbf{abc}] = \begin{vmatrix} a_x & a_y & a_z \\ b_x & b_y & b_z \\ c_x & c_y & c_z \end{vmatrix}$$

الجداء الشعاعي للمتجهات الثلاث (قانون التطوير)

$$(\mathbf{a} \times \mathbf{b}) \times \mathbf{c} = (\mathbf{ac}) \cdot \mathbf{b} - (\mathbf{bc}) \cdot \mathbf{a}$$

الجداء السلمي لجداء شعاعين

$$(\mathbf{a} \times \mathbf{b}) \cdot (\mathbf{c} \times \mathbf{d}) = \begin{vmatrix} \mathbf{ac} & \mathbf{ad} \\ \mathbf{bc} & \mathbf{bd} \end{vmatrix}$$

الجداء الشعاعي لجداء شعاعين

$$(\mathbf{a} \times \mathbf{b}) \times (\mathbf{c} \times \mathbf{d}) = [\mathbf{acd}] \cdot \mathbf{b} - [\mathbf{bcd}] \cdot \mathbf{a} = [\mathbf{abd}] \cdot \mathbf{c} - [\mathbf{abc}] \cdot \mathbf{d}$$

3. التوابع والمعادلات

1.3 التوابع الجبرية

التابع الجذري والتابع الأسّي:

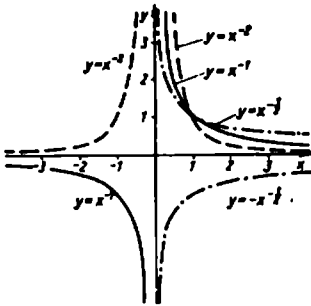
مثلاً (الشكل 6)

$$y = x^n \leftrightarrow y = \sqrt[n]{x} \quad (x > 0)$$

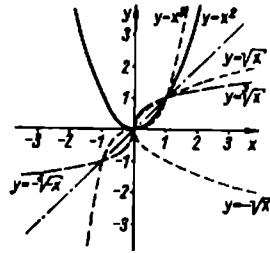
$$y = x^2 \begin{cases} (x \geq 0) \leftrightarrow y = \sqrt{x} \\ (x \leq 0) \leftrightarrow y = -\sqrt{x} \end{cases}$$

$$y = x^3 \begin{cases} (x \geq 0) \leftrightarrow y = \sqrt[3]{x} \\ (x \leq 0) \leftrightarrow y = -\sqrt[3]{-x} \end{cases}$$

$$y = x^{-2} \begin{cases} (x > 0) \leftrightarrow y = x^{-\frac{1}{2}} \\ (x < 0) \leftrightarrow y = -x^{-\frac{1}{2}} \end{cases}$$



(الشكل 6b)



(الشكل 6a)

العلاقة الحقيقية التامة:

$$y = a_n x^n + a_{n-1} x^{n-1} + \dots + a_1 x + a_0$$

($n < m$ كسر صحيح، $n \geq m$ كسر غير صحيح)

$$y = \frac{a_n x^n + a_{n-1} x^{n-1} + \dots + a_1 x + a_0}{b_m x^m + b_{m-1} x^{m-1} + \dots + b_1 x + b_0}$$

كل علاقة حقيقية كسرية غير أصلية يمكن أن تحول عن طريق إضافات جزئية لمجموع علاقة حقيقية تامة كسرية وأخرى علاقة حقيقية كسرية أصلية.

2-3 التوابع المتسامية

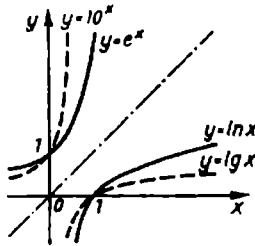
التوابع الأسية واللوغاريتمية

$$y = a^x \leftrightarrow y = \log_a x$$

(انظر الشكل 7)

$$y = e^x \leftrightarrow y = \ln x$$

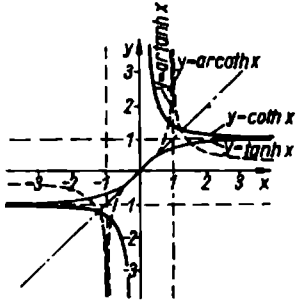
$$y = 10^x \leftrightarrow y = \lg x$$



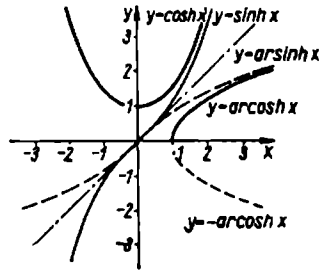
(الشكل 7)

تابع قطعي أو تابع سطحي (الشكل 8 و 9)

$$y = \sinh x = \frac{e^x - e^{-x}}{2} \leftrightarrow y = \operatorname{ar sinh} x = \ln \left(x + \sqrt{x^2 + 1} \right)$$



(الشكل 9)



(الشكل 8)

$$y = \cosh x = \frac{e^x + e^{-x}}{2} \begin{cases} (x \geq 0) \leftrightarrow y = \operatorname{ar} \cosh x = \ln(x + \sqrt{x^2 - 1}) & (x \geq 1) \\ (x \leq 0) \leftrightarrow y = -\operatorname{ar} \cosh x = \ln(x - \sqrt{x^2 - 1}) \end{cases}$$

$$y = \tanh x = \frac{e^x - e^{-x}}{e^x + e^{-x}} \leftrightarrow y = \operatorname{ar} \tanh x = \frac{1}{2} \ln \frac{1+x}{1-x} \quad (|x| < 1)$$

$$y = \coth x = \frac{e^x + e^{-x}}{e^x - e^{-x}} \leftrightarrow y = \operatorname{ar} \coth x = \frac{1}{2} \ln \frac{x+1}{x-1} \quad (|x| > 1)$$

العلاقات بين التوابع القطعية:

$$\cosh^2 x - \sinh^2 x = 1$$

$$\sinh 2x = 2 \sinh x \cosh x$$

$$\tanh x = \frac{\sinh x}{\cosh x} = \frac{1}{\coth x}$$

$$\cosh 2x = \cosh^2 x + \sinh^2 x$$

$$= 2 \sinh^2 x + 1$$

$$= 2 \cosh^2 x - 1$$

3.3 حل المعادلات

- الحل البياني (التخطيطي)

(a) من خلال رسم منحنى التابع المعطى، وتكون نقطة الصفر التابع مطابقة للحلول الحقيقية للمعادلة:

مثلاً:

$$x e^x - 2 = 0; y = x e^x - 2$$

(b) خلال التجزئة إلى تابعين، نقاط تقاطع للمنحنى تطابق الحلول الحقيقية للمعادلة:

مثلاً:

$$x e^x - 2 = 0; y_1(x) = e^x; y_2(x) = \frac{2}{x}$$

- الحل الرقمي:

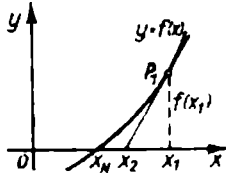
نطبق قاعدة falsi لتحديد القيم التقريبية لنقطة الصفر الشكل (10). تقع النقطة P_0 و P_1 في المنطقة المجاورة لنقطة الصفر x_N (يمكن أن تكون y_0 و y_1 بإشارات مختلفة)، وتكون القيمة التقريبية لذلك:

$$x_2 = x_1 - \frac{y_1(x_0 - x_1)}{y_0 + y_1}$$

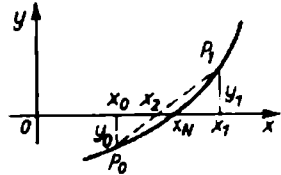
لتحديد موقع الصفر حسب القيمة التقريبية لـ Newton (الشكل 11)

$$x_2 = x_1 - \frac{f(x_1)}{f'(x_1)} \text{ بشرط } f(x_1) \neq 0$$

إن أفضل قيمة تقريبية لـ x_N من x_1 عندما يكون: $f(x_1) f'(x_1) > 0$



(الشكل 11)



(الشكل 10)

المعادلات من الدرجة الأولى (المعادلات الخطية):

ذات مجهول واحد:

$$Ax + B = 0; x = -\frac{B}{A}$$

ذات مجهولين:

$$a_1x + b_1y = k_1$$

$$a_2x + b_2y = k_2$$

$$(I) 2x + 3y = 1$$

$$(II) 3x + 4y = 2$$

مثلاً

طريقة الجمع: بضرب المعادلة الأولى بـ (3) والمعادلة الثانية بـ (-2) ثم الجمع، ينتج

$$y = -1, \text{ وبالتعويض في (I) أو (II) نجد } x = 2$$

طريقة التعويض: نوجد من المعادلة الأولى x بدلالة y ثم نعوض في المعادلة الثانية،

نجد حل المعادلة $y = -1$ ، ثم نعاود التعويض في الأولى لإيجاد قيمة x.

المعادلة من الدرجة الثانية (المعادلة التربيعية).

$$Ax^2 + Bx + C = 0 \quad \text{الشكل العام}$$

$$x^2 + px + q = 0 \quad \text{الشكل الطبيعي}$$

$$x_{1,2} = -\frac{p}{2} \pm \sqrt{\left(\frac{p}{2}\right)^2 - q} \quad \text{صيغة الحل}$$

$$(x - x_1)(x - x_2) = 0 \quad \text{شكل الجداء}$$

$$x_1 + x_2 = -p, x_1 x_2 = q$$

- المعادلات الجذرية

وفيها تتواجد المجاهيل تحت الجذر التربيعي. ونحل من خلال إعادتها إلى قوة (أس) مثلاً (التربيع) لكلا طرفي المعادلة:

مثلاً:

$$\sqrt{x+a} = \sqrt{x-b+c}$$

$$x = \left(\frac{a+b-c^2}{2c}\right)^2 + b$$

وعند إيجاد النتيجة يجب إعادة التعويض، لأن الرفع إلى قوة يمكن أن يؤدي إلى تغيير مجال التعريف.

- المعادلات الأسية

حل هذه المعادلات يتم بإيجاد لوغاريتم طرفي المعادلة:

مثلاً:

$$a^x = b$$

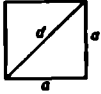
$$x = \frac{\lg b}{\lg a}$$

4. الهندسة

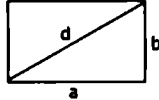
1.4 الهندسة المستوية

1.1.4 السطوح (المساحة A، المحيط U، مركز الثقل، S)

المستطيل (الشكل 12)



الشكل 13



الشكل 12

$$A = a \cdot b; U = 2(a + b)$$

$$d = \sqrt{a^2 + b^2}$$

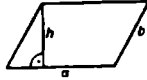
المربع (الشكل 13)

$$A = a^2, U = 4a, d = a\sqrt{2}$$

متوازي الأضلاع (الشكل 14)



الشكل 15



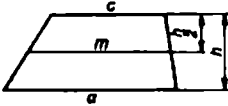
الشكل 14

$$A = a \cdot h; U = 2(a + b)$$

المعين (الشكل 15)

$$A = a \cdot h = \frac{e \cdot f}{2}; U = 4a$$

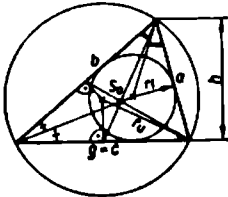
شبه المنحرف (الشكل 16)



الشكل 16

$$A = \frac{a+c}{2} h = m h$$

- المثلث (بشكل عام) (الشكل 17)



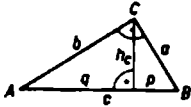
الشكل 17

$$A = \frac{gh}{2} = \frac{abc}{4r_u} = r_u s$$

$$= \sqrt{s(s-a)(s-b)(s-c)}$$

$$s = \frac{a+b+c}{2} = \frac{U}{2}$$

(r_u نصف قطر الدائرة الخارجية، r_i نصف قطر الدائرة الداخلية)



الشكل 18

- مثلث قائم الزاوية (الشكل 18)

$$A = \frac{a \cdot b}{2} = \frac{c \cdot h_c}{2}$$

حسب نظرية Pythagoras:

$$a^2 + b^2 = c^2$$

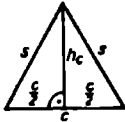
حسب الارتفاعات:

$$h_c^2 = pq$$

قانون Euklid (القوائم في المثلث) $b^2 = cq$

$$a^2 = cp$$

- مثلث متساوي الساقين (الشكل 19)



الشكل 19

$$A = \frac{ch_c}{2} = \frac{c}{2} \sqrt{s^2 - \frac{c^2}{4}}; h_c = \sqrt{s^2 - \frac{c^2}{4}}$$

- مثلث متساوي الأضلاع (الشكل 20)

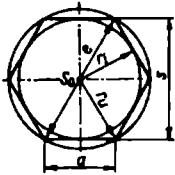


الشكل 20

$$A = \frac{a^2}{4} \sqrt{3}; h = \frac{a}{2} \sqrt{3}$$

$$r_u = \frac{a}{3} \sqrt{3}; r_i = \frac{a}{6} \sqrt{3} = \frac{1}{2} r_u$$

- مسدس منتظم (الشكل 21)



الشكل 21

$$A = \frac{3a^2 \sqrt{3}}{2} = \frac{3r_u^2 \sqrt{3}}{2} = 2r_i^2 \sqrt{3}$$

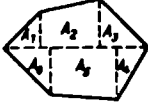
$$r_u = a, r_i = \frac{a}{2} \sqrt{3} = \frac{r_u}{3} \sqrt{3}$$

$$e = 2a = 2r_u \quad (e \text{ قياس الزاوية})$$

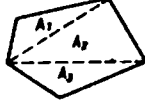
$$s = a\sqrt{3} = 2r_1 = \frac{c}{2}\sqrt{3}$$

(السبع القائم انظر الشكل)

22) الأشكال متعددة الأضلاع الشكلين (و23)



الشكل 23



الشكل 22

$$A = A_1 + A_2 + A_3 + \dots$$

الحساب يتم بتجزئة الشكل إلى مثلثات أو مثلثات وأشباه منحرفة.

- الدائرة (الشكل 24)



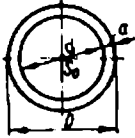
الشكل 24

$$A = \pi r^2 = \pi \frac{d^2}{4} \approx 0.78540d^2$$

$$U = 2\pi r = \pi d$$

$$d = 2\sqrt{\frac{A}{\pi}} \approx 1.12838\sqrt{A}$$

- حلقة دائرية (الشكل 25)

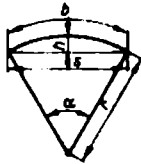


الشكل 25

$$A = \pi(R^2 - r^2) = \frac{\pi}{4}(D^2 - d^2) = \pi(d+a)a$$

$$a = R - r = \frac{D-d}{2}$$

- قطاع زاوي (مقطع دائري) (الشكل 26)



الشكل 26

$$A = \frac{\pi r^2 \alpha}{360^\circ} = \frac{br}{2} = \frac{\text{arc } \alpha}{2} r^2$$

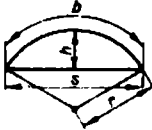
(b طول القوس)

$$b = \frac{\pi r \alpha}{180^\circ} = \frac{\pi d \alpha}{360^\circ} = 0.017453 r \alpha$$

$$\approx \sqrt{s^2 + \frac{16}{3} h^2}$$

$$\text{arc } \alpha = \frac{\pi \alpha}{180^\circ}$$

- قبة دائرية (مقطع دائري الشكل 27)



الشكل 27

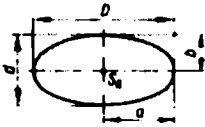
$$A = \frac{1}{2} [br - s(r - h)] \approx \frac{h}{6s} (3h^2 + 4s^2)$$

(s الوتر، h الارتفاع)

$$r = \frac{h}{2} + \frac{s^2}{8h}; s = 2r \sin \frac{\alpha}{2}$$

$$h = r \left(1 - \cos \frac{\alpha}{2} \right) = 2r \sin^2 \frac{\alpha}{4} = \frac{s}{2} \tan \frac{\alpha}{4}$$

- القطع الناقص (الشكل 28)



الشكل 28

$$A = \pi ab = \frac{\pi}{4} Dd$$

$$U \approx \frac{3\pi}{4} (D + d) - \frac{\pi}{2} \sqrt{Dd} \approx \pi \frac{D + d}{2}$$

2.1.4 الزوايا

الزاوية المتممة = 4 زوايا قائمة (4L) = 360 غراد (360°)

$$400 \text{ gon} = 2\pi (6.2832 \text{ rad})$$

$$\pi = 3.14159 \text{ (رقم Ludolf)}$$

$$1 \text{ Grad} = 60' = 3600''$$

$$1 \text{ gon} = 1 \text{ cgon} = 1000 \text{ m gon}$$

$$\frac{\text{قوس الدائرة } b}{\text{نصف قطر الدائرة } r} = \alpha \text{ قياس قوس } \alpha$$

= القيمة العددية للقوس بوحدة الدائرة

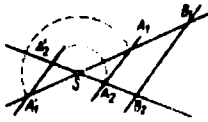
$$\hat{\alpha} = \text{arc } \alpha = \frac{b}{r} = \frac{\pi \alpha}{180^\circ} = 0.01745 \alpha$$

إن قياس القوس هو مقدار لا بعدي، وتكون واحدة الزاوية بالراديان (rad) لقياس القوس.

$$1 \text{ rad} = \frac{180^\circ}{\pi} = 57.29578^\circ = 57^\circ 17' 45''$$

3.1.4 قوانين الأشعة، التشابه

1. قانون الأشعة الأول



الشكل 29

عندما نقطع شعاعان متوازيان بمستقيم، تكون النسبة المقطوعة على أحد الأشعة بالنسبة لبعضها البعض كما على الأخرى

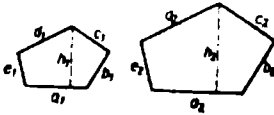
$$\frac{\overline{SA_1}}{A_1B_1} = \frac{\overline{SA_2}}{A_2B_2} = \frac{\overline{SA'_1}}{SB_1} = \frac{\overline{SA'_2}}{SB_2}$$

2. قانون الأشعة الثاني

عندما نقطع شعاعين بمستقيمين متوازيين، تسلك القطع المقطوعة للمتوازيين بالنسبة لبعضهما البعض كما لو كانت تابعة، من الرأس للمقطع المقاس على الشعاع

$$\frac{\overline{A_1A_2}}{B_1B_2} = \frac{\overline{SA_1}}{SB_1} = \frac{\overline{SA_2}}{SB_2} \text{ أو } \frac{\overline{A'_1A'_2}}{B_1B_2} = \frac{\overline{SA'_1}}{SB_1} = \frac{\overline{SA'_2}}{SB_2}$$

قانون تشابه المثلثات الأساسي



تكون المثلثات متشابهة، عندما تتوافق بزوايتين

الشكل 30

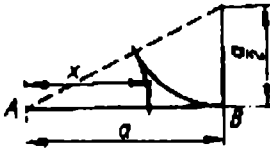
تسلك محيطات الأشكال المتشابهة (مثلاً المضلع أو الدائرة) بالنسبة لبعضها سلوك ذات المسافات المتساوية (الشكل 30)

$$U_1 : U_2 = a_1 : a_2 = b_1 : b_2 = \dots = h_1 : h_2 = \dots$$

تسلك مساحات الأشكال المتشابهة (مثلاً المضلع أو الدائرة) بالنسبة لبعضها كسلوك مربعات ذات مسافات متساوية:

$$A_1 : A_2 = a_1^2 : a_2^2 = b_1^2 : b_2^2 = \dots = h_1^2 : h_2^2 = \dots$$

التقسيم الدائم (التقسيم الذهبي) (الشكل 31)



الشكل 31

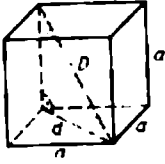
$$a : x = x : (a - x)$$

$$x = \frac{a}{2}(\sqrt{5} - 1)$$

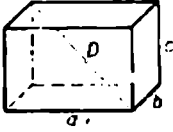
$$x \approx 0.618a$$

4.2 الهندسة الفراغية (حجوم وسطوح الأجسام)

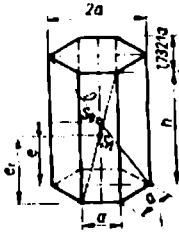
(الحجم، V ، السطح، A_0 ، السطح الجانبي، A_M ، مركز الثقل، S_0)



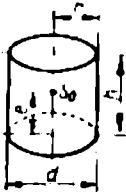
الشكل 32



الشكل 33



الشكل 34



الشكل 35

- المكعب (الشكل 32)

$$V = a^3 ; A_0 = 6 a^2$$

S_0 تقع في نقطة تقاطع الأقطار ، $D = a\sqrt{3}$

- متوازي المستطيلات (مربع) (الشكل 33)

$$V = a \cdot b \cdot c ; A_0 = 2(ab + ac + bc)$$

$D = \sqrt{a^2 + b^2 + c^2}$; (انظر المكعب)

- المنشور السداسي (الشكل 34)

$$V = \frac{3}{2} a^2 h \sqrt{3} = \frac{\sqrt{3}}{2} s^2 h$$

$$A_0 = 3a(a\sqrt{3} + 2h) = \sqrt{3}s(s + 2h)$$

$$e = \frac{h}{2}$$

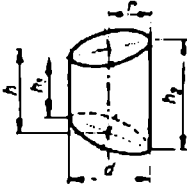
S_0 نقطة تقاطع الأقطار

- الاسطوانة الدائرية (الشكل 35)

$$V = \pi r^2 h = \frac{\pi}{4} d^2 h ;$$

$$A_0 = 2\pi r(r + h) = \pi d \left(\frac{d}{2} + h \right)$$

$$A_M = 2\pi r h = \pi d h ; e = \frac{h}{2}$$

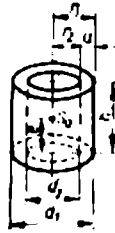


الشكل 36

- الاسطوانة الدائرية مشطوفة الطرفين بشكل مائل (شكل 36)

$$V = \pi r^2 h = \pi r^2 \frac{h_1 + h_2}{2} = \frac{\pi d^2 h}{4}$$

$$A_M = 2\pi r h = \pi(h_1 + h_2)$$



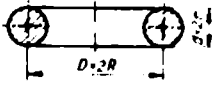
الشكل 37

- الاسطوانة المفرغة (الشكل 37)

$$V = \pi h(r_1^2 - r_2^2) = \frac{\pi}{4} h(d_1^2 - d_2^2)$$

$$= \pi h a(r_1 + r_2) = \frac{\pi}{2} h a(d_1 + d_2)$$

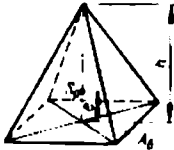
$$e = \frac{h}{2}$$



الشكل 38

- الحلقة الاسطوانية (الشكل 38)

$$V = \frac{\pi^2 D d^2}{4} = 2\pi^2 R r^2; A_0 = \pi^2 D d = 4\pi^2 R r$$

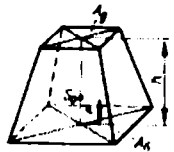


الشكل 39

- الهرم (الشكل 39)

$$V = \frac{Gh}{3}$$

$$e = \frac{h}{4}$$



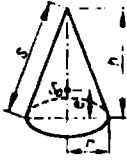
الشكل 40

- جذع الهرم (الشكل 40)

$$V = \frac{h}{3} (A_G + \sqrt{A_G A_g} + A_g)$$

$$e = \frac{h}{4} \frac{A_G + 2\sqrt{A_G A_g} + 3A_g}{A_G + \sqrt{A_G A_g} + A_g}$$

المخروط الدوراني (الشكل 41)

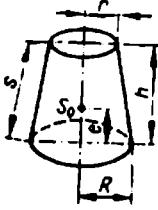


الشكل 41

$$V = \frac{\pi}{3} r^2 h; A_0 = \pi r (r + s)$$

$$A_M = \pi r s; e = \frac{h}{4}$$

- جذع المخروط الدوراني (الشكل 42)



الشكل 42

$$V = \frac{\pi}{3} h (R^2 + Rr + r^2)$$

الصيغة التقريبية للمخروط الدوراني

(تعطي قيمة V كبيرة جداً)

$$V \approx \frac{\pi}{2} h (R^2 + r^2)$$

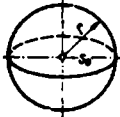
(تعطي قيمة V صغيرة جداً)

$$V \approx \frac{\pi}{4} h (R + r)^2$$

$$A_0 = \pi [R^2 + r^2 + s(R + r)]; A_M = \pi s (R + r)$$

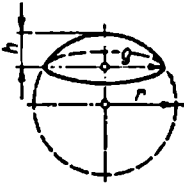
$$e = \frac{h}{4} \frac{R^2 + 2Rr + 3r^2}{R^2 + Rr + r^2}$$

- الكرة (الشكل 43)



الشكل 43

$$V = \frac{4}{3} \pi r^3 = \frac{1}{6} \pi d^3; A_0 = 4\pi r^2 = \pi d^2$$



الشكل 44

- القبة الكروية (الشكل 44)

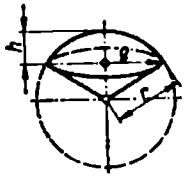
$$A_M = 2\pi r h = \pi(\rho^2 + h^2)$$

- القطاع الكروي (الشكل 44)

$$V = \frac{\pi}{3} h^2 (3r - h) = \frac{\pi}{6} h (3\rho^2 + h^2);$$

$$A_0 = \pi(2\rho^2 + h^2)$$

$$e = \frac{3}{4} \frac{(2r - h)^2}{3r - h}$$

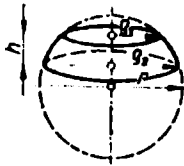


الشكل 45

- القطاع الكروي (الشكل 45)

$$V = \frac{2}{3} \pi r^2 h; A_0 = \pi r(\rho + 2h)$$

$$e = \frac{3}{8} (2r - h)$$



الشكل 46

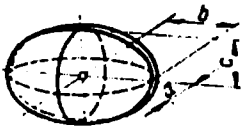
- طبقة من الكرة (الشكل 46):

$$V = \frac{\pi}{6} h (3\rho_1^2 + 3\rho_2^2 + h^2);$$

$$A_0 = \pi(\rho_1^2 + \rho_2^2 + 2rh)$$

- الحزب الكروي (الشكل 46)

$$A_M = 2\pi r h$$

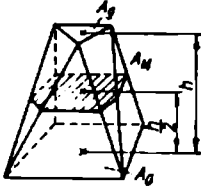


الشكل 47

- القطع الناقص الفرائي (الاهليلجي) (الشكل

(47)

$$V = \frac{4}{3} \pi abc$$



الشكل 48

- الهرم الفراغي (الشكل 48)

صيغة Simpson

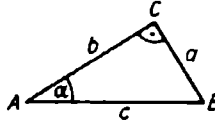
$$V = \frac{h}{6} (A_G + A_g + 4A_M)$$

- الأجسام الدورانية

يتم حساب السطوح الخارجية والحجوم بقاعدة Guldin.

3.4 الهندسة المستوية

1.3.4 علاقات الهندسة المستوية في المثلث القائم الزاوية (الشكل 49)



الشكل 49

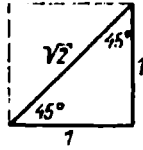
$$\sin \alpha = \frac{\text{المقابل}}{\text{الوتر}} = \frac{a}{c}$$

$$\cos \alpha = \frac{\text{المجاور}}{\text{الوتر}} = \frac{b}{c}$$

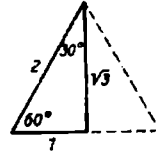
$$\tan \alpha = \frac{\text{المقابل}}{\text{المجاور}} = \frac{a}{b}$$

$$\cot \alpha = \frac{\text{المجاور}}{\text{المقابل}} = \frac{b}{a}$$

قيم التوابع الهامة (الشكلين 50 و 51)



الشكل 51



الشكل 50

α	0°	30°	45°	60°	90°
$\sin \alpha =$	0	$\frac{1}{2} = 0.5$	$\frac{1}{2}\sqrt{2} \approx 0.707$	$\frac{1}{2}\sqrt{3} \approx 0.866$	1
$\cos \alpha =$	1	$\frac{1}{2}\sqrt{3} \approx 0.866$	$\frac{1}{2}\sqrt{2} \approx 0.707$	$\frac{1}{2} = 0.5$	0
$\tan \alpha =$	0	$\frac{1}{3}\sqrt{3} \approx 0.577$	1	$\sqrt{3} \approx 1.732$	∞
$\cot \alpha =$	∞	$\sqrt{3} \approx 1.732$	1	$\frac{1}{3}\sqrt{3} \approx 0.577$	0

العلاقات بين التوابع ذات الزوايا المتساوية

$$\sin^2 \alpha + \cos^2 \alpha = 1$$

$$\tan \alpha \cdot \cot \alpha = 1$$

$$\tan \alpha = \frac{\sin \alpha}{\cos \alpha} = \frac{1}{\cot \alpha}$$

$$\cot \alpha = \frac{\cos \alpha}{\sin \alpha} = \frac{1}{\tan \alpha}$$

$$1 + \tan^2 \alpha = \frac{1}{\cos^2 \alpha}$$

$$1 + \cot^2 \alpha = \frac{1}{\sin^2 \alpha}$$

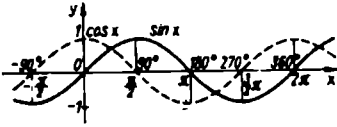
العلاقات المكملة للشكلين (52 و 53)

$$\sin(90^\circ - \alpha) = \cos \alpha$$

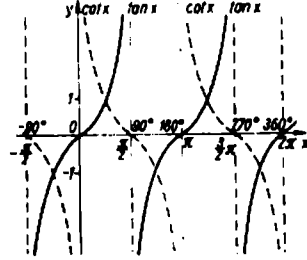
$$\cos(90^\circ - \alpha) = \sin \alpha$$

$$\tan(90^\circ - \alpha) = \cot \alpha$$

$$\cot(90^\circ - \alpha) = \tan \alpha$$



الشكل 52

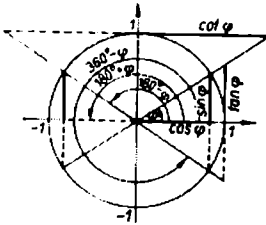


الشكل 53

2.3.4 إرجاع الزوايا إلى الربع الأول ($\varphi \leq 90^\circ$)

(الأشكال 52 ... 54)

الربع الثاني



الشكل 54

$$\sin(180^\circ - \varphi) = + \sin \varphi$$

$$\cos(180^\circ - \varphi) = - \cos \varphi$$

$$\tan(180^\circ - \varphi) = - \tan \varphi$$

$$\cot(180^\circ - \varphi) = - \cot \varphi$$

الربع الرابع

الربع الثالث

$$\sin(360^\circ - \varphi) = \sin(-\varphi) = - \sin \varphi$$

$$\cos(360^\circ - \varphi) = \cos(-\varphi) = + \cos \varphi$$

$$\tan(360^\circ - \varphi) = \tan(-\varphi) = - \tan \varphi$$

$$\cot(360^\circ - \varphi) = \cot(-\varphi) = - \cot \varphi$$

$$\sin(180^\circ + \varphi) = - \sin \varphi$$

$$\cos(180^\circ + \varphi) = - \cos \varphi$$

$$\tan(180^\circ + \varphi) = + \tan \varphi$$

$$\cot(180^\circ + \varphi) = + \cot \varphi$$

3.3.4 العلاقات المثلثية في المثلث العام

- قانون الجيب

$$\frac{a}{\sin \alpha} = \frac{b}{\sin \beta} = \frac{c}{\sin \gamma}$$

- قانون التنجيب

$$a^2 = b^2 + c^2 - 2bc \cos \alpha; \cos \alpha = \frac{b^2 + c^2 - a^2}{2bc}$$

$$b^2 = a^2 + c^2 - 2ac \cos \beta; \cos \beta = \frac{a^2 + c^2 - b^2}{2ac}$$

$$c^2 = a^2 + b^2 - 2ab \cos \gamma; \cos \gamma = \frac{a^2 + b^2 - c^2}{2ab}$$

- قانون الظل

$$\frac{a+b}{a-b} = \frac{\tan \frac{\alpha+\beta}{2}}{\tan \frac{\alpha-\beta}{2}}; \tan \frac{\alpha+\beta}{2} = \cot \frac{\gamma}{2}$$

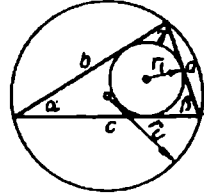
$$\tan \frac{\alpha}{2} = \sqrt{\frac{(s-b)(s-c)}{s(s-a)}} = \frac{r_i}{s-a}; \quad s = \frac{a+b+c}{2}$$

$$r_i = \sqrt{\frac{(s-a)(s-b)(s-c)}{s}}$$

$$= s \tan \frac{\alpha}{2} \tan \frac{\beta}{2} \tan \frac{\gamma}{2}$$

$$= 4r_u \sin \frac{\alpha}{2} \sin \frac{\beta}{2} \sin \frac{\gamma}{2}$$

- منصف الزاوية



الشكل 55

- نصف القطر الداخلي للدائرة المحيطة:

$$r_u = \frac{a}{2 \sin \alpha} = \frac{b}{2 \sin \beta} = \frac{c}{2 \sin \gamma}$$

$$A = \frac{1}{2} \sin \gamma = \frac{a^2 \sin \beta \sin \gamma}{2 \sin \alpha}$$

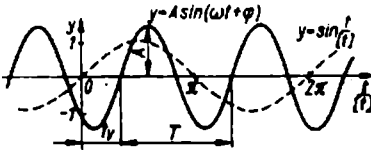
$$= r_1 s = \sqrt{s(s-a)(s-b)(s-c)}$$

$$= \frac{abc}{4r_u} = 2r_u^2 \sin \alpha \sin \beta \sin \gamma$$

4.2.4 تابع الجيب $y = A \sin(\omega t + \varphi)$

الزمن t	السعة (قيمة) A
الطور φ (زاوية الطور)	التردد الزاوي ω
الطور t_v (الانسحاب)	(التردد f) $\omega = 2\pi f$
	(زمن الدور T) $= \frac{2\pi}{T}$

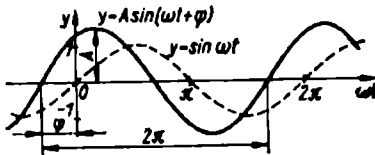
- التمثيل بـ $v[t]$



الشكل 56

$$T = \frac{2\pi}{\omega}$$

$$t_v = -\frac{\varphi}{\omega}$$



الشكل 57

التمثيل بـ ωt

$$\varphi = -\omega t_v$$

$$\omega T = 2\pi$$

5.3.4 نظريات الجمع

- علاقات جمع وطرح الزوايا

$$\sin(\alpha \pm \beta) = \sin \alpha \cdot \cos \beta \pm \cos \alpha \cdot \sin \beta$$

$$\cos(\alpha \pm \beta) = \cos \alpha \cdot \cos \beta \mp \sin \alpha \cdot \sin \beta$$

$$\tan(\alpha \pm \beta) = \frac{\tan \alpha \pm \tan \beta}{1 \mp \tan \alpha \cdot \tan \beta}$$

$$\cot(\alpha \pm \beta) = \frac{\cot \alpha \cdot \cot \beta \pm 1}{\cot \beta \pm \cot \alpha}$$

- العلاقات بين مضاعفات وأنصاف الزوايا:

$$\sin 2\alpha = 2 \sin \alpha \cdot \cos \alpha$$

$$\sin \alpha = 2 \sin \frac{\alpha}{2} \cos \frac{\alpha}{2}$$

$$\cos 2\alpha = \cos^2 \alpha - \sin^2 \alpha$$

$$\cos \alpha = \cos^2 \frac{\alpha}{2} - \sin^2 \frac{\alpha}{2}$$

$$= 2 \cos^2 \alpha - 1 = 1 - 2 \sin^2 \alpha$$

$$= 2 \cos^2 \frac{\alpha}{2} - 1 = 1 - 2 \sin^2 \frac{\alpha}{2}$$

$$\tan 2\alpha = \frac{2 \tan \alpha}{1 - \tan^2 \alpha}$$

$$\tan \alpha = \frac{2 \tan \frac{\alpha}{2}}{1 - \tan^2 \frac{\alpha}{2}}$$

$$\cot 2\alpha = \frac{\cot^2 \alpha - 1}{2 \cot \alpha}$$

$$\cot \alpha = \frac{\cot^2 \frac{\alpha}{2} - 1}{2 \cot \frac{\alpha}{2}}$$

- مجموع وفرق علاقتين:

$$\sin \alpha + \sin \beta = 2 \sin \frac{\alpha + \beta}{2} \cos \frac{\alpha - \beta}{2}$$

$$\sin \alpha - \sin \beta = 2 \cos \frac{\alpha + \beta}{2} \sin \frac{\alpha - \beta}{2}$$

$$\cos \alpha + \cos \beta = 2 \cos \frac{\alpha + \beta}{2} \cos \frac{\alpha - \beta}{2}$$

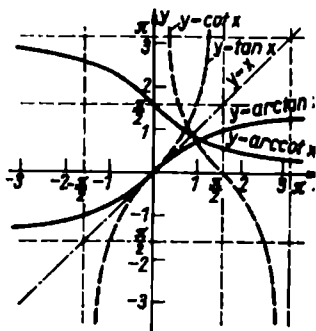
$$\cos \alpha - \cos \beta = 2 \sin \frac{\alpha + \beta}{2} \sin \frac{\alpha - \beta}{2}$$

6.3.4 التوابع المثلثية العكسية: (الشكلين 58 و 59)

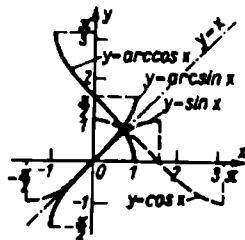
	بمجال التعريف	بمجال القيم
$y = \arcsin x$	$-1 \leq x \leq 1$	$-\frac{\pi}{2} \leq y \leq \frac{\pi}{2}$
$y = \arccos x$	$-1 \leq x \leq 1$	$0 \leq y \leq \pi$
$y = \arctan x$	$-\infty < x < \infty$	$-\frac{\pi}{2} < y < \frac{\pi}{2}$
$y = \operatorname{arccot} x$	$-\infty < x < \infty$	$0 < y < \pi$

$$\arcsin x + \arccos x = \frac{\pi}{2}$$

$$\arctan x + \operatorname{arccot} x = \frac{\pi}{2}$$



الشكل 59



الشكل 58

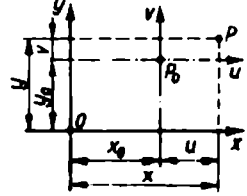
5. الهندسة التحليلية

1.5 المستقيم، المسافة

الانسحاب الموازي لنظام الإحداثيات (الشكل 60)

$$u = x - x_0 \quad v = y - y_0$$

$$x = u + x_0 \quad y = v + y_0$$



الشكل 60

المسافة (الشكل 61)

$$P_1P_2 = l = \sqrt{(x_2 - x_1)^2 + (y_2 - y_1)^2}$$

معادلة المستقيم

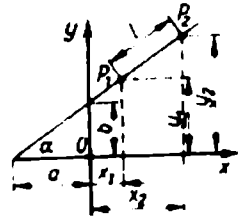
$$y = mx + b \quad \text{الصيغة الطبيعية}$$

$$m = \tan \alpha = \frac{y_2 - y_1}{x_2 - x_1} \quad \text{الميل}$$

$$\frac{y - y_1}{x - x_1} = m \quad \text{صيغة اتجاه النقطة}$$

$$\frac{y - y_1}{x - x_1} = \frac{y_2 - y_1}{x_2 - x_1} \quad \text{شكل نقطتين}$$

$$\frac{x}{a} + \frac{y}{b} = 1 \quad \text{صيغة قطع المحاور}$$



الشكل 61

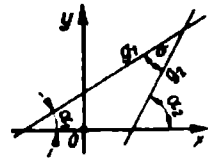
الزاوية بين مستقيمين (الشكل 62)

$$\tan \sigma = \frac{m_2 - m_1}{1 + m_1 m_2}; \quad m_1 = \tan \alpha_1$$

$$m_2 = \tan \alpha_2$$

$$\sigma = 90^\circ \text{ عندما } g_2 \perp g_1: \quad m_2 = -\frac{1}{m_1}$$

$$\sigma = 0^\circ \text{ عندما } g_2 \parallel g_1: \quad m_2 = m_1$$



الشكل 62

2.5 المثلث (الشكل 63)

$$A = \left| \frac{1}{2} [x_1(y_2 - y_3) + x_2(y_3 - y_1) + x_3(y_1 - y_2)] \right| \quad \text{المساحة:}$$

$$x_s = \frac{x_1 + x_2 + x_3}{3}; y_s = \frac{y_1 + y_2 + y_3}{3} \quad \text{إحداثيات مركز الثقل}$$

3.5 الدائرة (الشكل 64)

معادلة الدائرة عندما يقع مركزها في النقطة $M(0,0)$ هي $x^2 + y^2 = r^2$

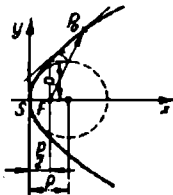
معادلة المائل P_0 على الدائرة) أو المماس (خارج الدائرة P_0) هي $xx_0 + yy_0 = r^2$

معادلة الدائرة إذا انسحب مركزها إلى الإحداثيات $M(x_m, y_m)$

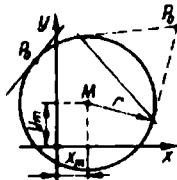
$$(x - x_m)^2 + (y - y_m)^2 = r^2$$

معادلة المماس أو الظل من أجل: $M(x_m, y_m)$

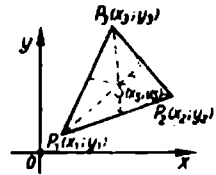
$$(x - x_m)(x_0 - x_m) + (y - y_m)(y_0 - y_m) = r^2$$



الشكل 65



الشكل 64



الشكل 63

4.5 القطع المكافئ (الشكل 65)

معادلة القمة

$$y^2 = 2px \quad (1) \quad \text{(مفتوح لليمين)}$$

$$x^2 = 2py \quad \text{(مفتوح للأعلى)} \quad \text{II}$$

$$y^2 = -2px \quad \text{(مفتوح لليساار)} \quad \text{III}$$

$$x^2 = -2py \quad \text{(مفتوح للأسفل)} \quad \text{IV}$$

معادلة المماس (P_0 على القطع المكافئ) أو على الوتر الملامس (P_0 خارج القطع المكافئ).

$$\text{I) } yy_0 = p(x + x_0)$$

$$\text{II) } xx_0 = p(y + y_0)$$

معادلة القطع المكافئ المسحوب الموازي بـ $S(x_0, y_0)$

$$\text{I) } (y - y_0)^2 = 2p(x - x_0)$$

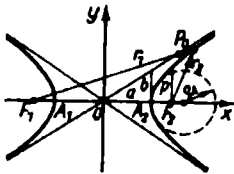
$$\text{II) } (x - x_0)^2 = 2p(y - y_0)$$

نصف المتحول P - الإحداثيات في المحرق F ؛ $\overline{FS} = \frac{p}{2}$

$$r = \overline{FP_0} = x_0 + \frac{p}{2}$$

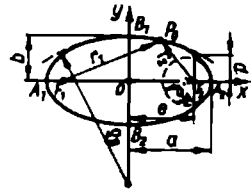
5.5 القطع الناقص والزائد

القطع الزائد (الشكل 67)



الشكل 67

القطع الناقص (الشكل 66)



الشكل 66

معادلة المركز مع $M(0,0)$

$$\frac{x^2}{a^2} + \frac{y^2}{b^2} = 1$$

$$\frac{x^2}{a^2} - \frac{y^2}{b^2} = 1$$

معادلة المماس (P_0 على المنحني) أو (P_0 خارج المنحني)

$$\frac{xx_0}{a^2} + \frac{yy_0}{b^2} = 1$$

$$\frac{xx_0}{a^2} - \frac{yy_0}{b^2} = 1$$

معادلة الناظم المنسحب الموازي $M(x_m; y_m)$ —

$$\frac{(x - x_m)^2}{a^2} + \frac{(y - y_m)^2}{b^2} = 1$$

$$\frac{(x - x_m)^2}{a^2} - \frac{(y - y_m)^2}{b^2} = 1$$

معادلة الناظم أو معادلة التماس من أجل $M(x_m; y_m)$

$$\frac{(x - x_m)(x_0 - y_m)}{a^2} - \frac{(y - y_m)(y_0 - y_m)}{b^2} = 1$$

$$\frac{(x - x_m)(x_0 - x_m)}{a^2} + \frac{(y - y_m)(y_0 - y_m)}{b^2} = 1$$

معادلة القمة

$$y^2 = 2px - \frac{p}{a}x^2$$

$$y^2 = 2px + \frac{p}{a}x^2$$

[الرأس $A_1(0,0)$]

[الرأس $A_2(0,0)$]

المتحول النصف

$$p = \frac{b^2}{a}$$

$$p = \frac{b^2}{a}$$

البعد غير المركزي الخطي

$$e^2 = a^2 + b^2$$

$$e^2 = a^2 - b^2$$

البعد غير المركزي الرقمي

$$\epsilon = \frac{c}{a} < 1$$

$$\epsilon = \frac{c}{a} > 1$$

أشعة المحرق

$$r_2 = \epsilon x_0 - a$$

$$r_1 = \epsilon x_0 + a,$$

$$r_2 = a - \epsilon x_0,$$

$$r_1 = a + \epsilon x_0,$$

خواص الموقع

$$r_1 - r_2 = 2a$$

$$r_1 + r_2 = 2a$$

أنصاف أقطار دوائر الانحناء الرئيسية

$$\rho_A = \frac{b^2}{a}, \rho_B = \frac{a^2}{b}$$

$$\rho_A = \frac{b^2}{a}$$

معادلات الخطوط المقاربة

$$y = \frac{b}{a}x, y = -\frac{b}{a}x$$

السطح

$$A = \pi ab$$

6.5 المعادلة العامة لمقاطع المخروط الانسحابي المتوازي

$$Ax^2 + By^2 + Cx + Dy + E = 0$$

$$A = B$$

الدائرة

A أو B تساوي الصفر

القطع المكافئ

A و B لها نفس الإشارة

القطع الناقص

A و B مختلفتان في الإشارة

القطع الزائد

6. حساب التفاضل

1.6 القيم الحدية

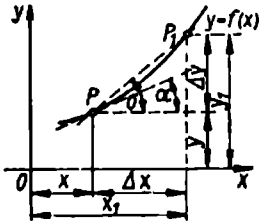
$$\lim_{x \rightarrow \infty} \frac{\sin x}{x} = 1, \lim_{x \rightarrow 0} \frac{\tan x}{x} = 1$$

$$\lim_{n \rightarrow \infty} \left(1 + \frac{1}{n}\right)^n = 2.71828... = e = 1 + 1 + \frac{1}{2!} + \frac{1}{3!} + \dots$$

$$1! = 1, 2! = 1 \cdot 2 = 2, 3! = 1 \cdot 2 \cdot 3 = 6,$$

$$4! = 1 \cdot 2 \cdot 3 \cdot 4 = 24, \dots, n! = 1 \cdot 2 \cdot 3 \cdot \dots \cdot n$$

2.6 نسب التفاضل



الشكل 68

إن نسب التفاضل

$$\frac{\Delta y}{\Delta x} = \frac{y_1 - y}{x_1 - x} = \frac{f(x + \Delta x) - f(x)}{\Delta x} = \tan \alpha$$

هي نسبة التزايد لمركز الإحداثيات إلى التزايد في المحاور وتمثل هذه النسبة تزايد ميل المنحني الذي يمر من خلال النقاط p_1 و p (الشكل 68)

3.6 نسب التفاضل (الاشتقاق)

الاشتقاق (نسب التفاضل)

$$\begin{aligned} y' = f'(x) &= \frac{dy}{dx} = \lim_{x_1 \rightarrow x} \frac{y_1 - y}{x_1 - x} \\ &= \lim_{\Delta x \rightarrow 0} \frac{\Delta y}{\Delta x} = \lim_{\Delta x \rightarrow 0} \frac{f(x + \Delta x) - f(x)}{\Delta x} = \tan \alpha \end{aligned}$$

هي القيمة الحدية لنسب التفاضل وتعطي ازدياد الناظم الواقع في النقطة $P(x,y)$ على المنحني (الشكل 68).

4.6 قواعد الاشتقاق

شكليه	المشتق	التابع
$y = cf(x)$	$y' = cf'(x)$	التابع مع معامل ثابت
$y = x^n$	$y' = nx^{n-1}$	التابع الأسى
$y = \sqrt{x}$	$y' = \frac{1}{2\sqrt{x}}$	التابع الجذرى
$y = c$	$y' = 0$	التابع الثابت
$y = u(x) \pm v(x)$	$y' = u'(x) \pm v'(x)$	مجموع أو فرق تابعين
$y = u(x) v(x)$	$y' = u'v + uv'$	جداء تابعين
$y = \frac{u(x)}{v(x)}$	$y' = \frac{u'v - uv'}{v^2}$	قسمة تابعين
$y = f[u(x)]$	$y' = f'(u) \cdot u'(x)$ $= \frac{dy}{du} \frac{du}{dx}$	تابع التابع، قاعدة السلسلة
$y = \sqrt{u(x)}$	$y' = \frac{u'(x)}{2\sqrt{u(x)}}$	
$x = \varphi(y)$	$y' = \frac{dy}{dx} = \frac{1}{dx/dy}$	التابع العكسى

5.6 اشتقاق التوابيع الأساسية المشتق

التابع	المشتق
$y = e^x$	$y' = e^x$
$y = a^x$	$y' = a^x \ln a$
$y = \ln x$	$y' = \frac{1}{x}$
$y = \lg x$	$y' = \frac{1}{x \ln 10} = \frac{1}{x} \lg e$

التابع	المشتق
$y = \sin x$	$y' = \cos x$
$y = \cos x$	$y' = -\sin x$
$y = \tan x$	$y' = \frac{1}{\cos^2 x} = 1 + \tan^2 x$
$y = \cot x$	$y' = -\frac{1}{\sin^2 x} = -(1 + \cot^2 x)$
$y = \arcsin x$	$y' = \frac{1}{\sqrt{1-x^2}} \quad (x < 1)$
$y = \arccos x$	$y' = -\frac{1}{\sqrt{1-x^2}} \quad (x < 1)$
$y = \arctan x$	$y' = \frac{1}{1+x^2}$
$y = \operatorname{arccot} x$	$y' = -\frac{1}{1+x^2}$
$y = \sinh x$	$y' = \cosh x$
$y = \cosh x$	$y' = \sinh x$
$y = \tanh x$	$y' = \frac{1}{\cosh^2 x} = 1 - \tanh^2 x$
$y = \operatorname{coth} x$	$y' = -\frac{1}{\sinh^2 x} = 1 - \operatorname{coth}^2 x$
$y = \operatorname{ar} \sinh x = \ln(x + \sqrt{x^2 + 1})$	$y' = \frac{1}{\sqrt{x^2 + 1}}$
$y = \operatorname{ar} \cosh x = \ln(x + \sqrt{x^2 - 1})$	$y' = \frac{1}{\sqrt{x^2 - 1}} \quad (x > 1)$
$y = \operatorname{ar} \tanh x = \frac{1}{2} \ln \frac{1+x}{1-x}$	$y' = \frac{1}{1-x^2} \quad (x < 1)$
$y = \operatorname{ar} \operatorname{coth} x = \frac{1}{2} \ln \frac{x+1}{x-1}$	$y' = \frac{1}{1-x^2} \quad (x > 1)$

6.6 فحص المنحنيات

y	y'	y''	y'''	
	$\neq 0$	$\neq 0$	أي قيمة	موقع الصفر البسيط
	$\neq 0$	$= 0$	$\neq 0$	موقع الصفر البسيط، نقطة انعطاف على المحور x
$= 0$	$= 0$	$\neq 0$	أي قيمة	نقطة الصفر مضاعفة، المنحني يلامس المحور x
	$= 0$	$= 0$	$\neq 0$	موقع الصفر البسيط، المحور x هو ناظم التحويل
	$= 0$	< 0	أي قيمة	نهاية عظمى
أي قيمة	$= 0$	> 0	أي قيمة	نهاية صغرى
	$= 0$	$= 0$	$\neq 0$	نقطة تحويل مع ناظم تحويل شاقولي
أي قيمة	$\neq 0$	$= 0$	$\neq 0$	نقطة تحويل

عندما يرى المنحني من الأسفل مقعر، هذا يعني بأن له انحناء نحو اليمين عندما يكون $y''' < 0$

يقال بأن المنحني محدب، في حال النظر من الأسفل، هذا يعني بأن تحدبه يساوي عندما: $y''' > 0$

$$\rho = \frac{\left(\sqrt{1 + y'^2} \right)^3}{y''}$$

نصف قطر القوس

7.6 المشتقات الجزئية

من أجل تابع لعدة متحولات مستقلة : $z = f(x, y, t, \dots, w)$

يتم الاشتقاق الجزئي بالنسبة لإحدى المتحولات، عندما نعامل بقية المتحولات عند الاشتقاق كقيم ثابتة. أمثلة:

$$z = f(x, y) = 3x^2y - 2xy^3$$

$$\frac{\partial z}{\partial x} = z_x = f_x = 6xy - 2y^3 \quad \frac{\partial z}{\partial y} = z_y = f_y = 3x^2 - 6xy^2$$

$$\frac{\partial^2 z}{\partial x^2} = z_{xx} = f_{xx} = 6y \quad \frac{\partial^2 z}{\partial y^2} = z_{yy} = f_{yy} = -12xy$$

$$\frac{\partial^2 z}{\partial x \partial y} = z_{xy} = f_{xy} = 6x - 6y^2 = \frac{\partial^2 z}{\partial y \partial x} = z_{yx} = f_{yx}$$

إن التفاضل التام أو الكامل لتابع لعدة متحولات مستقلة هو:

$$dz = \frac{\partial z}{\partial x} dx + \frac{\partial z}{\partial y} dy + \dots + \frac{\partial z}{\partial w} dw$$

8.6 حساب الأخطاء (الارتياح)

الخطأ المطلق

$$\Delta a = a - a^*$$

حيث a القيمة التقريبية (القيمة المقاسة)

a^* القيمة الدقيقة (الفعلية)

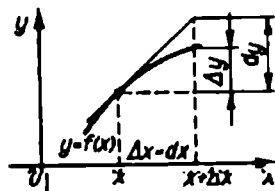
الخطأ النسبي

$$\frac{\Delta a}{a} (\Delta a \ll a)$$

الخطأ النسبي

$$\frac{\Delta a}{a} . 100\%$$

عند القيمة $y = f(x)$ التي تتعلق بخطأ Δx تابع
 لقيمة x ، تكون (تحت شرط $\Delta x \ll x$) القيمة
 العظمى للخطأ المطلق (الشكل 69)



الشكل 69

$$\Delta y \approx dy$$

الخطأ المطلق $\Delta y \approx y' \Delta x$

الخطأ النسبي $\frac{\Delta y}{y} \approx \frac{y'}{y} \Delta x$

y'/y نحصل عليها من خلال إيجاد اللوغاريتم وأخيراً التفاضل للتابع $y = f(x)$

$$[\ln y]' = \frac{y'}{y}$$

من أجل القيمة $y = f(x_1, x_2, \dots, x_n)$ والتي تتعلق بخطأ قياس Δx_i ، بقيم قابلة
 للقياس (قيم قياسية) x_i ، ينتج التفاضل الكلي dy مع تقريب جيد للخطأ Δy ،
 إذا كان $\Delta x_i \ll x_i$.

$$\Delta y \approx dy = \frac{\partial y}{\partial x_1} \Delta x_1 + \frac{\partial y}{\partial x_2} \Delta x_2 + \dots + \frac{\partial y}{\partial x_n} \Delta x_n$$

ويكون الخطأ الأعظمي:

$$\Delta y_{\max} = \left| \frac{\partial y}{\partial x_1} \Delta x_1 \right| + \left| \frac{\partial y}{\partial x_2} \Delta x_2 \right| + \dots + \left| \frac{\partial y}{\partial x_n} \Delta x_n \right|$$

7. حساب التكامل

1.7 التكامل غير المحدد

التكامل هو عكس التفاضل. فتكامل تابع معطى (التكامل) هو التابع الذي إذا تم
 اشتقاقه حصلنا على التابع الأصلي:

$$\int f(x)dx = F(x) + C \text{ عندما } F'(x) = f(x)$$

يدعى C ثابت التكامل

بسبب عدم تحديد ثوابت التكامل هناك توابع تكامل غير نهائية للمتكامل والتي تتميز فقط من خلال إضافة ثوابت ولذلك تكون منحنياتها فقط في اتجاه y ومتوازية ومنسوجة بالنسبة لبعضها.

2.7 التكامل الجزئي

نحصل على تكامل جزئي بالنسبة للتكامل غير المحدود، إذا أمكن تقسيم ثابت التكامل خلال الشروط الابتدائية إلى قيمة محدودة.

مثال:

$$\int x^2 dx$$

$$x = 1, \int x^2 dx = 0 \text{ (الشكل 70)}$$

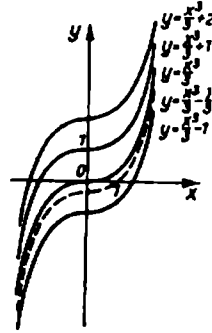
$$\int x^2 dx = \frac{x^3}{3} + C$$

الشروط الابتدائية

$$0 = \frac{1}{3} + C$$

$$C = -\frac{1}{3}$$

$$\int x^2 dx = \frac{x^3}{3} - \frac{1}{3}$$



الشكل 70

3.7 التكامل المحدد

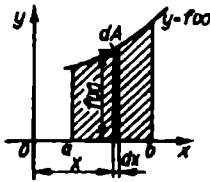
نحصل على التكامل المحدد بقيمتين ($x = a$ و $x = b$) من تكامل غير محدد والذي يتم فيه تعويض x مرة لحدود القيمة العليا والقيمة b لحدود القيمة الدنيا وقيمة التابع الناتجة تطرح من بعضهما. يهمل الثابت C

$$\int_a^b f(x)dx = F(x) \Big|_a^b = F(b) - F(a)$$

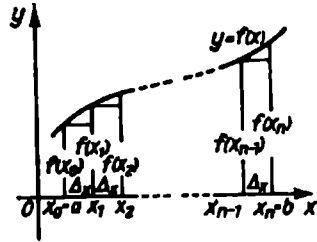
يظهر التكامل المحدد القيمة الحدية للمجموع

$$\int_a^b f(x)dx = \lim_{\Delta x \rightarrow 0} \sum_{x_k=a}^{x_k=b} f(x_k) \Delta x$$

إن التكامل المحدد يعطي قيمة محتوى المساحة المغلقة الواقعة تحت المنحنى ($y = f(x)$) والمحدد بالمحور x وكلا محوري الأقطاب $x = a$ و $x = b$. (الشكل 72)



الشكل 72



الشكل 71

قواعد الحساب مع تكاملات محددة

1. في حال كون المتكامل $f(x)$ ضمن المجال من $x = a$ حتى $x = b$ سالب، يكون التكامل $\int_a^b f(x)dx$ أيضاً سالباً، هذا يعني أن قطعة المنحنى المحدودة واقعة تحت المحور x ، ينتج (للمساحة المحصورة تحت المحور x) قيمة سلبية للمساحة.

2. يمكن تقسيم مجال التكامل إلى أجزاء ويتم بعدها تكامل التوابع في المجالات الجزئية كل على حدة.

من 1 و 2 ينتج:

3. عندما يتطلب حساب القيمة المطلقة للمساحة تحت المنحني $f(x)$ للحدود من a حتى b ويأخذ التابع $f(x)$ في المجال القيمة صفر x_0 ، تكون المساحة هي مجموع القيم المطلقة من

$$\int_a^{x_0} f(x)dx \quad \text{و} \quad \int_{x_0}^b f(x)dx$$

4. للمتكامل الذي يمثل توابع متناظرة نطبق الحدود للموقع المتناظر:

$$\int_{-a}^{+a} f(x)dx = 2 \int_0^a f(x)dx \quad \text{من أجل} \quad f(-x) = f(x)$$

5. في حال تبادل مجالات التكامل المحدد تحت بعضها البعض، يجب تغيير إشارة التكامل

$$\int_a^b f(x)dx = -\int_b^a f(x)dx$$

4.7 قواعد التكامل

التكامل والتفاضل يلغيان بعضهما البعض

$$\frac{d \int f(x)dx}{dx} = d \int f(x) = f(x),$$

$$\int f'(x)dx = \int df(x) = f(x) + C$$

يمكن وضع العامل الثابت للمتكامل قبل إشارة التكامل

$$\int af(x)dx = a \int f(x)dx$$

يمكن تكامل عناصر المجموع

$$\int [f(x) + g(x)]dx = \int f(x)dx + \int g(x)dx$$

5.7 التكاملات الأساسية

$$\int x^n dx = \frac{x^{n+1}}{n+1} + C \quad (n \neq -1)$$

$$\int e^x dx = e^x + C$$

$$\int \frac{1}{x} dx = \ln|x| + C$$

$$\int a^x dx = \frac{a^x}{\ln a} + C$$

$$\int \sin x dx = -\cos x + C$$

$$\int \frac{dx}{\sqrt{1-x^2}} = \arcsin x + C_1$$

$$= \arccos x + C_2$$

$$\int \cos x dx = \sin x + C$$

$$\int \frac{dx}{1+x^2} = \arctan x + C_1$$

$$= \operatorname{arccot} x + C_2$$

$$\int \frac{dx}{\sin^2 x} = \int (1 + \cot^2 x) dx = -\cot x + C$$

$$\int \frac{dx}{\cos^2 x} = \int (1 + \tan^2 x) dx = \tan x + C$$

$$\int \sinh x dx = \cosh x + C$$

$$\int \cosh x dx = \sinh x + C$$

$$\int \frac{dx}{\sinh^2 x} = \int (\coth^2 x - 1) dx = -\coth x + C$$

$$\int \frac{dx}{\cosh^2 x} = \int (1 - \tanh^2 x) dx = \tanh x + C$$

$$\int \frac{dx}{\sqrt{x^2+1}} = \operatorname{arsinh} x + C = \ln|x + \sqrt{x^2+1}| + C$$

$$\int \frac{dx}{\sqrt{x^2-1}} = \operatorname{arcosh} x + C = \ln|x + \sqrt{x^2-1}| + C \quad (x > 1)$$

$$\int \frac{dx}{1-x^2} = \operatorname{artanh} x + C = \frac{1}{2} \ln \frac{1+x}{1-x} + C \quad (|x| < 1)$$

$$\operatorname{arcoth} x + C = \frac{1}{2} \ln \frac{1+x}{1-x} + C \quad (|x| > 1)$$

6.7 عملية التكامل

التكامل عن طريق التعويض

التكامل هو	الطرح	$\int f(x)dx$	مثال
علاقة أحد التوابع الخطية $f(x) = \varphi(ax + b)$	$ax + b = z$ $dx = \frac{1}{a} dz$	$\frac{1}{a} \int \varphi(z)dz$	$\int \sin(ax + b)dx$ $= \frac{1}{a} \int \sin z dz$ $= -\frac{1}{a} \cos(ax + b) + C$
تابع جداء مشتق $f(x) = \varphi(x) \varphi'(x)$	$\varphi(x) = z$ $\varphi'(x) dx = dz$	$= \int \frac{dz}{z}$ $= \frac{1}{2} [\varphi(x)]^2 + C$	$\int \sin x \cos x dx$ $= \int z dz$ $= \frac{1}{2} \sin^2 x + C$
الاشتقاق عن طريق تابع $f(x) = \frac{\varphi'(x)}{\varphi(x)}$	$\varphi(x) = z$ $\varphi'(x) dx = dz$	$= \int \frac{dz}{z}$ $= \ln \varphi(x) + C$	$\int \cot x dx$ $= \int \frac{\cos x}{\sin x} dx$ $= \int \frac{dz}{z}$ $= \ln \sin x + C$
علاقة منطقيّة لتوابع هندسية مثلثية $f(x) = R(\sin x, \cos x, \tan x, \cot x)$	$\tan \frac{x}{2} = z$ $dx = \frac{2dz}{1+z^2}$ $\sin x = \frac{2z}{1+z^2}$ $\cos x = \frac{1-z^2}{1+z^2}$ $\tan x = \frac{2z}{1-z^2}$	$= \int R(z) dz$	$\int \frac{\cos x}{\sin x} = \int \frac{dz}{z}$ $= \ln z + C$ $= \ln \left \tan \frac{x}{2} \right + C$

التكامل بطريقة تفريق الكسور

كل تابع غير حقيقي كسري منطقي يتمثل وفق إضافة الأجزاء كمجموع توابع منطقية كاملة وتوابع منطقية كسرية وغير حقيقية.

كل تابع حقيقي منطقي قابل للكسر يمكن تجزئته إلى أعمدة بعد تحديد موقع الصفر لتابع الصورة إلى كسور جزئية. نستخدم الفرضيات التالية حسب نوع موقع صفر تابع الصورة للتكامل:

هل مواقع الصفر:

$$\text{حقيقي ووحيد: } \frac{A}{x-x_1} + \frac{B}{x-x_2} + \frac{C}{x-x_3} + \dots$$

$$\text{حقيقي ومتعدد (n درجة): } \frac{D_n}{(x-x_8)^n} + \frac{D_{n-1}}{(x-x_8)^{n-1}} + \dots + \frac{D_1}{x-x_8}$$

$$\text{مركب ومبسط: } \frac{Px+Q}{x^2+px+q}$$

يتم إيجاد القيم $A, B, \dots, D_n, \dots, D_1, P, Q$ من نظام المعادلات الناشئ حسب تعويض قيم خاصة للمتحول x أو خلال مقارنة العوامل.

التكامل بالتجزئة

$$\int u(x)v'(x)dx = u(x)v(x) - \int v(x)u'(x)dx$$

7.7 تكاملات خاصة (في جميع التكاملات يجب إضافة +C)

$$\int (ax+b)^n dx = \frac{(ax+b)^{n+1}}{a(n+1)} \quad (n \neq -1)$$

$$\int \frac{dx}{ax+b} = \frac{1}{a} \ln|ax+b|$$

$$\int \frac{x dx}{ax + b} = \frac{x}{a} - \frac{b}{a^2} \ln|ax + b|$$

$$\int \frac{dx}{x(ax + b)} = \frac{1}{b} \ln \left| \frac{ax + b}{x} \right|$$

$$\int \frac{x dx}{(ax + b)^2} = \frac{b}{a^2(ax + b)} + \frac{1}{a^2} \ln|ax + b|$$

$$\int \frac{dx}{a^2 + b^2 x^2} = \frac{1}{ab} \arctan \frac{b}{a} x$$

$$\int \frac{dx}{a^2 - b^2 x^2} = \frac{1}{2ab} \ln \left| \frac{a + bx}{a - bx} \right|$$

$$\frac{1}{\sqrt{ac - b^2}} \arctan \frac{b + cx}{\sqrt{ac - b^2}} \quad \text{for } ac > b^2$$

$$\int \frac{dx}{a + 2bx + cx^2} = \frac{1}{2\sqrt{b^2 - ac}} \ln \left| \frac{\sqrt{b^2 - ac} + b + cx}{\sqrt{b^2 - ac} - b + cx} \right| \quad \text{for } b^2 > ac$$

$$\frac{1}{b + cx} \quad \text{for } b^2 = ac$$

$$\int \frac{x dx}{a^2 \pm b^2 x^2} = \pm \frac{1}{2b} \ln|a^2 \pm b^2 x^2|$$

$$\int \frac{x dx}{a + 2bx + cx^2} = \frac{1}{2c} \ln|a + 2bx + cx^2| - \frac{b}{c} \int \frac{dx}{a + 2bx + cx^2}$$

$$\int \sqrt{b^2 x^2 \pm a^2} dx = \frac{x}{2} \sqrt{b^2 x^2 \pm a^2} \pm \frac{a^2}{2b} \ln|bx + \sqrt{b^2 x^2 \pm a^2}|$$

$$\int \sqrt{a^2 - b^2 x^2} dx = \frac{a^2}{2b} \arcsin \frac{b}{a} x + \frac{x}{2} \sqrt{a^2 - b^2 x^2}$$

$$\int x \sqrt{a^2 \pm b^2 x^2} dx = \pm \frac{1}{3b^2} (a^2 \pm b^2 x^2)^{\frac{3}{2}}$$

$$\int \frac{dx}{\sqrt{b^2 x^2 \pm a^2}} = \frac{1}{b} \ln|bx + \sqrt{b^2 x^2 \pm a^2}|$$

$$\int \frac{dx}{\sqrt{a^2 - b^2 x^2}} = \frac{1}{b} \arcsin \frac{b}{a} x$$

$$\int \frac{x dx}{\sqrt{a^2 \pm b^2 x^2}} = \pm \frac{1}{2b^2} \ln \sqrt{a^2 \pm b^2 x^2}$$

$$\int e^{ax} \sin bx dx = \frac{e^{ax}}{a^2 + b^2} (a \sin bx - b \cos bx)$$

$$\int e^{ax} \cos bx dx = \frac{e^{ax}}{a^2 + b^2} (b \sin bx + a \cos bx)$$

$$\int x \sin x dx = \sin x - x \cos x$$

$$\int x e^x dx = e^x (x - 1)$$

$$\int x \cos x dx = \cos x + x \sin x$$

$$\int x \ln x dx = \frac{x^2}{4} (2 \ln |x| - 1)$$

$$\int x^n \ln x dx = \frac{x^{n+1}}{(n+1)^2} (n+1) \ln |x| - 1] \quad (n \neq -1)$$

$$\int \ln x dx = x(\ln |x| - 1)$$

$$\int \frac{\ln x}{x} dx = \frac{1}{2} (\ln |x|)^2$$

$$\int \sin^2 x dx = \frac{1}{2} (x - \sin x \cos x)$$

$$\int \tan x dx = \ln |\cos x|$$

$$\int \cos^2 x dx = \frac{1}{2} (x + \sin x \cos x)$$

$$\int \cos x dx = \ln |\sin x|$$

$$\int \frac{dx}{\cos x} = \ln \left| \tan \frac{x}{2} + \frac{\pi}{4} \right|$$

$$\int \frac{dx}{\sin x} = \ln \left| \tan \frac{x}{2} \right|$$

$$\int \sin x \cos x \, dx = \frac{1}{2} \sin^2 x$$

$$\int \frac{dx}{\sin x \cos x} = \ln |\tan x|$$

$$\left. \begin{aligned} \int \sin ax \sin bx \, dx &= \frac{1}{2} \left[\frac{\sin(a-b)x}{a-b} - \frac{\sin(a+b)x}{a+b} \right] \\ \int \sin ax \cos bx \, dx &= -\frac{1}{2} \left[\frac{\cos(a+b)x}{a+b} + \frac{\cos(a-b)x}{a-b} \right] \\ \int \cos ax \cos bx \, dx &= \frac{1}{2} \left[\frac{\sin(a+b)x}{a+b} + \frac{\sin(a-b)x}{a-b} \right] \end{aligned} \right\} (a \neq |b|)$$

(n = 1, 2, 3,) أشكال الأيسر

$$\int x^n e^x \, dx = x^n e^x - n \int x^{n-1} e^x \, dx$$

$$\int x^n \sin x \, dx = x^n \cos x + n \int x^{n-1} \cos x \, dx$$

$$\int x^n \cos x \, dx = x^n \sin x - n \int x^{n-1} \sin x \, dx$$

$$\int (\ln x)^n \, dx = x (\ln x)^n - n \int (\ln x)^{n-1} \, dx$$

$$\int \sin^n x \, dx = -\frac{1}{n} \sin^{n-1} x \cos x + \frac{n-1}{n} \int \sin^{n-2} x \, dx$$

$$\int \cos^n x \, dx = \frac{1}{n} \cos^{n-1} x \sin x + \frac{n-1}{n} \int \cos^{n-2} x \, dx$$

$$\left. \int \frac{dx}{\sin^n x} = -\frac{1}{n-1} \frac{\cos x}{\sin^{n-1} x} + \frac{n-2}{n-1} \int \frac{dx}{\sin^{n-2} x} \right\} (n \neq 1)$$

$$\left. \int \frac{dx}{\cos^n x} = \frac{1}{n-1} \frac{\sin x}{\cos^{n-1} x} + \frac{n-2}{n-1} \int \frac{dx}{\cos^{n-2} x} \right\}$$

$$\int \frac{x^n dx}{\sqrt{a^2 \pm x^2}} = \pm \frac{1}{n} x^{n-1} \sqrt{a^2 \pm x^2} \mp \frac{n-1}{n} a^2 \int \frac{x^{n-2}}{\sqrt{a^2 \pm x^2}} dx$$

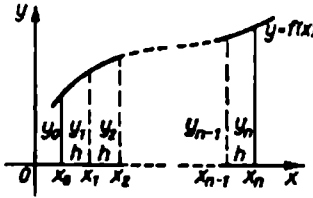
$$\int x^n \sqrt{a^2 \pm x^2} dx = \frac{x^{n+1}}{n+2} \sqrt{a^2 \pm x^2} + \frac{a^2}{n+2} \int \frac{x^n}{\sqrt{a^2 \pm x^2}} dx$$

8.7 التكامل من خلال التقريب (التكامل العددي)

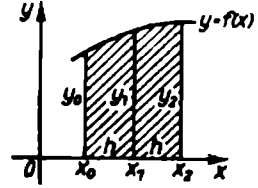
تكامل Kepler (الشكل 73)

تعطى المساحة بدقة عندما يكون $y = f(x)$ تابع حقيقي تام من الدرجة الثالثة

$$A \approx \frac{h}{3}(y_0 + 4y_1 + y_2) \quad \text{هنا} \quad h = \frac{x_2 - x_0}{2}$$



الشكل 74



الشكل 73

قاعدة Simpson (الشكل 74)

$$A \approx \frac{h}{3}[y_0 + y_n + 2(y_2 + y_4 + \dots + y_{n-2}) + 4(y_1 + y_3 + \dots + y_{n-1})]$$

في العلاقة $h = \frac{x_n - x_0}{n}$ يكون n مستقيم

9.7 تطبيقات في حساب التكامل

(المنحنيات شكل 75)

- طول القوس

$$s = \int_a^b ds = \int_a^b \sqrt{1 + y'^2} dx$$

- العزم الستاتيكي لمنحني مستوي (شكل 75) بالنسبة:

للمحور x	للمحور y
$M_x = \int_a^b y \sqrt{1+y'^2} dx$	$M_y = \int_a^b x \sqrt{1+y'^2} dx$

- أبعاد مركز الثقل

$y_s = \frac{M_x}{S}$	$x_s = \frac{M_y}{S}$
-----------------------	-----------------------

المساحات

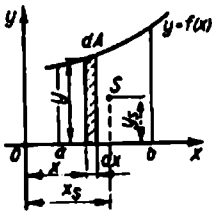
المساحة بين منحنيين (الشكل 76)

$$A = \int_a^b (y_2 - y_1) dx$$

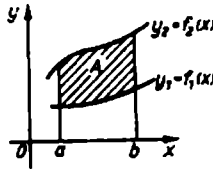
المساحة الدورانية للأجسام الدوارة

$$A_M = 2\pi \int_a^b y ds = 2\pi \int_a^b y \sqrt{1+y'^2} dx = 2\pi y_s S$$

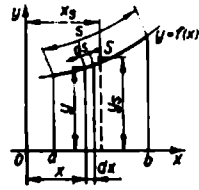
1. قاعدة Guldin: إن مساحة الجسم الدوار هي جداء طول المنحني المكون s وبعد مركز ثقل المنحني (شكل 75)



الشكل 77



الشكل 76



الشكل 75

العزم الستاتيكي للمساحة المستوية (شكل 77) بالنسبة:

للمحور x	للمحور y
$M_x = \frac{1}{2} \int_a^b y^2 dx$	$M_y = \int_a^b x \cdot y dx$

- أبعاد مركز الثقل

$x_s = \frac{M_y}{A}$	$y_s = \frac{M_x}{A}$
$(A = \int y dx = \int x dy)$	

- عزم عطالة السطوح المستوية

- عزم عطالة محوري

$I_x = \int y^2 dA$	$I_y = \int x^2 dA$
---------------------	---------------------

إن عزم العطالة المحوري للمساحات التي تحدد بالمنحنى $y = f(x)$ والمحاور الإحداثية $x = a$ و $x = b$ والمحور x هو:

$I_x = \frac{1}{3} \int_a^b y^3 dx$	$I_y = \int_a^b x^2 y dx$
-------------------------------------	---------------------------

يعطى عزم العطالة القطبي بالمعادلة

$$I_p = \int r^2 dA = I_x + I_y$$

الأجسام

الحجوم

$$V = \int_a^b dV = \int_a^b Q(x) dx$$

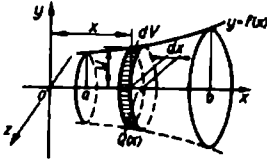
للأجسام الدوارة

$$V = \pi \int_a^b y^2 dx = 2\pi y_s A$$

2. قاعدة Guldin: إن حجم جسم دوار يساوي جداء المساحة الناتجة A وبعد مركز ثقل المساحة، (شكل 77)

العزم الستاتيكي للجسم، بالنسبة للمستوي (y-z) (شكل 78)

$$M_{yz} = \int_a^b x dV = \int_a^b x Q(x) dx = \pi \int_a^b xy^2 dx$$



الشكل 78

يعطى بعد مركز الثقل للمستوي y-z بالعلاقة

$$x_s = \frac{M_{yz}}{V}$$

8. السلاسل اللانهائية

1.8 السلاسل الأسية

نأخذ السلسلة الأسية اللانهائية الشكل

$$P(x) = a_0 + a_1 x + a_2 x^2 + \dots + a_n x^n + \dots = \sum_{n=0}^{\infty} a_n x^n$$

وتدعى هذه السلسلة محدبة عندما تنتهي P(x) عند قيم اعداد متزايدة غير معينة من العنصر (n → ∞) محدد إلى قيمة حدود نهائية.

إن مجال القيم لـ x من أجل سلسلة أسية محدبة هو مجال تعريفها.

يسمح ضمن السلاسل الأسية ذات المجال المحدب بشكل عناصر الجمع، والطرح، والتفاضل، والتكامل.

- سلاسل Taylor

$$f(x) = f(a) + \frac{f'(a)}{1!}(x-a) + \frac{f''(a)}{2!}(x-a)^2 + \frac{f'''(a)}{3!}(x-a)^3 + \dots$$

$$f(x+a) = f(a) + \frac{f'(a)}{1!}x + \frac{f''(a)}{2!}x^2 + \frac{f'''(a)}{3!}x^3 + \dots$$

صيغة Mac Laurin لسلاسل Taylor:

$$f(x) = f(0) + \frac{f'(0)}{1!}x + \frac{f''(0)}{2!}x^2 + \frac{f'''(0)}{3!}x^3 + \dots$$

أهم السلاسل الأسية

مجال التقارب

$$(a+x)^m = a^m + \frac{m}{1!}a^{m-1}x + \frac{m(m-1)}{2!}a^{m-2}x^2 + \frac{m(m-1)(m-2)}{3!}a^{m-3}x^3 + \dots$$

$$|x| < a$$

$$(1+x)^m = 1 + \frac{m}{1!}x + \frac{m(m-1)}{2!}x^2 + \frac{m(m-1)(m-2)}{3!}x^3 + \dots \quad |x| < 1$$

$$e^x = 1 + \frac{x}{1!} + \frac{x^2}{2!} + \frac{x^3}{3!} + \dots \quad |x| < \infty$$

$$a^x = 1 + \frac{x \ln a}{1!} + \frac{x^2 (\ln a)^2}{2!} + \frac{x^3 (\ln a)^3}{3!} + \dots \quad |x| < \infty$$

$$\ln x = 2 \frac{x-1}{x+1} + \frac{1}{3} \frac{x-1}{x+1}^3 + \frac{1}{5} \frac{x-1}{x+1}^5 + \dots \quad x > 0$$

$$\sin x = x - \frac{x^3}{3!} + \frac{x^5}{5!} - \frac{x^7}{7!} + \dots \quad |x| < \infty$$

$$\cos x = 1 - \frac{x^2}{2!} + \frac{x^4}{4!} - \frac{x^6}{6!} + \dots \quad |x| < \infty$$

$$\tan x = x + \frac{1}{3}x^3 + \frac{2}{15}x^5 + \frac{17}{315}x^7 + \dots \quad |x| < \frac{\pi}{2}$$

$$\cot x = \frac{1}{x} - \frac{1}{3}x + \frac{1}{45}x^3 - \frac{2}{945}x^5 + \dots \quad |x| < \pi$$

$$\arcsin x = x + \frac{1}{2} \frac{x^3}{3} + \frac{1 \times 3}{2 \times 4} \frac{x^5}{5} + \frac{1 \times 3 \times 5}{2 \times 4 \times 6} \frac{x^7}{7} + \dots \quad |x| < 1$$

$$\arctan x = x - \frac{x^3}{3} + \frac{x^5}{5} - \dots \quad |x| \leq 1$$

$$\sinh x = x + \frac{x^3}{3!} + \frac{x^5}{5!} + \dots \quad |x| < \infty$$

$$\cosh x = 1 + \frac{x^2}{2!} + \frac{x^4}{4!} + \dots \quad |x| < \infty$$

Fourier سلاسل 2.8

كل تابع دوري

$$f(x) = f(x + nT)$$

حيث (T) الدور، $(\omega = \frac{2\pi}{T})$ ، يمكن تمثيله من خلال سلسلة Fourier (سلسلة هندسية) من الشكل:

$$\begin{aligned} f(x) &= a_0 + a_1 \cos \omega x + a_2 \cos 2\omega x + a_3 \cos 3\omega x + \dots \\ &\quad + b_1 \sin \omega x + b_2 \sin 2\omega x + b_3 \sin 3\omega x + \dots \\ &= \sum_{n=0}^{\infty} (a_n \cos n\omega x + b_n \sin n\omega x) \end{aligned}$$

يتم حساب ثوابت سلسلة Fourier حسب صيغة Euler:

$$a_0 = \frac{1}{T} \int_0^T f(x) dx$$

$$b_n = \frac{2}{T} \int_0^T f(x) \sin n\omega x dx$$

$$a_n = \frac{2}{T} \int_0^T f(x) \cos n\omega x dx$$

$$(n = 1, 2, 3, \dots)$$

في التتابع التي يكون لمنحنياها بالنسبة لمحور معين نفس الشكل يكون لها نفس المساحة (الشكل 79)

$$a_0 = 0 \quad (a_0 \text{ الإحداثي الوسطي})$$

في التتابع الفردية يكون $[f(x) = f(-x)]$ كما في (الشكل 80)

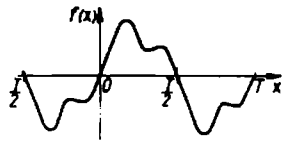
$$a_0 = \frac{2}{T} \int_0^T f(x) dx \quad b_n = 0$$

$$a_n = \frac{4}{T} \int_0^T f(x) \cos n\omega x dx$$

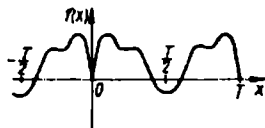
في التتابع الزوجية يكون $[f(x) = -f(-x)]$ كما في (الشكل 81)

$$a_0 = 0 \quad a_n = 0$$

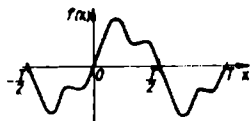
$$b_n = \frac{4}{T} \int_0^T f(x) \sin n\omega x dx$$



الشكل 79



الشكل 80



الشكل 81

أهم سلاسل Fourier

$$(\omega = 1 \text{ أي } T = 2\pi)$$

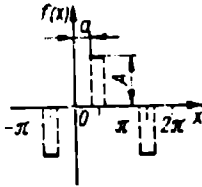
المنحنيات المستطيلة (الشكلين 82 a و b)

$$a) f(x) = \frac{4A}{\pi} \left(\sin x + \frac{1}{3} \sin 3x + \frac{1}{5} \sin 5x + \dots \right)$$

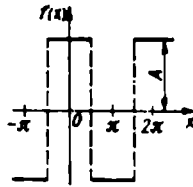
$$b) f(x) = \frac{4A}{\pi} \left(\cos x - \frac{1}{3} \cos 3x + \frac{1}{5} \cos 5x - \dots \right)$$

- المستطيل ذو النبضة (الشكل 82c)

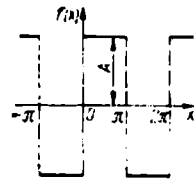
$$c) f(x) = \frac{4A}{\pi} \left(\cos a \sin x + \frac{\cos 3a}{3} \sin 3x + \frac{\cos 5a}{5} \sin 5x + \dots \right)$$



الشكل 82c



الشكل 82b

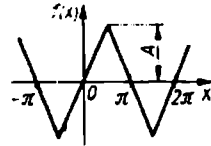


الشكل 82a

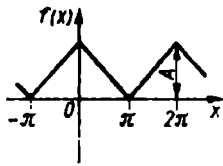
- المنحني ذو الشكل المثلثي (الأشكال 82d....g)

$$d) f(x) = \frac{8A}{\pi^2} \left(\sin x - \frac{\sin 3x}{3^2} + \frac{\sin 5x}{5^2} - \dots \right)$$

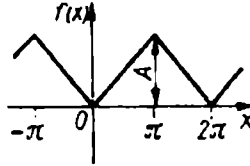
$$e) f(x) = \frac{8A}{\pi^2} \left(\cos x + \frac{\cos 3x}{3^2} + \frac{\cos 5x}{5^2} + \dots \right)$$



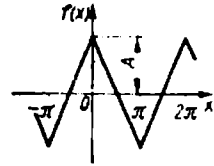
الشكل 82d



الشكل 82g



الشكل 82f



الشكل 82e

$$f) f(x) = \frac{A}{2} \left[1 - \frac{8}{\pi^2} \left(\cos x + \frac{\cos 3x}{3^2} + \frac{\cos 5x}{5^2} + \dots \right) \right]$$

$$g) f(x) = \frac{A}{2} \left[1 + \frac{8}{\pi^2} \left(\cos x + \frac{\cos 3x}{3^2} + \frac{\cos 5x}{5^2} + \dots \right) \right]$$

- منحنيات السن القائم (الأشكال k...82h)

$$h) f(x) = -\frac{2A}{\pi} \left(\sin x + \frac{\sin 2x}{2} + \frac{\sin 3x}{3} + \dots \right)$$

$$i) f(x) = \frac{2A}{\pi} \left(\sin x - \frac{\sin 2x}{2} + \frac{\sin 3x}{3} - \dots \right)$$

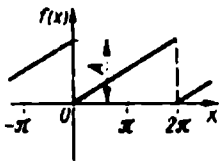
$$k) f(x) = \frac{A}{2} \left[1 - \frac{2}{\pi} \left(\sin x + \frac{\sin 2x}{2} + \frac{\sin 3x}{3} + \dots \right) \right]$$

- منحني شبه المنحرف (شبه المنحرف متساوي الساقين) (الشكل 82l)

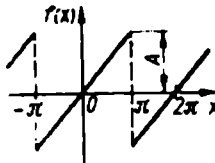
$$l) f(x) = \frac{4A}{\pi^2} \sin a \sin x + \frac{\sin 3a \sin 3x}{3^2} + \frac{\sin 5a \sin 5x}{5^2} + \dots$$

- أقواس القطع الزائد (الشكل 82m)

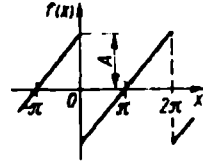
$$m) f(x) = \frac{A}{3} - \frac{4A}{\pi^2} \left(\cos x - \frac{\cos 2x}{2^2} + \frac{\cos 3x}{3^2} - \dots \right)$$



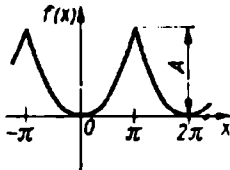
الشكل 82k



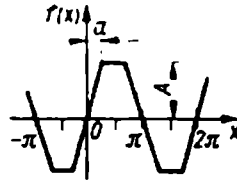
الشكل 82i



الشكل 82h



الشكل 82m



الشكل 82l

- الجيب النبضي (اتجاه ذو طريق واحد) (الشكل 82n)

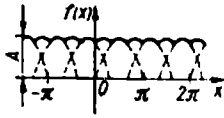
$$n) f(x) = \frac{A}{\pi} \left[1 + \frac{\pi}{2} \sin x - 2 \left(\frac{\cos 2x}{1.3} + \frac{\cos 4x}{3.5} + \frac{\cos 6x}{5.7} + \dots \right) \right]$$

- منحني الجيب متساوي الاتجاه (معادلة ذات طريقين) (الشكل 82o)

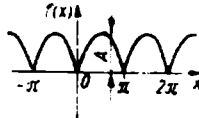
$$o) f(x) = \frac{2A}{\pi} \left[1 - 2 \left(\frac{\cos 2x}{1.3} + \frac{\cos 4x}{3.5} + \frac{\cos 6x}{5.7} + \dots \right) \right]$$

- التيار الدوار ذو الاتجاه المتساوي (الشكل 82p)

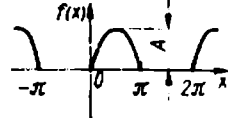
$$p) f(x) = \frac{3A}{\pi} \left[1 - 2 \left(\frac{\cos 6x}{5.7} + \frac{\cos 12x}{11.13} + \frac{\cos 18x}{17.19} + \dots \right) \right]$$



الشكل 82p



الشكل 82o



الشكل 82n

9. المعادلات التفاضلية

1.9 المعادلة التفاضلية من الدرجة الأولى

التكامل بفصل المتحولات

نموذج المعادلة

$$y' = g(x) \cdot h(y)$$

يتم الحل عن طريق فصل المتحولات ونحسب التكامل التالي:

$$\int \frac{dy}{h(y)} = \int g(x) dx + C$$

نموذج المعادلة:

$$\begin{aligned}y' &= f(ax+by+c) & y' &= f\left(\frac{y}{x}\right) \\u &= ax+by+c & u &= \frac{y}{x} \\u' &= a+by' & u' &= \frac{y-u}{x} \\u' &= a+bf(u) & u' &= \frac{1}{x}[f(u)-u]\end{aligned}$$

2.9 المعادلات التفاضلية الخطية من الدرجة الأولى والثانية

المعادلات التفاضلية الخطية من الدرجة الأولى

$$y' + f(x)y = s(x) \quad \text{الشكل العام}$$

$$y' + f(x)y = 0 \quad \text{حل المعادلة المتجانسة}$$

بفصل المتحولات والتكامل التالي

$$y_h = Ke^{-\int f(x)dx}$$

حل المعادلة غير المتجانسة [تابع التثويش $s(x)$] من خلال تحويل الثوابت، في حل

المعادلة المتجانسة نعوض الثابتة K بعلاقة (غير معروفة بعد) هي $K(x)$

ثم نعوض $y = K(x)e^{-\int f(x)dx}$ والمشتق y' التابع لها في المعادلة غير المتجانسة، مما ينتج المعادلة من أجل $K(x)$ ، ومنه:

$$K(x) = \int \left[s(x)e^{\int f(x)dx} \right] dx + C$$

الحل العام للمعادلة غير المتجانسة من الدرجة الأولى:

$$y = e^{-\int f(x)dx} \left\{ \int \left[s(x) e^{\int f(x)dx} \right] dx + C \right\}$$

المعادلات التفاضلية الخطية من الدرجة الثانية مع عوامل ثابتة

$$y'' + a_1 y' + a_0 y = s(x) \quad \text{الشكل العام}$$

$$y'' + a_1 y' + a_0 y = 0 \quad \text{حل المعادلة المتجانسة}$$

$$k^2 + a_1 k + a_0 = 0 \quad \text{المعادلة المميزة هي}$$

$$k_{1,2} = -\frac{a_1}{2} \pm \sqrt{\frac{a_1^2}{4} - a_0} \quad \text{ومنهُ}$$

الحل العام للمعادلة المتجانسة هو:

$$y_h = C_1 e^{k_1 x} + C_2 e^{k_2 x} \quad (a) \quad \text{من أجل } k_1 \neq k_2 \text{ جذور حقيقية}$$

$$k_1 = k_2 = \frac{a_1}{2} = \rho \quad \text{من أجل } y_h = (C_1 x + C_2) e^{-\rho x} \quad (b)$$

$$y_h = e^{-\rho x} (A \cos \omega x + B \sin \omega x) \quad (c)$$

$$\text{من أجل } \left(k_{1,2} = -\rho \pm j\omega, \rho = \frac{a_1}{2}, \omega = \frac{1}{2} \sqrt{4a_0 - a_1^2} \right) \quad \text{جذران عقديان}$$

حيث C_1, C_2, A, B ثوابت التكامل.

- حل المعادلة غير المتجانسة:

إن الحل العام للمعادلة غير المتجانسة ينتج كمجموع الحل العام للمعادلة المتجانسة والحل الخاص للمعادلة غير المتجانسة.

$$y = y_h + y_p$$

فرضيات الحل لتحديد الحل الخاص للمعادلة غير المتجانسة:

الشرط	الفرض $y_p =$	تابع الاضطراب $s(x) =$
$a_0 \neq 0$ (بظهور y)	$b_0 + b_1x + \dots + b_mx^m$ [من الدرجة m مثل $s(x)$]	$S_0 + S_1x + \dots + S_mx^m$ (مضلع من الدرجة m)
$a_0 = 0$ (عدم ظهور y)	$x(b_0 + b_1x + \dots + b_mx^m)$	
$a_0 = a_1 = 0$ (عدم ظهور y, y')	$x^2(b_0 + b_1x + \dots + b_mx^m)$	
$m \neq k_1, k_2$ (m ليس حلاً لمميز المعادلة)	$b e^{mx}$ [بنفس السبب حيث m مثل $s(x)$]	$B e^{mx}$ تابع أسّي
$m = k_2$ أو $m = k_1$ (m هو حل للمعادلة)	$bx e^{mx}$	
$m = k_1 = k_2$ (m حلاً مضاعف لمميز المعادلة)	$bx^2 e^{mx}$	
$jm \neq k_1, k_2$ (jm ليست حلاً لمميز المعادلة)	$a \cos mx + b \sin mx$ [بنفس السبب m مثل $s(x)$]	$A \cos mx + B \sin mx$ (جيب و/أو تابع التنجيب)
$jm = j\omega$ (jm هي حلاً لمميز المعادلة)	$x(a \cos mx + b \sin mx)$	

الرياضيات

الوصف	رمز الترميز	الوصف	رمز القيم والعمليات	روابط المعنوية المتغيرة	التابع
		تابع يدرس إلى الكائين	$\bar{x}_1 \wedge \bar{x}_0$ $= x_1 \downarrow x_0$	k_0^2	Y_0^2
		تابع	$\bar{x}_1 \bar{x}_0 \vee x_1 x_0$ $= x_1 \equiv x_0$	$k_0^2 \vee k_1^2$	Y_0^2
		المعكوس	\bar{x}_0	$k_0^2 \vee k_1^2$	Y_{10}^2
		المعكوس	$x_1 \vee \bar{x}_0$ $= x_1 \leftarrow x_0$	$k_0^2 \vee k_1^2 \vee k_2^2$	Y_{11}^2
		المعكوس	\bar{x}_1	$k_0^2 \vee k_1^2$	Y_{12}^2
		تابع شريطة إلى التابع الراجعي	$\bar{x}_1 \vee x_0$ $= x_1 \rightarrow x_0$	$k_0^2 \vee k_1^2 \vee k_2^2$	Y_{13}^2
		تابع شريطة إلى التابع الراجعي	$\bar{x}_1 \vee \bar{x}_0$ $= x_1 x_0$	$k_0^2 \vee k_1^2 \vee k_2^2$	Y_{14}^2
		تابع شريطة إلى التابع الراجعي	L	$k_0^2 \vee k_1^2 \vee k_2^2 \vee k_3^2$	Y_{15}^2

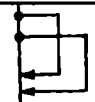
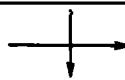
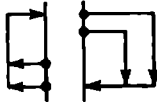
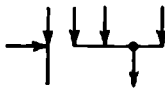
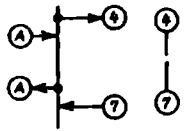
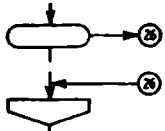
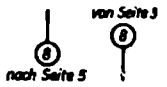
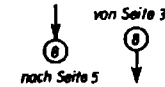
الوصف التلاصي	رمز التوصيل	الوصف	رمز القيم والعلاقات	روابط المتصوية الخطرة	التابع
		تابع بالموس إلى الكائين	$\bar{x}_1 \wedge \bar{x}_0$ $= x_1 \downarrow x_0$	k_7^2	Y_7^2
			$\bar{x}_1 \bar{x}_0 \vee x_1 x_0$ $= x_1 \equiv x_0$	$k_6^2 \vee k_5^2$	Y_6^2
		السالب	\bar{x}_0	$k_6^2 \vee k_5^2$	Y_{10}^2
			$x_1 \vee \bar{x}_0$ $= x_1 \leftarrow x_0$	$k_6^2 \vee k_5^2 \vee k_3^2$	Y_{11}^2
		السالب	\bar{x}_1	$k_6^2 \vee k_1^2$	Y_{12}^2
			$\bar{x}_1 \vee x_0$ $= x_1 \rightarrow x_0$	$k_6^2 \vee k_1^2 \vee k_3^2$	Y_{13}^2
		تابع شيفرة إلى التابع الواحدى	$\bar{x}_1 \vee \bar{x}_0$ $= x_1 x_0$	$k_6^2 \vee k_1^2 \vee k_3^2$	Y_{14}^2
			L	$k_6^2 \vee k_1^2 \vee k_5^2 \vee k_3^2$	Y_{15}^2

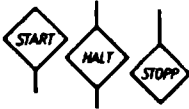
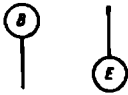
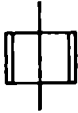
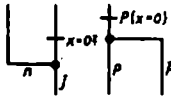
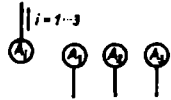
النظام - الثاني

Hanning (مصلح الأخطاء)	الوزن (مصفوفة الأخطاء)	Gray	Aiken	النظام
8421000	74210		2421	الأوزان
0000000	11000	0000	0000	0
0001011	00011	0001	0001	1
0010101	00101	0011	0010	2
0011110	00110	0010	0011	3
0100110	01001	0110	0100	4
0101101	01010	0111	1011	5
0110011	01100	1100	1000	6
0111000	10001	0100	1101	7
1000111	10010	1100	1110	8
1001100	10100	1101	1111	9

تمثيل مجريات البرنامج

طريقة الصناديق الصغيرة	طريقة خطوط البرنامج
ترتيب العمليات (دلائل) لخط البرنامج	معطيات وتناج البرنامج
تفرع خط البرنامج	العملية، بشكل عام
(قفزة في نتيجة عملية مقارنة)	عملية يدوية
تأدية خط البرنامج	تفرع البرنامج
	(مقارنة العملية)
	خط البرنامج
	تنظيم الشروحات

	تقاطع خطوط البرنامج	
	متابعة خطوط البرنامج	
	رسم - (القطع ومتابعة خطوط البرنامج بأسباب تتعلق بالرسم)	
	صفحات - (لقطع ومتابعة خطوط البرنامج على صفحة أخرى)	



متغيرات (لمضاعفة تشعب
خط البرنامج

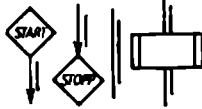
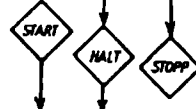
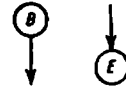
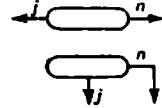
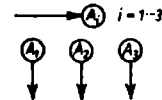
رمز الطرق إلى التفرعات
(كنايب لنتائج المقارنة)

مربع البرامج الأدنى، جزء من
البرنامج (معطيات قيم
الدخول وقيم المحصلة بواسطة
خط متوازي)

بداية ونهاية برنامج أدن،
برنامج جزئي (لا يضم
البرنامج الأدنى) أجزاء البرنامج
خارج الخط الرئيسي للبرنامج

بداية ونهاية البرنامج

خط التوازي (ترتيب
الملاحظات ومعطيات المتغيرات
لخط البرنامج)



رموز لوصف العمليات

الرمز	المعنى	الشرح
=	ينتج	قمة السهم أو نقطة مضاعفة تدل على النتيجة
أو		مثلاً: $i \leftarrow i + 1$ أو $i := i + 1$
:=		
→	نقل	مثلاً $a \rightarrow b$

الرمز	المعنى	الشرح
<>	محتوى (خلية مخزنة)	مثلاً = a
<<>>	محتوى مطروح (خلية مخزنة)	مثلاً <<C>> = D
><	عنوان (خلية مخزنة)	مثلاً >a< = B

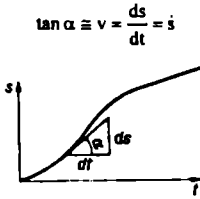
الفيزياء

1. الحركة

r البعد عن نقطة الدوران m	φ زاوية الدوران rad
s المسافة m	a التسارع m/s^2
t الزمن s	α التسارع الزاوي $1/s^2$
v_0 السرعة الابتدائية m/s	ω السرعة الزاوية $1/s$
v السرعة m/s	ω_0 السرعة الزاوية الابتدائية $1/s$

1.1 الحركة الانسحابية (الانتقالية)

مخطط المسافة - الزمن (المنحني) (s, t)

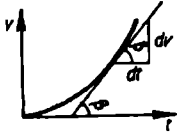


الشكل 83

يبين الشكل (83) مخطط للمسافة المقطوعة خلال زمن محدد. ويلاحظ من الشكل أنه بازدياد ميل المنحني تزداد قيمة المسافة المقطوعة وبالتالي يمكن تعريف السرعة اللحظية بأنها نسبة تفاضل المسافة على الزمن.

مخطط السرعة - الزمن (المنحني) (v, t)

$$\tan \beta = a = \frac{dv}{dt} = \dot{v} = \ddot{s}$$



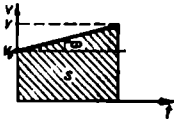
الشكل 84

يبين الشكل (84) مخطط تغير السرعة مع الزمن. يلاحظ من الشكل أنه بازدياد ميل المنحني تزداد قيمة السرعة. وبالتالي يمكن تعريف التسارع a بأنه نسبة تفاضل السرعة على الزمن.

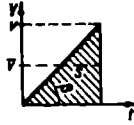
إن المساحة المحصورة تحت المنحني تطابق المسافة المقطوعة.

الحركة المنتظمة (الشكل 85)

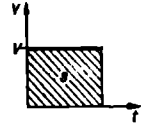
$$\text{السرعة ثابتة} \quad v = \frac{s}{t}$$



الشكل 87



الشكل 86



الشكل 85

الحركة المتسارعة المنتظمة بدون سرعة ابتدائية (الشكل 86)

$$a = \frac{v}{t} = \text{const} = \tan \beta$$

$$v = at = \sqrt{2as}$$

$$s = \frac{vt}{2} = \frac{at^2}{2}$$

$$\bar{v} = \frac{v}{2} = \frac{at}{2} = \frac{s}{t}$$

تزداد السرعة بانتظام من السكون (شكل 86)

السرعة بعد زمن t أو حسب المسافة المقطوعة s

المسافة المقطوعة في الزمن t

السرعة المتوسطة

الحركة المتسارعة المنتظمة مع سرعة ابتدائية (الشكل 87)

$$a = \frac{v - v_0}{t} = \text{Const} = \hat{\tan \beta} \quad \text{تزداد السرعة بانتظام}$$

$$v = v_0 + at = \sqrt{v_0^2 + 2as} \quad \text{السرعة بعد زمن } t \text{ أو المسافة المقطوعة } s$$

$$s = v_0 t + \frac{at^2}{2} = \frac{t}{2}(v_0 + v) \quad \text{المسافة المقطوعة في الزمن } t$$

$$\bar{v} = \frac{v_0 + v}{2} = v_0 + \frac{at}{2} = \frac{\Delta s}{\Delta t} \quad \text{السرعة الوسطية}$$

ملاحظة: في الحركات المتباطئة يتخذ التسارع a إشارة سالبة.

2.1 السقوط والقذف

السقوط الحر

$$v = gt = \sqrt{2gh} \quad \text{سرعة السقوط بعد زمن } t \text{ أو ارتفاع السقوط}$$

$$h = \frac{vt}{2} = \frac{gt^2}{2} \quad \text{ارتفاع السقوط، المسافة المقطوعة في الزمن } t$$

القذف الشاقولي⁽²⁾

$$v = v_0 + gt = \sqrt{v_0^2 + 2gh} \quad \text{السرعة بعد زمن } t \text{، أو ارتفاع القذف}$$

$$h = v_0 t + \frac{gt^2}{2} = \frac{t}{2}(v_0 + v) \quad \text{ارتفاع السقوط بعد زمن } t$$

⁽¹⁾ يجب اعتبار مقاومة الهواء

⁽²⁾ انتبه عند القذف إلى أعلى يجب تموضع g بإشارة سالبة

$$h_{\max} = -\frac{v_0^2}{2g}$$

الارتفاع الأقصى عند القذف إلى الأعلى

$$t_{\max} = -\frac{v_0}{g} = \frac{2h_{\max}}{v_0}$$

الزمن اللازم لبلوغ الارتفاع الأقصى

القذف الأفقي (الشكل 88)

$$s = v_0 t = v_0 \sqrt{\frac{2h}{g}}$$

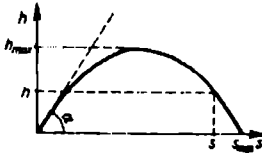
المسافة بالاتجاه الأفقي

$$h = \frac{gt^2}{2}$$

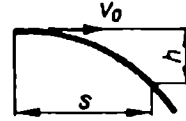
المسافة بالاتجاه الشاقولي

$$v_B = \sqrt{v_0^2 + g^2 t^2}$$

سرعة المسار بعد مرور الزمن t



الشكل 89



الشكل 88

القذف المائل للأمام (شكل 89)

$$s = v_0 t \cos \alpha$$

مسافة القذف بعد مرور الزمن t

$$h = v_0 t \sin \alpha - \frac{gt^2}{2}$$

ارتفاع القذف بعد مرور الزمن t

$$v_B = \sqrt{v_0^2 - 2gh}$$

سرعة المسار

$$s_{\max} = \frac{v_0^2 \sin 2\alpha}{g}$$

أكبر مسافة للقذف

$$t_s = \frac{2v_0 \sin \alpha}{g}$$

الزمن اللازم لبلوغ المسافة s_{\max}

$$h_{\max} = \frac{v_0^2 \sin^2 \alpha}{2g}$$

أكبر ارتفاع للقذف

$$t_h = \frac{v_0 \sin \alpha}{g}$$

الزمن اللازم لبلوغ الارتفاع h_{\max}

3.1 الحركة الدورانية

(s) المسافة

(ϕ) زاوية الدوران

(v) السرعة

(ω) السرعة الزاوية

(a) التسارع

(α) التسارع الزاوي

الحركة الدورانية المنتظمة (شكل 90)

السرعة الزاوية وعدد الدورات ثابت

$$\omega = \frac{\phi}{t} = 2\pi f = \frac{2\pi}{T} = \frac{v}{r}$$

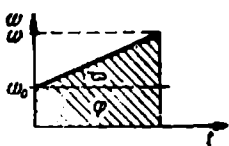
f التردد بالهرتز $\text{Hz} = \text{s}^{-1}$

T زمن الدوران

$$\omega / \text{s}^{-1} = \frac{\pi}{30} n / \text{min}^{-1}$$

v السرعة المحيطية على بعد r

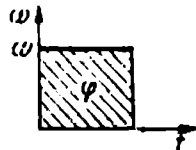
n عدد دورات بـ min^{-1}



الشكل 92



الشكل 91



الشكل 90

الحركة الدورانية المتسارعة بانتظام بدون سرعة ابتدائية (الشكل 91)

$$\alpha = \frac{\omega}{t} = \frac{a}{r} \hat{=} \tan \beta$$

a التسارع على المحيط وعلى بعد r

يزداد عدد الدورات والسرعة الزاوية من السكون بانتظام

$$\omega = \alpha t = \sqrt{2\alpha\phi}$$

السرعة الزاوية بعد مرور الزمن t أو

الدوران حول الزاوية φ

$$\phi = \frac{\omega t}{2} = \frac{\alpha t^2}{2}$$

الزاوية المسوحة في الزمن t

$$\bar{\omega} = \frac{\alpha t}{2} = \frac{\phi}{t}$$

السرعة الزاوية الوسطية

الحركة الدورانية المتسارعة بانتظام مع سرعة ابتدائية (الشكل 92)

$$\alpha = \frac{\omega - \omega_0}{t} \hat{=} \tan \beta$$

تزداد السرعة الزاوية وعدد الدورات بانتظام

$$\omega = \omega_0 + \alpha t = \sqrt{\omega_0^2 + 2\alpha\phi}$$

السرعة الزاوية بعد زمن t أو الدوران الزاوي φ

$$\phi = \omega_0 t + \frac{\alpha t^2}{2} = (\omega_0 + \omega) t$$

الزاوية المقطوعة في الزمن t

$$\bar{\omega} = \frac{\omega_0 + \omega}{2} = \omega_0 + \frac{\alpha t}{2} = \frac{\Delta\phi}{\Delta t}$$

السرعة الزاوية الوسطية

انتبه: عندما تكون الحركة متباطئة ينبغي أن تكون α سالبة.

العلاقات بين ω ، T ، f ، v

في أي زمن عشوائي، نطبق العلاقات التالية في جميع أنواع الحركة الدورانية:

$$\begin{aligned} f \text{ التردد } = s^{-1} \quad \omega &= 2\pi f = \frac{2\pi}{T} = \frac{v}{r} \\ T \text{ زمن الدورة} & \\ v \text{ السرعة المحيطة على بعد } r & \quad \omega/s^{-1} = \frac{\pi}{30} n/\text{min}^{-1} \\ \text{مثلاً سرعة مقطوعة} & \quad = 0.105n/\text{min}^{-1} \\ n \text{ عدد الدورات } \text{min}^{-1} & \end{aligned}$$

الحركة المحيطة

$$\begin{aligned} s &= \varphi r \\ v &= \omega r \\ a &= \alpha r \end{aligned}$$

r هي المسافة بين مركز الدوران والنقطة التي يتم من أجلها تحديد a ، v ، s

2. القوانين الأساسية في الديناميك

- f: القوة مقاسة بالواحدة N
- g: قوة الثقالة مقاسة بالواحدة N
- m: الكتلة مقاسة بالواحدة kg
- P: الاستطاعة مقاسة بالواحدة W
- s: البعد بين نقطة المركز، ونقطة الدوران مقاس بالواحدة m
- J: عزم عطالة الكتلة الدوارة $\text{kg} \cdot \text{m}^2$
- J_x : عزم العطالة بالنسبة لمحور مار من مركز الثقل
- J_y : عزم العطالة بالنسبة لمحور الدوران الموازي للمحور المار من مركز الثقل والواقع على بعد s

W العمل والقدرة مقاسة بالوحدة J

1.2 الحركة الانسحابية

F = ma القانون الأساسي في التحريك

G = mg القوة F وقوة الثقالة G مقاسة بالوحدة N

الطاقة، العمل، والاستطاعة

الطاقة الكامنة مقاسة بالوحدة J $W_p = Gh = mgh$

الطاقة الحركية مقاسة بالوحدة J $W_k = \frac{mv^2}{2}$

التغير في الطاقة الحركية $\Delta W_k = \frac{m(v_2^2 - v_1^2)}{2}$

العمل مقاس بالوحدة J، في حال تغير القوة F بانتظام يتم تعويض القوة الوسطية $W = F \cdot s$

العمل، في حال القوة والاتجاه يشكلان زاوية α $W = F \cdot s \cos \alpha$

العمل، عندما تكون القوة غير ثابتة، وإنما تابعة للمسافة $W = \int_{s_1}^{s_2} F \cos \alpha \, ds$

الاستطاعة مقاسة بالوحدة W $P = \frac{W}{t} = F_v$

المردود $\eta = \frac{P_{gb}}{P_{zu}}$

الدفع

الدفع مقاس بالوحدة kg m/s، قيمة الحركة $p = mv$

تغير الدفع = التشغيل، قوة الصدم مقاسة بالوحدة Ns $\Delta p = m \Delta v = F \Delta t$

مجموع دفع نظام مغلق يبقى ثابت (قانون حفظ الدفع) $(m_1 + m_2) v = m_1 v_1 + m_2 v_2$

الصدمة المركزي المستقيم مرن جزئياً

$$\text{سرعة الجسم (1) بعد الصدمة} \quad w_1 = \frac{m_1 v_1 + m_2 v_2 - m_2 (v_1 - v_2)k}{m_1 + m_2}$$

$$\text{سرعة الجسم (2) بعد الصدمة} \quad w_2 = \frac{m_1 v_1 + m_2 v_2 + m_1 (v_1 - v_2)k}{m_1 + m_2}$$

$$\text{تغير العمل = الضياع في الطاقة الحركية} \quad \Delta W = \frac{m_1 m_2}{2(m_1 + m_2)} (v_1 - v_2)^2 (1 - k^2)$$

$$\text{عامل الصدمة من التجربة؛ ارتفاع } h_1 \text{ ارتفاع} \quad k = \sqrt{\frac{h_1}{h}}; \quad 0 < k < 1$$

بعد الصدمة، h ارتفاع السقوط

غير مرن (بلاستيكي) $k = 0$

$$\text{السرعة المشتركة بعد الصدمة} \quad w = \frac{m_1 v_1 + m_2 v_2}{m_1 + m_2}$$

$$\text{تغير العمل = الضياع في الطاقة الحركية} \quad \Delta W = \frac{m_1 m_2}{m_1 + m_2} \frac{(v_1 - v_2)^2}{2}$$

المرن، حيث $k = 1$

$$\text{سرعة الجسم } m_1 \text{ بعد الصدمة} \quad w_1 = \frac{2(m_1 v_1 + m_2 v_2)}{m_1 + m_2} - v_1$$

$$\text{سرعة الجسم } m_2 \text{ بعد الصدمة} \quad w_2 = \frac{2(m_1 v_1 + m_2 v_2)}{m_1 + m_2} - v_2$$

2.2 الحركة الدورانية

عزم الدوران

هذه العلاقة تطبق في السكون والحركة

$$M = F \cdot r$$

$$= J \alpha = J \frac{\Delta \omega}{t}$$

تطبق في الحركة الدورانية المتسارعة

$\Delta \omega$ تغير السرعة الزاوية خلال الزمن t

عزم العطالة الكتلي

$$\text{تطبق دائماً} \quad J = \sum mr^2 = \frac{M}{\alpha} = \frac{Mt}{\Delta\omega}$$

$$\text{تطبق للنقطة المادية والحلقات الدائرية الرقيقة} \quad J = mr^2$$

قانون Steiner، لتحويل حساب

$$\text{عزم العطالة الكتلي بالنسبة لمحور يبعد مسافة } s \text{ من محور مركز الثقل.} \quad J_A = J_0 + ms^2$$

المحاور يجب أن تكون متوازية

العمل والاستطاعة

$$\text{طاقة الدوران مقاسة بالواحدة } J \quad W_r = \frac{J\omega^2}{2}$$

$$\text{تغير الطاقة بالحركة الدورانية المتسارعة} \quad \Delta W_r = \frac{J(\omega_2^2 - \omega_1^2)}{2}$$

مثلاً: عملية تغير السرعة لمحور يدور بـ ω_1 مقارنة مع محور ساكن

$$\Delta W_r = \frac{1}{2} \frac{J_1 J_2}{J_1 + J_2} \omega_1^2; \quad \omega_2 = 0$$

$$\text{العمل (J)، في حال تغير M بانتظام، ينبغي تعويض} \quad W = M\phi$$

القيمة الوسطية لها. ϕ (rad)

$$\text{قانون العمل عندما يكون عزم الدوران غير ثابت وإمّا تابع للزاوية} \quad W = \int_{\phi_1}^{\phi_2} M d\phi$$

$$\text{الاستطاعة مقاسة بالواحدة } W \quad P = \frac{W}{t} = M\omega$$

$$\text{الاستطاعة } W \text{ حيث } n \text{ عدد الدورات } \text{min}^{-1} \quad P/W = \frac{\pi}{30} M / \text{Nm.n} / \text{min}^{-1}$$

الدفع الدوراني

$$L = J\omega$$

الدفع الدائري، بـ $\text{kg m}^2 \text{s}^{-1}$

$$\Delta L = J\Delta\omega = Mt = Frt$$

التغير في الدفع الدائري = عزم التشغيل

$$(J_1 + J_2) \omega = J_1\omega_1 + J_2\omega_2$$

إن مجموع الدفع الدوراني لنظام مغلق هو ثابت.

قانون حفظ الدفع الدوراني) مثلاً عملية تغيير السرعة

$$\omega_{\text{tot}} = \frac{J_1\omega_1}{J_1 + J_2}$$

حيث ω_{tot} هي السرعة الدورانية المشتركة ($\omega_2 = 0$)

القوة الطاردة المركزية

$$a_z = \frac{v^2}{r} = \omega^2 r$$

التسارع المركزي r البعد عن مركز الثقل

$$F_z = \frac{mv^2}{r} = m\omega^2 r$$

القوة الطاردة المركزية N ، على بعد r عن مركز الثقل

$$C = 2 m\omega v$$

قوة Coriolis بالـ N

u السرعة القطرية، هذا يعني السرعة عند الحركة مسن

نقطة الدوران

3. الاهتزازات والموجات

l بعد مركز النقل عن نقطة التعليق، m

s بعد مركز النقل عن نقطة الدوران، m

$$T = \frac{1}{f}$$

T دور الاهتزاز s ، f

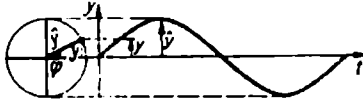
\hat{y} السعة = عرض الاهتزاز بأكبر سعة.

c سرعة الموجة

$$f = \frac{1}{T}$$

f التردد $\text{Hz} = \text{s}^{-1}$ حيث $f = \frac{1}{T}$

1.3 الاهتزازات التوافقية (الحرّة، غير المتخامدة)



y سعة في الزمن t

الشكل 93

$$\varphi = \omega t + \varphi_0$$

زاوية الطور في الزمن t

φ_0 زاوية الطور الابتدائية في الزمن ($t = 0$)

$$y = \hat{y} \sin \varphi$$

السعة في الزمن t

$$v = \hat{y} \omega \cos \varphi$$

سرعة الاهتزاز في الزمن t

$$\hat{v} = \hat{y} \omega$$

أعلى سرعة للجسم المهتز عند بلوغه الموقع الوسطي

$$\omega = 2\pi f = \frac{2\pi}{T}$$

التردد الدائري

$$a = -\hat{y} \omega^2 \sin \varphi = -y \omega^2$$

تسارع الجسم المهتز في الزمن t

$$\hat{a} = -\hat{y} \omega^2$$

التسارع الأعظمي في نقطتي العودة

$$F = -m\hat{y} \omega^2 \sin \varphi = -m y \omega^2$$

القوة المؤثرة على الجسم المهتز في الزمن t،

قوة الإرجاع

2.3 الاهتزاز المرن

الاهتزازات الخطية

$$T = 2\pi \sqrt{\frac{m}{D}}$$

دور الاهتزاز بالثانية s

$$D = \frac{F}{\Delta l} = k$$

القيمة الحقيقية = ثابت النابض k بوحدة N/m ، أي

القوة المناسبة لاستطالة $\Delta l = 1$ m

$$\omega = 2\pi f = \sqrt{\frac{D}{m}}$$

التردد الدائري بـ s^{-1}

الاهتزازات الدورانية

$$T = 2\pi \sqrt{\frac{J}{D^*}}$$

دور الاهتزاز بالثانية s

J عزم العطالة الكتلي بالنسبة لمحور الدوران $kg\ m^2$

$$D^* = \frac{M}{\phi}$$

القيمة الحقيقية للزاوية مقاسة بوحدة Nm، أي عزم الدوران
M اللازم لدورة زاوية مقدارها (1 rad)

$$\omega = 2\pi f = \sqrt{\frac{D^*}{J}}$$

التردد الدائري s^{-1}

3.3 اهتزاز النواس

النواس الرياضي

$$T = 2\pi \sqrt{\frac{l}{g}}$$

يطبق للكتل ذات التمدد الضعيف للخيوط
عديمة الوزن في الإزاحات الزاوية الصغيرة

النواس الفيزيائي

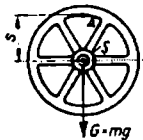
$$T = 2\pi \sqrt{\frac{J_A}{mgs}}$$

J_A يجب أن تكون منطبقة على محور النواس
(قاعدة Steiner) يصلح فقط في الإزاحات
الزاوية الصغيرة.

$$J_s = ms \left(\frac{gT^2}{4\pi^2} - s \right)$$

يفيد تجريبياً في تبين العزم العطالي الكتلي لأي
جسم، بالنسبة للمحور المار من مركز الثقل.

'A' هي القيمة المطلوب قياسها لدور
الاهتزاز لجسم النواس. (شكل 94)



الشكل 94

$$I = \frac{J_A}{ms}$$

طول النواس المكافئ، حيث أن طول
النواس الرياضي يساوي دور الاهتزاز

4.3 الاهتزاز التوافقي المتخامد

$$y = a e^{-\delta t} \sin \varphi$$

سعة في الزمن t

$$\delta = \frac{\beta}{2m}$$

عامل التخماد

$$\beta = \frac{F_D}{v}$$

ثابت التخماد، و F_D قوة التخماد

$$\Lambda = \delta T$$

التناقص اللوغاريتمي

$$e^{\delta T} = \hat{y}_n : \hat{y}_{n+1}$$

نسبة سعتين متجاورتين

$$\omega = \sqrt{\omega_0^2 - \delta^2}$$

التردد الدائري لاهتزاز متخامد
 ω_0 التردد الدائري للاهتزاز غير المتخامد

5.3 الموجات

$$\lambda = \frac{c}{f}$$

طول الموجة

f تردد موجة التهيج (المؤثرة)

$$y = \hat{y} \sin \omega \left(t - \frac{x}{c} \right)$$

سعة جزئية على بعد x من مركز التأثير بعد زمن t

4. ميكانيك الموائع (الميكانيك الهيدروليكي)

A مساحة المقطع m^2

F قوة المكبس N

G	قوة الوزن N
G_F	قوة الوزن عند الغطس التام في المائع ($G - F_A$)
G'_F	قوة وزن الجسم الإضافي في المائع
G''_F	قوة وزن الجسم والجسم الإضافي في المائع
h	ارتفاع عمود المائع
μ	عامل الجريان
ρ	الكثافة = m/V ، وتقاس بوحدة kg/m^3
v	سرعة التدفق بـ m/s

1.4 الموائع الساكنة

الضغط

$$P = \rho gh$$

ضغط الثقالة بوحدة N/m^2

$$p = \frac{F_1}{A_1} = \frac{F_2}{A_2}$$

ضغط المكبس بوحدة N/m^2

تناسب قوة المكبس مع مساحة المقطع تناسباً طردياً (مبدأ الضغط الهيدروليكي).

الرفع

$$F_A = V\rho g$$

قوة الرفع بوحدة N

V حجم المائع المزاح

ρ كثافة المائع

$G < F_A$: الجسم يصعد حتى توازن الطفو

$G > F_A$: الجسم يغطس

$G = F$: الجسم يطفو

توازن الطفر

$$\frac{\text{حجم المائع المزاح}}{\text{الحجم الكلي}} = \frac{\text{كثافة الجسم العائم}}{\text{كثافة المائع}}$$

تحديد الكثافة للأجسام الصلبة (مساعدة الرفع)

$$\rho = \frac{\rho_F G}{G - G_F}$$

تطبق للأجسام الصلبة ذات الكثافة النوعية الأثقل من المائع

$$\rho = \frac{\rho_F G}{G + G'_F - G''_F}$$

تطبق للأجسام الصلبة ذات الكثافة النوعية الأخف من المائع ويجب أن تضاف إليها أفعال إضافية

تحديد كثافة الموائع

$$\rho_{F1} = \rho_{F2} \frac{G - G_{F1}}{G - G_{F2}}$$

تحدد الكثافة بواسطة المقارنة مع مائع آخر وجسم صلب لا يطفو على كلا المائعين

4.2 الموائع المتحركة (المتدفقة)

المتفرعة

$$v = \mu \sqrt{2gh}$$

$\mu \approx 1.0$ في تفرع ذو أطراف مدورة بشكل جيد

$$\frac{V}{t} = \mu A \sqrt{2gh}$$

$\mu \approx 0.6$ في تفرع ذو أطراف حادة

غير المتفرعة (ذوات المقطع)

$$V = Avt$$

تدفق المائع (بدون احتكاك)

$$v_1 A_1 = v_2 A_2 \quad (\text{معادلة الاستمرار})$$

إن جداء السرعة والمقطع دائماً ثابت

الضغط في الموائع المتدفقة

$$p + \frac{\rho v^2}{2} = \text{Const}$$

قانون Bernoulli: مجموع الضغط الستاتيكي وضغط التوقف في الأنابيب الشاقولية دائماً ثابت

p : الضغط الستاتيكي مقياس بالواحدة N/m^2

قابلية الانضغاط

$$\Delta V = -x \Delta p V$$

تغيير الحجم عند فرق الضغط Δp

x قابلية الانضغاط مقاسة بالواحدة $\text{N}^{-1} \text{m}^2$

V حجم المائع

الاحتكاك الداخلي في التدفق الصفحي (شكل 95)

$$F_a = \frac{\eta A v}{a}$$

الاحتكاك الداخلي مقياس بالواحدة N



الشكل 95

η اللزوجة الديناميكية مقاسة بالواحدة Ns/m^2

A المساحة المقاطعة مقاسة بالواحدة m^2

a بعد الصفيحة - جدار الوعاء مقياس بالواحدة m

$1 \text{ (cP)} = 10^{-3} \text{ Ns m}^{-2}$ (بوز)

$$v = \frac{\eta}{\rho}$$

اللزوجة الحركية مقاسة بالواحدة m^2/s

$1 \text{ (cSt)} = 1 \text{ mm}^2/\text{s}$ (ستوكس)

$$V = \frac{\pi \Delta p r^4}{8 \eta l}$$

حجم المتدفق في الأنبوب، m^3

(قاعدة Hagen-Poiseuille)

Δp فرق الضغط بين كلا الأنبوبين، N/m^2

l طول الأنبوب m

r نصف قطر الأنبوب m

$$F_R = 6 \pi \eta r v$$

(قانون Stokes)

$$v = \frac{2(\rho_K - \rho_M)gr^2}{9\eta}$$

القوة على كرة محاطة بتيار صفحي بوحدة N

r نصف قطر الكرة، m

سرعة غطس كرة صغيرة

ρ_K كثافة الكرة kg/m^3

ρ_M كثافة الوسط المحيط

مقاومة الجريان في التيار المضطرب

$$F_w = cA \frac{\rho}{2} v^2$$

مقاومة الجريان بوحدة N

c عامل المقاومة، يتعلق بشكل الجسم

$$P = cA \frac{\rho}{2} v^3$$

استطاعة التدفق بالواط W

رقم Reynolds

$$Re = \frac{l\rho v}{\eta} = \frac{l v}{\nu}$$

الأجسام التي لها نفس رقم Reynold لها

أيضاً نفس عامل المقاومة c

l للأجسام المميزة الطول (نصف قطر

كرة، قطر أنبوب، ... الخ).

عند ازدياد v يصبح رقم Recritical

حرجاً، ويقلب الجريان من صفحي إلى

مضطرب.

5. علم الحرارة

كمية الحرارة بوحدة J (kcal)	A_1 المساحة قبل التسخين
ρ كثافة الغاز kg/m^3	A_2 المساحة بعد التسخين
R ثابتة الغاز بوحدة J/kg.K (kpm/kgK)	ΔA تغير المساحة
T درجة الحرارة المطلقة بـ K	α عامل التمدد الحراري K^{-1}
T_0 درجة حرارة الصفر بالمقياس المثوي	c السعة الحرارية النوعية
$- 273.15 \text{ K}$	γ عامل التمدد الفراغي K^{-1}
t درجة الحرارة بوحدة القياس $^\circ\text{C}$ $t = T - T_0$	l_1 الطول قبل التسخين
Δt تغير درجة الحرارة K	l_2 الطول بعد التسخين
V_1 الحجم قبل التسخين (أو في الحالة m الكتلة بالكغ الأولى)	Δl تغير الطول
V_2 الحجم بعد التسخين (أو في الحالة p_2 الثانية)	p_1 الضغط في الحالة 1
ΔV التغير الحجمي	p_2 الضغط في الحالة 2
$\text{Pa} = \text{N/m}^2$ (kp/m ²)	p ضغط الغاز

(بين قوسين هي وحدات قديمة لم تعد صالحة)

1.5 تمدد الأجسام الصلبة

الطول

قيم الأعداد من أجل α انظر الجدول (1) وهي صالحة مع دقة كافية في المجال $^\circ\text{C}$ (0 100).
عند التبريد تكون Δt سالبة

المساحة

$$\Delta A = A_1 2\alpha \Delta t$$

$$A_2 = A_1 (1 + 2\alpha \Delta t)$$

الحجم

$$\Delta V = V_1 3\alpha \Delta t$$

$$V_2 = V_1 (1 + 3\alpha \Delta t)$$

إن تمدد الحجم الفراغية يتم حسب القواعد النظامية المتساوية

تمدد الأجسام المائعة

$$\Delta V = V_1 \gamma \Delta t$$

$$V_2 = V_1 (1 + \gamma \Delta t)$$

إن قيم الأعداد من أجل γ (انظر الجدول 2) وهي تصلح مع دقة كافية في المجال $0 \dots 40^\circ \text{C}$

تغير الكثافة

$$\rho_2 = \frac{\rho_1}{1 + \gamma \Delta t}$$

تطبق أيضاً للأجسام الصلبة عندما γ تعوض بالتقسيم على 3α عند التبريد تكون Δt سالبة

تمدد الأجسام الغازية

$$\frac{p_1 V_1}{T_1} = \frac{p_2 V_2}{T_2}$$

معادلة الحالة للغازات

$$pV = mRT$$

R قيمة ثابت الغازات العام

حساب كثافة الغاز

$$\rho_2 = \rho_1 \frac{p_2 T_1}{p_1 T_2}$$

الكثافات الموجودة في الجداول هي للحالة النظامية (الدرجة صفر مئوية والضغط = 101.325 kPa = 760 عمود ماء). يتم تحويل الحساب على أية حالة من الحالات.

$$\rho = \frac{m}{V} = \frac{p}{RT}$$

استنتاج حساب كثافة الغاز من الضغط ودرجة الحرارة

الجدول (1) عامل التمدد الطولي α (K^{-1})

10^{-6}		10^{-6}		10^{-6}	
9.0	بلاتين	6.5	إيريديوم	23.8	ألنيوم
80.0	بولي فينول كلوريد	41.0	كادميوم	29.0	رصاص
3.0	بورسلان	15.2	كونستانتان	17.5	برونز
0.5	زجاج الكوارتز	16.5	نحاس	10.0	فولاذ كروم
19.5	فضة	26.0	مغنيزيوم	12.2	حديد صب
16.0	فولاذ - V2A	23	مانغان	6... 9	زجاج
4.5	تنغستين	18.4	نحاس أصفر	24.0	إلكترونيات
36.0	توتياء	5.2	موليبدين	9.0	حديد صب مختلط
26.7	قصدير	18.0	فضة حديد	14.2	ذهب
		13.0	نيكل	1.5	فولاذ مقسى

الجدول (2) عامل التمدد الفراغي γ بـ (K^{-1}) من أجل درجة حرارة ($20^\circ C$)

0.00096	بترول	0.00110	الكحول
0.00018	القصدير	0.00162	الأثير
0.00100	زيت تربنتيول	0.00106	بترين
0.00111	تولول	0.00123	بترول
0.00021	ماء ¹	0.00050	غليسرين

2.5 الطاقة الحرارية

$$Q = cm \Delta t$$

إن كمية الحرارة J(kcal) ضرورية لتوليد فرق درجات الحرارة Δt في الجسم

$$Q_1 = cmt$$

محتوى الحرارة J (kcal)، الطاقة الحرارية للجسم بالنسبة لنقطة الصفر $0^\circ C$

¹ في المجال من $4^\circ C$ $0^\circ C$ سلوك غير طبيعي.

$$C = cm$$

السعة الحرارية بوحدة J/K (kcal/K) وهي كمية الحرارة اللازمة لتسخين الجسم 1 K

إن السعة الحرارية المطلوبة لتسخين 1 kg من مادة تحتاج 1 K من كمية الحرارة.

في الغازات نلاحظ c_p (التسخين عند ضغط ثابت) و c_v (التسخين تحت حجم ثابت). القسيم في الجدول (3)

$$c_p - c_v = R$$

خلط الحرارة

إن الجسم الساخن يعطي كمية حرارة كبيرة جداً، وهي نفس الكمية التي يأخذها الجسم البارد.

قاعدة خلط Richman

$$c_1 m_1 (t_1 - t_m) = c_2 m_2 (t_m - t_2)$$

الدليل 1: الجسم الساخن

الدليل 2: الجسم البارد (يجب الانتباه إلى تغير الحالة العامة)

الجدول (3) السعة الحرارية النوعية (عند درجة حرارة 20 °C)

المادة	$c / \frac{\text{kJ}}{\text{kg K}}$	$c / \frac{\text{kcal}}{\text{kg K}}$	المادة	$c / \frac{\text{kJ}}{\text{kg K}}$	$c / \frac{\text{kcal}}{\text{kg K}}$
الألمنيوم	0.896	0.214	النحاس الأصفر	0.381	0.091
الكحول الإيثيلي	2.43	0.580	الفضة الجديدة	0.40	0.095
الرصاص	0.13	0.031	البلاتين	0.134	0.032
حديد الصب	0.452	0.108	زجاج الكوارتز	0.712	0.170
الزجاج	0.75	0.18	الزئبق	0.138	0.033
غليسرين	2.39	0.571	الفضة	0.234	0.056
الحديد الصب	0.540	0.129	الفولاذ - V2A	0.498	0.119
النحاس	0.385	0.092	الماء	4.183	0.999
بترين خفيف	2.09	0.5	أحجار القمريد	0.84	0.20
زيت الآلات	1.67	0.4	توتياء	0.385	0.092

قيم التسخين $J\ kg^{-1}$ ($kcal\ kg^{-1}$)

كمية الحرارة ($J(kcal)$) التي تنطلق عند حرق $1\ kg$ من المادة، القيم في الجدول (4).

الجدول 4 قيم التسخين

$\frac{kcal}{kg}$	$\frac{MJ}{kg}$	المواد الصلبة	$\frac{kcal}{kg}$	$\frac{MJ}{kg}$	المواد المائعة
≈ 8000	≈ 33.5	انتراسيت	6440	26.9	الكحول الإيثيلي
≈ 5000	≈ 20.9	لوائح الفحم البني	≈ 10200	≈ 42.7	بترين
≈ 3000	≈ 12.6	خشب، مجفف بالهواء	9600	40.2	بترول
≈ 7300	≈ 30.6	فحم خشبي	≈ 10200	≈ 42.7	زيت مازوت (ديزل)
≈ 7000	≈ 29.3	فحم الكوك	≈ 9800	≈ 41.0	زيت تسخين
2750	11.5	فحم بني خام	9900	41.4	بتروليوم
حتى 4000	حتى 16.7				
≈ 7000	≈ 29.3	فحم حجري	9800	41.0	زيت خام
2800	11.7	فحم نباتي	5980	25.0	كحول (سبيرتو)
حتى 3900	حتى 16.3				

الانصهار - التجمد

يرتبط تغير الحالة الفيزيائية للجسم من الصلب إلى سائل أو العكس من سائل إلى صلب بالحرارة النوعية (J/kg) ($kcal/kg$)، هي كمية الحرارة المكتسبة (المطروحة) عندما ينصهر أو يتجمد $1\ kg$ من المادة دون تغير في درجة حرارتها، انظر الجدول (5)

درجة حرارة الانصهار (حرارة التجمد): هي درجة الحرارة المتعلقة بالضغط التي يتم عندها تغير الحالة، عندما يكون الضغط الخارجي $101.325\ kPa = (760\ Torr)$ ، فنصل إلى نقطة الانصهار.

الغليان - التكثيف

يرتبط تغير الحالة الفيزيائية من سائل ← غاز أو من غاز ← سائل بتغير الحجم والخواص الفيزيائية

حرارة التبخر النوعية (حرارة التكثيف النوعية) بـ J/kg (kcal/kg): هي كمية الحرارة المكتسبة (المفقودة) عندما يتبخر (يتكاثف) 1 كغ من المادة دون تغيير في درجة الحرارة انظر الجدول (5)

درجة حرارة الغليان (درجة حرارة التكثيف): هي درجة الحرارة المتعلقة بالضغط بشكل كبير والتي يتم عندها تغير الحالة، عندما يكون الضغط الخارجي 101.325 kPa (= 76070 Torr)، ثم تغلي.

التبخير (التطاير): عملة تبخير تحدث تحت نقطة الغليان.

التصعيد

تغير الحالة الفيزيائية للمادة من الحالة الصلبة إلى الحالة الغازية وبالعكس.

الجدول 5

نقطة الغليان وحرارة التبخر النوعية			نقطة الانصهار وحرارة الانصهار النوعية			
$\frac{kcal}{kg}$	$\frac{MJ}{kg}$	°C	$\frac{kcal}{kg}$	$\frac{kcal}{kg}$	°C	
201	0.842	78.4	25.8	108.0	-114.2	الكحول الإيثيلي
2800	11.72	2500	94.6	396	659	الألمنيوم
326.8	1.37	-33.4	5.9	24.7	327.3	الرصاص
124	0.519	56.2	64.6	270	1535	الحديد، الصافي
94	0.394	80	-	-	1500	الفولاذ المقسى

نقطة الغليان وحرارة التبخير النوعية				نقطة الانصهار وحرارة الانصهار النوعية			
1520	6.36	2880	حديد، الصافي (فريون 13)	15.7	65.7	1063	الذهب
35.3	0.148	-81.5	(CF ₃ Cl)	-	-	1200	حديد صب الرمادي
-	-	290	غليسرين	48.9	205	1083	النحاس
6	0.0251	-268.9	هليوم	-	-	920	النحاس الأصفر
600	2.51	3800	بلاطين	-	-	54	البرافين
72	0.301	357	زئبق	27	113	1773	البلاطين
50.9	0.213	-183.0	أكسجين	2.7	11.3	-38.8	زئبق
93.1	0.390	-10	أكسيد الكبريت	25.1	105	960.5	الفضة
47.6	0.199	-195.8	نتروجين، أزوت	79.7	334	0.0	الماء
538.9	2.26	100	الماء	26	109	419.5	الترتيا
11.6	0.0486	-252.8	مواد مائية	14	58.6	232	القصدير
620	2.6	2400	القصدير	46	193	3380	تنغستن

الجدول (6) الكثافات بـ kg/dm^3 (عند درجة حرارة 20 °C)

2.5	زجاج النوافذ	2.7	الألمنيوم
0.47	خشب الشربين، مجفف بالهواء	0.789	الكحول الإيثيلي
1.261	غليسرين	0.791	الأسيتون
19.29	ذهب	0.72	بترين
2.8	غرانيت	0.879	بترول
7.2	الصب الرمادي	11.34	رصاص
8.1	فولاذ	0.85	زيت ديزل
0.9	الفحم الكوك	2.8	دور النيوم

0.2 0.35	الفلين	0.86	حشب البلوط، محفف بالهواء
8.92	النحاس	0.917	جليد (0 °C)
1.74	مغزيوم	7.8	حديد
8.5	نحاس أصفر	1.8	المعادن الإلكترونية
0.81	بتروليوم	1.03	الحليب
8.8	فولاذ الصب الأحمر	21.5	بلاطين
2.4	صخر رملي	13.55	الزئبق
1.02	ماء البحيرات	1.834	حموض كبريتية
4.52	تيتان	1.4	فحم حجري
7.14	قصدير	19.3	تنجستين

6. علم الصوتيات

ω التردد الدائري = $2\pi f$ مقياس بالواحدة s^{-1}	\hat{y} السعة مقياساً بالواحدة m
p ضغط الصوت مقياساً بالواحدة $Pa = 10 \mu bar$	f التردد مقياساً بالواحدة $Hz = s^{-1}$
v سرعة الصوت مقياساً بالواحدة m/s	I شدة الصوت مقياساً بالواحدة W/m^2

1.6 سرعة الصوت c

في الأجسام الصلبة m/sec

$$E \text{ مودول المرونة (المطيلية) } N/m^2 \text{ (عامل يونغ)}$$

$$\rho \text{ الكثافة تتعلق بدرجة الحرارة } kg/m^3$$

$$c = \sqrt{\frac{E}{\rho}}$$

في الأجسام المائعة m/s

$$c = \sqrt{\frac{1}{\rho \kappa}}$$

κ قابلية الانضغاط m^2/N
 ρ تتعلق بدرجة الحرارة kg/m^3

المجدول (7) سرعة الصوت c مقاسة بالوحدة m/s (عند درجة حرارة $20^\circ C$)

رصاص	1300	الفلين	500
زجاج	5500	الهواء ($0^\circ C$)	331,8
مطاط	54	الملاط (جدار)	3500
غرانيت	4000	الفولاذ	5000
خشب	4000	الماء	1485
أكسيد الفحم	258	مواد مائية ($0^\circ C$)	1286

في الغازات m/s

$$c = \sqrt{\kappa RT}$$

$$x = c_p/c_v \text{ للغاز}$$

R ثابت الغازات العام $J/kg K$

T درجة الحرارة المطلقة K

في الهواء m/s

$$c = (331.6 + 0.6 t/^\circ C) m/s$$

t درجة الحرارة $^\circ C$

2.6 أثر Doppler

$$f_E = f_s \frac{c - v_E}{c - v_S}$$

f_E تردد المستقبل

f_s تردد المرسل

c سرعة الصوت

يطبق لمستقبل متحرك ومرسل متحرك.

v_S و v_E هما موجبتان للتعويض، عندما

يكون لهما نفس اتجاه السرعة c ، وغير

ذلك فسالبة.

عندما يكون المستقبل ساكن فإن $v_E=0$ ،
أو المرسل ساكن فإن $v_S=0$.
سرعة المستقبل v_E
سرعة المرسل v_S

3.6 قيم الحقل الصوتي

سرعة الصوت

$$v = y\omega = 2\pi f y \quad \text{المهتز } m/s$$

$$\hat{v} = \hat{y}\omega = 2\pi f \hat{y} \quad \text{القيمة العظمى (سعة السرعة)}$$

ضغط الصوت

$$p = \rho c v \quad N/m^2 = Pa \quad \text{انحراف الضغط اللحظي ضمن موجة الصوت}$$

$$\hat{p} = \rho c \hat{v} \quad \text{القيمة العظمى (سعة الضغط)}$$

ρ كثافة الوسط kg/m^3 ، تتعلق بالضغط ودرجة الحرارة
 c سرعة الصوت m/s

شدة الصوت

$$J = \frac{\rho}{2} \hat{v}^2 c \quad W/m^2 \quad \text{شدة الصوت في موقع معين من حقل}$$

$$= \frac{\hat{p}^2}{2\rho c} \quad \text{الصوت، تعطينا استطاعة الصوت}$$

$$= \frac{\hat{p}\hat{v}}{2} = \tilde{p}\tilde{v} \quad \text{النتيجة لكل } m^2$$

ρ الكثافة kg/m^3
 c سرعة الصوت m/s

مستوى الصوت النسبي

$$L = 20 \lg \frac{p_1}{p_2} = 10 \lg \frac{J_1}{J_2} \quad \text{الواحدة (dB)}$$

$$1 \text{ dB} = 0.115 \text{ Neper (Np)}$$

مستوى الصوت المطلق

$$L = 20 \lg \frac{\hat{p}}{\sqrt{2\tilde{p}_0}} = 10 \lg \frac{J}{J_0} \text{ dB}$$

$$\tilde{p}_0 = 2 \times 10^{-5} \text{ N/m}^2$$

$$J_0 = 10^{-12} \text{ W/m}^2$$

شدة الضجيج

$$L = 20 \lg \frac{\hat{p}}{\sqrt{2\tilde{p}_0}} = 10 \lg \frac{J}{J_0}$$

\hat{p} ضغط صوت الطنين متساوي

الحساسية 1000-Hz-Tones

(فون)

تخماد الصوت

$$D = 10 \lg \frac{J_1}{J_2} \text{ dB}$$

يفهم من هذا التعبير تضعيف الصوت

عند اختراقه جدار ما

J_1 شدة الصوت قبل الجدار

D التخامد

J_2 شدة الصوت بعد الجدار

الجدول (8) قيم التخامد لمواد البناء

قيم التخامد مقاسة بالواحدة dB	السماكة مقاسة بالواحدة cm	
		حجر آجري، مطلي بزريقة
42	9	حجر 1/4
44	15	حجر 1/2
50	27	حجر 1/1
35	2.5	صفائح قطعية خشبية
19	0.5	خشب مانع مدهون بمادة لكر
29	0.7	زجاج
15 ... 20		باب بسيط

قيم التخامد مقاسة بالواحدة dB	السماكة مقاسة بالواحدة cm	
30 ... 40		باب مزدوج
15 ... 25		نافذة مفردة
25 ... 35		نافذة مزدوجة
48	16	جدار بيتوني

7. البصريات

f بعد المحرق	a البعد الحقيقي
f_1 بعد محرق الجسم	b بعد الصورة
f_2 بعد محرق العدسة	B طول الصورة
G الطول الحقيقي	c سرعة الضوء
n رقم الانكسار	M مركز التحدب عند الانعكاس:
r نصف قطر الانحناء لسطح كرة	في العدسات هو نقطة نهاية المسافة
	(مقاسة من العدسة) $2f$

1.7 المرايا والعدسات

قانون الانعكاس

$$\alpha = \beta$$

تقاس الزوايا بين الشعاع والشاقول

قانون الانكسار

$$\frac{\sin \alpha}{\sin \beta} = \frac{c_0}{c} = n$$

$c_0 = 299793 \text{ km/s}$ ، سرعة الضوء في الفراغ

$$\frac{\sin \alpha}{\sin \beta} = \frac{c_1}{c_2} = \frac{n_2}{n_1} = n_{12}$$

c سرعة الضوء في الوسط

n رقم الانكسار

الدليل 1: للوسط الأول

الدليل 2: للوسط الثاني

الزاوية المحدية للانعكاس الكلي

$$\sin \alpha = \frac{1}{n}; \quad n = \frac{\text{رقبة C}}{\text{كثافة C}}$$

الانعكاس الكلي عند الانتقال من
الأوساط الكثيفة للأوساط الرقيقة

قانون التشكيل

$$\frac{1}{f} = \frac{1}{a} + \frac{1}{b}; \quad \frac{G}{B} = \frac{a}{b}$$

يطبق لجميع حالات المرايا الكروية
والعدسات

$$f = \frac{r}{2}$$

يطبق في المرايا الكروية

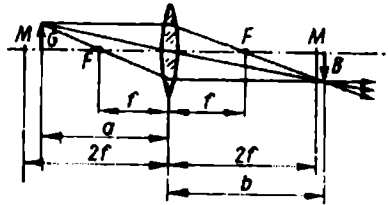
$$\frac{1}{f} = (n-1) \left(\frac{1}{r_1} + \frac{1}{r_2} \right)$$

يطبق للعدسات الكروية الرقيقة
 r_1 نصف قطر العدسة المحدية القوية
 r_2 نصف قطر العدسة المحدية الضعيفة

انتباه: في العدسات المقعرة والمرايا المحدية تكون f سالبة

تكوين الصور

خلال العدسات المقعرة أو المرايا المحدية (شكل 96)



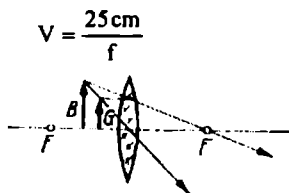
الشكل 96

	حالة الموقع	الموقع	الصورة	النوع
1	قبل M	بين F و M	مصغرة	معكوسة حقيقية
2	في M	في M	نفس القيمة	معكوسة حقيقية
3	بين M و F	خلف M	مكبرة	معكوسة حقيقية
4	في F	في اللانهاية	كبيرة لانهاية	—
5	ضمن f	قبل العدسة خلف المرآة	مكبرة	خيالي

في الحالة s تكون b سالبة

2.7 الأجهزة البصرية

العدسات المكبرة (شكل 97)



الشكل 97

v التكبير الخطي

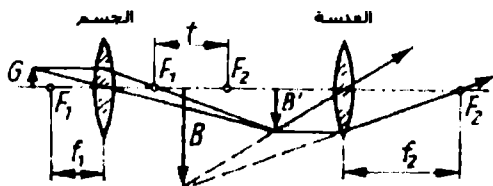
f بعد المحرق cm

المجهر (الشكل 98)

$$V = V_{\text{العدسة}} \cdot V_{\text{الجسم}} = \frac{25 \text{ cm} \cdot f}{f_1 f_2}$$

v التكبير الخطي

t مقاسة بالواحدة f_1, f_2, t cm

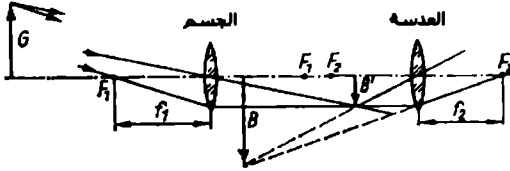


الشكل 98

المنظار (شكل 99)

V التكبير الخطي

$$V = \frac{f_1}{f_2}$$



الشكل 99

التصوير الفوتوغرافي

$$\frac{\text{قطر العدسة المؤثرة } d}{\text{البعد المحرقي } f} = \frac{1}{x}$$

3.7 هندسة الإضاءة

$$I = \frac{\Phi}{\omega}$$

شدة الضوء I مقاسة بالواحدة Candela (cd)

Φ تدفق الضوء مقاسة بالواحدة Lumen (lm)

$$\omega = \frac{\text{مساحة الكرة}}{2(\text{نصف قطر الكرة})^2}$$

ω زاوية الفراغ مقاس بالواحدة (sr)

Steradian

E شدة الإضاءة Lux

$$E = \frac{\Phi}{A} = \frac{I \cos \epsilon}{r^2}$$

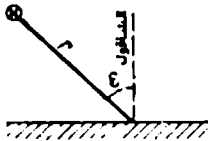
Φ تدفق الضوء الظاهر (Lumen) lm

A المساحة المضاءة m^2

I شدة الضوء للمصباح مقاسة بالواحدة cd

r بعد منبع الضوء مقاس بالواحدة m

ϵ الزاوية بين الأشعة والشاقول



الشكل 100

كثافة الإضاءة L مقاسة بالواحدة cd/m^2

$$L = \frac{I}{A}$$

I شدة الضوء مقاسة بالواحدة cd
A المساحة المضاءة m^2

الجدول (9) تدفق الضوء الكلي من المصابيح بـ (lm)

المصابيح العادية 220 V			مصباح النيون، بيضاء		
25 W		205	31 W	عمود 20 W	910
40 W	D (لفة مضاعفة)	400	33 W	عمود 25 W	1440
60 W	D (لفة مضاعفة)	685	52 W	عمود 40 W	2400
75 W	D (لفة مضاعفة)	910	79 W	عمود 65 W	3840
100 W		1350	144 W	عمود 120 W	5400
150 W		1980	33 W	على شكل U - 25 WU	1180
200 W		2740	52 W	على شكل U - 40 WU	1990

الجدول (10) أطوال موجات الضوء

أخضر 495 570 nm	حتى 390 nm تحت البنفسجية
أصفر 570 590 nm	390 435 nm بنفسجية
برتقالي 590 630 nm	435 495 nm أزرق
تحت الحمراء 790 nm	630 790 nm أحمر

8. الفيزياء الذرية

M الكتلة الذرية النسبية (قيمة الكتلة)

A النشاط الإشعاعي s^{-1}

c_0 سرعة الضوء في الفراغ $\approx 3 \times 10^8$ m/s ν التردد $Hz = s^{-1}$

λ ثابت التفكك s^{-1}

$T_{1/2}$ نصف القيمة الزمنية

W الطاقة J

1.8 الجزيئات الأولية الهامة

Electron: هو جزيء ذو شحنة سالبة في مدار الذرة. الشحنة: $-e = -1.602 \times 10^{-19} C$ ؛

كتلة السكون $m_e = 9.11 \times 10^{-31} kg$

Proton: جزيء ذو شحنة موجبة في نواة الذرة. الشحنة: $+e$ ؛ الكتلة الساكنة $m_p = 1836 m_e$ ،

الرمز: p.

Neutron: جزيء حيادي كهربائي في نواة الذرة. كتلة السكون: $m_n = 1839 m_e$ ، الرمز n.

Nukleon: هو تعبير مشترك للبروتون والنيوترون.

Positrino: إلكترونات موجبة، الشحنة: $+e$ ؛ كتلة السكون m_e .

Antineutrino ، Neutrino: جزيئات بدون كتلة ساكنة وشحنة، تنشأ عند تفكك أشعة β

Mesonen: جزيئات ثقيلة ذات أنواع مختلفة في الإشعاعات العالية الثانوية. الشحنة

$+e, -e$ وأيضاً 0، الكتلة: $m = 1500 \dots 200$ ، مدى العمر الوسطي:

$10^{-23} s \dots 10^{-6} s$.

2.8 بنية النواة

تتألف كل ذرة من نواة (بروتونات ونيوترونات) ومدارات (إلكترونات)

والترتيب $Z =$ عدد البروتونات (أيضاً عدد شحنات النواة)

رقم الكتلة $A =$ عدد النيوكليونات، أي بروتونات + نيوترونات.

${}_{53}^{127}\text{I}$ هذا يعني: عنصر اليود، رقم الترتيب 53، رقم الكتلة 127، أي 53 بروتونات، (127-53) نيوترونات.

1.2.8 مقادير وكتلة النواة

$$r_e \approx 1.4 \times 10^{-15} \text{ m}$$

r_e نصف قطر الإلكترون

$$r_K \approx r_e \sqrt[3]{M}$$

r_K نصف قطر النواة

$$N_A = \frac{6.022 \times 10^{26}}{\text{kmol}}$$

N_A ثابت Avogadro، يعطي عدد الذرات لكل kmol

$$m_a = M \cdot 1.66 \times 10^{-27} \text{ kg}$$

m_a كتلة الذرة في kg

$$N = \frac{m}{M \cdot 1.66 \text{ kg}} 10^{27}$$

N عدد الذرات في الكتلة m

الجدول (11)، نظرة عامة

M	A	تتكون من			الرمز	الاسم
		إلكترونات	نيوترونات	بروتونات		
0.000549	0	1	0	0	e	إلكترون
1.008665	1	0	1	0	n	نيوترون
1.007276	1	0	0	1	p	بروتون
1.007825	1	1	0	1	H	ذرات الهيدروجين
2.01354	2	0	1	1	d	دويوترون
4.001488	4	0	2	2	α	جزيئات α

2.2.8 الكتلة والطاقة

الكتلة - الطاقة - العلاقة

$$W = mc_0^2$$

علاقة Einstein للربط بين الكتلة مقاسة بوحدة kg

والطاقة مقاسة بوحدة J

$$W_B = \Delta mc_0^2$$

W_B طاقة ربط النواة

$$1 \text{ kg} = 8.988 \times 10^{16} \text{ J}$$

Δm فرق الكتلة

الإشعاع

$$W = hv$$

الطاقة الكمية للإشعاع

$$h = 6.626 \times 10^{-34} \text{ Js}$$

ثابت Planck

$$m = \frac{hv}{c_0^2}$$

الكتلة الكمية للإشعاع، تسمى Photon، وليس لها

أي كتلة ساكنة

الكتلة المتحركة

$$m = \frac{m_0}{\sqrt{1 - \frac{v^2}{c_0^2}}}$$

v: سرعة الجسم

تزداد الطاقة مع السرعة وأيضاً كتلة الجسم. في

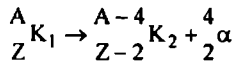
حال كون السرعة تساوي الصفر، عندها تكون

الكتلة ساكنة m_0 تزداد بقيمة الطاقة الإضافية

التابعة لقيمة الكتلة لتصل للكتلة الكلية m.

3.8 النشاط الإشعاعي

أشعة - α



(α - تفكك النواة K_1)

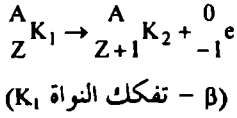
تتكون أشعة α من جزيئات α (نواة الهليوم) وقابلة

للتأرجح في الحقول الكهربائية والمغناطيسية. تبلغ

السرعة الابتدائية حوالي 10^7 m/s .

تأثير أيوني بشكل قوي

أشعة - β



تتكون أشعة β من إلكترونات ذات سرعة ابتدائية كبيرة جداً ولكن ليست موحدة. يتم تأرجحها في الحقول الكهربائية والمغناطيسية بشكل معاكس لجزئيات α .

أشعة γ

كمية الإشعاع ذات طول موجة قصيرة جداً ($10^{-13} \dots 10^{-15} \text{ m}$) وقدرة نفوذية عالية كثيرة من α و β . تنشأ كظاهرة ناجمة عن تفككات

قانون التفكك

$$N = N_0 e^{-\lambda t}$$

N_0 رقم تفكك النواة الموجودة سابقاً

$$T_{1/2} = \frac{\ln 2}{\lambda} = \frac{0.693}{\lambda}$$

N رقم تفكك النواة الموجودة لاحقاً

λ ثابت التفكك s^{-1}

الفاعلية (النشاط)

$$A = \lambda N = \frac{0.693N}{T_{1/2}} \quad Bq = s^{-1}$$

N رقم تفكك النواة

$T_{1/2}$ زمن القيمة النصفية S

$3.7 \times 10^{10} Bq = 1 \text{ Ci}$ (كوري)

امتصاص أشعة γ

$$I = I_0 e^{-\mu d}$$

I_0 الشدة أمام المتص

I الشدة خلف المتص

d سماكة المتص بوحدة cm

μ عامل التصفيف الخطي cm^{-1} ، يتعلق بطاقة الإشعاع والمتص.

$d_{1/2}$ سماكة القيمة النصفية cm

امتصاص أشعة β

$$I = I_0 e^{-\mu'f} \quad f \text{ كثافة المساحة } dp \text{ بوحدة } g/cm^2$$

$$\mu' = \frac{22}{W_m^{1.333}} \quad (\text{من أجل } W_m > 0.5 \text{ MeV}) \quad \mu' \text{ عامل التصفيف الكتلي مقاسة بالوحدة } cm^2/g. \text{ تتعلق بالطاقة الأعظمية } W_m \text{ للإلكترونات}$$

$$f_{1/2} = \frac{\ln 2}{\mu'} = \frac{0.693}{\mu'} \quad \text{سماكة القيمة النصفية}$$

$$f_m = 0.407 W_m^{1.38} \quad \text{العرض الأعظمي } > 0.8 \text{ MeV}$$

$$f_m = 0.542 W_m - 0.133 \quad \text{عندما } W_m < 0.8 \text{ MeV}$$

الجدول (12) الثوابت الفيزيائية (مختارات)

$g_m = 9.80665 \text{ m/s}^2$	تسارع السقوط الطبيعي
$\gamma = 6.672 \times 10^{-11} \text{ m}^3/\text{kg.s}^2$	ثابت الجاذبية
$R = 8314.4 \text{ J/kmol.K}$ $= 848 \text{ kpm/kmol.k}$	ثابت الغازات العام
$N_A = 6.02205 \times 10^{26} \text{ l/kmol}$	ثابت Avogadro
$N_L = 2.6868 \times 10^{25} \text{ m}^{-3}$	ثابت Loschmidt
$k = 1.38066 \times 10^{-23} \text{ J/K}$	ثابت Boltzman
$\sigma = 5.6703 \times 10^{-8} \text{ W/m}^2.\text{K}^4$ $= 4.8703 \times 10^{-8} \text{ kcal/h.m}^2.\text{K}^4$	ثابت الإشعاع
$c_0 = 299792.5 \times 10^3 \text{ m/s}$	سرعة الضوء (في الفراغ)
$e_0 = 8.85419 \times 10^{-12} \text{ F/m}$	ثابت الحقل الكهربائي
$\mu_0 = 1.256637 \times 10^{-6} \text{ H/m}$	ثابت الحقل المغناطيسي
$F = 9.6485 \times 10^7 \text{ C/kmol}$	ثابت Faraday
$e = 1.60219 \cdot 10^{-19} \text{ C}$	شحنة العناصر الكهربائية
$m_e = 9.1095 \cdot 10^{-31} \text{ kg}$	كتلة الإلكترون
$h = 6.6262 \cdot 10^{-34} \text{ Js}$	ثابت Plank

الميكانيك الهندسي

1. توازن الأجسام الصلبة

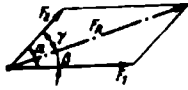
1.1 القوى في نظام مركزي مستوي

في نظام قوى مركزي تتقاطع خطوط تأثير القوى في نقطة ما.

1.1.1 التأثير المشترك لقوتين (محصلة قوتين)

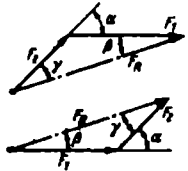
الحل التخطيطي بطريقة

(a) مضلع القوى

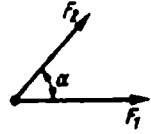


الشكل 102

(b) مثلث القوى



الشكل 103



الشكل 101

المعطيات: F_1, F_2, α

المطلوب: F_R, β, γ

الحل الحسابي

$$F_R = \sqrt{F_1^2 + F_2^2 + 2F_1F_2 \cos \alpha}$$

$$\sin \beta = \frac{F_2}{F_R} \sin \alpha$$

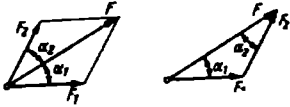
$$\sin \gamma = \frac{F_1}{F_R} \sin \alpha$$

من أجل $\alpha = 90^\circ$

$$F_R = \sqrt{F_1^2 + F_2^2}$$

$$\tan \beta = \frac{F_2}{F_1}; \quad \tan \gamma = \frac{F_1}{F_2}$$

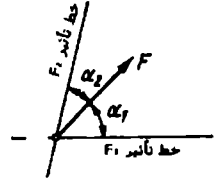
تحليل قوة إلى مركبتين



الشكل 105

المعطيات: F, α_1, α_2

المطلوب: F_1, F_2



الشكل 104

الحل الحسابي

$$F_1 = F \frac{\sin \alpha_2}{\sin(\alpha_1 + \alpha_2)}$$

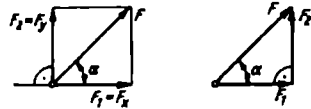
$$F_2 = F \frac{\sin \alpha_1}{\sin(\alpha_1 + \alpha_2)}$$

$$\alpha_1 + \alpha_2 = 90^\circ:$$

$$F_1 = F_x = F \cos \alpha$$

$$F_2 = F_y = F \sin \alpha$$

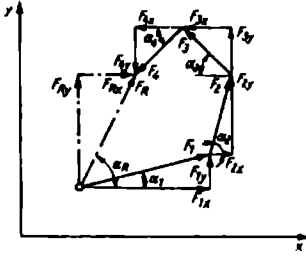
أهم حالات تحليل القوى من أجل:



الشكل 106

2.1.1 محصلة عدة قوى

الحل التخطيطي مع مثلث القوى



الشكل 108

$$F_{Rx} = \sum F \cos \alpha$$

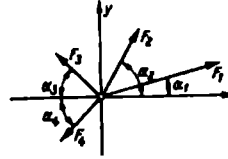
$$F_{Ry} = \sum F \sin \alpha$$

$$F_R = \sqrt{F_{Rx}^2 + F_{Ry}^2}$$

$$\tan \alpha_R = \frac{F_{Ry}}{F_{Rx}} = \frac{\sum F \sin \alpha}{\sum F \cos \alpha}$$

$$F_{Rx} = F_{1x} + F_{2x} - F_{3x} - F_{4x}$$

$$F_{Ry} = F_{1y} + F_{2y} + F_{3y} - F_{4y}$$



الشكل 107

المعطيات: F_1 حتى F_4 ، α_1 حتى α_4

المطلوب: F_R ، α_R

تحديد موقع α_R كتابع لإشارة F_{Rx} ، F_{Ry}

F_{Ry}	+	+	-	-	
F_{Rx}	+	-	-	+	
α_R im	I.	II.	III.	IV.	الأرباع

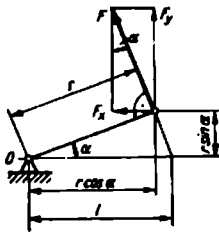
2.1 تركيب قوى في نظام قوى مستوية عام

في نظام قوى عام لا تتقاطع خطوط التأثير في نقطة.

1.2.1 عزم قوة بالنسبة لنقطة O

إن العزم هو متجه حر.

إن القوة هي متجه.



الشكل 109

$$M = Fr = Fl \cos \alpha$$

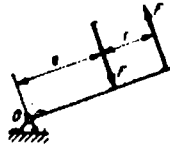
$$M = F_y r \cos \alpha + F_x r \sin \alpha$$

$$F_y = F \cos \alpha$$

$$F_x = F \sin \alpha$$

2.2.1 عزم عدة قوى

تسمى قوتين هما نفس القيمة ومتوازيتين مع اتجاه متعاكس بمزدوجة القوى (انظر الشكل 110).



$$M_R = F(a+r) - Fa$$

$$M_R = Fr$$

الشكل 110

ليس للبعد a أي تأثير على قيمة عزم مزدوجة القوى هذا يعني أن قيمة مزدوجة القوى لا تتعلق بموقع النقطة المرجعية O .

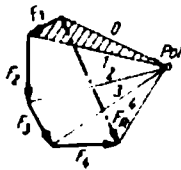
يمكن أن يتم انزلاق عشوائي لزوج القوى في مستوي بدون أن يتغير تأثيرها.

$$M_R = \sum Fr = F_1r_1 + F_2r_2 + \dots$$

عزم عدة قوى

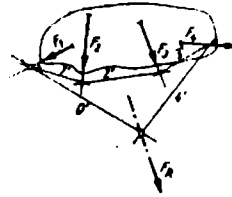
3.2.1 محصلة قوى عشوائية في المستوي

الحل التخطيطي مع مخطط القوى والمضلع الجبلي



الشكل 112

مخطط القوى مع مثلث الأقطاب



الشكل 111

مخطط المولع مع المضلع الجبلي

نحصل على قيمة واتجاه المحصلة من مخطط القوى. موقع المحصلة في نقطة التقاطع الأولى (0°) بالأخضر (4°) للشعاع الجبلي. إن الموازيات لثلاثة خطوط (قوة وشعاعي

أقطاب) والتي تكون ممثلة في زاوية القطب، تتقاطع في الموضع الجسبي في نقطة واحدة.

الحل الجسبي

$$F_{Rx} = \sum F \cos \alpha$$

$$F_{Ry} = \sum F \sin \alpha$$

$$F_R = \sqrt{F_{Rx}^2 + F_{Ry}^2}$$

قيمة المحصلة

$$\tan \alpha_R = \frac{F_{Ry}}{F_{Rx}} = \frac{\sum F \sin \alpha}{\sum F \cos \alpha}$$

اتجاه المحصلة

$$r_R = \frac{M_R}{F_R} = \frac{1}{F_R} \sum F r$$

موقع المحصلة

$$M_R = F_R r_R = \sum F r$$

عزم محصلة القوى أو بتعبير آخر

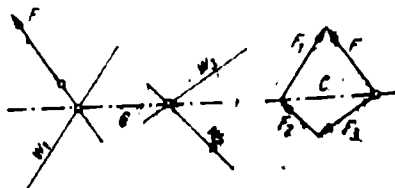
$$M_R = F_1 r_1 + F_2 r_2 + \dots$$

المحصلة بالنسبة لأي نقطة مرجعة.

4.2.1 تحليل قوة وفق ثلاث اتجاهات معطاة مسبقاً.

المسألة واضحة تماماً وقابلة للحل، عندما لا تتقاطع خطوط التأثير في نقطة واحدة أو أكثر، عندها يكون خطي تأثير قوتين متوازيين.

مثال:



الشكل 113

المعطيات: F, w_1, w_2, w_3

المطلوب: F_1, F_2, F_3

C مستقيم كولمان المساعد

w_1, w_2, w_3 خطوط تأثير القوى

المطلوبة

إن المستقيم C المار من نقاط التقاطع لكل من خطي تأثير القوتين يمثل مستقيم كولمان المساعد.

إن القوة المعطاة F تتحلل إلى F_1 وقوة مساعدة C في اتجاه C. وبعدها تتحلل إلى F_2 و F_3 ، عند تغيير إشارة المركبات الثلاث المتحللة تشكل القوى مع القوة المعطاة حالة توازن.

$$F_R \cos \alpha = \sum F \cos \alpha$$

يُرمز لـ F بـ F_R

$$F_R \sin \alpha = \sum F \sin \alpha$$

ونحل المسألة بالمعادلة المذكورة جانباً

$$F_{R^2} = \sum F^2$$

3.1 توازن القوى

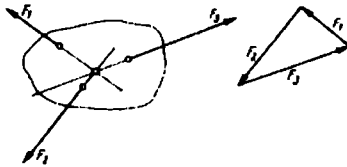
1.3.1 توازن القوى المستوية

في حالات خاصة نطبق:



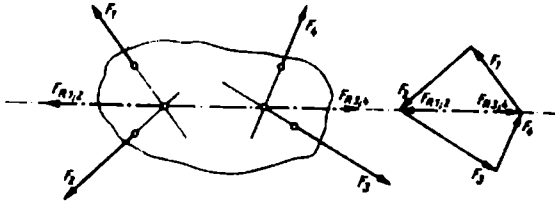
الشكل 114

تكون القوتان في حالة توازن فقط، عندما تقع خطوط تأثيرها على خط واحد وتكون متعاكسة بالاتجاه ومتساوية بالقيمة



الشكل 115

تكون ثلاث قوى في حالة توازن فقط، عندما تتقاطع خطوط تأثيرها في نقطة واحدة، ويكون مثلث القوى مغلقاً.



الشكل 116

تكون أربعة قوى في حالة توازن فقط، عندما تقع محصلة كل قوتين منها متعاكسة بالاتجاه على خط تأثير واحد.

يكون خط التأثير المشترك لكلا المحصلتين هو خط كولمان المساعد.

نطبق بشكل عام

تخطيطياً	حسابياً	نظام القوى
مثلث قوى مغلقة $F_R = 0$	$\left. \begin{array}{l} 1. \sum F_x = 0 \\ 2. \sum F_y = 0 \end{array} \right\} F_R = 0$	مركزي، مستوي (انظر صفحة 148)
مثلث قوى مغلقة $F_R = 0$ مثلث جبلي مغلقة $M_R = 0$	$\left. \begin{array}{l} 1. \sum F_x = 0 \\ 2. \sum F_y = 0 \\ 3. \sum M = M_R = 0 \end{array} \right\} F_R = 0$	عام، مستوي (انظر صفحة 150)

3.2.1 توازن القوى الفراغية

تخطيطياً	حسابياً	نظام القوى
مثلث قوى مغلقة، فراغياً ($\vec{F}_R = 0$)	$\left. \begin{array}{l} 1. \sum F_x = 0 \\ 2. \sum F_y = 0 \\ 3. \sum F_z = 0 \end{array} \right\} \vec{F}_R = 0$	مركزي، فراغية

تخطيطياً	حسابياً	نظام القوى
	1. $\sum F_x = 0$ 2. $\sum F_y = 0 \quad \bar{F}_R = 0$ 3. $\sum F_z = 0$ 4. $\sum M_x = \sum (F_{xy} - F_{yz}) = 0$ 5. $\sum M_y = \sum (F_{xz} - F_{zx}) = 0$ 6. $\sum M_z = \sum (F_{yx} - F_{xy}) = 0$ إحداثيات نقاط تلاقي القوى z, y, x	عام، فراغي

4.1 تحديد مركز الثقل

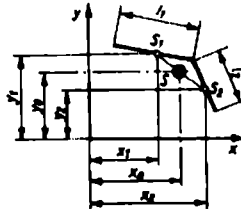
1.4.1 مركز الثقل لخط متجانس

مركز ثقل خط متعرج منكسر (انظر الشكل)

$$x_0 = \frac{\sum (lx)}{\sum l}; \quad y_0 = \frac{\sum (ly)}{\sum l} \quad (117)$$

$$x_0 = \frac{l_1 x_1 + l_2 x_2 + l_3 x_3 + \dots}{l_1 + l_2 + l_3 + \dots}$$

$$y_0 = \frac{l_1 y_1 + l_2 y_2 + l_3 y_3 + \dots}{l_1 + l_2 + l_3 + \dots}$$



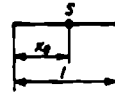
الشكل 117

$$x_0 = \frac{1}{2}$$

في القطع المستقيمة يقع مركز الثقل في منتصف المسافة (الشكل 118)

$$y_0 = \frac{r \sin \alpha}{\alpha} = \frac{rs}{b}$$

قطعة من قوس دائرة α (rad) (الشكل 119)



الشكل 118

$$y_0 = \frac{2r}{\pi} \approx 0.637r$$

قوس نصف الدائرة ($\alpha = \frac{\pi}{2}$) (الشكل 119)

$$y_0 = \frac{2r\sqrt{2}}{\pi} \approx 0.900r$$

قوس ربع الدائرة ($\alpha = \frac{\pi}{4}$) (الشكل 119)

$$y_0 = \frac{3r}{\pi} \approx 0.955r$$

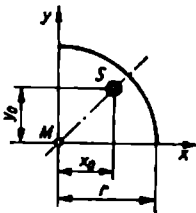
قوس سدس الدائرة ($\alpha = \frac{\pi}{6}$) (الشكل 119)

$$y'_0 \approx \frac{2}{3}h$$

قوس دائرة مسطح (الشكل 120)

$$x_0 = y_0 = \frac{2r}{\pi} \approx 0.637r$$

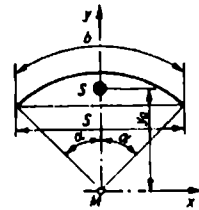
قوس ربع دائرة حسب (الشكل 121)



الشكل 121



الشكل 120



الشكل 119

2.4.1 مركز ثقل السطوح

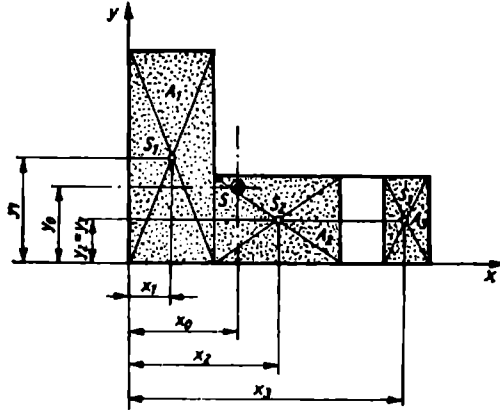
إحداثيات مركز ثقل سطح مكون

من عدة سطوح (الشكل 122)

$$x_0 = \frac{\sum(Ax)}{\sum A} \quad y_0 = \frac{\sum(Ay)}{\sum A}$$

$$x_0 = \frac{A_1x_1 + A_2x_2 + A_3x_3 + \dots}{A_1 + A_2 + A_3 + \dots}$$

$$y_0 = \frac{A_1y_1 + A_2y_2 + A_3y_3 + \dots}{A_1 + A_2 + A_3 + \dots}$$

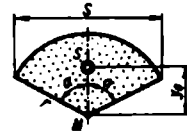


الشكل 122

$$y_0 = \frac{2rs \sin \alpha}{3\alpha}$$

$$y_0 = \frac{2rs}{3b}$$

قطاع دائري
 بالراديان (قياس القوس)
 طول القوس b
 (الشكل 123)



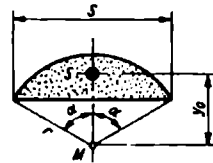
الشكل 123

$$y_0 = \frac{4r}{3\pi} \approx 0.424r$$

$$y_0 = \frac{4\sqrt{2}r}{3\pi} \approx 0.6r$$

سطح نصف الدائرة
 $\left(\alpha = \frac{\pi}{2}\right)$

سطح ربع الدائرة
 $\left(\alpha = \frac{\pi}{4}\right)$



الشكل 124

$$y_0 = \frac{s^3}{12A}$$

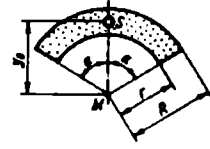
$$y_0 = \frac{2r \sin^3 \alpha}{3(\alpha - \sin \alpha \cos \alpha)}$$

قطاع دائري
 بالراديان (قياس القوس)

A مساحة المقطع الشكل (124)

$$y_0 = \frac{2 R^3 - r^3}{3 R^2 - r^2} \frac{\sin \alpha}{\alpha}$$

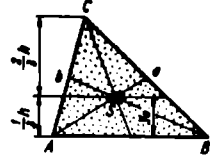
مقطع من حلقة دائرية
انظر الشكل (125)



الشكل 125

$$y_0 = \frac{1}{3} h$$

المثلث
انظر الشكل (126)



الشكل 126

$$y_0 = \frac{2}{5} h$$

مقطع كروي مسطح
شكل (127)



الشكل 127

$$y_0 = \frac{2}{5} h$$

مقطع قطعي (من قطع كامل)
الشكل (128)



الشكل 128

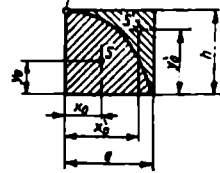
$$x_0 = \frac{3}{8} a$$

$$x_0' = \frac{3}{4} a$$

$$y_0 = \frac{2}{5} h$$

$$y_0 = \frac{7}{10} h$$

مقطع قطعي نصفين
والمساحة المتبقية. الشكل
(129)

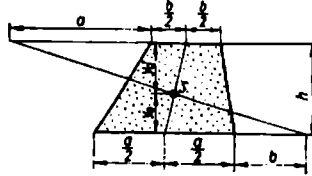


الشكل 129

$$y_0 = \frac{h}{3} \frac{a+2b}{a+b}$$

$$y_0' = \frac{h}{3} \frac{2a+b}{a+b}$$

شبه المنحرف
الشكل (130)



الشكل 130

5.1 ردود الأفعال في المساند

1.5.1 ردود أفعال المساند في الجوائز المقررة ستاتيكيًا

تكون الجوائز المقررة ستاتيكيًا ظاهرياً، عندما تكون ردود أفعال المساند قابلة للتحديد من شروط التوازن. المسند إما أن يكون متحرك أو ثابت حسب الشكل (131).

$$F_{Rx} = F_R \cos \alpha$$

$$F_{Ry} = F_R \sin \alpha$$

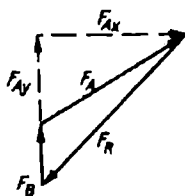
الحلول مع شروط التوازن.

$$\sum M_A = 0: F_R \sin \alpha \cdot a - F_B \cdot l = 0 \Rightarrow F_B = \frac{a}{l} F_R \sin \alpha$$

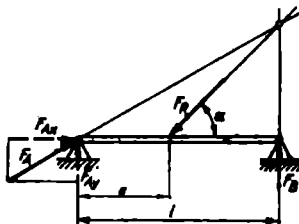
$$\sum F_y = 0: F_{Ay} - F_R \sin \alpha + F_B = 0 \Rightarrow F_{Ay} = \frac{l-a}{l} F_R \sin \alpha$$

$$\sum F_x = 0: F_{Ax} - F_R \cos \alpha = 0 \Rightarrow F_{Ax} = F_R \cos \alpha$$

$$F_A = \sqrt{F_{Ay}^2 + F_{Ax}^2}$$



الشكل 132



الشكل 131

2.5.1 ردود أفعال المساند في الجوائز غير المقررة ستاتيكيًا

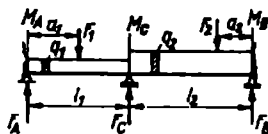
عندما يكون هناك أكثر من ثلاث مساند غير مقررة. فإنه بالإضافة إلى شروط التوازن الثلاثة، هناك معادلات أخرى تشكل من تغير العمل، انظر (مقاومة المواد)

$$0 = \frac{\partial W_B}{\partial F} \quad \text{معادلات تحديد القوى } F_B \text{ للمسند غير المقرر ستاتيكيًا}$$

$$0 = \frac{\partial W_F}{\partial M_B} \quad \text{معادلات تحديد العزم } M_B \text{ للمسند غير المقرر ستاتيكيًا}$$

تطبيق معادلات العزوم الثلاثة للجوائز

تطبق معادلات كلايبيرون التالية للعزوم الثلاثة في عزوم العطالة غير المتغيرة والتي تنتج عن تقسيم الجوائز إلى عدة حقول 1 و 2، الشكل (133)



الشكل 133

الحل التخطيطي مع مخطط القوى لجوائز يحمل مع ثلاث مساند حسب الشكل (133) تطبيق:

$$M_B = 0 \quad ; M_A = 0$$

$$2M_c(l_1 + l_2) = \frac{F_1 a_1}{l_1} (l_1^2 - a_1^2) - \frac{F_2 a_2}{l_2} (l_2^2 - a_2^2) - \frac{1}{4} (q_1 l_1^3 + q_2 l_2^3)$$

نحصل من هذه العلاقة على M_c

قوى المساند من شروط العزوم

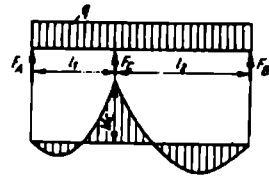
$$F_A/l_1 - F_1(l_1 - a_1) - q_1 \frac{l_1^2}{2} - M_c = 0 \Rightarrow F_A$$

$$F_B/l_2 - F_2(l_2 - a_2) - q_2 \frac{l_2^2}{2} - M_c = 0 \Rightarrow F_B$$

في الجوائز ذات الحمولة الثابتة وترتكز على ثلاثة مساند حسب الشكل 134

$$M_c = \frac{q}{8} \frac{l_1^3 + l_2^3}{l_1 + l_2}$$

العزم في C
والحمولة
موزعة بانتظام



الشكل 134

$$F_A = \frac{q l_1}{2} + \frac{M_c}{l_1}$$

القوة في المسند
A

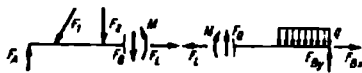
$$F_B = \frac{q l_2}{2} + \frac{M_c}{l_2}$$

القوة في المسند
B

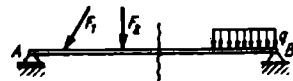
6.1 ردود أفعال المقاطع في الجوائز

القوى الطولية، والقوى العرضية، وعزم العطالة

مصطلح اتجاه ردود أفعال المقاطع الموجبة



الشكل 136



الشكل 135

القوة الطولية F_L : إن محصلة القوى الخارجية مع اتجاه القضيب في مقطع الجائز متوازن مع القوة الطولية.

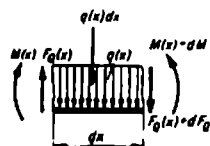
القوة العرضية F_B : إن محصلة القوى الخارجية عمودية على اتجاه الجائز في المقطع المتوازن مع القوى العرضية

العزم M : إن عزوم القوى الخارجية في مقطع الجائز تتوازن مع العزم في المكان المقطوع

بعد إنزال ردود أمثال المقاطع الموجبة تعين ردود الأفعال للمقاطع من شروط التوازن العلاقات بين الحمولة الموزعة، القوى العرضية، وعزم الانعطاف

$$\frac{dF_Q(x)}{dx} = -q(x)$$

إن ازدياد خط القوة العرضية في الموقع x يساوي القيمة السالبة للحمل في نفس الموقع



الشكل 137

$$\frac{dM(x)}{dx} = F_Q(x)$$

إن ازدياد خط العزم في الموقع x يساوي القوة العرضية في نفس الموقع.

$$\frac{d^2M(x)}{dx^2} = \frac{dF_Q(x)}{dx} = -q(x)$$

القيمة الأعظمية لخط العزوم (M_{max})

$$\frac{dM(x)}{dx} = F_Q = 0$$

إن اختراق خط القوة العرضية من الصفر يحدد الموقع الذي تقع فيه القيمة الحدية للعزم.

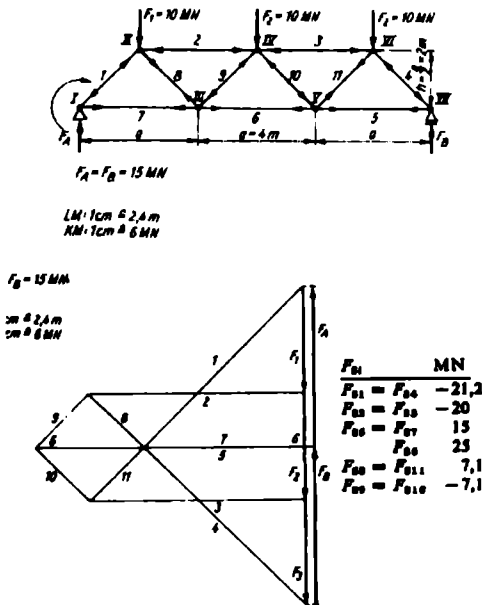
1.7 تحديد قوى القضبان في الجوائز الشبكية المستوية

1.7.1 بطريقة مخطط القوى (مخطط Cremon). حسب الشكل (138)

بعد تحديد الاصطلاح الاتجاهي لمخطط القوى المحمل والقوى المضغمية بطريقة الرسم، يرسم مخطط القوى بنفس الاتجاه ل نقاط العقد المنفردة.

إن نقطة العقدة تختار بقوتين مجهولتين، أما القوى التي تتلاقى في مخطط الموقع في نقطة واحدة فهي تشكل بمخطط Cremon مصلع قوى مغلق.

إن قوى القضبان التي تشكل مصلع القضبان، تتقاطع في مخطط Cremon في نقطة واحدة. عند الحفاظ على الاصطلاح الاتجاهي تظهر كل قوة في مخطط القوى مرة واحدة فقط.



الشكل 138

2.7.1 طريقة المقاطع بطريقة Ritter (الشكل 139)

تفصل الجائز بمقطع بحيث تكون كل ثلاث قوى في القضبان مجهولة، ولا تتلاقى في نقطة واحدة.

في موقع المقطع تطبق قوى الشد، التي تكون متوازنة مع القوى الخارجية وبشروط التوازن تحسب القوى المتولدة في القضبان.

تطبق معادلة العزوم في نقطة الموقع لقضبان مقطوعة مرتين، بذلك تحسب القوة الثالثة بشكل غير مباشر.

مثال: مقطع في القضبان 7، 8، 2.

$$\Sigma M_{III} = 0:$$

$$F_A \cdot 4 \text{ m} - F_1 \cdot 2 \text{ m} + F_{s2} \cdot 2 \text{ m} = 0$$

$$F_{s2} = -20 \text{ MN} \text{ (قوة ضغط)}$$

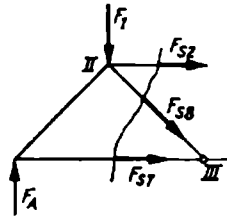
$$\Sigma M_{II} = 0:$$

$$F_A \cdot 2 \text{ m} - F_{s7} \cdot 2 \text{ m} = 0$$

$$F_{s7} = F_A = 15 \text{ MN}$$

$$\Sigma F_y = 0: F_A - F_1 - F_{s8} \sin 45^\circ = 0$$

$$F_{s8} = 5\sqrt{2} \text{ MN}$$



الشكل 139

3.7.1 طريقة نقطة العقد (مقطع دائري)

يمكن فصل العقد من ربطة العقد، وتطبيق قوة الشد في موقع المقطع. ينتج مباشرة من شروط التوازن قوى القضبان لنقاط العقد بقضيين مجهولين.

إن القوى الحاصلة في القضبان ترتبط بالعقد المجاورة وتحدد بالتسلسل حسب كل قوى القضبان.

مثال: مقطع حول العقدة I

$$\Sigma F_y = 0:$$

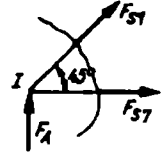
$$F_A + F_{s1} \sin 45^\circ = 0$$

$$F_{s1} = -15\sqrt{2} \text{ MN}$$

$$\Sigma F_x = 0:$$

$$F_{s7} + F_{s1} \cos 45^\circ = 0$$

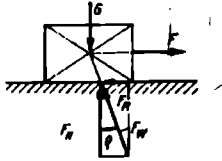
$$F_{s7} = 15 \text{ MN}$$



الشكل 140

1.8 الاحتكاك

الاحتكاك بين سطحين مستويين



الشكل 141

μ عامل احتكاك الانزلاق

μ_0 عامل احتكاك

ρ زاوية الاحتكاك

F_N القوة الناعمية

F_W قوة المقاومة

$$F_R = \mu F_N$$

F_R قوة الاحتكاك في الحركة المنتظمة

$$F_{R0} \leq \mu_0 F_N$$

F_{R0} قوة الاحتكاك في حالة السكون

(احتكاك التماسك)

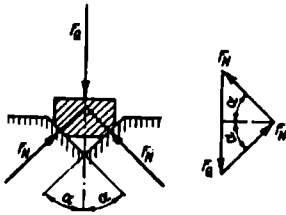
$$\mu = \tan \rho = \frac{F_R}{F_N}$$

$$F_W = \sqrt{F_R^2 + F_N^2}$$

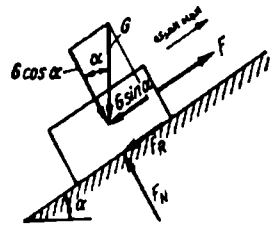
F_W قوة المقاومة

الجدول 13 عوامل الاحتكاك

جملة المواد	من أجل الانزلاق		من أجل التماسك	
	جاف	مصقول (مدهون)	جاف	مصقول
فولاذ - فولاذ	0.10 ... 0.12	0.04 ... 0.07	0.15 ... 0.3	0.1 ... 0.12
غرافيت - فولاذ	0.15 ... 0.2	0.05 ... 0.1	0.18 ... 0.2	0.1 ... 0.2
برونز - فولاذ	0.15 ... 0.2	0.05 ... 0.1	0.18 ... 0.2	0.1 ... 0.2
غرافيت - غرافيت	0.15 ... 0.25	0.02 ... 0.1	0.2 ... 0.3	0.1 ... 0.15



الشكل 143



الشكل 142

$$F = G (\sin \alpha \pm \mu \cos \alpha)$$

F قوة الرفع (+) في حركة الرفع المنتظمة (الشكل 142)
F قوة التوقف (-) في حركة الرفع المتباطئة على سطح مائل

$$F_0 = G (\sin \alpha - \mu_0 \cos \alpha)$$

F₀ قوة التماسك ضد الانزلاق

الاحتكاك في الصواميل الشكل (143)

$$F_R = \frac{\mu}{\sin \alpha} F_Q = \mu' F_Q$$

F_R قوة الاحتكاك أثناء حركة الحمل

$$\mu' = \frac{\mu}{\sin \alpha}$$

μ' عامل الاحتكاك في الصامولة

$$F_1 = F_Q \frac{\sin(\alpha + \rho_2 + \rho_3) \cos \rho_1}{\cos(\alpha + \rho_1 + \rho_2) \cos \rho_3}$$

F₁ القوة اللازمة لتحريك الحابور
(الشكل 144)

من أجل $\rho_1 = \rho_2 = \rho_3 = \rho$ نطبق:

$$F_1 = F_Q \tan(\alpha + 2\rho)$$

$$F_2 = F_Q \tan(\alpha - 2\rho)$$

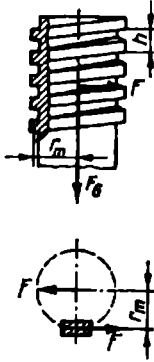
$$\alpha \leq 2\rho_0$$

F_2 القوة اللازمة لنزع الخابور

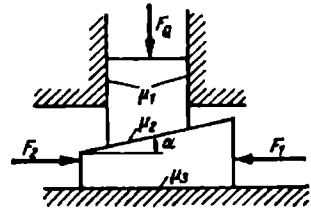
القوة اللازمة لحشر الخابور

القوة اللازمة لنزع الخابور

شرط الكبح الذاتي



الشكل 145



الشكل 144

الاحتكاك في البراغي

$$\tan \alpha = \frac{h}{2r_m \pi}$$

α زاوية التقدم؛ h الخطوة

r_m نصف قطر الحلزون الوسطي

تطبق الصيغ التالية للحلزون المسطح، في حالة الحلزون ذو شبه المنحرف والمثلثي
يجب تعويض ρ بدلاً من ρ

$$\tan \rho' = \mu' = \frac{\mu}{\cos(\beta/2)}$$

ρ' زاوية الاحتكاك لقمة الحلزون
 β الزاوية الجانبية

$$F = F_Q \tan(\alpha \pm \rho)$$

القوة المحيطة، + للرفع، - لإنزال الحمل F_Q

$$M = Fr_m = F_Q r_m \tan(\alpha \pm \rho)$$

العزم المطبق (+ لرفع الحمل F_Q ، - لإنزال الحمل F)

$$\eta = \frac{\tan \alpha}{\tan(\alpha + \rho)}$$

مردود حركة البرغي

$$\alpha \leq \rho$$

في حال ظهور الكبح الذاتي

الاحتكاك في الخوابير الطويلة (الشكل 146)

$$M_R = \frac{2}{3} \mu_1 F_Q \frac{r_a^3 - r_1^3}{r_a^2 - r_1^2}$$

عزم الاحتكاك للخابور طويل (الشكل 146)

$$M_R = \frac{2}{3} \mu_1 F_Q r$$

عزم الاحتكاك للخابور كامل $r_1 = 0$

μ_1 عامل احتكاك الخابور يحدد من نسب التشغيل وشكل المضجع.

الاحتكاك في خابور الحمل

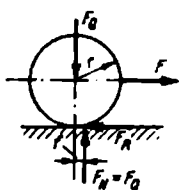
$$F_R = \mu_1 F_Q$$

قوة الاحتكاك

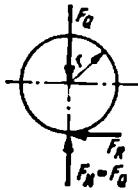
$$M_R = \mu_1 F_Q r$$

عزم الاحتكاك

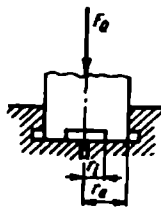
μ_1 عامل احتكاك الخابور قيمته غير ثابتة، وتتغير مع شروط التشغيل



الشكل 148



الشكل 147



الشكل 146

احتكاك التدرج (شكل 148)

$$F_R = \frac{f}{r} F_Q$$

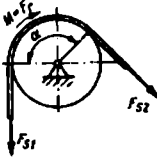
مقاومة التدرج

$$M = Fr = F_Q f$$

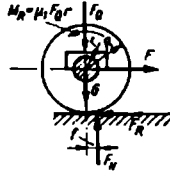
عزم احتكاك التدرج

$$f = \frac{F}{F_Q} r$$

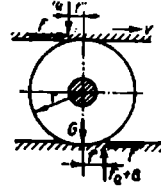
ذراع في احتكاك التدرج



الشكل 151



الشكل 150



الشكل 149

$$F = F_R = (F_Q + G) \frac{f}{2r} + F_Q \frac{f'}{2r}$$

قوة التشغيل للجسم المتدرج بين سطحين متحركتين (شكل 149)

$$F = F_R = \frac{f}{r} F_Q$$

قوة التشغيل حسب الشكل (149)، عندما $f' = f$ ، $G = 0$

$$F = F_R = \frac{(F_Q + G)f + \mu_1 F_Q r}{R}$$

مقاومة الإقلاع عند مقاومة التدرج واحتكاك الخابور (شكل 150)

احتكاك الحبال (شكل 151)

$$F = F_{a1} - F_{a2}$$

قوة محيطية = قوة احتكاك الحبل

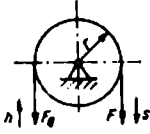
$$F_{a1} = F_{a2} e^{\mu \alpha}$$

معادلة احتكاك الحبل $F_{a1} > F_{a2}$ لأن $e^{\mu \alpha} > 1$
 μ = عامل احتكاك الحبل $\mu = \text{Const}$

α زاوية الإحاطة rad (مقياس القوس)

9.1 البكرات وأنواعها

البكرة الثابتة



الشكل 152

$$F = \frac{F_Q}{\eta_r}$$

$$\eta_r \approx 0.95$$

قوة الرفع

مردود البكرة الثابتة

$$s = h$$

بعد القوة = بعد الحمل

البكرة الحرة



الشكل 153

$$F = \frac{F_Q}{2\eta}$$

$$\eta = 0.95 \dots 0.97$$

قوة الرفع

مردود البكرة الحرة

$$s = 2h$$

s بعد القوة

h بعد الحمل

البكرات المتعددة



الشكل 154

$$F = \frac{F_Q}{n\eta}$$

$$s = nh$$

$$\eta = 0.91 \dots 0.94$$

$$\eta = 0.86 \dots 0.90$$

$$\eta = 0.80 \dots 0.87$$

$$\eta = 0.76 \dots 0.83$$

قوة الرفع اللازمة

n عدد البكرات

s بعد القوة

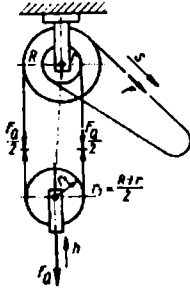
من أجل بكرتين

من أجل أربع بكرات

من أجل ست بكرات

من أجل ثمان بكرات

النظام التفاضلي لمجموعة البكرات (شكل 154)



الشكل 155

$$F = F_Q \frac{R-r}{\eta 2R} = \frac{F_Q}{\eta} i \quad \text{قوة الرفع}$$

$$s = h \frac{2R}{R-r} = \frac{h}{i} \quad \text{بعد القوة}$$

$$i = \frac{R-r}{2R} \quad \text{نسبة النقل}$$

$$\eta = 0.4 \dots 0.5 \quad \text{في حال الرفع بالمسنتات}$$

$$\eta_z = 0.8 \dots 0.9$$

2. التحريك

1.2 الحركة الانتقالية - مبدأ d'Alembert

$$F = ma$$

القانون الأساسي في التحريك

F محصلة كافة القوى الخارجية المؤثرة على الجسم

m كتلة الجسم

a التسارع

$$F + (-ma) = 0$$

من خلال إسقاط قوة d'Alembert المساعدة (قوة

عطالة) $-ma$ ، المعاكسة لاتجاه التسارع، يمكن أن

تطبق للعملية الديناميكية شروط التوازن (الشكل

(156)



الشكل 156

الحركة المتسارعة على مسار أفقي (شكل 157)

$$F = m(a + \mu g)$$

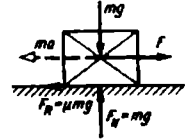
القوة المطلوبة مع اعتبار احتكاك الانزلاق



شكل 159



الشكل 158



الشكل 157

سقوط حر مع اعتبار مقاومة الهواء

الحركة المتسارعة على مسار شاقولي عند السقوط الحر
الشكلين (158 و 159)

$$F = m(g \pm a)$$

القوة المطلوبة دون اعتبار مقاومة الهواء
(+ إلى الأعلى، - إلى الأسفل)

$$F_R = c_w \frac{\rho}{2} A v^2 = k v^2$$

F_R مقاومة الجريان مقاسة بالوحدة N
عامل الجريان k Ns^2/m^2

ρ كثافة الهواء kg/m^3

$$k = c_w \frac{\rho}{2} A = \text{const}$$

A إسقاط المقطع العرضي عمودياً بالنسبة
لاتجاه الحركة m^2

v السرعة — m/s

c_w عامل المقاومة (لا بعدي)

$$ma + kv^2 - mg = 0$$

معادلة الحركة للسقوط الحر باعتبار
مقاومة الهواء. (انظر الشكل 159)

$$v_{\max} = \sqrt{\frac{mg}{k}}$$

السرعة الأعظمية عندما $a = 0$

$$v = v_{\max} \tanh \frac{gt}{v_{\max}}$$

السرعة عند الزمن t ، من أجل $t = 0$
تكون $v = 0$

$$s = \frac{v_{\max}^2}{g} \ln \left(\cosh \frac{gt}{v_{\max}} \right)$$

المسافة المقطوعة في الزمن t ، من أجل $t = 0$
تكون $v = 0$

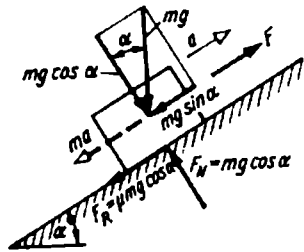
$$t = \frac{m}{2kv_{\max}} \ln \frac{v_{\max} + v}{v_{\max} - v}$$

الحركة المتسارعة على مسار مائل مع احتكاك (الشكلين 160، 161)

$$F = m (g \sin \alpha \pm a \pm \mu g \cos \alpha)$$

القوة للحركة المتسارعة

+ للأعلى، - للأسفل (شكل 160)



الشكل 160

حركة متسارعة للأعلى مع اعتبار الاحتكاك

$$a = \frac{F}{m} - g(\sin \alpha + \mu \cos \alpha)$$

معادلة الحركة للحركة للأعلى

$$v = \left[\frac{F}{m} - g(\sin \alpha + \mu \cos \alpha) \right] t + v_0$$

(شكل 160) بشروط ابتدائية

$$s(0) = s_0 \text{ و } v(0) = v_0$$

$$s = \left[\frac{F}{m} - g(\sin \alpha + \mu \cos \alpha) \right] \frac{t^2}{2} + v_0 t + s_0$$

$$ma + \mu mg \cos \alpha - mg \sin \alpha = 0$$

معادلة حركة جسم بتأثير وزنه

$$a = g(\sin \alpha - \mu \cos \alpha)$$

الذاتي على مستو مائل (الشكل 161)

$$v = g(\sin \alpha - \mu \cos \alpha) t$$

$$s = g(\sin \alpha - \mu \cos \alpha) \frac{t^2}{2}$$

$$m \frac{v^2}{2} = mg s \sin \alpha - \mu \cos \alpha \frac{t^2}{2}$$

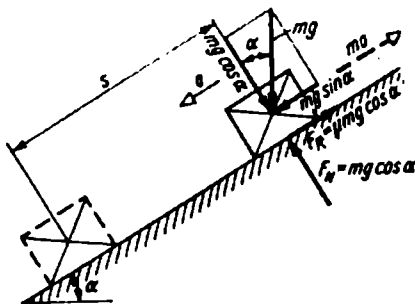
$$v = \sqrt{2sg(\sin \alpha - \mu \cos \alpha)}$$

بشروط ابتدائية، من أجل $t = 0$

تكون $v=0$ و $s=0$

معادلة الحركة من معادلة الطاقة

للشكل 161



الشكل 161

حركة جسم بتأثير وزنه الذاتي على مستو مائل

2.2 الحركة الدورانية حول محور ثابت (الشكل 162)

القانون الأساسي للديناميك في الحركة الدورانية

$$M = J_A \alpha = J_A \ddot{\phi}$$

M عزم الدوران الخارجي مقاس بالواحدة $N.m$

$$\alpha = \ddot{\phi} \text{ التسارع الزاوي } s^{-2}$$

m كتلة الجسم kg



الشكل 162

J_A عزم العطالة الكتلي بالنسبة لمحور الدوران A مقاس

بالواحدة $kg.m^2$

قانون Steiner

$J_A = J_S + s^2 m$ عزم العطالة الكتلي بالنسبة للمحور المواز لـ A والمر من مركز الثقل S بمقاس بالواحدة kg m^2 والبعد بين المحاور A و S مقاس بالواحدة m

$i = \sqrt{\frac{J}{m}}$ نصف قطر العطالة بـ m ، وهو المسافة التي تكون فيها الكتلة كمنقطة مادية مرتبة مع عزم العطالة الكتلي كما لو كان توزيع الكتلة حقيقياً.

$D_i = 2i$ قطر العطالة D_i

$m_{red} = \frac{J}{r^2}$ الكتلة المختزلة هي الكتلة الواقعة على بعد r ، كمنقطة أو كتلة على شكل حلقي m_{red} بنفس عزم العطالة الكتلي كما في توزيع الكتلة الحقيقي

$m D_i^2 = 4J$ عزم الاهتزاز مقاس بالواحدة kg m^2 ، المعادلة صالحة للصفائح الدوارة

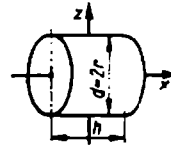
3.2 عزوم العطالة الكتلية

1. الاسطوانة

$$J_x = \frac{1}{8} m d^2 = \frac{1}{2} m r^2$$

$$i_x = r \sqrt{\frac{1}{2}}$$

$$J_z = \frac{1}{4} m \left(r^2 + \frac{h^2}{3} \right)$$



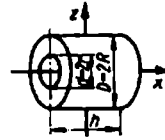
الشكل 163

2. الاسطوانة المفرغة

$$J_x = \frac{1}{2} m(R^2 + r^2)$$

$$i_x = \sqrt{\frac{R^2 + r^2}{2}}$$

$$J_z = \sqrt{\frac{1}{4} m \left(R^2 + r^2 + \frac{h^2}{3} \right)}$$



الشكل 164

الاسطوانة المفرغة ذات الجدران الرقيقة $R \approx r \approx r_m$

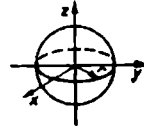
$$J_x = m r_m^2$$

$$J_z = \frac{1}{2} m \left(r_m^2 + \frac{h^2}{6} \right)$$

3. الكرة

$$J_x = J_y = J_z = \frac{2}{5} m r^2$$

$$i = r \sqrt{0.4}$$



الشكل 165

الكرة المفرغة

$$J_x = J_y = J_z = \frac{2}{5} m \frac{R^5 - r^5}{R^3 - r^3}$$

$$i = \sqrt{\frac{2}{5} \frac{R^5 - r^5}{R^3 - r^3}}$$

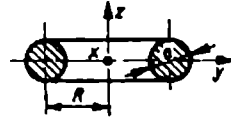
الكرة المفرغة ذات الجدران الرقيقة $R \approx r \approx r_m$

$$J_x = J_y = J_z = \frac{2}{3} m r_m^2$$

4. الحلقة

$$J_x = J_y = \frac{m}{2} \left(R^2 + \frac{5}{4} a^2 \right)$$

$$J_z = m \left(R^2 + \frac{3}{16} a^2 \right)$$



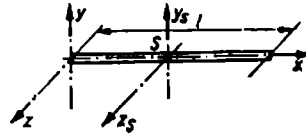
الشكل 166

5. العصا الرقيقة

$$J_x = 0$$

$$J_{zs} = \frac{1}{12} ml^2$$

$$J_z = \frac{1}{3} ml^2$$



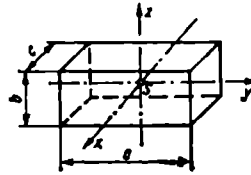
الشكل 167

6. المكعب

$$J_x = \frac{1}{12} m(a^2 + b^2)$$

$$J_y = \frac{1}{12} m(b^2 + c^2)$$

$$J_z = \frac{1}{12} m(a^2 + c^2)$$



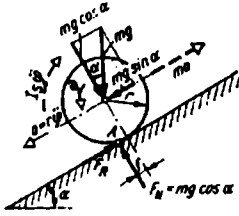
الشكل 168

2.4 الحركة العامة - الحركة الانتقالية والدورانية

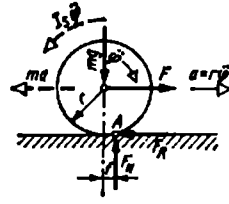
في الحركة العامة يمكن إيجاد علاقات الحركة الانتقالية لمركز الثقل والحركة الدورانية حول مركز الثقل S للجسم الصلب.

$$W = \frac{mv_S^2}{2} + \frac{J\omega_S^2}{2}$$

الطاقة الكامنة في الحركة العامة



الشكل 170



الشكل 169

حركة التدحرج على مستو أفقي (الشكل 169)

$$Fr - mar - mgf - J_S \ddot{\phi} = 0$$

$$J_S = m_{red} r^2; a = r\ddot{\phi}$$

$$F = m \left(a + g \frac{f}{r} \right) + m_{red} a$$

$$F = ma + m_{red} a = m(a + \mu g)$$

معادلة الحركة أثناء التدحرج على مستو أفقي، $M_A = 0$ (الشكل 169)

قوة الشد في حركة التدحرج المتسارعة مع اعتبار مقاومة التدحرج.

قوة الشد في التدحرج المثالي من أجل $f = 0$ يصبح $J_S \ddot{\phi} = \mu mgr$ مع $0 < \mu \leq \mu_0$

حركة التدحرج على مستو مائل (الشكل 170)

$$\sum M_A = 0: mgr \sin \alpha - mar - mgf \cos \alpha - J_S \ddot{\phi} = 0$$

$$J_S \ddot{\phi} = m_{red} r^2 \ddot{\phi} = m_{red} r a$$

$$a = \frac{mg \left(\sin \alpha - \frac{f}{r} \cos \alpha \right)}{m + m_{red}}$$

$$a = \frac{mg \sin \alpha}{m + m_{red}}$$

التسارع أثناء حركة الجسم المتدحرج إلى أسفل مع اعتبار مقاومة التدحرج (الشكل 170)

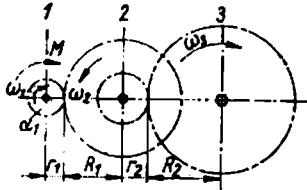
التسارع أثناء التدحرج المثالي على مستو مائل $f = 0$

العزم المحرك والطاقة الحركية في منشآت التشغيل

$$M = mar + mgr + J_3\alpha$$

$$M = (m + m_{red}) ar + mgr$$

$$M = J_1\alpha_1 + J_2\alpha_2 \frac{r_1}{R_1} + J_3\alpha_3 \frac{r_1}{R_1} \frac{r_2}{R_2}$$



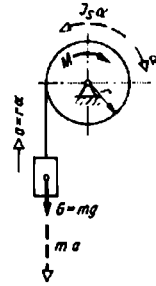
الشكل 172

عزم التسارع مقياس بالواحدة N.m

من أجل نظام حسب الشكل (171)

عزم التسارع لآلية دوارة حسب

الشكل (172)



الشكل 171

$$\alpha_2 = \frac{r_1}{R_1} \alpha_1$$

$$\alpha_3 = \frac{r_2}{R_2} \alpha_2 = \frac{r_1}{R_1} \frac{r_2}{R_2} \alpha_1 = \frac{n_3}{n_1} \alpha_1$$

$$M = \left[J_1 + J_2 \left(\frac{r_1}{R_1} \right)^2 + J_3 \left(\frac{r_1}{R_1} \right)^2 \left(\frac{r_2}{R_2} \right)^2 \right] \alpha_1$$

$$= \left[J_1 + J_2 \left(\frac{n_2}{n_1} \right)^2 + J_3 \left(\frac{n_3}{n_1} \right)^2 \right] \alpha_1$$

W : الطاقة الحركية للآلية الدوارة
حسب الشكل (172)

$$W = J_1 + J_2 \frac{r_1^2}{R_1^2} + J_3 \frac{r_1^2}{R_1^2} \frac{r_2^2}{R_2^2} \frac{\omega_1^2}{2}$$

$$W = J_1 + J_2 \frac{n_2^2}{n_1^2} + J_3 \frac{n_3^2}{n_1^2} \frac{\omega_1^2}{2}$$

$$i_1 = \frac{\omega_1}{\omega_2} = \frac{n_1}{n_2} = \frac{R_1}{r_1}$$

i_1 نسبة النقل من المسنن 1 إلى 2

$$i_2 = \frac{\omega_2}{\omega_3} = \frac{n_2}{n_3} = \frac{R_2}{r_1}$$

i_2 نسبة النقل من المسنن 2 إلى 3

$$i_{Ges} = i_1 i_2 = \frac{n_1}{n_3}$$

i_{Ges} نسبة النقل الكلية للآلية

3. علم مقاومة المواد

1.3 مصطلحات أساسية

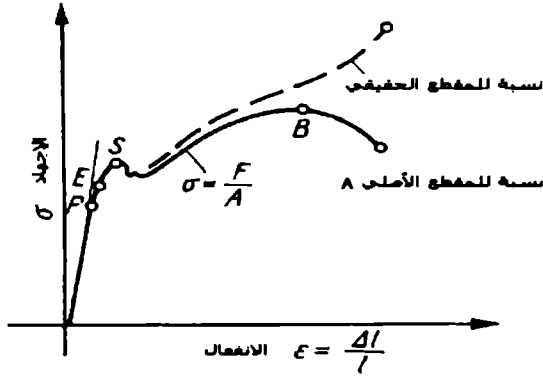
1.1.3 الإجهادات الحدية (انظر الشكل 173)

σ_p الإجهاد في الحدود النسبية

σ_E الإجهاد في الحدود المرنة

σ_S الإجهاد في حدي السيلان والانفعال

σ_B الإجهاد في حد الانكسار - مقاومة الشد



(الشكل 173) مخطط الإجهاد والانفعال لفولاذ مرن عند الشد

σ_B إجهاد الشد

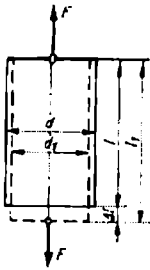
$$\sigma_B = \frac{F_{\max}}{A}$$

F_{\max} الحمل الأعظمي

A المقطع العرضي قبل الحمل

2.1.3 الإجهادات والانفعالات أثناء الشد والضغط

الجدول 14 القيمة الوسطية لمودول المرونة ومودول الانزلاق ($1 \text{ MPa} = 1 \text{ N/mm}^2 \approx 10 \text{ kp/cm}^2$)



الشكل 174

المادة	E (MPa)	G (MPa)
فولاذ، فولاذ صب	210000	81000
حديد صب رمادي	100000	38500
ألومنيوم	72000	28000
نحاس أصفر	80000	31000
أخشاب أبرية	10000	3900

$$\epsilon = \frac{\Delta l}{l} = \frac{l_1 - l}{l}$$

الانفعال

$$\epsilon = \frac{\Delta l}{l} \cdot 100\%$$

الانفعال المئوي %

$$\sigma = \epsilon E$$

قانون Hook يطبق حتى حدود النسبية $\sigma \leq \sigma_p$

$$E = \frac{l}{\alpha} = \frac{\sigma}{\epsilon}$$

E مودول المرونة (عامل يونغ) (انظر الجدول 14)

α عامل التمدد

$$\Delta l = \epsilon l = \frac{\sigma}{E} l = \frac{Fl}{AE}$$

Δl تغير الطول

$$\epsilon_q = \frac{\Delta d}{d} = \frac{d_1 - d}{d}$$

ϵ_q التمدد العرضي

$$m = \frac{1}{\mu} = \left| \frac{\epsilon}{\epsilon_q} \right|$$

m ثابت Poisson، للفلواذ $m = \frac{10}{3}$

$$\epsilon_q = -\mu \epsilon = -\mu \frac{\sigma}{E}$$

μ عامل الانكماش العرضي

$$\epsilon_q = -\frac{\sigma}{mE}$$

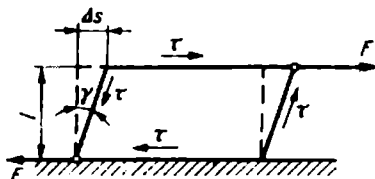
$$W = \frac{1}{2} F \Delta l = \frac{1}{2} \frac{F^2 l}{EA}$$

W عمل تغير الشكل مقاس بالواحدة J

$$w = \frac{W}{V} = \frac{\sigma \epsilon}{2} = \frac{\sigma^2}{2E}$$

w العمل المبدول لتغير الشكل النوعي J/cm^3

3.1.3 الإجهادات والانفعالات أثناء الانسحاب



الشكل 175

$$\gamma = \frac{\Delta s}{l}$$

γ الانزياح أو زاوية الإزاحة للحالات العملية حيث
نعوض $\gamma \approx \tan \gamma$

$$\tau = \gamma G$$

قانون Hook لإجهادات الدفع، وهو صالح ضمن مجال النسبية

$$G = \frac{1}{\beta}$$

G مودول الانزلاق (انظر الجدول 14)
 β عامل الدفع

$$\Delta s = \gamma l = \frac{\tau l}{G}$$

Δs الإزاحة

$$W = \frac{1}{2} F \Delta s = \frac{1}{2} \frac{F^2 l}{GA}$$

W العمل اللازم لتغيير الشكل مقياس بالوحدة J

$$w = \frac{W}{V} = \frac{1}{2} \tau \gamma = \frac{1}{2} \frac{\tau^2}{G}$$

w العمل النوعي لتغيير الشكل مقياس بالوحدة J/cm³

$$G = \frac{E}{2(1+\mu)} = \frac{mE}{2(m+1)}$$

العلاقة بين مودول الانزلاق G ومودول المرونة E

$$G \approx 0.38E$$

يطبق للمعادن بـ $m = \frac{10}{3}$

4.1.3 الإجهادات المسموح بها

$$\sigma_{\text{alla}} = \frac{\sigma_B}{S_B}$$

σ_{alla} الإجهاد المسموح به

$$\sigma_{\text{alla}} = \frac{\sigma_S}{S_S}$$

S_B الأمان المحدد بالمقارنة مع مقاومة الشد للمواد القصيفة
 $S_S = 3 \dots 6$

$$\sigma_{\text{svai}} \leq \sigma_{\text{alla}}$$

S_S الأمان المحدد بالمقارنة مع حد التمدد للمواد القاسية 3...1,3

5.1.3 الأمان

$$\sigma_{B \text{ avaiith}} = \frac{\sigma_B}{\sigma_{\text{avaiith}}}$$

الأمان المتوفر ضد الاثيار القسري، مقاومة الشد

$$\sigma_{S_{avaith}} = \frac{\sigma_S}{\sigma_{avaith}}$$

الأمان المتوفر ضد التشوه اللدن، حدود التمدد

$$S_{D_{avaith}} = \frac{\sigma_A Kxq}{\sigma_B \beta_K \phi}$$

الأمان المتوفر ضد الانهيار الدائم

6.1.3 المقاومة الدائمة

في الحمولة المتناوبة وظهور أعظم إجهاد في الشكل الخارجي وحالة السطح الخارجي والحزوز يعين الأمان v_0 عند الإجهادات الدائمة.

$$F_{max} = F_v + F_a$$

F_v قوة الشد الأولية

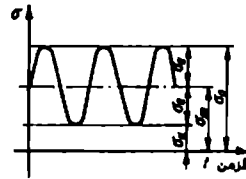
$$\sigma_o = \frac{F_v + F_a}{A} = \sigma_m + \sigma_a$$

F_a قوة الاهتزاز، تتراوح بين - و +

$$\sigma_u = \frac{F_v - F_a}{A} = \sigma_m - \sigma_a$$

$$\sigma_m = \frac{F_v}{A} = \frac{\sigma_o + \sigma_u}{2}$$

$$\sigma_u = \frac{F_a}{A} = \frac{\sigma_o - \sigma_u}{2}$$



الشكل 176

$$v_{D_{avaith}} = \frac{\sigma_{form}}{\sigma_a}$$

$v_{D_{avaith}}$ الأمان المتوفر ضد الانهيار الدائم

$$\sigma_a = \sigma_n$$

σ_a إزاحة الإجهاد الاسمي

(مثلاً تحسب من $(\frac{F_a}{A}, \frac{M_b}{W}, \frac{M_t}{W_t})$)

$$\sigma_{form} = \frac{\sigma_A Kxq}{\beta_k \phi}$$

إزاحة مقاومة الهيكل

$$\sigma_{A_{red}} = \sigma_A Kxq$$

الإجهاد المختزل للمقاومة الدائمة

$$\sigma_{ak} = \sigma_a \beta_k \phi$$

إزاحة الإجهاد في عمق الحز

$$S_{D_{avai}} = \frac{\sigma_{Ared}}{\sigma_{ak}}$$

$$S_{D_{avai}} = \frac{\sigma_A K \chi q}{\sigma_a \beta_k \varphi}$$

σ_A إزاحة إجهاد المقاومة الدائمة للإجهاد الوسطي المعطى σ_m من مخطط المقاومة الدائمة.

K عامل تأثير القيم

k عامل المساحة

q عامل المقطع، من أجل المقطع الدائري $q = 1$

φ عامل الصدم

$$\beta_k = c(\beta_{k0} - 1) + 1$$

β_k عامل تأثير الحز

$$\beta_k = 1 + (\alpha_k - 1) \eta_k$$

α_k عامل الشكل

η_k عامل حساسية الحز

$$S_{D_{avai}} = \frac{\sigma_A k \chi q}{\sigma_{sk ges}}$$

الأمان المتوفر عند تأثير الإجهاد

$$\sigma_{ak tot} = (\sigma_{ax} \beta_{kz} + \sigma_{ab} \beta_{kb}) \varphi$$

إزاحة الإجهاد في عمق الحز أثناء

إجهاد الانعطاف والشد

$$\sigma_{ak tot} = \varphi \sqrt{(\sigma_{ab} \beta_{kb})^2 + (\tau_{at} \beta_{kt})^2}$$

مقارنة الإجهاد حسب مبدأ العمل

الافتراضي عند الانعطاف والقتل في

عمق الحز

$$S_{D_{avai}} = \sqrt{\frac{v_b^2 v_t^2}{v_b^2 + v_t^2}}$$

عند تأثير الإجهادات المركبة يمكن

تحديد عام الأمان من عوامل الأمان

المختلفة v_b و v_t

2.3 إجهادات الضغط والشد وحيدة المحور

إجهاد الضغط أو الشد المطبق (+ للشد، - للضغط)

$$\sigma_{z,d} = \pm \frac{F}{A}$$

تغير الطول لجسم هرمي ثابت المقطع

$$\Delta l = \frac{Fl}{AE}$$

تغير الطول بتغير المقطع $A(x)$

$$\Delta l = \frac{F}{E} \int_0^l \frac{dx}{A(x)}$$

تغير الطول تبعاً لتغير طفيف في درجة الحرارة،

وقيم α_t تؤخذ من الجدول (1) قسم الفيزياء.

$$\sigma_t = \alpha_t E \Delta t$$

الإجهادات الحرارية عند منع تغيرات الطول الحرارية

$$F = A \alpha_t E \Delta t$$

القوة الداخلية عند منع تغيرات الطول الحرارية

$$l_{\text{carr}} = \frac{\sigma_{\text{alla}}}{\rho g}$$

طول تحميل قضيب جائر ثابت المقطع عندما $F = 0$,

حيث ρ كثافة المادة، g التسارع الأرضي

$$l_{\text{reiB}} = \frac{\sigma_B}{\rho g}$$

طول تشقق الجائز بثبوت المقطع $F = 0$

$$\sigma(x) = \frac{F}{A} + \frac{F_G(x)}{A} = \frac{F}{A} + \rho g x$$

$\sigma(x)$ إجهاد الشد في الموقع x مع اعتبار الوزن

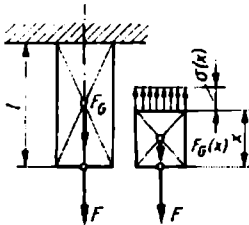
الذاتي (الشكل 177)

$$\sigma_{\text{max}} = \frac{F + F_G}{A} = \frac{F}{A} + \rho g l$$

σ_{max} إجهاد الشد الأعظمي مع اعتبار الوزن الذاتي

ρ كثافة القضيب

g التسارع



الشكل 177

3.3 ضغط السطوح

$$p = \frac{F}{A}$$

ضغط سطح التلامس المستوي

$$p = \frac{F}{dl}$$

ضغط السطح الوسطي عند سطوح التلامس المقوسة، مثلاً خابور، l طول الخابور، d القطر

$$\sigma_1 = \frac{F}{ds}$$

الإجهاد في جسم مثقوب، ضغط السطح الوسطي عندما يكون لدينا ضغط مزدوج، مثلاً، روابط البراغي

ضغط السطوح بين السطوح المقوسة حسب هرتز (Hertz)

$$P_{\max} = 0.3883 \sqrt{\frac{FE^2}{r^2}}$$

تطبق على الضغط بين

(أ) كرة بنصف قطر r و سطح مستوي.

(ب) كرة بنصف قطر r_1 مع كرة بنصف قطر r_2

$$P_{\max} = 0.418 \sqrt{\frac{FE}{lr}}$$

تطبق على الضغط بين

(أ) أسطوانة ذات قطر r و سطح مستوي

(ب) أسطوانة ذات قطر r_1 وأسطوانة ذات قطر r_2

$$r = \frac{r_1 r_2}{r_1 + r_2}$$

l طول التلامس بين الأسطوانتين

r القطر الحسابي لأنصاف أقطار مختلفة

$$E = \frac{2E_1 E_2}{E_1 + E_2}$$

E مودول المرونة الحسابي لمواد مختلفة

3.4 مقاومة القص

$$\tau_a = \frac{F}{A}$$

τ_a إجهاد القص $\tau_a \leq \tau_{a, \max}$

$$\tau_{aB} = \frac{F_{\max}}{A} \approx 0.8\sigma_B$$

τ_{aB} مقاومة القص

في تصميم الآلات يمكن الحساب

$$\tau_{a\text{alla}} = \frac{\sigma_s}{1.5}$$

للحمل الساكن

$$\tau_{a\text{alla}} = \frac{\sigma_s}{2.2}$$

للحمل المتأرجح

$$\tau_{a\text{alla}} = \frac{\sigma_s}{3}$$

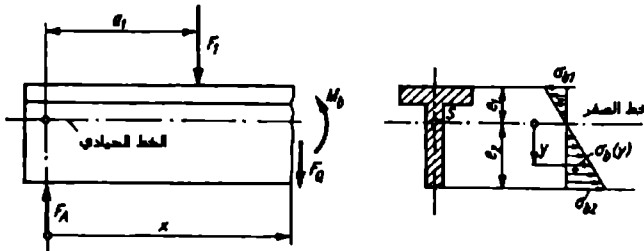
للحمل المتناوب

5.3 الانعطاف

1.5.3 انعطاف الجوائز المستقيمة

فرضيات حساب إجهادات الانعطاف

1. المقطع المتناظر.
2. تؤثر القوى الخارجية باتجاه خط تناظر المقطع.
3. إن المقاطع العرضية تكون صغيرة بالمقارنة مع طول الجائز لذا يمكن إهمال إجهاد الانسحاب.
4. تحتفظ المقاطع العرضية بميكلمها المستوي.
5. يطبق قانون Hook على المادة عند التحميل.



الشكل 178

$$\sigma_b(y) = \frac{M_b}{I} y$$

إجهاد الانعطاف على بعد y من خط الصفر
(الخط الحيادي) (انظر الشكل 178)

$$\sigma_{b1} = -\frac{M_b}{I} e_1 = -\frac{M_b}{W_1}$$

إجهاد الطرف العلوي، لعزم الانعطاف الموجب

إجهاد ضغط الانعطاف الأعظمي بـ σ_{ball}

$$\sigma_{b2} = +\frac{M_b}{I} e_2 = +\frac{M_b}{W_2}$$

إجهاد الطرف السفلي، لعزم الانعطاف الموجب

إجهاد ضغط الانعطاف الأعظمي بـ σ_{ball}

$$\sigma_{bmax} = \frac{|M_b|}{W} \leq \sigma_{ball}$$

نطبق من أجل $e = e_{max}$ وكذلك $W = W_{min}$

σ_{ball}

$$W = \frac{I}{e}$$

عزم المقاومة cm^3

عزم العطالة cm^4

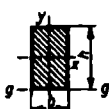
$$W_{erf} \geq \frac{|M_b|}{\sigma_{ball}}$$

عزم المقاومة المطلوب cm^3

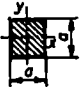

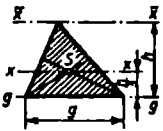


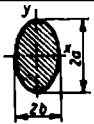
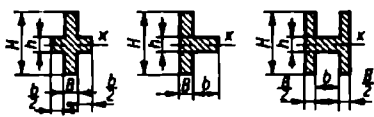
عزوم مقاومة وعطالة المساحات

(انظر أيضاً تطبيقات حساب التكامل)

الجدول 15 محوري¹ عزوم المقاومة والعطالة للمقاطع البسيطة

المقطع	عزوم العطالة	عزوم المقاومة
	$I_x = \frac{bh^3}{12}$ $I_y = \frac{hb^3}{12}$ $I_g = \frac{bh^3}{3}$	$W_x = \frac{bh^2}{6}$ $W_y = \frac{hb^2}{6}$

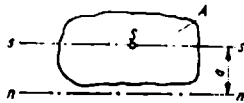
¹ تعرف أيضاً بعزوم المقاومة والعطالة القطبية

المقطع	عزوم المطالة	عزوم المقاومة
	$I_x = I_y = \frac{a^4}{12}$	$W_x = W_y = \frac{a^3}{6}$
	$I_x = I_y = \frac{a^4}{12}$	$W_x = W_y = 0.118a^3$
	$I_x = \frac{gh^3}{36}$ $I_{\bar{x}} = \frac{gh^3}{4}$ $I_g = \frac{bh^3}{12}$	$W_x = \frac{gh^2}{24}$ من أجل $e = \frac{2}{3}h$
	$I_x = I_y = \frac{\pi}{64}d^4$ $= \frac{\pi}{4}r^4$	$W_x = W_y = \frac{\pi}{32}d^3$ $= \frac{\pi}{4}r^3$
	$I_x = I_y$ $= \frac{\pi}{64}(d_a^4 - d_i^4)$	$W_x = W_y$ $= \frac{\pi}{32} \frac{d_a^4 - d_i^4}{d_a}$
	من أجل $s \ll d$ $I_x = I_y \approx \frac{\pi}{8}sd^3$	من أجل $s \ll d$ $W_x = W_y \approx \frac{\pi}{4}sd^2$
	$I_x = \frac{\pi}{4}a^3b$ $I_y = \frac{\pi}{4}ab^3$	$W_x = \frac{\pi}{4}a^2b$ $W_y = \frac{\pi}{4}ab^2$
		$I_x = \frac{BH^3 + bh^3}{12}$ $W_x = \frac{BH^3 + bh^3}{6H}$

المقطع	عزوم العطالة	عزوم المقاومة
		$I_x = \frac{BH^3 - bh^3}{12}$ $W_x = \frac{BH^3 - bh^3}{6H}$
	$I_x = \frac{1}{3}(Be_1^3 - bh^3 + ae_2^3)$ $e_1 = \frac{1}{2} \frac{aH^2 + ba^2}{aH + ba}$ $e_2 = H - e_1$	

قانون Steiner

$$I_n = I_s + Aa^2$$



الشكل 179

I_n عزوم العطالة بالنسبة للمحور n مقياس بالواحدة cm^4

I_s عزوم العطالة بالنسبة للمحور s المار من مركز الثقل والموازي للمحور n.

A المساحة مقياس بالواحدة cm^2

a البعد بين المحور s والمحور n مقياس بالواحدة cm

$$I_n = I_{n1} \pm I_{n2} \pm I_{n3} \pm \dots$$

إن عزوم عطالة المساحات المستقلة يمكن أن تضاف أو تطرح لعزم العطالة للمساحة الكلية، عندما تحسب كلها بالنسبة لمحور مشترك.

مثال: تحديد عزوم العطالة I_x لقطع ذو مساحات متعددة حسب الشكل (180)

1. طريقة أولى

$$I_s = I_1 + A_1a_1^2 + I_2 + A_2a_2^2 + I_3 + A_3a_3^2$$

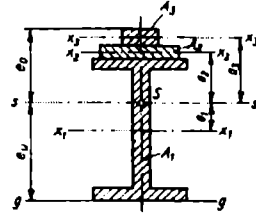
I_1, I_2, I_3 عزوم عطالة المساحات المستقلة بالنسبة للمحور S المواز والواقع على محور مركز الثقل نفسه، انظر

الشكل 180

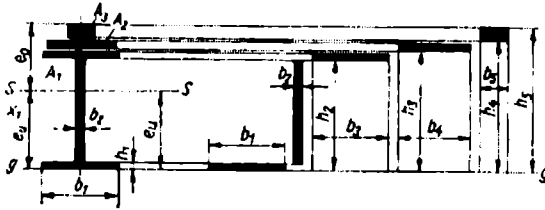
2. طريقة ثانية (قارن الشكل 181)

$$I_g = \frac{1}{3}b_1h_1^3 + b_2(h_2^3 - h_1^3) + b_3(h_3^3 - h_2^3) + b_4(h_4^3 - h_3^3) + b_5(h_5^3 - h_4^3)$$

$$I_s = I_g - Ac_u$$



الشكل 180



الشكل 181

$$I_p = I_x + I_y$$

إن عزم العطالة القطبي I_p يساوي إلى مجموع كلا عزمي العطالة المحوريين، والمتعامدين

تحديد عزوم العطالة الرئيسية

$$I_{xy} = -\int_A xy dA$$

عزم الطرد المركزي بالنسبة للمحورين x, y

$I_{xy} = 0$ للمحور الرئيسي أو عندما يكون

محور متناظر مع الآخر

$$I_{xy} = I_{\bar{x}\bar{y}} - x_s y_s A$$

قانون Steiner لعزوم العطالة للمحاور x, y

(الشكل 182)

$$I_{I,II} = I_{\max} = \frac{I_x + I_y}{2} \pm \frac{1}{2} \sqrt{(I_x - I_y)^2 + 4I_{xy}^2}$$

إن I_1 و I_{II} عزوم العطالة الرئيسية التي تكون فيها محاور العطالة I و II الرئيسية عمودية على بعضها هي العزم التابذي المركزي ويساوي الصفر.

$$I_p = I_x + I_y = I_1 + I_{II}$$

معادلة التأكد لفحص القيم I_1 و I_{II}

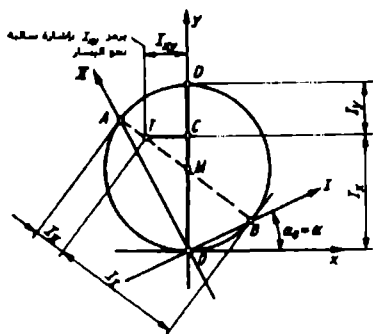
$$I_1 I_{II} = I_x I_y - I_{xy}^2$$

$$\tan 2\alpha = \frac{2I_{xy}}{I_x - I_y}$$

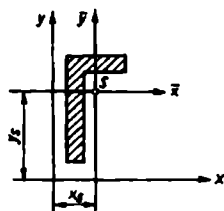
α الزاوية بين المحور x والمحور الرئيسي، ويمكن أن يكون I أو II

$$\tan \alpha_0 = \frac{I_{\max} - I_x}{I_{xy}}$$

α_0 زاوية الاتجاه للمحور x عكس المحور I الموجب



الشكل 183



الشكل 182

يتم التمثيل التخطيطي لعزوم العطالة الرئيسية وموقع محاور العطالة الرئيسية بدائرة العطالة من دائرة Mohr (الشكل 183)

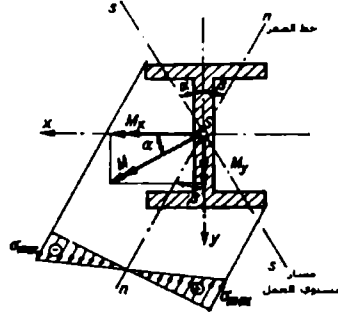
2.5.3 الانعطاف ثنائي المحور - الانعطاف المائل

(a) المقاطع المضاعفة المتناظرة مع غلاف مستطيل (الشكل 184)

$$\sigma_{\max} = \pm(\sigma_{bx} + \sigma_{by})$$

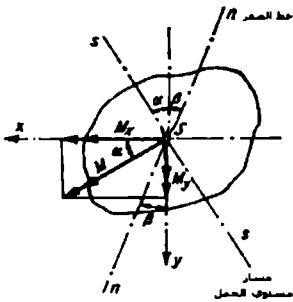
$$\sigma_{\max} = \pm \frac{|M_x|}{W_x} + \frac{|M_y|}{W_y}$$

تطبق هذه العلاقات للمقاطع الزاوية المفرغة والمصمتة وللجوائز على شكل I. تؤثر σ_{\max} في زوايا الغلاف المستطيل الذي يأخذ أبعاد مسافة عن خط الصفر.

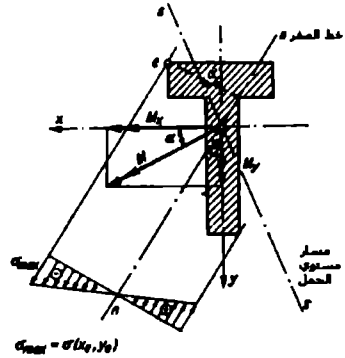


الشكل 184

(b) المحاور αx و y هما محاور العطالة الرئيسية (الشكل 185)



الشكل 186



الشكل 185

$$M_x = M \cos \alpha$$

$$M_y = M \sin \alpha$$

$$\sigma(x,y) = \frac{M_x}{I_x} y - \frac{M_y}{I_y} x$$

تكون العزوم M_x و M_y موجبة، عندما تتوجه
أسهم العزوم (قاعدة اليد اليمنى) بالاتجاه
الموجب للمحور x أو y

$\sigma(x,y)$ ، إجهاد الانعطاف في النقطة $P(x,y)$
للمقطع

إن الإجهادات الأعظمية تظهر في نقاط
المقطع التي تكون في أقصى بعد من خط
الصفير

$$\sigma(x,y) = M \left(\frac{\cos \alpha}{I_x} y - \frac{\sin \alpha}{I_y} x \right)$$

معادلة خط الصفير - الإجهاد

$$y = \frac{I_x}{I_y} \tan \alpha x$$

$$\tan \beta = \frac{x}{y} = \frac{I_y}{I_x} \cot \alpha$$

زاوية خط الصفير مع المحور y

(c) إن المحوران x و y ليسا محاور عطالة أساسية

1. إن I_1 و I_{11} هما غير معلومتان كعزوم عطالة رئيسية

$$\sigma(x,y) = \frac{M_x I_{xy} - M_y I_x}{I_x I_y - I_{xy}^2} x$$

$\sigma(x,y)$ هما توزيع الجهد عبر المقطع

$$+ \frac{M_x I_y - M_y I_{xy}}{I_x I_y - I_{xy}^2} y$$

$$y = \frac{I_x \tan \alpha - I_{xy}}{I_y - I_{xy} \tan \alpha} x = \cot \beta x$$

معادلة خط الصفير

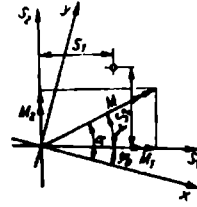
2. I_1 و I_{11} عزوم عطالة رئيسية و φ_0 معالم

$$\gamma = \alpha - \varphi_0$$

$$M_1 = M \cos \gamma$$

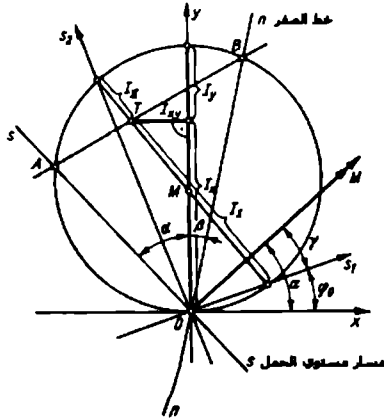
$$M_2 = M \sin \gamma$$

$$\sigma(s_1, s_2) = \frac{M_1}{I_I} s_2 - \frac{M_2}{I_{II}} s_1$$



الشكل 187

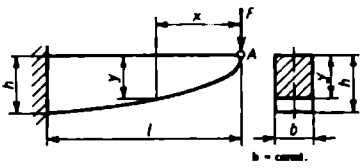
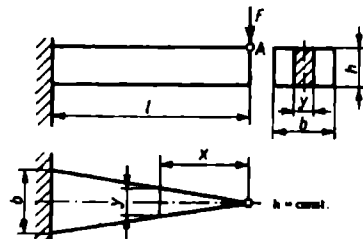
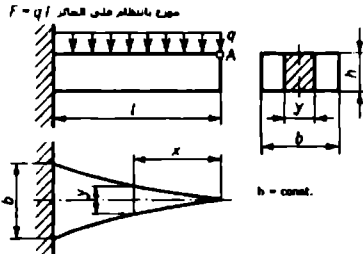
تعيين خط الصفر تخطيطياً حسب Mohr - الشكل 188



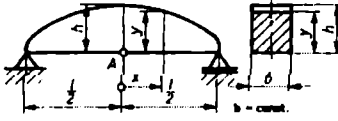
الشكل 188

يمثل شعاع العزم حسب الاتجاه. من خلال OA ينطلق من مسار مستوي الحمل، الذي يكون عمودياً على M من A وخلال النقطة الرئيسية للعزم T يسحب خط، بعد ذلك نحصل على B. إن اتجاه OB هو موقع خط الصفر.

3.5.3 الجوائز ذات إجهاد الانعطاف المتساوي

شكل الجائز الحمل F في نهاية الجائز	أبعاد المقطع التدلي في النقطة A
	$y = \sqrt{\frac{6F}{b\sigma_{balla}}} x = h\sqrt{\frac{x}{l}}$ $h = \sqrt{\frac{6F}{b\sigma_{balla}}} l$ $f = \frac{8Fl^3}{bEh^3}$
	$y = \frac{6F}{h^2\sigma_{balla}} x = \frac{b}{l} x$ $b = \frac{6Fl}{h^2\sigma_{balla}}$ $f = \frac{6Fl^3}{bEh^3}$
<p>حجم بانتظام على الحمار $F = ql$</p> 	$y = \frac{3F}{h^2\sigma_{balla}} \frac{x^2}{l} = b \frac{x^2}{l^2}$ $b = \frac{3Fl}{h^2\sigma_{balla}}$ $f = \frac{3Fl^3}{bEh^3}$

حجم بانظير على الجائر $F = q l$

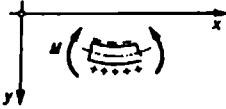


$$\frac{x^2}{\frac{l^2}{2}} + \frac{y^2}{h^2} = 1$$

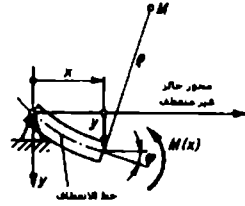
$$h = \sqrt{\frac{3Fl}{4b\sigma_b alla}}$$

$$f = \frac{3}{16} \frac{Fl^3}{bEh^3}$$

4.5.3 تغيرات شكل الجوائز المنعطفة (المجهدة بالانعطف)



الشكل 190



الشكل 189

$$k = -\frac{1}{\rho} = -\frac{M_b}{EI}$$

انحناء خط الانعطف

$$y'' = \frac{d^2y}{dx^2} = -\frac{M_b}{EI}$$

المعادلة التفاضلية لخط الانعطف

$$y' = \int y'' dx = -\int \frac{M_b}{EI} dx + C_1$$

التكامل الأول يعطي زاوية ميل خط

الانعطف ($\varphi \approx \tan \varphi \approx y'$)

$$y = -\int \left(\int \frac{M_b}{EI} dx \right) dx + C_1 x + C_2$$

التكامل الثاني يعطي تدلي y في الموقع x من الجائر

تحدد ثوابت التكامل C_1 و C_2 من الشروط الابتدائية. ويتم حساب العزوم بمساعدة مبدأ القطع.

إن العزوم في الشكل (190) هي إيجابية، وتولد في أطراف الجائز، في الاتجاه y الموجب إجهادات شد.

تغيرات الشكل أثناء الانعطاف حسب *Castigliano*

$$W_F = \frac{1}{E} \int_0^l \frac{M_b^2}{2I} dx \quad \text{عمل تغييرات الشكل أثناء الانعطاف}$$

$$y_n = \frac{\partial W_F}{\partial F_n} \quad \text{إن الانسحاب في اتجاه وفي موقع القوى الخارجية } F_n \text{ يساوي المشتق الجزئي لتغيير شكل العمل للقوة } F_n \text{ في حال عدم تأثير أية قوة خارجية في الموقع، يمكن تعويض قوة مساعدة } F_0 = 0$$

$$\varphi_n = \frac{\partial W_F}{\partial M_n} \quad \text{إن دوران } \varphi_n \text{ باتجاه عزم خارجي } M_n \text{ يساوي المشتق الجزئي لتغيير شكل العمل للعزم } M_n \text{ في حال عدم تأثير أي عزم في الموقع. يمكن تعويض عزم مساعد } M_0 = 0$$

$$y_B = \frac{\partial W_F}{\partial F_B} = 0 \quad \text{معادلة تعيين قوة المضجع المجهولة الستاتيكية } F_B$$

$$0 = \int_0^l \frac{M_b}{I} \frac{\partial M_b}{\partial F_B} dx$$

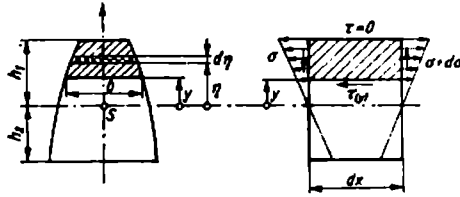
$$\varphi_B = \frac{\partial W_F}{\partial M_B} = 0 \quad \text{معادلة تعيين عزم الإجهاد المجهول الستاتيكي } M_B$$

$$0 = \int_0^l \frac{M_b}{I} \frac{\partial M_b}{\partial M_B} dx$$

5.3 عزم وتدلي الانعطاف للجوائز ثابتة المقطع

6.5.3 إجهادات الانسحاب أثناء الانعطاف

$$\tau(y) = \frac{F_Q S(y)}{I b(y)} \quad \text{إجهاد الانسحاب } y \text{ في المقطع الشاقولي والأفقي}$$



الشكل 191

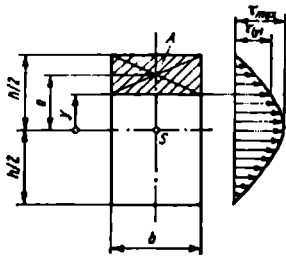
$$S(y) = \int_y^{h/2} \eta dA$$

العزم الستاتيكي للمقطع الواقع فوق y (المظلل) بالنسبة لخط الصفر.

F_Q القوة العرضية في المقطع المطلوب.

I عزم العطالة للمقطع الكلي، بالنسبة لخط الصفر.

$b(y)$ عرض المقطع على بعد y من خط الصفر



الشكل 192

$$S(y) = \int_y^{h/2} \eta dA = Aa$$

العزم الستاتيكي للمساحة المستطيلة حسب الشكل (192)

$$S(y) = \frac{1}{2} \left(\frac{h}{2} - y \right) \left(\frac{h}{2} + y \right) b$$

$$\tau(y) = \frac{3 F_Q}{2 bh} \left[1 - \left(\frac{2y}{h} \right)^2 \right]$$

إجهاد الانزياح على بعد y من المقطع المستطيل (الشكل 192)

$$\tau_{\max} = \frac{3 F_Q}{2 A}$$

أكبر إجهاد انزياح في المقطع المستطيل $y = 0$ (الشكل 192)

$$\tau_{\max} = \frac{4 F_Q}{3 A}$$

أكبر إجهاد انزياح في المقطع الدائري

$$\tau_{\max} = 2 \frac{F_Q}{A}$$

أكبر إجهاد انزياح في المقطع الدائري الحلقي

$$\tau_{ave} = \frac{FQ}{A_{St}}$$

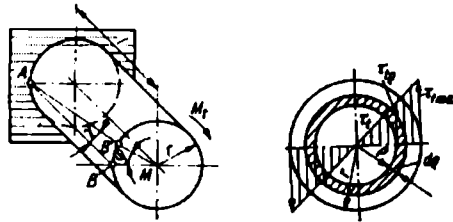
إجهاد الانزياح الوسطي في شق أحد المقاطع على شكل 1 في الشقوق الضيقة يمكن تعويض

$$\tau_{ave} \approx \tau_{max}$$

بمساحة الشق A_{St}

6.3 إجهاد الفتل للقضبان الهرمية

1.6.3 قضبان الفتل ذات المقطع الدائري



الشكل 193

$$\tau_{tp} = \frac{\rho}{r} \tau_{tmax}$$

τ_{tp} إجهاد الفتل عند نصف القطر ρ

$$\tau_{tmax} = \frac{M_t}{W_p}$$

$\tau_{tmax} \leq \tau_{talla}$ إجهاد الفتل الأعظمي

$$W_p = \frac{I_p}{r}$$

W_p عزم المقاومة القطبي، I_p عزم العطالة القطبي

$$d_{req} = \sqrt[3]{\frac{16}{\pi} \frac{M_t}{\tau_{talla}}} \approx \sqrt[3]{5 \frac{M_t}{\tau_{talla}}}$$

d_{req} قطر المحور المطلوب لمقطع دائري مصمت

$$* d_{erf} = 163 \sqrt[3]{\frac{P}{n}}$$

الصيغة المستخرجة لمقطع دائري مصمت

d_{erf}	P	n
cm	kW	$\frac{1}{min}$

$$\tau_{talla} = 120 \frac{kp}{cm^2} = 11.8 \frac{N}{mm^2}$$

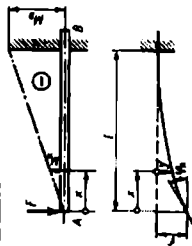
عزوم وحطوط الانحناء (التدلي) للمحاور ثابتة المقطع

$M = 0$. عزوم الانعطاف مقاس بالوحدة $N \cdot cm$ في الموقع x في نقطة التغير لحظ الانعطاف تكون

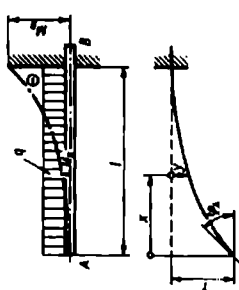
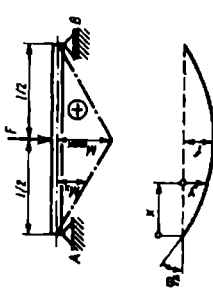
M_x	عزم الانعطاف مقاس بالوحدة $N \cdot cm$ في الموقع x
x, y	إحداثيات نقطة عطف الانعطاف مقاسة بالوحدة cm
y	التدلي في الموقع x مقاس بالوحدة cm
f	تدلي تحت الحمل المفرد F مقاس بالوحدة cm
f_{max}	التدلي الأعظمي مقاس بالوحدة cm
$\varphi = \varphi'$	زاوية الانعطاف مقاسة بالوحدة rad (قياس القوس)
I	عزم عطالة المقطع مقاس بالوحدة cm^4
W_{ef}	عزم المقاومة المطلوب مقاس بالوحدة cm^3
$\sigma_{b,all}$	الإجهاد المسموح به N/cm^2

1. الجوائز المقررة مساتيكياً

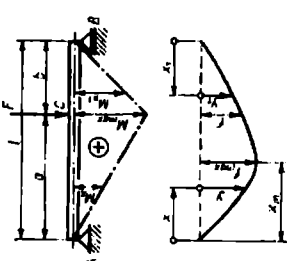
قوى المضاجع، عزوم الانعطاف	معادلة عطف الانعطاف التدلي
$F_B = F$ $M_B = M_{max} = F \cdot l$ $M_x = F \cdot x$ $W_{req} = \frac{F \cdot l}{\sigma_{b,all}}$	$y = \frac{F l^3}{3EI} \left(1 - \frac{3x}{l} + \frac{1}{2} \left(\frac{x}{l} \right)^3 \right)$ $f_{max} = f = \frac{F l^3}{3EI}$ $\varphi_A = \frac{F l^2}{2EI} = \frac{3f}{2l}$



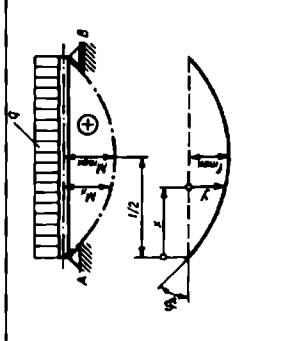
1. الجوائز المقررة ستاتيكيًا

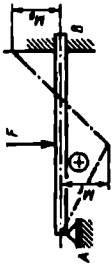
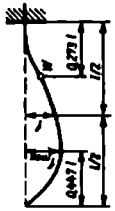
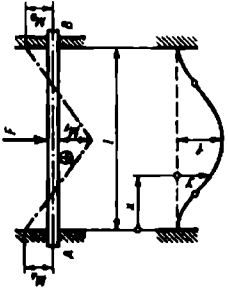
	قوى المضامع، عزوم الانعطاف	معادلة خط الانعطاف التدي
	<p>المحملة فكليه $F = q \cdot l$</p> <p>$F_B = q \cdot l$</p> <p>$M_B = M_{\max} = \frac{q \cdot l^2}{2}$</p> <p>$M_x = \frac{q x^2}{2}$</p> <p>$W_{\text{erf}} = 2 \sigma_b \text{ zail}$</p>	<p>$y = \frac{q \cdot l^4}{8EI} \left(1 - \frac{4x}{3l} + \frac{1}{3} \left(\frac{x}{l} \right)^4 \right)$</p> <p>$f = f_{\max} = \frac{q \cdot l^4}{8EI}$</p> <p>$\phi_A = \frac{q \cdot l^3}{6EI} = \frac{4}{3} \frac{f}{l}$</p>
	<p>$F_A = F_B = \frac{F}{2}$</p> <p>$M_{\max} = \frac{F \cdot l}{4}$</p> <p>$M_x = \frac{F}{2} \cdot x$</p> <p>$W_{\text{erf}} = 4 \sigma_b \text{ alla}$</p>	<p>$y = \frac{F \cdot l^3}{16EI} \left(\frac{x}{l} - \frac{4}{3} \left(\frac{x}{l} \right)^4 \right)$</p> <p>$f = f_{\max} = \frac{F \cdot l^3}{48EI}$</p> <p>$\phi_A = \phi_B = \frac{F \cdot l^2}{16EI} = \frac{3f}{l}$</p>

1. الحوائط المقررة ستاتيكيًا

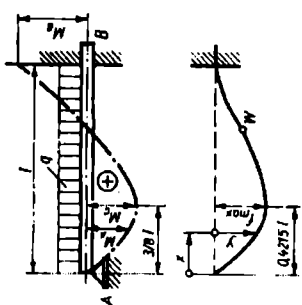
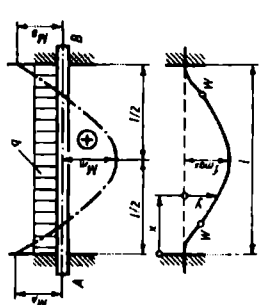
	قوى المضامع، عزوم الانعطاف	معادلة حط الانعطاف التدي
	$F_A = \frac{Fb}{l}$ $F_B = \frac{Fa}{l}$ <p>من أجل AC: $M_x = \frac{Fbx}{l}$</p> <p>من أجل BC: $M_{x1} = \frac{Fax_1}{l}$</p> $M_{\max} = \frac{Fab}{l}$ $W_{\text{req}} = \frac{Fab}{l\sigma_b \text{ alla}}$	$y = \frac{F l^3}{6EI} \frac{a b^2}{l^2} \frac{x}{l} + \frac{l}{b} \frac{x^2}{ab}$ $y_1 = \frac{F l^3}{6EI} \frac{b a^2}{l^2} \frac{x_1}{l} + \frac{l}{a} \frac{x_1^2}{ab}$ $f = \frac{F l^3}{3EI} \frac{a^2 b^2}{l^2}$ $f_{\max} = f \frac{l+b}{3b} \sqrt{\frac{l+b}{3a}}$ <p>عندما x_m تصبح $a > b$</p> $x_m = a \sqrt{\frac{l+b}{3a}}$ <p>من أجل $a < b$ يجب تبديل a و b كما في x_1, x</p>

1. الجوائز المقررة ستاتيكيًا

	قوى المضامع، عزوم الانعطاف	معادلة خط الانعطاف التبادلي
 <p> $F = ql$ الجسرة الكلية $F_A = F_B = \frac{ql}{2}$ $M_{max} = \frac{ql^2}{8}$ $M_x = \frac{ql}{2} x \left(1 - \frac{x}{l} \right)$ $W_{req} = \frac{ql^2}{8\sigma_{b,alla}}$ </p>		$y = \frac{ql^4}{24EI} \left[\frac{x}{l} - 2 \frac{x^3}{l^3} + \frac{x^4}{l^4} \right]$ $f_{max} = \frac{5ql^4}{384EI}$ $\varphi_A = \varphi_B = \frac{ql^3}{24EI} = \frac{16f}{5l}$

2. الجوائز غير المقررة سائلياً		
	قوى المضاجع، عزوم الانعطاف	معادلة خط الانعطاف، التخلي
 	$F_A = \frac{5}{16} F$ $F_B = \frac{11}{16} F$ $M_F = \frac{5}{32} F l$ $M_{\max} = M_B = \frac{3}{16} F l$ $W_{\text{req}} = \frac{3}{16} \frac{F l}{\sigma_{\text{balla}}}$	$f = \frac{7}{768} \frac{F l^3}{EI}$ $f_{\max} = \frac{1}{\sqrt{548}} \frac{F l^3}{EI}$
	$F_A = F_B = \frac{F}{2}$ $M_A = M_B = \frac{F l}{8}$ $M_F = \frac{F l}{8}$ $M_{\max} = \frac{F l}{8}$ $W_{\text{req}} = \frac{F l}{8 \sigma_{\text{balla}}}$	$y = \frac{F l^3}{16 E I} \frac{x^2}{l^2} - \frac{4 x^3}{3 l^3}$ $f = f_{\max} = \frac{1}{192} \frac{F l^3}{E I}$

2. الجوائز غير المقررة ستاتيكيًا

	قوى المضامع، عزوم الانعطاف	معادلة خط الانعطاف، التثلي
 <p> $F = q \cdot l$ (الجسولة الكلية / عزم الانعطاف) $F_A = \frac{3}{8} q l$ $F_B = \frac{5}{8} q l$ $M_{\max} = M_B = \frac{q l^2}{8}$ $M_C = \frac{9}{128} q l^2$ $W_{\text{req}} = \frac{q l^2}{8 \sigma_{\text{balla}}}$ </p>	$y = \frac{q l^3 x}{48 E I} + \frac{1}{3} \frac{x^2}{l^2} + 2 \frac{x^3}{l^3}$ $f_{\max} = \frac{q l^4}{185 E I}$	
 <p> $F = q l$ (الجسولة الكلية) $F_A = F_B = q \cdot \frac{l}{2}$ $M_{\max} = M_A = M_B = -\frac{q l^2}{12}$ $M_m = \frac{q l^2}{24}$ $W_{\text{req}} = \frac{q l^2}{12 \sigma_{\text{balla}}}$ </p>	$y = \frac{1}{24} \frac{q l^2 x^2}{E I} + \frac{1}{2} \frac{x}{l} + \frac{x^2}{l^2}$ $f_{\max} = \frac{1}{384} \frac{q l^4}{E I}$	

2. الجوائز غير المقررة ستاتيكيًا		
	قوى المضاجع، عزوم الانعطاف	معادلة خط الانعطاف، التدي
	$F_A = F_C = \frac{5}{16} F$ $F_B = \frac{11}{8} F$ $M_{\max} = M_B = \frac{3}{16} F l$ $M_r = \frac{5}{32} F l$ $W_{\text{req}} = \frac{3 F l}{16 \sigma_{\text{balla}}}$	$f = \frac{7}{768} \frac{F l^3}{E I}$ $f_{\max} = \frac{1}{\sqrt{548}} \frac{F l^3}{E I}$
	<p style="text-align: center;">الحمولة الكلية x من لقطك</p> $F = 2 q l$ $F_A = F_C = \frac{3}{8} q l$ $F_B = \frac{5}{4} q l$ $M_{\max} = M_B = \frac{q l^2}{8}$ $M_m = \frac{q}{128} q l^2$	$y = \frac{q l^3}{48 E I} x \left(1 - 3 \frac{x^2}{l^2} + 2 \frac{x^3}{l^3} \right)$ $f_{\max} = \frac{q l^4}{185 E I}$
الحد الأقصى النسبي		

العلاقة بين عزم الدوران، الاستطاعة وعدد الدورات

$$M_t = \frac{P}{\omega} = \frac{P}{2\pi n}$$

$$* M_t = 9550 \frac{P}{n}$$

$$* M_t = 97400 \frac{P}{n}$$

M_t	P	n
Nm	kW	$\frac{l}{\text{min}}$
M_t	P	n
kpcm	kW	$\frac{l}{\text{min}}$

زاوية الفتل للمقطع الدائري

$$\varphi = \frac{M_t l}{GI_p}$$

زاوية الفتل مقاسة بالواحدة rad (قياس القوس)

$$\varphi = \frac{180^\circ}{\pi} \frac{M_t l}{GI_p}$$

زاوية الفتل مقاسة بالواحدة grad

$$\varphi = \frac{180^\circ}{\pi} \frac{M_t}{G} \sum \frac{l}{I_p}$$

زاوية الفتل بالدرجات للمحاور

$$\vartheta = \frac{\varphi}{l}$$

زاوية الفتل النسبية

$$d_{\text{erf}} = \sqrt[4]{\frac{32 \times 180}{\pi^2} \frac{M_t l}{G \varphi_{\text{alla}}}}$$

قطر المحور المطلوب لمقطع دائري مصمت عند

زاوية فتل مسموح بها φ_{alla}

$$* d_{\text{ref}} = 134 \sqrt[4]{\frac{P}{n}}$$

الصيغة المستخرجة لمحور فولاذي $\varphi_{\text{alla}} = 1/4^\circ$

لكل 100 cm طول المحور

d_{erf}	P	n
cm	kW	$\frac{l}{\text{min}}$

G مودول الانزلاق

I_p عزم العطالة القطبي

2.6.3 قضبان الفتل ذات المقطع غير الدائري




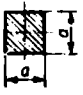
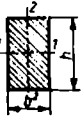
$$\tau_{t \max} = \frac{M_t}{W_t}$$

W_t مقاومة الفتل

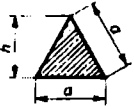

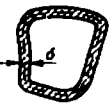
$$\phi = \frac{M_t l}{GI_t}$$

I_t عزم عطالة الفتل

الجدول 16. عزوم المقاومة والعطالة ضد الفتل للمقاطع البسيطة

عزم المقاومة ضد الفتل	عزم العطالة ضد الفتل	المقطع
$W_p = \frac{\pi}{16} d^3 \approx \frac{d^3}{5}$	$I_p = \frac{\pi}{32} d^4 \approx \frac{d^4}{10}$	
$W_p = \frac{\pi}{16} \frac{d_a^4 - d_i^4}{d_a}$	$I_p = \frac{\pi}{32} (d_a^4 - d_i^4)$	
من أجل d_m $s \ll d_m$	من أجل d_m $s \ll d_m$	
$W_p = \frac{\pi}{2} s d_m^2$	$I_p = \frac{\pi}{4} s d_m^3$	
$W_t = \frac{\pi}{2} a b^2$ $\tau_{t1} = \frac{M_t}{W_t}$ عند المواقع 1 $\tau_{t2} = \frac{b}{a} \tau_{t1}$ عند المواقع 2	$I_t = \frac{\pi a^3 b^3}{a^2 + b^2}$	
$W_t = 0.208 a^3$ في وسط الأضلاع τ_t	$I_t = 0.141 a^4$	
$W_t = c_2 h b^2$ $\tau_{t1} = \frac{M_t}{W_t}$	$I_t = c_3 h b^3$	

المقطع	عزم العطالة ضد الفتل						عزم المقاومة ضد الفتل		
							عند المواقع 1		
							$\tau_{12} = c_1 \tau_{11}$		
							عند المواقع 2		
h/b	1	1.5	2	3	4	6	8	10	∞
c_1	1.000	0.858	0.796	0.753	0.745	0.743	0.743	0.743	0.743
c_2	0.208	0.231	0.246	0.267	0.282	0.299	0.307	0.313	0.333
c_3	0.140	1.96	0.229	0.263	0.281	0.299	0.307	0.313	0.333

المقطع	عزم العطالة ضد الفتل	عزم المقاومة ضد الفتل
	$I_1 = \frac{a^4}{46.19} = \frac{h^4}{26}$	$W_1 = \frac{a^3}{20} = \frac{h^3}{13}$ في وسط الأضلاع τ_{1max}
	$I_1 = 0.533\rho^2 A$ $= 1.847\rho^4$	$W_1 = 0.4363\rho A$ $= 1.511\rho^3$ في وسط الأضلاع τ_{1max}
	$I_1 = 2(A_a + A_i)$ $\delta \frac{A_m}{L_m}$ للجدران الرقيقة ذات المقطع المفرغ $I_1 = 4A_m^2 \frac{\delta}{L_m}$	$W_1 = (A_a + A_i)\delta$ للجدران الرقيقة ذات المقطع المفرغ $W_1 = 2A_m\delta$

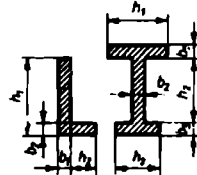
A_a المساحة المحدودة بخط المحيط الخارجي

A_i المساحة المحدودة بخط المحيط الداخلي

A_m المساحة المحدودة بالخط الوسطي

L_m طول الخط الوسطي

عند سماكات جدران مختلفة يمكن تعويض δ_{min} بدلاً من $\tau_{1 \max}$

$W_t = \frac{1}{3b_{\max}} \sum b_i^3 h_i$ <p>في وسط المستطيل مع τ_t</p> <p style="text-align: right;">b_{\max}</p>	$I_t = \frac{\eta}{3} \sum b_i^3 h_i$ <p>من أجل $b = \text{const.}$</p> $I_t = \frac{b^3}{3} (\sum h - xb)$	<p>المقاطع ذات الجدران الرقيقة والتي لها شكل حوائز أسطوانية</p> 
--	--	---

	L	C	I	I	I	P	+	Z
η	0.99	1.12	1.12	1.31	1.29	1.17		
x	1.6	2.6	0.9	1.2	1.2	0.15	2.6	

7.3 التحنيب

$$F_K = \sigma_K A$$

F_K قوة التحنيب، الحمل المخرج

$$F_{\text{alla}} = \frac{F_K}{S_K} = \frac{\sigma_K A}{S_K}$$

F_{alla} قوة التحنيب المسموح بها

$$\lambda = \frac{l_K}{i}$$

λ درجة النحافة، l_K طول التحنيب الحر

$$i = \sqrt{\frac{I}{A}}$$

i نصف قطر العطالة

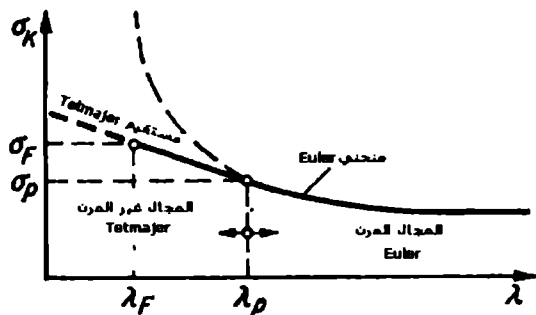
$$\lambda_p = \pi \sqrt{\frac{E}{|\sigma_p|}}$$

λ_p أصغر عزم عطالة للمقطع

A مساحة المقطع

λ_p حدود درجة النحافة في حدود النسبية (انظر الجدول 17 والشكل 194)

λ_p حدود درجة النحافة في حدود السيالان، (انظر الجدول 17 والشكل 194)



الشكل 194

الشكل 195 حالات التحميل للتحنيب حسب Euler

حائز مونتوي من طرف وحر من الطرف الآخر	حالة أساسية كلا الطرفين قابلان للدوران	حائز مونتوي من طرف وقابل للدوران من الطرف الآخر	حائز مونتوي من طرف ومرتق من الطرف الآخر
$l_k = 2l$	$l_k = l$	$l_k = \frac{l}{\sqrt{2}}$	$l_k = 0.5l$
$F_k = \frac{\pi^2 EI}{4l^2}$	$F_k = \frac{\pi^2 EI}{l^2}$	$F_k = \frac{2\pi^2 EI}{l^2}$	$F_k = \frac{4\pi^2 EI}{l^2}$

1.7.3 التحنيط المرن حسب Euler، $\lambda \geq \lambda_p$

$$F_K = \frac{\pi^2 EI}{l_k^2} \quad \text{قوة التحنيط في المجال المرن}$$

$$\sigma_K = \frac{F_K}{A} = \frac{\pi^2 EI}{l_k^2 A} \quad \text{إجهاد التحنيط في المجال المرن}$$

$$\sigma_K = \frac{\pi^2 E}{\lambda^2} \quad \text{منحني القطع لـ Euler مع } \lambda^2 = \frac{l_k^2 A}{I}$$

$$F_{\text{alla}} = \frac{F_K}{v_K} = \frac{\pi^2 EI}{v_K l_k^2} \quad \text{شكل التحميل}$$

$$v_{K \text{ avai}} = \frac{\pi^2 EI}{F l_k^2} \quad \text{الأمان المتوفر}$$

$$l_{\text{req}} = \frac{F l_k^2 v_K}{\pi^2 E} \quad \text{الصيغة المستخرجة لتعيين الأبعاد، ثم فحص } \lambda$$

من أجل $\lambda \geq \lambda_p$ يكون الحساب حسب Euler مع أمان محدد مسبقاً صحيحاً.

من أجل $\lambda < \lambda_p$ يتم الحساب σ_K حسب Termajer بأبعاد من الصيغة المستخرجة حسب Euler.

2.7.3 التحنيط غير المرن حسب Tetmajer، $\lambda_F < \lambda < \lambda_p$

إن الحسابات المطلوبة حسب Tetmajer غير ممكنة، يجب تحديد الأبعاد من الصيغة المستخرجة من Euler من أجل $\lambda < \lambda_p$ فحص الإجهادات حسب Tetmajer.

الجدول 17. إجهادات التحنيط حسب Tetmajer ($1 \text{ MPa} \approx 10 \text{ kp/cm}^2$)

λ_p	λ_F	إجهاد التحنيط σ_K — MPa	المادة
105	60	* $\sigma_K = 310 - 1.14\lambda$	فولاذ St 38
89	50	* $\sigma_K = 335 - 0.62\lambda$	فولاذ St 42 ... 50
110	60	* $\sigma_K = 589 - 3.82\lambda$	فولاذ St 52

λ_p	λ_F	إجهاد التحنيب σ_K — MPa	المادة
86	0	* $\sigma_K = 470 - 2.3\lambda$	فولاذ النيكل 5%
80	0	* $\sigma_K = 776 - 12\lambda + 0.053\lambda^2$	فولاذ صب رمادي
100	18	* $\sigma_K = 29.3 - 1.19\lambda$	حشب

$$\sigma_{davai} = \frac{F}{A}$$

$$S_{Kavai} = \frac{\sigma_K A}{F} = \frac{\sigma_K}{\sigma_{davai}}$$

مراقبة الأمان المطبق

من أجل

$$S_{Kavai} = \frac{\sigma_K}{\sigma_{davai}} < S_{Kreq}$$

يكون تحديد أكبر مقطع جديد مطلوباً، مع مراقبة نهائية للأمان حتى

$$S_{Kavai} = \frac{\sigma_K}{\sigma_{davai}} \geq S_{Kreq}$$

3.7.3 طريقة Omega

من أجل الأبنية الفولاذية (أبنية عالية، بناء الجسور، بناء الباكر)، التعليمات القانونية تتطلب الحساب للقضبان المضغوطة حسب طريقة ω .

$$\sigma_\omega = \omega \frac{F}{A}$$

F قوة الضغط، الحمل المطبق

$$\sigma_\omega \leq \sigma_{dalla}$$

A مساحة المقطع

ω عامل التحنيب، يستخرج من الجداول، كتابع لدرجة النحافة والمادة

3.8 المقاومة المركبة

1.8.3 الإجهادات ذات النوع التماثل

تجمع الإجهادات ذات النوع التماثل جبرياً، عندما تؤثر بنفس الاتجاه، وتجمع هندسياً عندما لا تكون بنفس الاتجاه. مثلاً:

$$\sigma_r = \sigma \pm \sigma_b$$

الإجهادات الطبيعية (الاسمية)

$$\tau_r = \tau_s \pm \tau_t$$

إجهادات القص

الانعطاف مع قوة طولية

$$\sigma_{r_{\max}} = \frac{F}{A} \pm \frac{M_b}{W}$$

الإجهادات الجانبية الناتجة عن الشد والانعطاف

$$\sigma_{r_{\min}} = \frac{F}{A} \mp \frac{M_b}{W}$$

الإجهادات الجانبية الناتجة عن الضغط والانعطاف،
F تكون سالبة أثناء الضغط

$$s = \frac{W}{A}$$

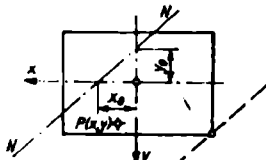
s بعد النواة لتعيين مقطع النواة أثناء الضغط غير الوسطي

الانعطاف ثنائي المحور مع قوة طولية، x و y هما المحاور الرئيسية

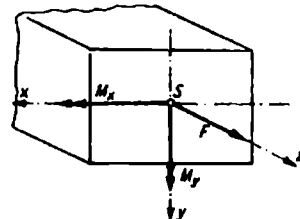
$$\sigma(x, y) = \frac{F}{A} + \frac{M_x}{I_x} y - \frac{M_y}{I_y} x$$

$\sigma(x, y)$ الإجهاد في النقطة $P(x, y)$.

σ_{\max} تظهر في نقاط المقطع التي تقع على أكبر بعد
من خط الصفر (انظر الشكل 197)



الشكل 197



الشكل 196

$$y = \frac{M_y I_x}{M_x I_y} x - \frac{F I_x}{A M_x}$$

معادلة خط الصفر

$$x_0 = \frac{F I_y}{A M_y}$$

مقاطع المحاور لحظ الصفر (شكل 197)

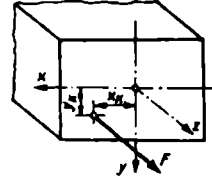
$$y_0 = -\frac{F I_x}{A M_x}$$

يطبق من أجل قوة طولية غير وسطية حسب الشكل (198)

$$M_x = F y_K$$

$$M_y = -F x_K$$

$$\sigma(x, y) = \frac{F}{A} + \frac{F y_K}{I_x} y + \frac{F x_K}{I_y} x$$



الشكل 198

$$y = -\frac{I_x x_K}{I_y y_K} x - \frac{F I_x}{A y_K}$$

معادلة خط الصفر

2.8.3 الإجهادات غير المتماثلة - الإجهادات النازمية والمماسية

أثناء التحميل بنفس اللحظة من خلال الإجهادات النازمية والمماسية، يحدد إجهاد المقارنة σ_v حسب الفرضيات التالية

$$\sigma_v \leq \sigma_{\text{alla}}$$

العلاقة لإثبات الإجهاد

$$\sigma_v = 0.35\sigma + 0.65\sqrt{\sigma^2 + 4(\alpha_0\tau)^2}$$

فرضية التمدد تحتم نتائج قابلة للاستخدام في المواد القصفة

$$\alpha_0 = \frac{\sigma_{\text{alla}}}{1.3\tau_{\text{alla}}}$$

نسبة الجهود

$$\sigma_{v, \text{mohr}} = \sqrt{\sigma^2 + 4(\alpha_0\tau)^2}$$

فرضية إجهاد القص مخصصة للمواد القاسية وتعطي غالباً قيم أعلى من فرضية تغيير هيئة الطاقة المستخدمة

$$\alpha_0 = \frac{\sigma_{\text{alla}}}{2\tau_{\text{alla}}}$$

ونكون على طرف الأمان

$$\sigma_{v,form} = \sqrt{\sigma^2 + 3(\alpha_0 \tau)^2}$$

فرضية تغيير شكل الطاقة، تطبق بشكل

$$\alpha_0 = \frac{\sigma_{balla}}{1.73\tau_{balla}}$$

أفضل على المواد القاسية (فولاذ).

تطبيق نظرية تغيير شكل الطاقة على المحاور المجهدة بالانحناف والقتل:

$$\sigma_{v,form} = \sqrt{\left(\frac{M_b}{W}\right)^2 + 3\left(\alpha_0 \frac{M_t}{W_p}\right)^2}$$

$$\sigma_{v,form} = \frac{1}{W} \sqrt{M_b^2 + 0.75(\alpha_0 M_t)^2} = \frac{M_{v,Gest}}{W} \leq \sigma_{bzul}$$

$$M_{v,form} = \sqrt{M_b^2 + 0.75(\alpha_0 M_t)^2}$$

$$d_{req} = \sqrt[3]{\frac{32}{\pi} \frac{M_{v,form}}{\sigma_{balla}}}$$

الصيغة المستخرجة التي تعطي الأمان

ضد الاثتبار في المواقع الخطرة.

$$\approx \sqrt[3]{\frac{10M_{v,form}}{\sigma_{balla}}}$$

علم الحرارة الهندسي

T	درجة الحرارة المطلقة K
t	درجة الحرارة °C
p	الضغط Pa = N/m ²
V	حجم كمية من المادة m ³
V _n	الحجم في الشروط النظامية m ³ تحت (t = 0 °C, p = 101.3 kPa)
m	الكتلة (كمية المادة) kg
z	الكمية المولية (كمية المادة) kmol
M	الكتلة المولية بـ kg/kmol
g	تسارع الجاذبية الأرضية m/s ²
v	الحجم النوعي m ³ /kg
v _n	الحجم النوعي في الشروط النظامية m ³ /kg
\bar{v}	الحجم المولي m ³ /kmol
\bar{v}_n	الحجم المولي في الشروط النظامية
ρ	الكثافة kg/m ³
ρ_n	كثافة الغاز في الشروط النظامية kg/m ³
Q	كمية الحرارة kJ
c	السعة الحرارية النوعية kJ/kg K
c _p	السعة الحرارية النوعية بثبوت الضغط kJ/kg K
c _v	السعة الحرارية النوعية بثبوت الحجم kJ/kg K
\bar{c}	السعة الحرارية المولية kJ/kmol K

R	ثابت الغازات العام	KJ/kg K
\bar{R}	ثابت الغازات المولي	kJ/kmol K 8.314
x	أس الأزنتروبي يساوي نسب السعات الحرارية النوعية	Cp/Pv
n	أس البوليتروبي	
W	عمل التغير الفراغي	kJ
W_i	العمل الهندسي	kJ
U	الطاقة الداخلية	kJ
H	الانتالبي	kJ
S	الانتروبي	kJ/K

1. تعاريف أساسية

1.1 قيم الحالة الحرارية والواحدات

الحرارة

$*T = t + 273$	T درجة الحرارة المطلقة	K
$*T = \frac{5}{9}T_R$	T_R درجة الحرارة	$^{\circ}R$
$*T_R = t_F + 459.7$	t درجة الحرارة	$^{\circ}C$
$*t = \frac{5}{9}(t_F - 32)$	t_F درجة الحرارة بالفهرنهايت	$^{\circ}F$
$*t = \frac{5}{9}T_R - 273$	Kelvin	K
	$^{\circ}C$ درجة مئوية	
	Fahrenheit	F
	Rankine	R

الضغط ووحداته

$$p = \frac{F}{A}$$

p الضغط

F القوة الناظمية

A المساحة

وحدات الضغط، انظر بحث القيم والوحدات

ضغط عمود من السائل

$$p = h\rho g$$

h ارتفاع عمود السائل m

ρ كثافة السائل kg/m^3 انظر الجدول 6 (الفيزياء)

تخفيض عمود السائل h_1 بدرجة حرارة t على الشاشة

عند درجة حرارة (0°C)

$$h_0 = h_1 - \gamma h_1 t$$

h_0 ارتفاع عمود السائل عند درجة حرارة 0°C

h_1 ارتفاع عمود السائل عند درجة حرارة $t^\circ\text{C}$

γ عامل التمدد الفراغي للسائل. انظر الجدول 2 (الفيزياء)

الضغط المطلق، الضغط المرتفع والمنخفض

يعرف الضغط المطلق عادةً، بأنه الضغط p الناتج عن تأثير القوة الناظمية على واحدة السطح.

يقاس الضغط المرتفع أو المنخفض بالمقارنة مع الضغط النسبي المسيطر (غالباً ضغط الهواء).

$$p_{ii} = p - p_L$$

p_{ii} الضغط المرتفع ($p > p_L$)

$$p_v = p_L - p$$

p_v الضغط المنخفض ($p < p_L$)

يجب تمييز الضغط المرتفع والضغط المنخفض دوماً، بهذا

التعبير ضغط مرتفع وضغط منخفض

$$V_a = \frac{P_u}{P_L} 100\%$$

V_a الضغط المنخفض النسبي بـ % التخلخل

الكثافة، الحجم النوعي

$$\rho = \frac{m}{V}$$

الكثافة

$$v = \frac{V}{m}$$

الحجم النوعي

$$v = \frac{1}{\rho}$$

العلاقة بين الكثافة والحجم النوعي

الكثافة، الحجم النوعي، والحجم المولي، في الشروط النظامية

(0 °C و 101.3 kPa)

$$\rho_n = \frac{m}{V_n}$$

V_n الحجم في الشروط النظامية

$$\rho_n = \frac{M}{\bar{v}_n} = \frac{M \text{ kmol}}{22.4 \text{ m}^3}$$

\bar{v}_n الحجم المولي في الشروط النظامية

$$v_n = \frac{V_n}{m}$$

إن قيمة $\bar{v}_n = 22.4 \text{ m}^3 / \text{kmol}$ لجميع الغازات المثالية

$$v_n = \frac{\bar{v}_n}{M} = \frac{22.4 \text{ m}^3}{M \text{ kmol}}$$

M الكتلة المولية في kg/kmol (انظر الجدول 18)

$$v_n = \frac{1}{\rho_n}$$

الكتلة، الكتلة المولية، والحجم المولي

$$m = \rho_n V_n$$

العلاقة بين الكتلة kg والكتلة المولية M

$$m = zM$$

— kg/kmol

$$V = z\bar{v} = \frac{m}{M} \bar{v}$$

العلاقة بين الحجم V بـ m^3 والحجم

المولي \bar{v} بـ m^3/kmol

z كمية المول (kmol)

2.1 الحرارة والسعة الحرارية النوعية

$$Q = c_m m (t_2 - t_1)$$

c_m السعة الحرارية النوعية الوسطية للمواد السائلة والصلبة، انظر الجدول 3 (الفيزياء)، للغازات (الجدول 18، 19)

$$Q = \bar{c}_m z (t_2 - t_1)$$

انتبه، بأنه يجب التمييز في الغازات بين c_v السعة الحرارية النوعية عند ضغط ثابت و c_p السعة الحرارية النوعية عند حجم ثابت.

$$Q = m \left[c_m \Big|_0^{t_2} t_2 - c_m \Big|_0^{t_1} t_1 \right]$$

العلاقة بين السعة الحرارية المولية kJ/kmol K والسعة الحرارية النوعية kJ/kg K

$$\bar{c}_m = M c_m$$

السعة الحرارية النوعية الوسطية

تتعلق السعة الحرارية النوعية بدرجة الحرارة، ويمكن إهمال تأثيرها بشكل عام أثناء الحسابات الهندسية حتى 200°C .

$c_m \Big|_{t_1}^{t_2}$ السعة الحرارية النوعية المتوسطة بين

درجة الحرارة t_1 و t_2

$$c_m \Big|_{t_1}^{t_2} = \frac{c_m \Big|_0^{t_2} t_2 - c_m \Big|_0^{t_1} t_1}{t_2 - t_1}$$

$c_m \Big|_0^{t_2}$ السعة الحرارية النوعية المتوسطة بين

درجة الحرارة 0°C و t_2 ¹

$c_m \Big|_0^{t_1}$ السعة الحرارية النوعية المتوسطة بين

درجة الحرارة 0°C و t_1 ¹

¹ انظر الجدول 19 من أجل قيم $c_m \Big|_0^t$

السعة الحرارية C

$$C = mc$$

تعرف السعة الحرارية لجسم أو مادة ما C وتقدر بـ KJ/K بأنها الحرارة المكتسبة عند ارتفاع درجة حرارة الجسم أو المادة درجة مئوية واحدة.

$$t_m = \frac{c_1 m_1 t_1 + c_2 m_2 t_2 + c_3 m_3 t_3 + \dots}{c_1 m_1 + c_2 m_2 + c_3 m_3 + \dots}$$

t_m درجة حرارة المزيج (درجة حرارة التوازن) عند التلامس الداخلي دون أن تطرح أو تكتسب الحرارة من الخارج، وتحدث تحولات كيميائية.

العلاقة بين c_p و c_v

$$x = \frac{c_p}{c_v} = \frac{\bar{c}_p}{\bar{c}_v}$$

R ثابت الغازات النوعي بـ kJ/kg K (انظر الجدول 18)

$$R = c_p - c_v = c_v(x-1)$$

$$\bar{R} = 8.314 \text{ kJ/kmol K}$$

$$\bar{R} = \bar{c}_p - \bar{c}_v = \bar{c}_v(x-1)$$

x تتعلق بدرجة الحرارة، يمكن لدرجة حرارة المحيط أن تبلغ حتى 200°C :

$$x = 1 + \frac{R}{c_v} = 1 + \frac{\bar{R}}{\bar{c}_v}$$

$x = 1.67$ للغازات أحادية الذرة (He, Ar, Kr)

$$c_p = \frac{xR}{x-1}$$

$x = 1.41$ للغازات ثنائية الذرة ($\text{N}_2, \text{O}_2, \text{H}_2$)، هواء)

$$c_v = \frac{R}{x-1}$$

$x = 1.33$ للغازات ثلاثية الذرة ($\text{CO}_2, \text{H}_2\text{O}, \text{SO}_2$)

عند درجات الحرارة المرتفعة تُعين x من القسوين المرفقة

الجدول 18 : خواص الغازات الهندسية

c_v السعة الحرارية النوعية عند حجم ثابت kJ/(kg K)	c_p السعة الحرارية النوعية عند ضغط ثابت kJ/(kg K)	ρ_n الكثافة عند الشروط النظامية kg/m ³	R ثابت الغاز العام kJ/(kg K)	M الكتلة المولية kg/kmol	نوع الغاز
0.715	1.004	1.293	0.287	(28.96)	هواء (O ₂ + N ₂)
10.26	14.38	0.090	4.124	2.01	هيدروجين H ₂
0.649	0.908	1.429	0.260	32	أكسجين O ₂
0.743	1.039	1.250	0.297	28.01	أزوت N ₂
0.742	1.039	1.250	0.297	28.01	أول أكسيد الكربون CO
0.632	0.821	1.977	0.189	44.01	ثاني أكسيد الكربون CO ₂
3.161	5.238	0.178	2.077	4.00	هيليوم He
0.322	0.532	1.783	0.208	39.94	أرغون Ar
1.717	2.219	0.771	0.488	17.03	النشادر NH ₃
1.700	2.223	0.717	0.518	16.03	ميثان CH ₄
1.397	1.858	0.804	0.462	18.0	بخار الماء H ₂ O

الجدول 19 : السعة الحرارية النوعية الوسطية c_{pm}^0

عند ضغط ثابت للغازات المثالية kJ/(kg K)

t °C	هواء	H ₂	N ₂	O ₂	CO	CO ₂	H ₂ O
0	1.004	14.38	1.039	0.9084	1.039	0.8205	1.858
100	1.007	14.40	1.041	0.9218	1.041	0.8689	1.874
200	1.013	14.42	1.044	0.9355	1.046	0.9122	1.894
300	1.020	14.45	1.049	0.9500	1.054	0.9510	1.918
400	1.029	14.48	1.057	0.9646	1.064	0.9852	1.946
500	1.039	14.51	1.066	0.9791	1.075	1.016	1.976
600	1.050	14.55	1.076	0.9926	1.087	1.043	2.008
700	1.061	14.59	1.087	1.005	1.099	1.067	2.041

t °C	هواء	H ₂	N ₂	O ₂	CO	CO ₂	H ₂ O
800	1.072	14.64	1.098	1.016	1.110	1.089	2.074
900	1.082	14.71	1.108	1.026	1.121	1.109	2.108
1000	1.092	14.78	1.118	1.035	1.131	1.126	2.142
1200	1.109	14.94	1.137	1.051	1.150	1.157	2.208
1400	1.124	15.12	1.153	1.065	1.166	1.183	2.271
1600	1.138	15.30	1.168	1.077	1.180	1.206	2.331
1800	1.151	15.48	1.181	1.089	1.193	1.225	2.386
2000	1.162	15.65	1.192	1.099	1.204	1.241	2.437

$$\bar{c}_{pm} = \bar{c}_{pm} - \bar{R} \quad \bar{c}_{pm} = M c_{pm} \quad c_{vm} = c_{pm} - R \quad R \text{ و } M \text{ انظر الجدول 18}$$

3.1 معادلة الحالة الحرارية للغازات المثالية

$$p v = RT$$

معادلة الحالة الحرارية لكل 1 kg غاز

$$\frac{p_1 v_1}{T_1} = \frac{p_2 v_2}{T_2} = R$$

R ثابت الغازات العام K kJ/kg (انظر

الجدول 18)

$$p V = mRT$$

معادلة الحالة الحرارية لكمية الغاز m

مقاسة بالوحدة kg

$$\frac{p_1 V_1}{T_1} = \frac{p_2 V_2}{T_2}$$

$$p \bar{v} = \bar{R} T$$

معادلة الحالة العامة لكل 1 kmol غاز

$$\frac{p_1 \bar{v}_1}{T_1} = \frac{p_2 \bar{v}_2}{T_2} = \bar{R}$$

$$p V = z \bar{R} T$$

معادلة الحالة العامة لكمية الغاز z مقاسة

بالوحدة kmol

$$\bar{R} = MR$$

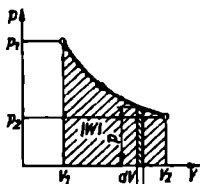
$$= 8.314 \text{ kJ / kmol K}$$

ثابت الغازات العام

4.1 عمل تغيير الحجم، العمل الهندسي، الطاقة الداخلية الانتالبي، الانتروبي، سحب الطاقة

العمل بتغيير الحجم W

$$W = -\int_{V_1}^{V_2} p dV$$



الشكل 199

عند تغير حجم غاز من V_1 إلى V_2 ، فإن العمل المبذول يوصف عمل تغيير الحجم - أيضاً العمل الخارجى -.

إن عمل تغير الحجم في المخطط $p - V$ هو المساحة المحصورة تحت المنحنى، (انظر الشكل

(199)

W إيجابي عند عمل الانضغاط

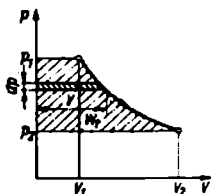
W سلبى عند عمل التمدد

العمل الهندسي W_i

$$W_i = \int_{p_2}^{p_1} v dp$$

إن العمل الهندسي الكلي لآلة والذي يتم داخل مجال تغير حالة المادة يوصف كعمل هندسي أو كعمل التشغيل.

$$W_i = W - p_1 V_1 + p_2 V_2$$



الشكل 200

يتشكل هذا العمل من عمل التعبئة $p_1 V_1$ ومن عمل تغير الحجم W ومن عمل $p_2 V_2$ (انظر الشكل 200)

W_i إيجابي عند اكتساب العمل

W_i سلبى عند طرح العمل

الطاقة الداخلية U

$$U = c_{vm}mt$$

$$U(t=0) = 0$$

إن الطاقة الداخلية U لجسم v ذو درجة حرارة t هي الحرارة (الطاقة) التي تضاف للجسم وتعطيه عمل عندما ترتفع درجة حرارته من 0°C إلى t تحت حجم ثابت

الانتالي H

$$H = U + pV$$

$$H = c_{pm}mt$$

$$H(t=0) = 0$$

إن الانتالي هو مجموع الطاقة الداخلية وعمل التغير pV

الانتروبي S

$$ds = \frac{dQ}{T}$$

$$dS = \frac{dU + p dV}{T}$$

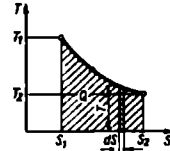
$$\Delta S = S_2 - S_1 = \int_1^2 \frac{dQ}{T}$$

$$\Delta S = f(p, V) = S_2 - S_1 = c_v m \ln \frac{p_2}{p_1} + c_p m \ln \frac{V_2}{V_1}$$

$$\Delta S = f(T, V) = S_2 - S_1 = c_v m \ln \frac{T_2}{T_1} + R m \ln \frac{V_2}{V_1}$$

$$\Delta S = f(T, p) = S_2 - S_1 = c_p m \ln \frac{T_2}{T_1} + R m \ln \frac{p_2}{p_1}$$

الانتروبي S هو قيم الحالة الحرارية، التي تتعلق بأثنين من ثلاث قيم تغيير الحالة الحرارية v, T, p وتعرف من خلال التفاضل $ds = \frac{dQ}{T}$



الشكل 201

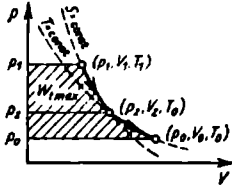
$$Q = \int_1^2 T dS$$

تظهر في المخطط T, S الحرارة المسحوبة أو المضافة وهي المساحة المحصورة تحت منحنى الحالة (انظر الشكل 201)

سحب الطاقة E

$$E = H_1 - H_0 - T_0(S_1 - S_0)$$

إن الطاقة المسحوبة E - أيضاً قدرة العمل الهندسي - هي العمل الهندسي الأعظمي



الشكل 202

الذي يصنع بشكل مفيد من المادة.

تنتج القيمة عندما تضاف المادة بشكل ايزوترمي على درجة حرارة الوسيط المحيطة T_0 وبشكل ايزوترمي على ضغط الوسط المحيط p_0 . انظر الشكل (202).

يصف الدليل 0 الحالة المحيطة، أما الدليل 1 فيصف الحالة الابتدائية.

إضافة الطاقة B

$$B = H_0 + T_0 (S_1 - S_0)$$

$$B = H_1 - E$$

إن إضافة الطاقة B تميز قدر الطاقة (انتالي H_1) لمادة والتي لا يمكن تمثيلها كطاقة مسحوبة (عمل هندسي)

2. مزج الغازات

نطبق قانون Dalton لمزج الغازات.

1. كل غاز من مزيج غازي يملأ الفراغ، كما لو كانت الغازات الأخرى غير موجودة.
2. كل غاز يؤثر فقط على جزء من الضغط الكلي للمزيج الغازي، الضغط الكلي يساوي مجموع الضغوط الجزئية.
3. إن نصيب الضغط الجزئي لغاز على الضغط الكلي للمزيج يساوي نصيبه الفراغي.

$$p = \sum p_i = p_1 + p_2 + p_3 + \dots$$

$$V = \sum V_i = V_1 + V_2 + V_3 + \dots$$

$$m = \sum m_i = m_1 + m_2 + m_3 + \dots$$

$$z = \sum z_i = z_1 + z_2 + z_3 + \dots$$

$$pV_i = m_i R_i T$$

معادلة الحالة الحرارية لغاز وحيد قبل للمزج هي في حالة الفصل تأخذ جميع الغازات نفس الضغط p ونفس درجة الحرارة T

$$p_i V = m_i R_i T$$

معادلة الحالة الحرارية لغاز وحيد بعد المزج هي

$$r_i = \frac{V_i}{V} = \frac{p_i}{p}$$

نصيب الفراغ لمركب غازي

$$\xi_i = \frac{m_i}{m}$$

نصيب الكتلة لمركب غازي

$$r_i = \frac{z_i}{z} = \frac{V_i}{V}$$

نصيب المولي لمركب غازي يتصرف كنصيب فراغي

$$\rho_m = \frac{m}{V} = \sum r_i \rho_i$$

كثافة المزيج الغازي

$$R_m = \sum \xi_i R_i$$

ثابت الغاز لمزيج غازي

$$M_m = \frac{8.314 \text{ kJ}}{R_m \text{ kmol K}} = \sum r_i M_i$$

الكتلة المولية الظاهرية لمزيج غازي

$$R_i M_i = R_m M_m = \bar{R}$$

$$c_p = \sum \xi_i c_{p_i}$$

السعة الحرارية النوعية لمزيج غازي

$$c_v = \sum \xi_i c_{v_i}$$

$$\xi_i = \frac{r_i \rho_i}{\rho_m} = r_i \frac{M_i}{M_m} = r_i \frac{R_m}{R_i}$$

العلاقة بين أجزاء الكتلة ξ_i وأجزاء الفراغ r_i

$$r_i = \frac{\xi_i V_i}{v_m} = \xi_i \frac{\rho_m}{\rho_i} = \xi_i \frac{M_m}{M_i}$$

$$U_m = m \sum \xi_i u_i$$

الطاقة الداخلية لمزيج غازي

$$H_m = m \sum \xi_i h_i$$

انتالي المزيج الغازي

$$\Delta S_{\text{mix}} = \frac{pV}{T} \sum \frac{V_i}{V} \ln \frac{V}{V_i}$$

تغير الانتروبي أثناء عملية المزيج

$$\Delta S_{\text{mix}} = \sum m_i R_i \ln \frac{1}{r_i}$$

1.2 مزج الغازات تحت حجم غاز ثابت

$$p_i V_i = m_i R_i T_i$$

معادلة الحالة الحرارية لغاز وحيد قبل المزج

$$\bar{p}_i V = m_i R_i T$$

معادلة الحالة الحرارية لغاز وحيد بعد المزج

$$V = \sum V_i = V_1 + V_2 + V_3 + \dots$$

V_i حجم غاز وحيد قبل المزج

$$p = \sum \bar{p}_i = \bar{p}_1 + \bar{p}_2 + \bar{p}_3 + \dots$$

\bar{p}_i الضغط الجزئي لغاز وحيد بعد المزج

p_i الضغط الجزئي لغاز وحيد قبل المزج

$$c_v m_t = \sum c_{v_i} m_i$$

تطبق لعملية المزج بدون تبادل للعمل والحرارة مع الوسط المحيط

$$T = \frac{\sum c_{v_i} m_i T_i}{\sum c_{v_i} m_i}$$

درجة حرارة المزيج

$$T = \frac{\sum p_i V_i}{\sum \frac{p_i V_i}{T_i}}$$

تطبق فقط، عندما تأخذ كل الغازات المنفردة نفس القيمة x_i

$$R_m = \sum \xi_i R_i$$

ثابت المزيج الغازي

$$p = \frac{m R_m T}{V}$$

ضغط المزيج الغازي

$$p = \frac{T}{V} \sum \frac{p_i V_i}{T_i} = \frac{T}{V} \sum m_i R_i$$

2.2 مزج الغازات المتدفقة

$$m \left(h + \frac{w^2}{2} \right) = \sum m_i \left(h_i + \frac{w_i^2}{2} \right)$$

تطبق للمزيج الدائم الجريان بدون تبادل للعمل والحرارة مع الوسط الخارجي

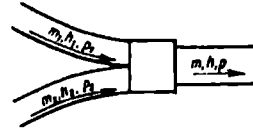
w سرعة تدفق المادة

لأنه يمكن في أغلب العمليات الهندسية إهمال الطاقة الحركية بالمقارنة مع الاتتالي،
تطبق العلاقات التالية:

$$mh = \sum m_i h_i$$

$$h = \sum g_i h_i$$

$$c_p m t = \sum c_{p_i} m_i t_i$$



الشكل 203

درجة حرارة المزيج الغازي

$$T = \frac{\sum c_{p_i} m_i T_i}{\sum c_{p_i} m_i}$$

تطبق فقط عندما تأخذ الغازات

$$T = \frac{\sum p_i V_i}{\sum \frac{p_i V_i}{T_i}}$$

الوحيدة نفس القيمة x_i

$$R_m = \sum \xi_i R_i$$

ثابت المزيج الغازي

$$V = \frac{m R_m T}{p}$$

حجم المزيج الغازي

$$V = \frac{T}{p} \sum \frac{p_i V_i}{T_i} = \frac{T}{V} \sum m_i R_i$$

انتبه $\sum V_i \neq V$

3. القانون الأساسي الأول في الترموديناميك

يشق القانون الأساسي الأول في الترموديناميك من قانون حفظ الطاقة العام:

ولأجل نظام مغلق يطبق:

Q إيجابية عند إضافة الحرارة

Q سلبية عند سحب الحرارة

W إيجابية عند عمل الانضغاط

W سلبية عند عمل التمدد

$$U_2 - U_1 = Q + W$$

ومن أجل نظام مفتوح يطبق:

$$H_2 - H_1 = Q + W_i$$

W_i إيجابية عند إضافة العمل

W_i سلبية عند سحب العمل

4. تغيرات الحالة للغازات المثالية

1.4 ثبوت الحجم، $V = \text{const}$ (الشكل 204)

$$\frac{T_1}{T_2} = \frac{p_1}{p_2}$$

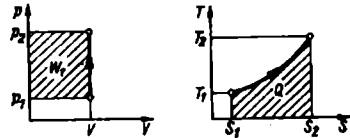
$$Q = c_{vm} m (t_2 - t_1)$$

$$Q = U_2 - U_1$$

$$W = 0$$

$$W_i = V(p_2 - p_1)$$

$$\Delta S = S_2 - S_1 = c_{vm} \ln \frac{T_2}{T_1} = c_{vm} \ln \frac{p_2}{p_1}$$



الشكل 204

4.2 بثبوت الضغط، $p = \text{const}$ (الشكل 205)

$$\frac{T_1}{T_2} = \frac{V_1}{V_2}$$

$$Q = c_{pm} m (t_2 - t_1)$$

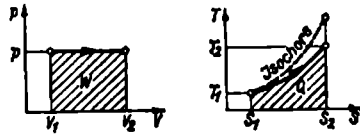
$$\Delta U = U_2 - U_1 = c_{vm} m (t_2 - t_1)$$

$$W = p(V_2 - V_1) = mR(T_2 - T_1)$$

$$W_i = 0$$

$$\Delta S = S_2 - S_1 = c_{pm} \ln \frac{T_2}{T_1} = c_{pm} \ln \frac{V_2}{V_1}$$

قانون Gay-Lussac



الشكل 205

3.4 بثبوت درجة الحرارة (اليزوترم) $t = \text{const}$ (الشكل 206)

$$pV = \text{const.}$$

قانون Boyle-Mariotte

$$\frac{p_1}{p_2} = \frac{V_2}{V_1}$$

$$Q = -W$$

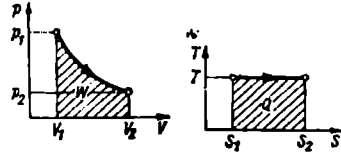
$$\Delta U = U_2 - U_1 = 0$$

$$W = p_1 V_1 \ln \frac{p_2}{p_1} = p_1 V_1 \ln \frac{V_1}{V_2}$$

$$W = mRT \ln \frac{p_2}{p_1} = mRT \ln \frac{V_1}{V_2}$$

$$W_t = W$$

$$\Delta S = S_2 - S_1 = mR \ln \frac{p_1}{p_2} = mR \ln \frac{V_2}{V_1}$$



الشكل 206

4.4 بثبوت كمية الحرارة $Q = 0, S = \text{const}$ (الشكل 207)

$$pV^x = \text{const.}$$

قانون Poisson

$$p_1 V_1^x = p_2 V_2^x$$

$$\frac{p_1}{p_2} = \left(\frac{V_2}{V_1}\right)^x \quad \frac{V_1}{V_2} = \left(\frac{p_2}{p_1}\right)^{\frac{1}{x}}$$

$$\frac{T_1}{T_2} = \left(\frac{V_2}{V_1}\right)^{x-1} = \left(\frac{p_1}{p_2}\right)^{\frac{x-1}{x}}$$

$$Q = 0$$

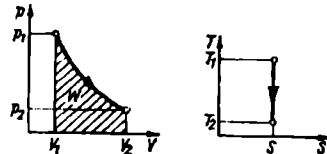
$$U_2 - U_1 = W$$

$$W_t = xW$$

$$W_t = m(h_2 - h_1) = c_p m(t_2 - t_1)$$

$$\Delta S = S_2 - S_1 = 0$$

$$W = \frac{mR}{x-1} (T_2 - T_1)$$



الشكل 207

$$W = c_v m(T_2 - T_1)$$

$$W = \frac{1}{x-1} (p_2 V_2 - p_1 V_1)$$

$$W = \frac{mRT_1}{x-1} \left[\frac{T_2}{T_1} - 1 \right] = \frac{p_1 V_1}{x-1} \left[\frac{T_2}{T_1} - 1 \right]$$

$$W = \frac{p_1 V_1}{x-1} \left[\left(\frac{p_2}{p_1} \right)^{\frac{x-1}{x}} - 1 \right]$$

5.4 متعدد التغيرات (البوليتروبي) (تغير الحالة العامة)

$$pV^n = \text{const.} \quad -\infty < n < +\infty$$

$$p_1 V_1^n = p_2 V_2^n$$

$$\frac{p_1}{p_2} = \left(\frac{V_2}{V_1} \right)^n \quad \frac{V_1}{V_2} = \left(\frac{p_2}{p_1} \right)^{\frac{1}{n}}$$

$$\frac{T_1}{T_2} = \left(\frac{V_2}{V_1} \right)^{n-1} = \left(\frac{p_1}{p_2} \right)^{\frac{n-1}{n}}$$

$$Q = cm(T_2 - T_1) = c_v \frac{x-n}{1-n} m(T_2 - T_1)$$

$$Q = \frac{n-x}{x-1} W$$

$$W_i = nW$$

$$W = \frac{mR}{n-1} (T_2 - T_1)$$

$$W = c_v \frac{x-1}{n-1} m(T_2 - T_1)$$

$$W = \frac{1}{n-1} (p_2 V_2 - p_1 V_1)$$

$$W = \frac{mRT_1}{n-1} \left(\frac{T_2}{T_1} - 1 \right) = \frac{p_1 V_1}{n-1} \left(\frac{T_2}{T_1} - 1 \right)$$

$$W = \frac{p_1 V_1}{n-1} \left[\left(\frac{p_2}{p_1} \right)^{\frac{n-1}{n}} - 1 \right]$$

$$\Delta S = S_2 - S_1 = cm \ln \frac{T_2}{T_1} = c_v \frac{x-n}{1-n} m \ln \frac{T_2}{T_1}$$

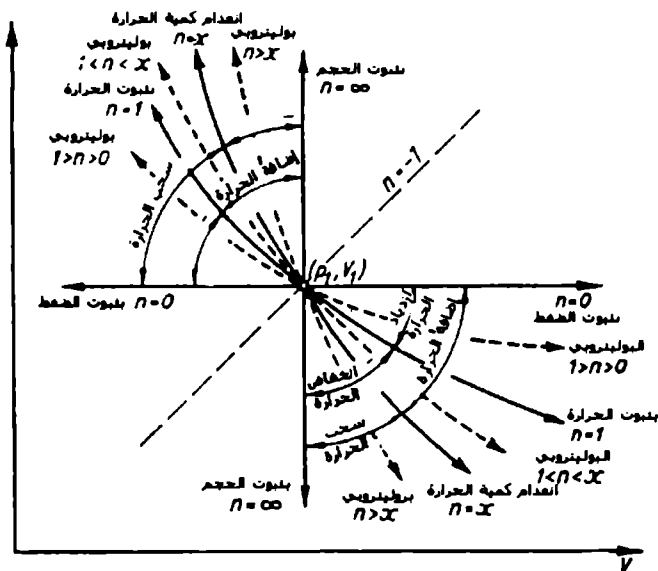
$$\Delta S = S_2 - S_1 = c_v m \ln \frac{p_2}{p_1} + c_p m \ln \frac{V_2}{V_1}$$

$$\Delta S = S_2 - S_1 = c_v m \ln \frac{T_2}{T_1} + Rm \ln \frac{V_2}{V_1}$$

$$\Delta S = S_2 - S_1 = c_p m \ln \frac{T_2}{T_1} - Rm \ln \frac{p_2}{p_1}$$

الجدول 20: توضيح تغيرات الحالة المختلفة كحالات خاصة لقوانين متعددة التغيرات العامة $p V^n = \text{const}$ (قارن أيضاً الشكل 208)

كمية الحرارة Q	السعة الحرارية النوعية	الأس	نوع تغير الحالة
$c_v m(T_2 - T_1)$	c_v	$n = \infty$	V = const. بثبات الحجم
$c_p m(T_2 - T_1)$	c_p	$n = 0$	p = const. بثبات الضغط
W	$\pm \infty$	$n = 1$	T = const. بثبات الحرارة
0	0	$n = x$	Q = 0 انعدام كمية الحرارة
$\frac{n-x}{x-1} W$	$c_v \frac{x-n}{1-n}$	n	البولتروبي



الشكل 208

5. القانون الأساسي الثاني في الترموديناميك

كل عملية طبيعية في نظام أديباتي مغلق تنتج تضخيم لمجموع الأنثروبي لجميع الأجسام المشتركة (المساهمة). فقط في الحالة الحدية لعلمية عكسية تبقى الأنثروبي ثابتة.

إن القانون الأساسي الثاني للدارات الترموديناميكية هو:

$$S_2 - S_1 = \int ds \geq 0$$

من أجل الدارات غير العكوسة >
من أجل الدارات العكوسة =

لا يمكن انتقال الحرارة من تلقاء نفسها (دون تطبيق عمل) من جسم ذو درجة حرارة منخفضة إلى جسم ذو درجة حرارة مرتفعة. يمكن تحويل الحرارة فقط بشكل دوري إلى عمل عندما يكون هناك انخفاض في درجة الحرارة.

يمكن فقط بشكل جزئي تحويل الحرارة المضافة Q_{supp} من وعاء حراري I إلى عمل،
في حين يطرح الجزء الآخر كحرارة مسحوبة Q_{loss} من وعاء حراري II.

6. الدارات

$$Q_{supp} + Q_{loss} + W = 0 \quad (Q_{supp} > 0 \text{ الحرارة المضافة (المكتسبة)})$$

$$-W = Q_{supp} + Q_{loss} \quad (Q_{loss} < 0 \text{ الحرارة المطروقة (المسحوبة)})$$

$$W = \oint dW = \oint dW_t \quad W \text{ عمل الدارة}$$

الدارات اليمينية لآلات القوى الحرارية (شكل 209)

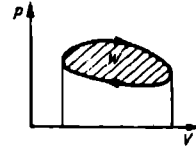
$$Q_{supp} + Q_{loss} > 0$$

$$W < 0$$

$$\eta_{th} = \frac{|W|}{Q_{supp}} = \frac{Q_{supp} + Q_{loss}}{Q_{supp}}$$

$$\eta_{th} = 1 + \frac{Q_{loss}}{Q_{supp}} = 1 - \frac{|Q_{loss}|}{Q_{supp}}$$

η_{th} المردود الحراري

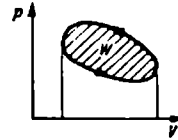


الشكل 209

الدارات اليسارية لآلات العمل (الشكل 210)

$$Q_{supp} + Q_{loss} < 0$$

$$W > 0$$



الشكل 210

1.6 دائرة Carno (الشكل 211)

تتألف عملية دائرة Carno من تغيرات الحالة التالية:

1-2 تمدد بثبوت درجة الحرارة عند درجة الحرارة T_1

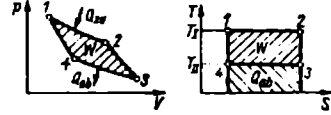
2-3 تمدد بثبوت كمية الحرارة

3-4 تكاثف بثبوت درجة الحرارة عند درجة الحرارة T_{II}

4-1 تكاثف بثبوت كمية الحرارة

$$Q_{\text{supp}} = mRT_I \ln \frac{V_2}{V_1}$$

$$Q_{\text{loss}} = mRT_{II} \ln \frac{V_4}{V_3}$$



الشكل 211

$$\eta_{\text{th}} = \frac{|W|}{Q_1} = \frac{T_I - T_{II}}{T_I} = 1 - \frac{T_{II}}{T_I}$$

$$\frac{T_I}{T_{II}} = \left(\frac{V_3}{V_2}\right)^{\gamma-1} = \left(\frac{V_4}{V_1}\right)^{\gamma-1}$$

$$\frac{T_I}{T_{II}} = \left(\frac{p_2}{p_3}\right)^{\frac{\gamma-1}{\gamma}} = \left(\frac{p_1}{p_4}\right)^{\frac{\gamma-1}{\gamma}}$$

$$\frac{V_2}{V_1} = \frac{V_3}{V_4} = \frac{p_1}{p_2} = \frac{p_4}{p_3}$$

$$T_1 = T_2 = T_I$$

$$T_3 = T_4 = T_{II}$$

2.6 دائرة Otto المثالية

تتكون دائرة Otto المثالية من تغيرات الحالة التالية (انظر الشكل 212)

1-2 تكاثف بثبوت كمية الحرارة

2-3 إضافة كمية الحرارة Q_{supp} بثبوت الحجم

3-4 التمدد بثبوت كمية الحرارة

4-1 طرح كمية الحرارة Q_{loss} بثبوت الحجم

نسبة التكاثف

$$\varepsilon = \frac{V_1}{V_2} = \left(\frac{p_2}{p_1} \right)^{\frac{1}{x}}$$

$$\eta_{th} = 1 - \frac{T_1}{T_2} = 1 - \left(\frac{V_2}{V_1} \right)^{x-1}$$

$$\eta_{th} = 1 - \frac{1}{\varepsilon^{x-1}}$$

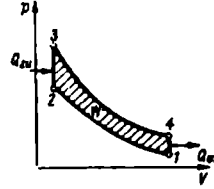
$$Q_{supp} = c_v m (T_3 - T_2)$$

$$Q_{loss} = c_v m (T_1 - T_4)$$

$$W = c_v m T_1 \left(1 - \frac{p_3}{p_2} \right) (\varepsilon^{x-1} - 1)$$

$$\frac{T_2}{T_1} = \left(\frac{p_2}{p_1} \right)^{\frac{x-1}{x}} = \varepsilon^{x-1}$$

$$\frac{T_3}{T_4} = \left(\frac{p_3}{p_4} \right)^{\frac{x-1}{x}} = \varepsilon^{x-1}$$



الشكل 212

3.6 دائرة محركات Diesel المثالية

تتكون دائرة محركات Diesel المثالية من تغيرات الحالة التالية (الشكل 213)

1-2 تكاثف بثبوت كمية الحرارة

2-3 إضافة كمية الحرارة Q_{supp} بثبوت الحجم

3-4 التمدد بثبوت كمية الحرارة

4-1 طرح كمية الحرارة Q_{loss} بثبوت الحجم

$$\varepsilon = \frac{V_1}{V_2} = \left(\frac{p_2}{p_1} \right)^{\frac{1}{x}}$$

نسبة التكاثف

$$\rho = \frac{V_3}{V_2} = \frac{T_3}{T_2}$$

مردود التعبئة

$$Q_{\text{supp}} = c_p m (T_3 - T_2)$$

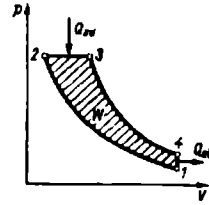
$$Q_{\text{loss}} = c_v m (T_1 - T_4)$$

$$W = \frac{p_1 V_1}{1-x} [x \varepsilon^{x-1} (\varphi - 1) - (\varphi^x - 1)]$$

$$\eta_{\text{th}} = 1 - \frac{1}{x} \frac{T_1}{T_2} \frac{T_4 / T_1 - 1}{T_3 / T_2 - 1}$$

$$\eta_{\text{th}} = 1 - \frac{1}{x \varepsilon^{x-1}} \frac{\varphi^x - 1}{\varphi - 1}$$

$$\frac{T_2}{T_1} = \left(\frac{p_2}{p_1} \right)^{\frac{x-1}{x}} = \left(\frac{V_1}{V_2} \right)^{x-1} = \varepsilon^{x-1}$$



الشكل 213

4.6 الدارة المثالية للعنفات الغازية

(دارة Ackert - Keller)

تتكون الدارة المثالية للعنفات الغازية من تغيرات الحالة التالية:

1-2 انضغاط بثبوت درجة الحرارة مع سحب كمية الحرارة Q_{loss}

2-3 إضافة كمية الحرارة Q_{23} بثبوت الضغط (استنزاف)

3-4 تمدد بثبوت درجة الحرارة أثناء إضافة كمية الحرارة Q_{supp}

4-1 طرح كمية الحرارة Q_{41} بثبوت الضغط (استنزاف)

$$Q_{23} = |Q_{41}|$$

الاستنزاف هو إعادة استخدام كمية الحرارة

المطروحة لتسخين نفس وسيط العمل

$$Q_{\text{supp}} = mRT_3 \ln \frac{p_3}{p_4}$$

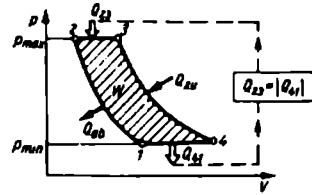
$$Q_{\text{loss}} = mRT_1 \ln \frac{p_1}{p_2}$$

$$W = mR(T_1 - T_3) \ln \frac{p_3}{p_4}$$

$$\eta_{\text{th}} = 1 - \frac{T_1}{T_3} = 1 - \frac{T_{\text{min}}}{T_{\text{max}}}$$

$$T_3 = T_4 = T_{\text{max}}$$

$$T_1 = T_2 = T_{\text{min}}$$



الشكل 214

5.6 الدارة المثالية لآلات الهواء الساخن (دائرة Jol)

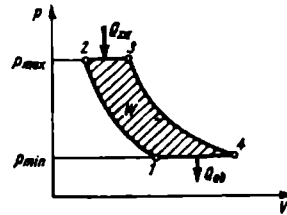
تتكون الدارة المثالية لآلة الهواء الساخن من تغيرات الحالة التالية، (انظر الشكل 215)

1-2 انضغاط ايزوتروبي

2-3 إضافة الحرارة Q_{24} بثبوت الضغط

3-4 تمدد ايزوتروبي

4-1 طرح الحرارة Q_{loss} بثبوت الضغط



الشكل 215

$$Q_{\text{loss}} = c_p m (T_3 - T_2)$$

$$Q_{\text{supp}} = c_p m (T_1 - T_4)$$

$$W = c_p m (T_2 - T_3) \left(1 - \frac{T_1}{T_2} \right)$$

$$\eta_{\text{th}} = 1 - \frac{T_1}{T_2} = 1 - \left(\frac{p_1}{p_2} \right)^{\frac{\gamma-1}{\gamma}}$$

يمكن تحسين المردود من خلال الاستنزاف

6.6 دائرة آلة التبريد

إن الدائرة المثالية لآلة التبريد هي دائرة Carno العكسية، والتي تتكون من تغيرات الحالة التالية (الشكل 216)

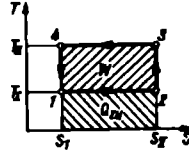
1-2 إضافة الحرارة Q_{supp} تحت درجة حرارة ثابتة T_I

2-3 تكثيف الايزونتروبي لوسيط التبريد

3-4 طرح الحرارة Q_{loss} تحت درجة حرارة ثابتة T_{II}

4-1 تمدد الايزونتروبي

$$\epsilon_K = \frac{Q_{supp}}{W} = \frac{Q_{supp}}{|Q_{loss}| - Q_{supp}}$$



الشكل 216

$$\epsilon_K = \frac{T_I}{T_{II} - T_I}$$

ϵ_K عامل الاستطاعة لآلة التبريد

$$W = |Q_{loss}| = Q_{supp}$$

عمل آلة التبريد

$$q_K = 3600 \frac{\text{kJ}}{\text{kWh}} \epsilon_K = 860 \frac{\text{kcal}}{\text{kWh}} \epsilon_K$$

استطاعة التبريد النوعية

$$q_K = 3600 \frac{\text{kJ}}{\text{kWh}} \frac{T_I}{T_{II} - T_I}$$

$Q_{supp} > 0$ إضافة الحرارة = إنتاج البرودة

$$Q_{loss} < 0$$

$$W > 0$$

7.6 دائرة المضخة الحرارية (توليد الحرارة)

إن الدائرة المثالية للمضخة الحرارية هي كما في آلة التبريد العكسية، دائرة Carno (شكل 217)

$$|Q_{\text{loss}}| = Q_{\text{supp}} + W$$

$$\epsilon_w = \frac{|Q_{\text{loss}}|}{W} = \frac{|Q_{\text{loss}}|}{|Q_{\text{loss}}| - Q_{\text{supp}}}$$

$$\epsilon_w = \frac{T_{\text{II}}}{T_{\text{II}} - T_{\text{I}}}$$

$$q_h = 3600 \frac{\text{kJ}}{\text{kWh}} \epsilon_w = 860 \frac{\text{kcal}}{\text{kWh}} \epsilon_w$$

$$q_h = 3600 \frac{\text{kJ}}{\text{kWh}} \frac{T_{\text{II}}}{T_{\text{II}} - T_{\text{I}}} = 860 \frac{\text{kcal}}{\text{kWh}} \frac{T_{\text{II}}}{T_{\text{II}} - T_{\text{I}}}$$

حرارة تسخين المضخة الحرارية

عامل استطاعة المضخة الحرارية

استطاعة التسخين النوعية

8.6 دائرة الضاغط

في الضواغط المثالية (دون ضرر في الحجرة) تحدث في الاسطوانة العمليات التالية
(قارن الشكل 217)

4-1 امتصاص غاز للتكثيف

1-2 تكثيف بوليتروبي للغاز

2-3 طرد الغاز المتكاثف

$$W_t = \frac{n}{n-1} p_1 V_1 \left[\left(\frac{p_2}{p_1} \right)^{\frac{n-1}{n}} - 1 \right]$$

$$W_t = \frac{n}{n-1} m R T_1 \left[\left(\frac{p_2}{p_1} \right)^{\frac{n-1}{n}} - 1 \right]$$

W_t العمل المصروف للمكثف

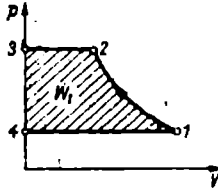
T_2 درجة حرارة الهواء المتكاثف

$$\frac{T_2}{T_1} = \left(\frac{p_2}{p_1} \right)^{\frac{n-1}{n}}$$

$$|Q| = \frac{x-n}{x-1} \frac{W_t}{n}$$

$$Q = c_v \frac{x-n}{1-n} m (T_2 - T_1)$$

Q كمية الحرارة المسحوبة أثناء التكثيف



الشكل 217

7. بخار الماء

تطبق للسوائل المغلية

لقيم السوائل المغلية (انظر
الجدول 21)

h' انتالي kJ/kg
 u' الطاقة الداخلية kJ/kg
 v' الحجم النوعي m^3/kg
 s' الانتروبي kJ/kg K

$$h' = u' + pv'$$

$$h' = c_{pm} t_s$$

$$u' = h' - pv'$$

t_s درجة حرارة الغليان (درجة حرارة الإشباع)

تطبق للبخار الرطب

للبخار الرطب (الخلط بمرحلتين من
السائل المغلي والبخار المشبع عند t_s)

h_x الانتالي kJ/kg
 u_x الطاقة الداخلية kJ/kg
 v_x الحجم النوعي m^3/kg
 s_x الانتروبي kJ/kg K

$$x = \frac{m''}{m' + m''}$$

$$m_x = m' + m''$$

x محتوى البخار النوعي

m_x كمية البخار الرطب

$$m' = (1-x) m_x$$

$$m'' = x m_x$$

m' كمية السائل في البخار الرطب
 m'' كمية البخار المشبع في البخار الرطب

1 كغ بخار رطب = x كغ بخار مشبع + $(1-x)$ كغ سائل

$$h_x = (1-x) h' + x h'' = h' + x(h'' - h')$$

$$u_x = (1-x) u' + x u'' = u' + x(u'' - u')$$

$$s_x = (1-x) s' + x s'' = s' + x(s'' - s')$$

$$v_x = (1-x) v' + x v'' = v' + x(v'' - v')$$

$$v_x \approx x v''$$

للضغوط القليلة، عندما $v'' \gg v'$

تطبق للبخار المشبع الجاف

لقيم البخار المشبع الجاف (البخار المشبع) (الجدول 21)	}	h'' انتالي kJ/kg
		u'' الطاقة الداخلية kJ/kg
		s'' الانتروبي kJ/kg K
		v'' الحجم النوعي m^3/kg

$$h'' = h' + r$$

r الحرارة المتبخرة kJ/kg

$$u'' = h'' - p v''$$

$$s'' = s' + \frac{h'' - h'}{T_g} = s' + \frac{r}{T_g}$$

T_g درجة حرارة الغليان K

$$r = h'' - h'$$

$$\frac{dp}{dT} = \frac{r}{(v'' - v') T_g}$$

معادلة Clausius - Clapeyron

يُطبق للبخار الزائد التسخين

للبخار الزائد التسخين (القيم،
الجدولين 22، 23 أو مخطط h,s لبخار
الماء)

h الانتالي kJ/kg
 u الطاقة الداخلية kJ/kg
 s الانتروبي kJ/kg K
 v الحجم النوعي m³/kg

$$h = h'' + q_{\ddot{u}}$$

$$q_{\ddot{u}} = c_{pm}(t - t_0)$$

$$u = h - pv$$

$$s = s'' + c_{pm} \ln \frac{T}{T_0}$$

c_{pm} السعة الحرارية النوعية المتوسطة للبخار
الزائد التسخين

الجدول 21: قيم الحالة للماء وبخار الماء عند الإشباع حسب Wukalowitz

p bar 10 ⁵ Pa	t _s °C	v' m ³ /kg	v'' m ³ /kg	h' kJ/kg	h'' kJ/kg	s' kJ/(kg K)
0.01	6.982	0.0010001	129.208	29.33	2513.8	0.1060
0.02	17.511	0.0010012	67.006	73.45	2533.2	0.2606
0.05	32.90	0.0010052	28.196	137.77	2561.2	0.4762
0.10	45.83	0.0010102	14.676	191.84	2584.4	0.6493
0.20	60.09	0.0010172	7.6515	251.46	2609.6	0.8321
0.40	75.89	0.0010265	3.9949	317.65	2636.8	1.0261
0.60	85.95	0.10333	2.7329	359.93	2653.6	1.1454
0.80	93.51	0.0010.87	2.0879	391.72	2666.0	1.2330
1.00	99.63	0.0010434	1.6946	417.51	2675.7	1.3027
2.00	120.23	0.0010608	0.88592	504.7	2706.9	1.5301
2.6	128.73	0.0010688	0.69288	540.9	2719.0	1.6209
4.0	143.62	0.0010839	0.46242	604.7	2738.5	1.7764
6.0	158.84	0.0011009	0.31556	670.4	2756.4	1.9308
8.0	170.42	0.0011150	0.24030	720.9	2768.4	2.0457
10.0	179.88	0.0011274	0.19430	762.6	2777.0	2.1382
13.0	191.60	0.0011438	0.15112	814.7	2786.0	2.2509
16.0	201.37	0.0011586	0.12368	858.6	2792.2	2.3436
20.0	212.37	0.0011766	0.09953	908.6	2797.4	2.4468
24.0	221.78	0.0011932	0.08319	951.9	2800.4	2.5343

P bar 10^5 Pa	t_s °C	v' m^3/kg	v'' m^3/kg	h' kJ/kg	h'' kJ/kg	s' kJ/(kg K)
32.0	237.44	0.0012237	0.06243	1025.5	2801.8	2.6786
40.0	250.33	0.0012521	0.04974	1087.5	2799.4	2.7967
50.0	263.92	0.0012858	0.03941	1154.6	2792.8	2.9209
65.0	280.83	0.0013350	0.02969	1241.4	2777.6	3.0764
80.0	294.98	0.0013843	0.02349	1317.5	2757.5	3.2083
100.0	310.96	0.0014526	0.01800	1408.6	2724.4	3.3616
120.0	324.64	0.0015267	0.01425	1492.6	2684.8	3.4986
160.0	47.32	0.0017101	0.00933	1651.5	2582.7	3.7486
200.0	365.71	0.002038	0.00587	1828.8	2413.8	4.0181
220.0	373.68	0.002675	0.00376	2007.7	2192.5	4.2891

المجدول 22: الحجم النوعي v m^3/kg للبخار الزائد التسخين¹

P bar $- 10^5$ Pa	درجة حرارة التسخين الزائد °C						
	200	260	300	360	400	460	500
1	2.172	2.453	2.639	2.917	3.103	3.380	3.565
2	1.080	1.222	1.316	1.456	1.549	1.689	1.781
4	0.5343	0.6072	0.6548	0.7257	0.7726	0.8427	0.8893
6	0.3521	0.7021	0.4344	0.4821	0.5137	0.5607	0.5919
8	0.2608	0.2995	0.3241	0.3604	0.3842	0.4197	0.4432
10	0.2059	0.2378	0.2580	0.2873	0.3066	0.3351	0.3540
15	0.1324	0.1556	0.1697	0.1899	0.2030	0.2227	0.2354
20	-	0.1144	0.1255	0.1411	0.1512	0.1659	0.1956
25	-	0.08953	0.09802	0.1119	0.1201	0.1321	0.1399
30	-	0.07286	0.08116	0.09232	0.09933	0.1095	0.1161
40	-	0.05174	0.05885	0.06787	0.07339	0.08128	0.08638
50	-	-	0.04532	0.05316	0.05780	0.06434	0.06853
60	-	-	0.03616	0.04331	0.04738	0.05303	0.05662
80	-	-	0.02425	0.03089	0.03431	0.03888	0.04172
100	-	-	-	0.02330	0.02641	0.03036	0.03277
120	-	-	-	0.01810	0.02108	0.02467	0.02679
160	-	-	-	0.01107	0.01427	0.01750	0.01929

¹ Wukalowitzch حسب

الجدول 23: التالي $kJ/kg \cdot h$ للبخار الزائد التسخين¹

P bar = 105 Pa	درجة حرارة التسخين الزائد °C						
	200	260	300	360	400	460	500
1	2875.2	2994.1	3074.1	3195.7	3278.0	3404.5	3489.6
2	2870.5	2991.0	3071.7	3193.9	3276.5	3403.1	3488.6
4	2860.6	2984.7	3066.7	3190.2	3273.4	3401.1	3486.5
6	2850.2	2978.2	3061.7	3186.4	3270.3	3398.2	3484.0
8	2839.2	2971.6	3056.5	3182.7	3267.2	3396.0	3482.0
10	2827.5	2964.8	3051.3	3178.9	3264.0	3393.1	3480.2
15	2795.3	2947.0	3037.9	3169.3	3256.1	3387.2	3475.2
20	-	2927.0	3024.0	3159.5	3248.1	3381.0	3469.7
25	-	2907.5	3009.4	3149.6	3239.9	3375.1	3464.3
30	-	2885.5	2994.2	3139.3	3231.6	3366.8	3456.4
40	-	2835.6	2961.5	3118.2	3214.5	3353.7	3445.2
50	-	-	2925.4	3095.9	3196.9	3340.4	3433.8
60	-	-	2885.0	3072.4	3178.6	3326.8	3422.2
80	-	-	2785.4	3021.3	3140.1	3298.6	3398.5
100	-	-	-	2963.3	3098.5	3209.3	3374.1
120	-	-	-	2896.6	3053.3	3238.6	3349.0
160	-	-	-	2717.8	2949.7	3173.0	3296.3

8. الهواء الرطب

m كمية الهواء الرطب kg

m_L كمية الهواء الجاف في كمية الهواء الرطب kg

m_D كمية بخار الماء في كمية الهواء الرطب kg

V_i حجم الهواء الرطب m^3

p ضغط الهواء الرطب

p_D الضغط الجزئي لبخار الماء

p_D ضغط الإشباع لبخار الماء عند درجة حرارة t

p_L الضغط الجزئي للهواء الجاف

t درجة حرارة الهواء الرطب $^{\circ}\text{C}$

ρ_D كثافة بخار الماء kg/m^3

ρ_D كثافة بخار الماء عند الإشباع kg/m^3

ρ_{TL} كثافة الهواء الجاف kg/m^3

x محتوى الرطوبة للهواء الرطب في kg بخار ماء لكل 1 kg هواء جاف

x' محتوى الرطوبة عند الإشباع

h انتالي الهواء الرطب kJ/kg للهواء الجاف (من 1 kg هواء جاف و $x \text{ kg}$ بخار ماء)
(ماء)

$$\phi = \frac{p_D}{p_D'} = \frac{p_D}{p_D'} \quad \text{الرطوبة النسبية}$$

$$\psi = \frac{x}{x'} \quad \text{درجة الإشباع}$$

$$x = \frac{m_D}{m_L} = \frac{p_D}{p_{TL}} \quad \text{محتوى الرطوبة}$$

$$x = 0.622 \frac{p_D}{p - p_D} = 0.622 \frac{\phi p_D'}{p - \phi p_D'}$$

$$x' = 0.622 \frac{p_D'}{p - p_D'}$$

$$= p - p_D \quad p_L \quad \text{الضغط الجزئي للهواء الجاف}$$

$$p_L = \frac{0.622}{0.622 + x} p$$

$$p_D = \phi p_D' = p - p_L$$

$$p_D = \frac{x}{0.622 + x} p \quad \text{الضغط الجزئي لبخار الماء}$$

$$h = 1.004 \frac{\text{kJ}}{\text{kg K}} t + x \left(2.500 \frac{\text{kJ}}{\text{kg}} + 1.86 \frac{\text{kJ}}{\text{kg K}} t \right)$$

$$v = \frac{R_L T}{p} (1 + 1.607 x)$$

$$v = \frac{R_D T}{p} (0.622 + x)$$

$$V_t = m_L v = m v_f$$

$$v_f = \frac{V_f}{m} = \frac{v}{1+x}$$

$$m = m_D + m_L = m_L (1 + x)$$

$$m_D = x m_L$$

$$m_L = \frac{m}{1+x} = \frac{V_f}{v}$$

$$Q = m_L (h_2 - h_1)$$

T درجة حرارة الهواء الرطب K

$$R_L = 0.2871 \frac{\text{kJ}}{\text{kg K}} = 29.27 \frac{\text{kpm}}{\text{kg K}}$$

$$R_D = 0.4614 \frac{\text{kJ}}{\text{kg K}} = 47.05 \frac{\text{kpm}}{\text{kg K}}$$

$$1 \text{ bar} = 10^5 \frac{\text{N}}{\text{m}^2} = 10^2 \frac{\text{kJ}}{\text{m}^3}$$

v الحجم النوعي للهواء الرطب

في kg/m^3 من الهواء الجاف

ويساوي kg (1 + x) هواء رطب

v_f الحجم النوعي للهواء الرطب

في kg/m^3 من هواء رطب

تغير الحالة حينما $x = \text{const}$

مزج كميتين من الهواء

لأجل مزج كمية هواء m_1 من حالة t_1 و x_1 مع كمية هواء m_2 وحالة t_2 و x_2 نطبق:

$$m_m = m_1 + m_2$$

$$m_m = m_{L1}(1 + x_1) + m_{L2}(1 + x_2)$$

$$h_m = \frac{m_{L1} h_1 + m_{L2} x_2}{m_{L1} + m_{L2}}$$

$$x_m = \frac{m_{L1} x_1 + m_{L2} x_2}{m_{L1} + m_{L2}}$$

إن نقطة حالة الهواء المزوج تقع

في مخطط h, x على المستقيم

المتشكل لكلا نقطتي الحالة المركبة

وتقسم المسافة بنسب عكسية لكلا

كميتي الهواء الصافي m_{L1} و m_{L2}

يمكن أخذ قيم لـ t, h, v, x, ϕ

$$t_m = \frac{h_m + 2500 \frac{\text{kJ}}{\text{kg}} x_m}{1.004 \frac{\text{kJ}}{\text{kg K}} + 1.86 \frac{\text{kJ}}{\text{kg K}}}$$

من المخطط - h.x (قديمًا - i.x) من الهواء الرطب

$$\frac{m_{L2}}{m_{L1}} = \frac{h_m - h_1}{h_2 - h_m} = \frac{x_m - x_1}{x_2 - x_m}$$

$$\frac{m_{L1} + m_{L2}}{m_{L2}} = \frac{h_2 - h_1}{h_m - h_1} = \frac{x_2 - x_1}{x_m - x_1}$$

9. انتقال الحرارة

Q تدفق الحرارة مقاسة بوحدة W (0.86 kcal/h) W (kcal/h) †

λ عامل التوصيل الحراري مقاسة بوحدة W/m K † kcal/m h K

α عامل الانتقال الحراري (W/m² K † kcal/m² h K)

k عامل النفاذ الحراري (W/m² K † kcal/m² h K)

C عامل الإشعاع (W/m² K⁴ † kcal/m² h K⁴)

A المساحة التي تتدفق خلالها الحرارة أو الطبقة m²

δ سماكة الجدار أو الطبقة m

1.9 انتقال الحرارة بالحمل

$$Q = \frac{\lambda}{\delta} A(t_i - t_a)$$

الانتقال بالتوصيل خلال سطح ذو طبقة واحدة (الشكل 218)

$$Q = \frac{A(t_i - t_a)}{\frac{\delta_1}{\lambda_1} + \frac{\delta_2}{\lambda_2} + \dots + \frac{\delta_n}{\lambda_n}}$$

الانتقال بالتوصيل خلال سطح ذو طبقات متعددة (الشكل 219)

$$Q = \frac{A(t_i - t_a)}{\sum \frac{\delta}{\lambda}}$$

$$Q = \frac{\lambda_1}{\delta_1} (A(t_i - t')) = \frac{\lambda_2}{\delta_2} A(t' - t'') = \frac{\lambda_3}{\delta_3} A(t'' - t_a)$$

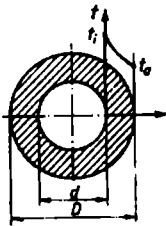
الشكل 219

$$[\lambda] = \frac{Jm}{sm^2 K} = \frac{J}{sm K} = \frac{W}{m K}$$

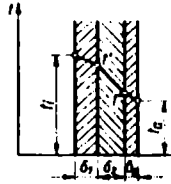
$$1 \frac{W}{m K} = 0.86 \frac{kcal}{mh K}$$

$$Q = \frac{2\pi L \lambda (t_i - t_a)}{\ln \frac{D}{d}}$$

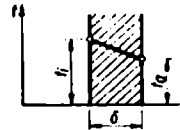
الانتقال بالحمل عبر سطح أنبوب ذو طبقة واحدة (الشكل 220)



الشكل 220



الشكل 219



الشكل 218

$$Q = \frac{2\pi L (t_i - t_a)}{\sum \frac{1}{\lambda} \ln \frac{D}{d}}$$

الانتقال بالحمل عبر سطح أنبوب ذو طبقات متعددة

$$Q = \frac{2\pi L (t_i - t_a)}{\frac{1}{\lambda_1} \ln \frac{D_1}{d_1} + \frac{1}{\lambda_2} \ln \frac{D_2}{d_2} + \dots + \frac{1}{\lambda_n} \ln \frac{D_n}{d_n}}$$

الجدول 24 : عامل الحمل الحراري λ

عامل التوصيل الحراري مقاس بوحدة		درجة الحرارة °C	المادة
$\frac{kcal}{mh K}$	$\frac{W}{m K}$		
175	204	20	النيوم
30	35	20	رصاص
300	350	20	نحاس

عامل التوصيل الحراري مقاس بوحدة		درجة الحرارة °C	المادة
$\frac{kcal}{mhK}$	$\frac{W}{mK}$		
95	110	20	نحاس أصفر
60	70	20	نيكل
45	52	20	فولاذ
95	110	20	توتياء
55	64	20	قصدير
0.40	0.47	20	أحجار القرميد
0.75	0.88	20	جدار خارجي
0.60	0.7	20	جدار داخلي
1.3	1.5	20	بيتون مسلح
3	3.5	20	غرانيت
0.09	0.1	20	صفائح رقيقة البنيان — صوف خشي
0.75	0.9	20	حجر الموقد الداخلي
0.9	1.1	400	حجر الموقد الداخلي
1.06	1.2	800	حجر الموقد الداخلي
0.062	0.07	50	حصى
0.069	0.08	200	حصى
0.03	0.035	0	صوف زجاجي
0.032	0.038	0	فلين
0.08 ... 0.15	0.1 ... 0.18	20	أحجار مراحل غني بالسليسيوم
0.4 ... 0.8	0.5 ... 0.9	20	أحجار مراحل غير بالجير
1.6 ... 2.1	1.9 ... 2.5	20	أحجار مراحل غني بالجبس

2.9 انتقال الحرارة

لانتقال الحرارة من وسط سائل محرك أو وسط غازي إلى جدار تطبق المعادلة التالية:

$$Q = \alpha A(t - t_w)$$

t درجة حرارة الوسيط

t_w درجة حرارة الجدار

α عامل انتقال الحرارة $W/(m^2 K)$

$$1 \frac{W}{m^2 K} = 0.86 \frac{kcal}{m^2 h K}$$

يتم تحديد عامل انتقال الحرارة من مقادير الحالة المعروفة لانتقال الحرارة.

تعطى القيم الوسطية لعوامل انتقال الحرارة في الجدول 25، والتي يمكن اعتبارها كقيم حقيقية.

الجدول 25: عوامل انتقال الحرارة

عوامل انتقال الحرارة		الوسط
$\frac{kcal}{m^2 h K}$	$\frac{W}{m^2 K}$	
7	8	هواء في الجدار الداخلي
25	30	هواء في الجدار الخارجي
حتى 100	حتى 100	هواء في الجدار الخارجي عند التدفق
3 ... 15	4 ... 18	هواء وغازات عند تدفق حر
10 ... 100	12 ... 120	غازات متدفقة (هواء غازات مدخنة، الخ)
600 ... 1000	700 ... 1200	بخار ساخن متدفق
500 ... 2000	600 ... 2300	ماء في المراجل والأوعية عند دوران طبيعي
4000	4600	ماء عند التحريك
1000 ... 5000	1200 ... 6000	ماء متدفق
2000 ... 6000	2300 ... 7000	ماء مغلي
8000 ... 10000	9000 ... 12000	بخار رطب
8000 ... 12000	9000 ... 14000	بخار ماء متكاثف

3.9 انتقال الحرارة بالإشعاع

Q تدفق الحرارة بالإشعاع بين
سطحين متوازيين

$$Q = C'A \left[\left(\frac{T_1}{100} \right)^4 - \left(\frac{T_2}{100} \right)^4 \right]$$

$$C' = \frac{1}{1/C_1 + 1/C_2 - 1/C_3}$$

C' عامل الإشعاع الناتج عن
الإشعاع بين سطحين متوازيين

$$C_s = 5.77 \frac{W}{m^2 K^4} = 4.96 \frac{kcal}{m^2 h K^4}$$

C_s عامل الإشعاع للأشعة السوداء

$$Q = C''A_1 \left[\left(\frac{T_1}{100} \right)^4 - \left(\frac{T_2}{100} \right)^4 \right]$$

الإشعاع بين المساحة A₂ والمساحة
A₁، حيث أن المساحة A₁ محاطة
بالمساحة A₂

$$C'' = \frac{1}{1/C_1 + A_1/A_2(1/C_2 - 1/C_3)}$$

$$C'' = C_1$$

تطبق فقط عندما تكون A₂ >> A₁

4.9 انتقال الحرارة بالإشعاع والحمل

انتقال الحرارة بالإشعاع والحمل

$$Q = (\alpha + \alpha_{ray}) A(t_1 - t_2)$$

$$Q = \alpha_{tot} A(t_1 - t_2)$$

$$\alpha_{tot} = \alpha + \alpha_{ray}$$

$$\alpha_{ray} = \frac{C'' \left[\left(\frac{T_1}{100} \right)^4 - \left(\frac{T_2}{100} \right)^4 \right]}{T_1 - T_2}$$

عامل انتقال الحرارة بالإشعاع

المجدول 26: عوامل الإشعاع C

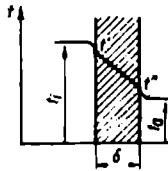
عامل الإشعاع		درجة الحرارة °C	المادة
$\frac{\text{kcal}}{\text{m}^2 \text{hK}^4}$	$\frac{W}{\text{m}^2 \text{K}^4}$		
0.3	0.35	20	صفائح الفولاذ - مصقولة لماعة
1.25	1.45	25	صفائح الفولاذ - نطلية بالتوتياء
3.30	3.85	20	صفائح الفولاذ - مدرفلة
4.00	4.65	25	فولاذ صب رمادي، مغطى بالرمادي
0.26	.03	100 ... 500	النتيوم، مصقول، ملمع
0.4	0.46	100 ... 500	النتيوم، مسحوب
1.5	1.8	100 ... 500	النتيوم، مسحوب بالرمل
1.40	1.7	25	رصاص، مؤكسد
0.20	0.23	20	نحاس، مصقول
3.86	4.5	25	نحاس أسود
4.7	5.4	20	حجر الآجر
3.70	4.3	1000	حجر الموقد الداخلي

5.9 النفوذ الحراري

النفوذ الحراري عبر جدار مستو (الشكل 221)

$$Q = kA(t_1 - t_2)$$

$$Q = \alpha_1 A(t_1 - t') = \frac{\delta}{\lambda} A(t' - t'') = \alpha_2 A(t' - t_2)$$



الشكل 221

$$k = \frac{1}{1/\alpha_i + \delta/\lambda + 1/\alpha_a}$$

عامل انتقال الحرارة الكلي لجدار ذو طبقة واحدة (الشكل 221)

$$k = \frac{1}{1/\alpha_i + \sum \frac{\delta}{\lambda} + 1/\alpha_a}$$

عامل انتقال الحرارة الكلي لجدار ذو طبقات متعددة

النفوذ الحراري خلال جدار أنبوب

$$Q = k\pi L(t_i - t_a)$$

عامل النفوذ الحراري الكلي لجدار

$$k = \frac{1}{\frac{1}{\alpha_i d} + \frac{1}{2\lambda} \ln \frac{D}{d} + \frac{1}{\alpha_a D}}$$

أنبوب ذو طبقة واحدة

$$k = \frac{1}{\frac{1}{\alpha_i d_i} + \sum \frac{1}{2\lambda} \ln \frac{D}{d} + \frac{1}{\alpha_a D_a}}$$

عامل النفوذ الحراري الكلي لجدار

أنبوب ذو طبقات متعددة

الأنابيب ذات الجدران الرقيقة

في الأنابيب المعدنية ذات الجدران الرقيقة والتي تملك قابلية التوصيل الحراري العالية، يمكن إهمال تأثير مقاومة التوصيل الحراري للأنبوب.

$$Q = \frac{\alpha_i \alpha_a}{\alpha_i + \alpha_a} \frac{d+D}{2} \pi L (t_i - t_a)$$

عندما $\alpha_i \approx \alpha_a$ ، نطبق:

$$Q = \alpha_a \pi D L (t_i - t_a)$$

عندما $\alpha_i \ll \alpha_a$ ، نطبق:

$$Q = \alpha_i \pi d L (t_i - t_a)$$

عندما $\alpha_i \ll \alpha_a$ ، نطبق:

الأنبوب المعزول

عند انتقال حرارة سيء من خلال أنبوب معزول يمكن استنتاج قيمة انتقال الحرارة

$$Q = \frac{\pi L (t_i - t_a)}{\frac{1}{2\lambda_1} \ln \frac{D_1}{d_1} + \frac{1}{\alpha_a D_1}}$$

λ قابلية التوصيل الحرارية للعازل

D_1 القطر الخارجي للعازل

d القطر الداخلي للعازل

6.9 المبادل الحراري

من أجل انتقال الحرارة في مبادل حراري نطبق القانون الأساسي:

$$Q = kA \Delta t_m$$

Δt_m فرق انتقال الحرارة الوسطي اللوغاريتمي
على طول الأوساط الجريانية لسطح الناقل

$$\Delta t_m = \frac{\Delta t_{Gr} - \Delta t_{Kl}}{\ln \frac{\Delta t_{Gr}}{\Delta t_{Kl}}}$$

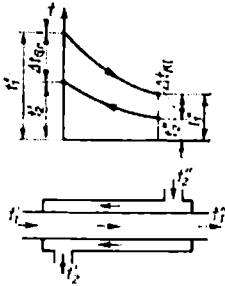
Δt_m فرق درجة الحرارة الوسطي

في التيار ذو الاتجاه الواحد (شكل 222)

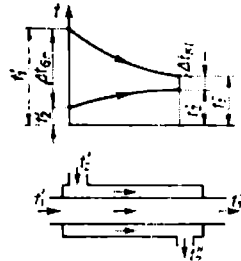
$$\left. \begin{aligned} \Delta t_{Gr} &= t_1' - t_2' \\ \Delta t_{Kl} &= t_1'' - t_2'' \end{aligned} \right\}$$

وفي التيار المتعاكس (شكل 223)

عند الجريان العرضي أو المتصالب يمكن تحديد الحساب العملي بدقة كافية لـ Δt_m عن طريق صيغة التيار المتعاكس.



الشكل 223



الشكل 222

الهندسة الكهربائية

1. هندسة التيار المستمر العامة

ρ	المقاومة النوعية $\Omega\text{mm}^2/\text{m}$
ρ'	المقاومة النوعية $\Omega\frac{\text{cm}^2}{\text{cm}} = \Omega\text{cm}$
s	سماكة الجدار، طول المسافة
A	المقطع، بشكل عام
l	طول الناقل الكلي
α_{20}	عامل درجة الحرارة عند 20°C مقاس بالواحدة K^{-1}
χ	قدرة الناقلية Sm/mm^2
R_θ	المقاومة عند $\theta^\circ\text{C}$
R_{20}	المقاومة عند 20°C
θ_0	ثابت درجة الحرارة
	$\text{Cu} = 235^\circ\text{C}$
	$\text{Al} = 250^\circ\text{C}$
θ_1	درجة الحرارة الابتدائية $^\circ\text{C}$

1.1 قانون Ohm

$$U = IR$$

فرق الجهد (R = const)

$$W = Pt = UIt = I^2Rt = U^2t/R$$

العمل

$$P = W/t = UI = I^2R = U^2/R$$

الاستطاعة

المقاومة النوعية وقدرة التوصيل

$$R = \frac{\rho l}{A} = \frac{l}{\chi A}$$

للتواصل

$$R = \frac{\rho' s}{A}$$

للعوازل

$$*\rho' = \rho \cdot 10^{-4}$$

تأثير درجة الحرارة على قيمة المقاومة

$$R_{\theta} = R_{20}[1 + \alpha_{20}(\theta - 20^{\circ}\text{C})] = R_{20} \left(1 + \frac{\theta - 20^{\circ}\text{C}}{\theta_0 + \theta_1} \right)$$

قياس درجة الحرارة (مثلاً اللغات)

$$\theta_2 - \theta_1 = \frac{R_{\text{warm}} - R_{\text{cold}}}{R_{\text{cold}} \alpha_{20}} = \frac{R_{\text{warm}} - R_{\text{cold}}}{R_{\text{cold}}} (\theta_0 + \theta_1)$$

مع ازدياد درجة الحرارة تزداد المقاومة النوعية في المعادن بمعدل $\rho_{20} \alpha_{20} \Delta v$

$$\rho_{\theta} = \rho_{20} [1 + \alpha_{20}(\theta - 20^{\circ}\text{C})]$$

تنخفض المقاومة الكربونية وأنصاف النواقل بارتفاع درجة الحرارة.

(الجدول 27) المقاومة النوعية، قيمة التوصيل، عوامل درجات الحرارة

α_{20} K^{-1}	χ_{20} Sm/mm^2	ρ_{20} $\Omega\text{mm}^2/\text{m}$	المعدن
0.0038	33.3	0.03	النيوم
0.0046	10 ... 6.7	0.1 ... 0.15	الحديد

α_{20} K ⁻¹	χ_{20} Sm/mm ²	ρ_{20} $\Omega\text{mm}^2/\text{m}$	المعدن
0.0040	57.2	0.0175	النحاس
0.0016	14 ... 12.5	0.07 ... 0.08	نحاس أصفر
0.0040	10	0.1	نيكل
0.0009	1.04	0.96	زئبق
0.0037	62.5	0.016	فضة
0.0040	18.2	0.055	تغستين
$5 \cdot 10^{-6}$	2.0	0.5	كرونتاتان
$4 \cdot 10^{-6}$	2.3	0.43	مانغانين (WM 43)

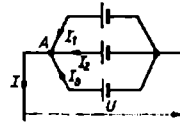
2.1 قانون Kirchoff

1. القانون الأول: $\sum I = 0$

في كل عقدة يكون المجموع المميز لكل التيارات يساوي الصفر
من العقدة A (الشكل 224) تطبق:

$$I_1 + I_2 + I_3 - I = 0$$

$$\sum I = 0$$

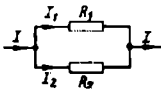


الشكل 224

تفرعات التيار

$$\frac{I_1}{I_2} = \frac{R_2}{R_1}$$

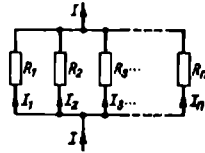
مقاومتان (الشكل 225)



الشكل 225

$$\frac{I_1}{I} = \frac{R_p}{R_1}; \quad \frac{I_2}{I} = \frac{R_p}{R_2};$$

$$\frac{I_n}{I} = \frac{R_p}{R_n}$$

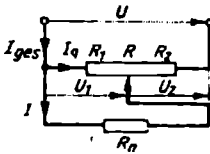


الشكل 226

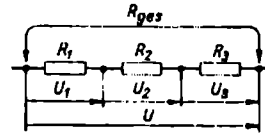
R_p المقاومة المكافئة للوصل على التوازي (الشكل 226)

2. القانون الثاني: $\Sigma E = \Sigma IR = \Sigma U$

في كل دائرة كهربائية يكون مجموع الجهود الأصلية مساوياً إلى الجهود المتفرعة في الدائرة المغلقة.



الشكل 228



الشكل 227

3.1 توصيل المقاومات ومنابع الجهد

الوصل على على التسلسل

$$R_{tot} = R_1 + R_2 + R_3$$

المقاومة المكافئة (الشكل 227)

$$R_{tot} = nR$$

عند تساوي المقاومات n

$$E_{tot} = E_1 + E_2 + E_3$$

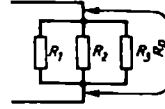
الجهود الكلي (الشكل 228)

$$I = I_1 = I_2 = I_3$$

الوصل على التوازي (الشكل 229)

$$\frac{1}{R_p} = \frac{1}{R_1} + \frac{1}{R_2} + \frac{1}{R_3}$$

$$G_{tot} = G_1 + G_2 + G_3$$



الشكل 229

$$R_p = \frac{1}{\frac{1}{R_1} + \frac{1}{R_2} + \frac{1}{R_3}}$$

المقاومة المكافئة

$$R_p = \frac{R_1 R_2}{R_1 + R_2}$$

في حال مقاومتين

$$R_p = \frac{R}{n}$$

في حال المقاومات المتساوية n

$$U = U_1 = U_2 = U_3$$

$$I = I_1 + I_2 + I_3$$

التيار الكلي

مقسم الجهد، (مقياس الشدة)، أشكال أجزاء الجهد (الشكل 230)

$$U_1 = U \frac{R_1}{R_1 + R_2}$$

بدون حمل ($R_3 = \infty$)

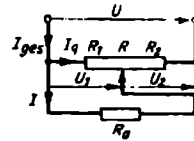
$$U_2 = U \frac{R_2}{R_1 + R_2}$$

$$I_q = \frac{U}{R}$$

التيار العرضي

مع حمل ($R_3 \neq \infty$)

$$U_1 = IR_1 = I_q R_1$$



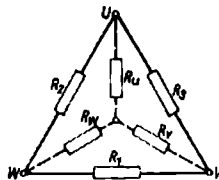
الشكل 230

$$I = \frac{UR_1}{R_1R_2 + R_1R_3 + R_2R_3}$$

$$= \frac{UR_1}{R(R_1 + R_2) - R_1^2}$$

التحويل من مثلثي إلى نجمي (الشكل

(231)



الشكل 231

$$R_u = \frac{R_2R_3}{R_1 + R_2 + R_3}$$

$$R_v = \frac{R_1R_3}{R_1 + R_2 + R_3}$$

$$R_w = \frac{R_1R_2}{R_1 + R_2 + R_3}$$

$$R_1 = \frac{R_uR_v + R_vR_w + R_wR_u}{R_u}$$

$$R_2 = \frac{R_uR_v + R_vR_w + R_wR_u}{R_v}$$

$$R_3 = \frac{R_uR_v + R_vR_w + R_wR_u}{R_w}$$

التحويل من التوصيل المثلثي إلى
التوصيل النجمي المكافئ

التحويل من التوصيل النجمي إلى
التوصيل المثلثي المكافئ

4.1 توصيل الشبكات Kirchoff

أولاً. الحساب بمساعدة قوانين Kirchoff:

1. في كل دائرة مغلقة يكون مجموع الجهود الأصلية مساوياً لمجموع تفرعات الجهد.

2. يمكن في دائرة مكونة من n نقطة و n تيارات خارجية أن يكون $(n-1)$ تياراً فقط مستقلاً عن بعضه البعض. وينتج التيار الأخير حسب قاعدة نقطة العقدة.

3. قبل حساب أية دائرة ينبغي تحديد الخطوات التالية: (الشكلين 232، و 233)

(أ) تحديد عشوائياً لاتجاه الدوران.

(ب) تحديد اتجاه تشغيل التيار في منابع الجهد (الاتجاه الهندسي للتيار).

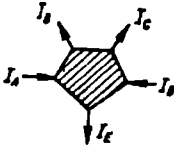
(ج) تحديد افتراضي للتيارات في الفروع الوحيدة.

(د) تأخذ الجهود التي مع اتجاه الدوران إشارة موجبة في حين تأخذ الجهود ذات الاتجاه المعكوس الإشارة السالبة.

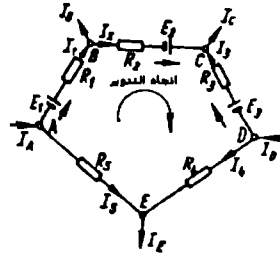
(هـ) تأخذ انخفاضات الجهود في المقاومات اتجاه التيارات التابعة لها.

$$I_A + I_D = I_B + I_C + I_E$$

$$E_1 + E_2 - E_3 = I_1 R_1 + I_2 R_2 - I_3 R_3 + I_4 R_4 - I_5 R_5$$



الشكل 233



الشكل 232

ثانياً. تحويل الشبكة (فقط عندما لا يكون هناك جهود أصلية في أجزاء الشبكة ومن أجل المقاومات الخطية) التحويل من نجمي إلى مثلثي (الشكل 231).

ثالثاً. قانون التقاطع (قانون الوضع الأمثل) يطبق لجميع الشبكات الخطية، إن التيارات في الفروع لشبكة خطية مع نهاية جهود أصلية كثيرة، تساوي مجموع التيارات الفرعية التي تسبب من خلال الجهود الأصلية المنفردة

يمكن اختصار الجهود الأصلية للدائرة في كل مرة حتى واحدة، وحساب التيارات الفرعية، كما لو كانت الجهود السابقة المذكورة غير موجودة. إن التيار المتفرع المطلوب يساوي إلى مجموع كل التيارات الجزئية المحسوبة.

يجب الانتباه إلى اتجاه التيار عند الجمع.

$$I_{AB} = I_1' + I_2'$$

كلا المولدان يعملان

$$I_{AB} = \frac{E_1 R_{i2} + E_2 R_{i1}}{R_{i1} + R + R_{i1} R_{i2} + R_{i2} R}$$

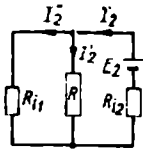
(انتبه لاتجاه الجهد) (الشكل 234)

$$I_1' = \frac{E_1 R_{i2}}{R_{i1} R + R_{i1} R_{i2} + R_{i2} R}$$

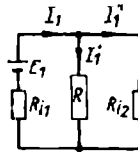
المولد الأول يعمل (شكل 235)

$$I_2' = \frac{E_2 R_{i1}}{R_{i1} R + R_{i1} R_{i2} + R_{i2} R}$$

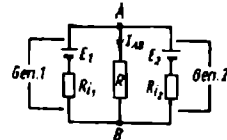
المولد الثاني يعمل (شكل 236)



الشكل 236



الشكل 235

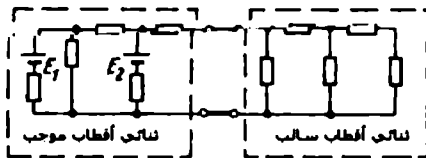


الشكل 234

رابعاً: الحساب مع منبع جهد بديل (نظرية ثنائي الأقطاب) (شكل 237)

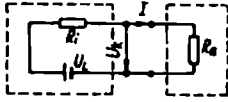
ثنائي الأقطاب الموجب هو ثنائي الأقطاب، الذي يحوي قوى محرّكة كهربائية.

ثنائي الأقطاب السالب هو ثنائي الأقطاب، الذي يحوي فقط على مقاومات.



الشكل 237

التوصيل المكافئ (شكل 238)



الشكل 238

$$I = \frac{U_L}{R_i + R_a} = I_K \frac{R_i}{R_i + R_a}$$

U_L الجهد على فراغ عند

$$I_K = \frac{U_L}{R_i}$$

$R_a \rightarrow \infty$ ؛ أي $I = 0$

$$U_K = IR_a = U_L \frac{R_a}{R_i + R_a} = U_L - IR_i$$

U_K جهد التوصيل (اللاقط)

$I_K = 0$ تيار القصر (التيار الأصلي)

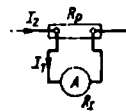
تحسب المقاومة الداخلية المكافئة R_i كمقاومة كلية ابتداءً من الدخول، حيث ينبغي قصر منبع الجهد.

5.1 قياسات التيار المستمر

توسيع مجال القياس لأجهزة القياس (بشكل أفضل ملفات الدوران)

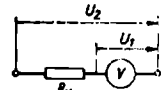
$$R_v = R_U \left(\frac{U_2}{U_1} - 1 \right) \quad \text{الشكل 239}$$

$$R_p = \frac{R_I}{\frac{I_2}{I_1} - 1} \approx R_I \frac{I_1}{I_2} \quad \text{الشكل 240}$$



الشكل 240

قياس التيار



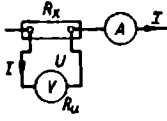
الشكل 239

قياس الجهد

6.1 قياس المقاومة

$$R_x = \frac{U}{I}$$

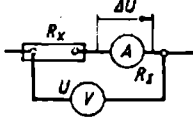
(قياس الجهد والتيار (الشكلين 241 و242)



الشكل 241

مخصص لقياس التيار العالي جداً، عندما
 $R_x \ll R_U$

$$\Delta I = \frac{U}{R_U}$$



الشكل 242

مخصص لقياس الجهد العالي جداً، عندما
 $R_x \gg R_I$

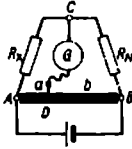
$$\Delta U = R_I I$$

(جهاز قياس ذو تسجيل استطاعة صغيرة بشكل غير مباشر لـ R_x يعطي خطأ صغيراً. عند التصحيح الحسابي يكون أيضاً التوصيل حسب الشكل 241 سديداً).

$$f = \frac{R_x}{R_U} 100\% \quad f = \frac{R_I}{R_x} 100\%$$

$$R_x = R_N \frac{a}{b}$$

ب(1) جسر قياس Kirshoff (الشكل 243)



الشكل 243

في الدارة المتوازنة شبكة بين A و B و G،
 مقياس مؤشر صفري أكبر حساسية وسط
 الشبكة (إذاً اختيار R_N في الموقع الأكبر من
 R_x ما أمكن)

$$R_x = R_N \frac{R_1}{R_2}$$

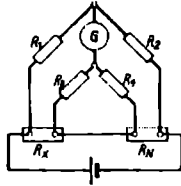
ب(2) جسر Wheatstone الشكل (244)

$$R_x = R_N \frac{R_1}{R_2} = R_N \frac{R_3}{R_4}$$

ج(3) جسر Thomson (الشكل 245)

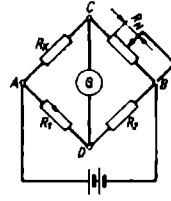
$$\frac{R_1}{R_2} = \frac{R_3}{R_4} \quad \text{غالباً} \quad R_1 = R_3 \quad R_2 = R_4$$

مقاومات مضاعفة



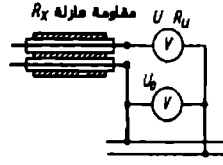
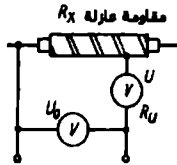
الشكل 245

$$R_x = \left(\frac{U_0}{U} - 1 \right) R_U$$



الشكل 244

(د) مقياس الجهد (خاص للمقاومات العازلة) (الشكل 246)

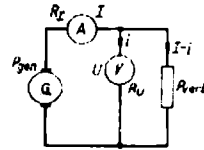


الشكل 246

7.1 قياس الاستطاعة من خلال قياس الجهد والتيار (الأشكال 247 و 248)

$$P_{\text{cons.}} = U(I - i) = UI - \frac{U^2}{R_U}$$

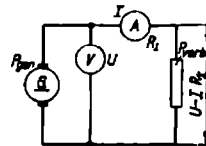
$$P_{\text{gen}} = (U + IR_1)I = UI + I^2 R_1$$



الشكل 247

$$P_{\text{verb}} = (U - IR_1)I = UI - I^2 R_1$$

$$P_{\text{ges}} = U \left(I + \frac{U}{R_U} \right) = UI + \frac{U^2}{R_U}$$



الشكل 248

$$\frac{U^2}{R_U} \text{ تحول الاستطاعة لقياس الجهد}$$

$$I^2 R_I \text{ تحويل الاستطاعة لقياس شدة التيار}$$

P_{cons} الاستطاعة المستهلكة

P_{gen} استطاعة المولدة

يكون توصيل الجهد الصحيح للحساب مناسباً، وغالباً ليس هناك ضرورة للتصحيح، وذلك عندما يطبق في جهاز القياس التوصيل مع أصغر خطأ عن طريق محول الاستطاعة.

2. الحقل المغناطيسي

N عدد اللفات

Φ التدفق المغناطيسي

Θ الفيض المغناطيسي

R_m المقاومة المغناطيسية

s طول خطوط الحقل المغناطيسي

A المساحة الكلية للتدفق، المطبق عمودياً على التدفق المغناطيسي

$$\Theta = IN$$

الجهد الأصلي المغناطيسي، الفيض

المغناطيسي، القوة المحركة المغناطيسية

$$\Phi = \frac{\Theta}{R_m}$$

قانون Ohm للدائرة المغناطيسية، من أجل

$R_m = \text{const}$ ، هذا يعني أن $\mu_r = \text{const}$

$$R_m = \frac{s}{\mu A} = \frac{s}{\mu_0 \mu_r A}$$

$$\mu_0 = 1.257 \times 10^{-8} \text{ H/cm}$$

ثابت التحريض

$$= 0.4\pi \times 10^{-8} \text{ H/cm}$$

$$= 0.4\pi \times 10^{-8} \text{ Vs/A cm}$$

$$1.000\ 0004 = \mu_L \text{ في الهواء } \mu_r$$

عامل قابلية المغنطة

$$\mu = \mu_0 \mu_r$$

قابلية المغنطة

$$\Lambda = \frac{l}{R_m}$$

قيمة التوصيل المغناطيسي

$$H = \frac{\Theta}{s}$$

شدة الحقل المغناطيسي في حقل متجانس

$$H = \frac{d\Theta}{ds}$$

شدة الحقل المغناطيسي في حقل غير متجانس

$$\Theta = \oint H \, ds$$

من أجل دورة مغلقة

$$= \sum H_s \, ds = H_1 s_1 + H_2 s_2 + \dots + H_n s_n$$

$$B = \frac{\Phi}{A}$$

كثافة التدفق في حقل متجانس

$$B = \frac{d\Phi}{dA}$$

كثافة التدفق في حقل غير متجانس

$$H_L = \frac{1}{s} = \frac{1}{2\pi r}$$

تخريض الحقل المغناطيسي في الهواء لناقل

$$\mu_0 = 1.257 \times 10^{-8} \text{ H/cm}; \mu_r \approx 1$$

تيار متدفق على بعد r

$$B_L = \mu_0 \mu_r H_L = \mu_0 H_L$$

التخريض وشدة الحقل في الهواء

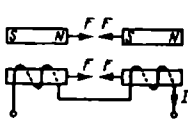
1.2 قواعد المغنطة الكهربائية

قاعدة البريمات (البريمة)

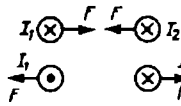
يفترض دوران محور الملف بريمة ذات دوران يميني بنفس الاتجاه المصطلح للتيار، هكذا ينتج اتجاه الحركة لمحور الملف بالاتجاه الموجب للحقل (الشكل 249).

تجذب النواقل المتوازية التي تجري بنفس اتجاه التيار، تتباعد عندما يجري التيار عكس حركتها.

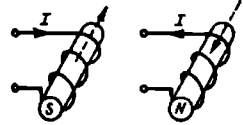
(الشكل 250)، تتباعد الأقطاب المتشابهة، وتجذب الأقطاب غير المتشابهة (يطبق هذا للمغنطة المستمرة والكهربائية) شكل 251.



الشكل 251



الشكل 250



الشكل 249

قاعدة - الأصابع الثلاث

تفتح الأصابع الإبهام، والسبابة والوسطى، بحيث يشكل نظام إحداثي فراغي.



الشكل 252

ترتيب القيم حسب الأصابع المنفردة:

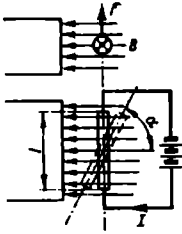
الإبهام	الحركة
السبابة	اتجاه الحقل
الوسطى	اتجاه التيار
عند العزم المحرك	اليد اليسرى
عند العزم المولد	اليد اليمنى

(انظر الشكل 252)

2.2 تأثيرات الحقل المغناطيسي

ناقل التيار المتدفق في الحقل المغناطيسي (شكل 253) إن العوامل الحاسمة لتأثير القوة هي:

التحريض في الحقل، التيار في الناقل، وطول إسقاط الناقل عرضياً لاتجاه الحقل



الشكل 253

$$F = B I / \sin \alpha$$

F مقاسة بالوحدة N

B مقاسة بالوحدة $T = Vs/m^2$ (Tesla)

I مقاسة بالوحدة A

l مقاسة بالوحدة m

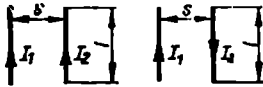
$$*F_{max} = 10.2 \cdot B I l / (kp)$$

في حالة طول ناقل عمودي على خطوط الحقل

B مقاسة بالوحدة Vs/cm^2

I مقاسة بالوحدة A

l مقاسة بالوحدة cm



الشكل 254a

$$F = \pm \frac{\mu_0}{2\pi s} I_1 I_2$$

قوة التأثير بين ناقلين للتيار المتدفق متوازيين

l طول الناقل المتوازي

s بعد الناقل (l و s بنفس الوحدة)

I₁، I₂ تيارات الناقل مقاسة بالوحدة A

$$* F = \pm 2.04 \frac{1}{s} I_1 I_2 (kp)$$

الملف المتحرك في الحقل المغناطيسي

$$|e| = \frac{d\Phi}{dt} = \frac{d\Phi}{\Delta t} = \frac{B/\Delta s}{\Delta t} = B/v$$

يقطع الناقل ذو الطول l المسافة Δs بزمن Δt

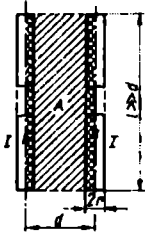
3.2 التحريض الذاتي

التدفق Φ	I	التيار
قطر الملف الوسطي d	l	الطول
d بعد الناقل	$2r$	قطر الناقل
N اللفات	A	المساحة
التحريضية	$L = \frac{\mu_r \mu_0 N^2 A}{l}$	
	$L = \frac{N\Phi}{I} = \frac{l^2}{R_m}$	
الجهود المتحرض	$e_L = -L \frac{di}{dt}$	

(تطبق القوانين من أجل L ملف حلقي غير قابل للتحكم أو ملفات طويلة تمديدية عندما يكون الحقل الخارجي قابل للإهمال وعندما تكون قابلية المغنطة ثابتة، لذلك لا يكون هناك حديد في الدارة).

لفة الناقل (الشكل 254b)

التحريضية حوالي 8% أصغر عند $l = 5d$
 4% أصغر عند $l = 10d$



الشكل 254b

$$* L = 9.2 / l g \frac{d}{r} 10^{-9} (H)$$

$$* L = 4 / l n \frac{d}{r} 10^{-9}$$

باعتبار الفراغ ضمن الملف الناقل، الملفات

$N = 1$ لفة، l مقاسة بالوحدة cm

$$L = l \left(1 + 9.21g \frac{d}{r} \right) 10^{-9}$$

يعتبر أيضاً الفراغ ضمن الناقل

$$L = l \left(1 + 4 \ln \frac{d}{r} \right) 10^{-9} \text{ (H)}$$

$$i = I \left(1 - e^{-\frac{t}{T}} \right)$$

عملية التوصيل من أجل $t = T$

تصبح $i = 0.632 I$ (I قيم النهاية الستاتيكية)

$$T = \frac{L}{R}$$

ثابت الزمن المغناطيسي الكهربائي s —

عندما L — R ، H — L

$$i = I e^{-\frac{t}{T}}$$

عملية الفصل من أجل $t = T$ تصبح $i = 0.368 I$

الجدول 28

\sqrt{T}	0.0	0.2	0.4	0.6	0.8	1.0
$e^{-\sqrt{T}}$	1.000	0.819	0.670	0.549	0.449	0.368
\sqrt{T}	1.5	2.0	2.5	3.0	4.0	5.0
$e^{-\sqrt{T}}$	0.223	0.135	0.082	0.050	0.018	0.007

التحريض المتبادل

عامل التوزيع Heyland

$$\tau_1 = \frac{\text{تدفق التوزيع}}{\text{التدفق المفيد}} = \frac{\Phi_{12}}{\Phi_{12}} < 1$$

عامل التوزيع Hopkinson

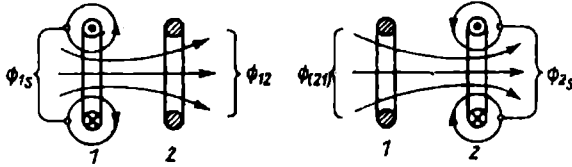
$$v_1 = \frac{\text{التدفق الكلي}}{\text{التدفق المفيد}} = \frac{\phi_1}{\phi_{12}} > 1$$

$$v_1 = \tau_1 + 1$$

$$M = \Delta N_1 N_2 = \mu_0 \frac{A}{l} N_1 N_2$$

عامل التحريض المتبادل

$$M = \frac{N_2 \Phi_{12}}{i_1} = \frac{N_1 \Phi_{12}}{i_2}$$



الشكل 255

عامل التأثير المتبادل لترتيب الملفات (عامل الوصلة k)

$$M = k\sqrt{L_1 L_2}$$

مع توزيع

$$k = 1$$

بدون توزيع

$$\sigma = 1 - k^2 = 1 - \frac{M^2}{L_1 L_2}$$

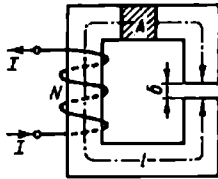
عامل التوزيع Behn-Eschenburg

الحديد في الدارة المغنطة - حساب الملفات

نواة حديدية ذات فراغ هوائي (الشكل 256)

$$L = N^2 \Lambda = N^2 \frac{\mu_r \mu_0 A}{l + \mu_r \delta} = N^2 \frac{\mu_0 A}{\frac{l}{\mu_r} + \delta}$$

يتعلق بـ μ_r



الشكل 256

عندما يكون التحريض ضعيفاً والفراغ ليس صغيراً جداً، يمكن إهمال كمية الفيض للحديد، لذا

$$\left(\frac{1}{\mu_r} \ll \delta \right) \text{ أو أيضاً } \delta \ll \mu_r$$

الضباغات الحرارية للتيار الملف المهيج

$$*P_{Cu} = CS^2 m \text{ (W)}$$

S كثافة التيار مقاسة بالوحدة A/mm²

$$*P_{Cu} = CS^2 M \text{ (kW)}$$

m كتلة الملف g

$$*C = \frac{1}{x\rho}$$

M كتلة الملف مقاسة بالواحدة kg
 ρ كثافة مقاسة بالواحدة g/cm³ أو kg/m³
x قابلية التوصيل الكهربائي Sm/mm²

حساب الملفات

S كثافة التيار A/mm²
U الجهد مقاسة بالواحدة V
 $*\Theta_{max} = A_w k_{Cu} S$
A_w المقطع العرضي للفة mm²
 $*\Theta_{max}$ الفيض الأعظمي
l_m الطول الوسطي m

$$K_{Cu} = \frac{A_{Cu} \text{ المقطع العرضي الفعال للنحاس}}{A_w \text{ المقطع العرضي للفة}} = \text{عامل ملء النحاس}$$

$$*A = \frac{\Theta_{max} l_m}{U x} \text{ mm}^2 \quad \text{المقطع العرضي للسلك}$$

$$*N = \frac{A U x}{l_m} \quad \text{عدد الملفات}$$

$$\frac{\text{طول اللفة}}{\text{اللفات لكل مربع}} = \text{اللفات لكل مربع}$$

(1.05...1.10) قطر السلك المعزول

4.2 طاقة الحقل المغناطيسي

$$W_m = \frac{LI^2}{2} \quad \text{الطاقة المغناطيسية المختزنة أثناء جريان التيار}$$

$$W_m = V \int_0^B H dB \quad \text{الطاقة المغناطيسية المختزنة في حجم الهواء V}$$

$$w_m = \frac{W_m}{V} = \frac{BH}{2} \quad \text{كثافة الطاقة}$$

$$W_m = V \frac{HB}{2} \quad \text{تطبق للحقل المتجانس}$$

$$W_m = \frac{\Theta \Phi}{2}$$

قوة رفع المغنطة الكهربائية

$$F = \frac{B^2 A}{2\mu_0}$$

$$*F \approx A(2B)^2 = 4 A B^2 \text{ (kp)}$$

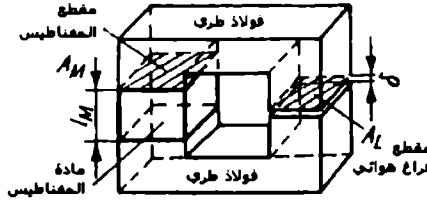
عندما A مقاسة بالواحدة cm² مساحة القطب الكلية

B مقاسة بالواحدة Vs/m²

المغنطة المؤقتة، المغنطة الدائمة

(تحديد القياسات حسب منحنى الأثر المغنطيسي)

تتكون دائرة المغنطة بشكل عام من المغنطة المؤقتة، ودائرة الحديد الطري لتوجيه خطوط المغنطة وفراغات الهواء. (يمكن إهمال ضياعات الحديد الطري عملياً) (الشكل 257).



الشكل 257

δ طول القناة الهوائية

(δ صغيرة بالمقارنة مع مساحة القنوات الهوائية)

شدة الحقل
التحريضي

$$\begin{cases} H_{m \text{ opt}} \\ B_{m \text{ opt}} \end{cases}$$

في نقطة العمل بطاقة أعظمية للمغناطيس

$$\mu_0 = 1.257 \cdot 10^{-9} \text{ Vs/A cm}$$

B_L تحريضي القناة الهوائية

η_m المرودود المغناطيسي (0.4 ... 0.6) مع اعتبار التوزيع

l_M طول المغناطيس

A_L مقطع القناة الهوائية

A_M مقطع المغناطيس

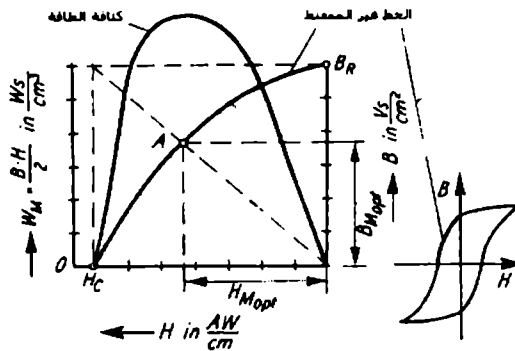
$$l_M = \delta \frac{B_L}{\mu_0 H_{m \text{ opt}}}$$

طول المغناطيس

$$A_M = A_L \frac{B_L}{B_{m \text{ opt}}} \frac{l}{\mu_M}$$

مقطع المغناطيس

تلتقي نقطة العمل المثالية A بدقة كافية مع نقطة تقاطع أقطار المستطيل المتكونة من B_R و H_C مع المنحني غير المغنط في الربع الثاني. الشكل (258)



الشكل 258

3. الحقل الكهربائي

$$E = U/s$$

شدة الحقل الكهربائي (متجانس)

$$E = dU/ds$$

s طول مسافة الهواء (غير متجانس)

$$F = EQ$$

القوة المؤثرة

$$C = Q/U$$

السعة

$$\epsilon_0 = 0.08859 \times 10^{-12} \text{ F/cm}$$

ثابت الحقل الكهربائي (ثابت الحقل المغنط)

$$= 0.08659 \text{ pF/cm} = 8.859 \text{ F/m}$$

$$D = \frac{Q}{A}$$

كثافة تدفق الإزاحة (متجانس)

$$D = \frac{dQ}{dA}$$

(غير متجانس)

ϵ_r

عامل العازلية الكهربائية

(الجدول 29) عوامل العازلية الكهربائية

ϵ_r	المادة	ϵ_r	المادة
1.00059	هواء	1	الفراغ
2.2 ... 2.5	زيت معدني	80	الماء
4.5 ... 5.5	ميكانيت	3.5	خلايا
2 ... 60	سراميك	3.8 ... 5	كوارتز
3.5 ... 3.5	ورق قاس	1.8 ... 2.6	ورق
2 ... 3000	كتل سيراميك خاصة	3 ... 3.5	خشب
2 ... 3.5	مطاط قاس	3.5 ... 4.5	باكليت
4 ... 6	بيرتيناكس Pertinax	4 ... 10	ميكا
4.1 ... 5	ستياتيا Steatit	6 ... 8.3	مرمر
2.7 ... 3.7	شيلاك Schellack	4.5 ... 6.5	بورسلان
		2.1 ... 2.2	بارافين

$$\epsilon = \epsilon_0 \epsilon_r$$

ثابت العازلية

$$C = \frac{\epsilon_r \epsilon_0 A}{l}$$

مكثفات الصفائح

قانون Coulomb في الكهرباء الساكنة

(على بعد s تؤثر شحنتان Q_1, Q_2 [As] بقوة تأثير جاذبة أو مبادعة، حسب ما يكون، وإما أن يكون الشحن متساو الاتجاه أو متعاكس)

$$F = \frac{1}{4\pi\epsilon_0} \frac{1}{\epsilon_r} \frac{Q_1 Q_2}{s^2}$$

$$* F = 89.8 \times 10^{12} \frac{1}{\epsilon_r} \frac{Q_1 Q_2}{s^2} \quad [N]$$

$$* F = 9.16 \times 10^{12} \frac{1}{\epsilon_r} \frac{Q_1 Q_2}{s^2} \quad [kp]$$

$$C = C_1 + C_2 + C_3 + \dots + C_n$$

وصل المكثفات على التوازي

$$\frac{1}{C} = \frac{1}{C_1} + \frac{1}{C_2} + \frac{1}{C_3} + \dots + \frac{1}{C_n}$$

وصل المكثفات على التسلسل

$$C = \frac{C_1 C_2}{C_1 + C_2}$$

مكثفتين على التسلسل

$$C_{\text{ges}} = \frac{C}{n}$$

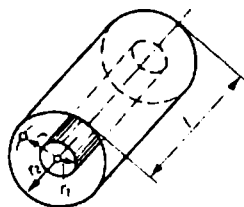
n مكثف متساوي على التسلسل

$$E = \frac{U}{r \ln \frac{r_2}{r_1}}$$

مكثف أسطواني (الشكل 259)

$$*C = \frac{\epsilon_r \epsilon_0 2\pi l}{\ln \frac{r_2}{r_1}} = 0.556 \times 10^{12} \frac{\epsilon_r l}{\ln \frac{r_2}{r_1}} \quad [F]$$

$$*C = 0.0556 \frac{\epsilon_r}{\ln \frac{r_2}{r_1}} \quad [\mu F / km]$$



الشكل 259

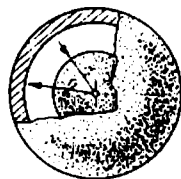
$$U = \frac{Q}{\epsilon_r \epsilon_0 4\pi} \left(\frac{1}{r_1} - \frac{1}{r_2} \right)$$

مكثف كروي

$$*U = 0.899 \times 10^{12} \frac{Q}{\epsilon_r} \left(\frac{1}{r_1} - \frac{1}{r_2} \right) \quad [V]$$

$$*C = \frac{\epsilon_r \epsilon_0 4\pi r_1 r_2}{r_2 - r_1} \quad [F]$$

$$*C = 1.113 \times 10^{-12} \frac{\epsilon_r r_1 r_2}{r_2 - r_1} \quad [F]$$



الشكل 260

$$E_r = \frac{U}{r}$$

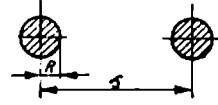
شدة الحقل على سطح كرة منفردة

$$U = \frac{\ln \frac{s}{R}}{\pi \epsilon_0 l} Q$$

$$E_{\max} \approx \frac{U}{2R \ln \frac{s}{R}}$$

توصيل مضاعف (الشكل 261)
(في الهواء $s \ll R$)

$$C_L = \frac{\pi \epsilon_0 l}{\ln \frac{s}{R}}$$



الشكل 261

$$* C_L = 0.278 \times 10^{-12} \frac{1}{\ln \frac{s}{R}} \quad [F];$$

$$C_L = \frac{0.0278}{\ln \frac{s}{R}} \quad [\mu F / km]$$

4. هندسة التوتر العالي

الطاقة المخزنة في حقل كهربائي

$$W_e = \frac{1}{2} C U^2$$

U_d الجهد المطبق الفاضل :-

حقل متجانس	{	$\frac{U_d}{s} \approx 30 \text{ kV/cm} = \frac{30}{\sqrt{2}} \text{ kV}_{\text{eff}} / \text{cm} = 21 \text{ kV}_{\text{eff}} / \text{cm}$ للهواء
		$80 \text{ kV}_{\text{eff}} / \text{cm} = 115 \text{ kV}_{\text{eff}} / \text{cm} \approx$ زيت
حقل غير متجانس	{	$\approx 3 \dots 4 \text{ kV}_{\text{eff}} / \text{cm}$ هواء
		$\approx 12 \dots 16 \text{ kV}_{\text{eff}} / \text{cm}$ زيت

$$* P_v = U^2 \omega C \tan \delta$$

ضياح العازلية الكهربائية مقاسة بالواحدة W عندما

U مقاسة بالواحدة V و C مقاسة بالواحدة F

$$\left. \begin{aligned} v &= \cos \phi 100\% \\ v &\approx \tan \delta 100\% \end{aligned} \right\}$$

بالنسبة للاستطاعة الظاهرية S

توزيع شدة الحقل بمواد العزل الطبقيه (شكل 262)

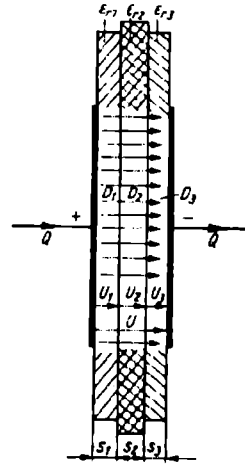
$$D_1 = D_2 = D_3 = D$$

$$E_1 = \frac{D_1}{\epsilon_{r1}\epsilon_0}; E_2 = \frac{D_2}{\epsilon_{r2}\epsilon_0}; E_3 = \frac{D_3}{\epsilon_{r3}\epsilon_0}$$

$$E_1 = \frac{U}{s_1 + s_2 \frac{\epsilon_1}{\epsilon_2} + s_3 \frac{\epsilon_1}{\epsilon_3}}$$

$$E_2 = \frac{U}{s_1 \frac{\epsilon_2}{\epsilon_1} + s_2 + s_3 \frac{\epsilon_2}{\epsilon_3}}$$

$$E_3 = \frac{U}{s_1 \frac{\epsilon_3}{\epsilon_1} + s_2 \frac{\epsilon_3}{\epsilon_2} + s_3}$$



الشكل 262 (عازل الطبقات)

5. هندسة التيار المتناوب

عدد أزواج الأقطاب p

T دور الاهتزاز s

N اللفات

n مقاسة بالوحدة /min

ω التردد الزاوي 1/s

f التردد Hz

$$\omega = 2\pi f$$

$$* f = \frac{1}{T} = p \frac{n}{60}$$

عند دوران جيبي زمني للقيم المتغيرة نطبق:

$$I_{med} = \frac{2}{\pi} I_{max}; \quad U_{med} = \frac{2}{\pi} U_{max}$$

القيمة الوسطية الحسابية

$$I_{max} = I\sqrt{2}; \quad U_{max} = U\sqrt{2}$$

I أو U القيمة الفعالة

$$E = 4.44f N \Phi_{max}$$

شكل التحويل

$$\Phi_{max} = B_{max} A_{Fe}$$

$$X_L = \omega L$$

$$U_L = I \omega L$$

$$u_L = L \frac{di}{dt}$$

$$X_C = \frac{1}{\omega C}$$

$$U_C = I \frac{1}{\omega C}$$

$$i_C = C \frac{du_C}{dt}$$

المقاومة التحريضية (مقاومة العمل
التحريضية)

المقاومة السعوية

1.5 التوصيل على التسلسل لـ R-L-C

(المقاومة الأومية، المقاومة التحريضية، المقاومة السعوية) (الشكل 263)

$$Z = \sqrt{R^2 + \left(\omega L - \frac{1}{\omega C}\right)^2}$$

الممانعة الظاهرية

$$\omega_0 = \sqrt{\frac{1}{LC}}$$

التردد الدائري - الطنين

$$f_0 = \frac{1}{2\pi} \sqrt{\frac{1}{LC}}$$

تردد الطنين

$$R_K = \sqrt{\frac{L}{C}}$$

المقاومة الاسمية لدائرة الاهتزاز

$$\cos \varphi = \frac{U_R}{U} = \frac{R}{Z}$$

φ زاوية إزاحة الطور

$$\sin \varphi = \frac{U_{L/C}}{U} = \frac{X_L - X_C}{Z}$$

$$\rho_0 = \frac{\omega_0 L}{R} = \frac{1}{R} \sqrt{\frac{L}{C}}$$

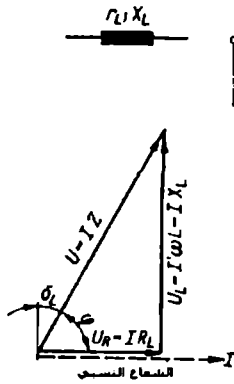
عامل الجودة

$$v = \frac{\omega}{\omega_0} - \frac{\omega_0}{\omega} = \frac{f}{f_0} - \frac{f_0}{f}$$

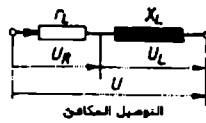
عدم التوافق (المضاعف)

$$\frac{Z}{R} = 1 + j\rho_0 v$$

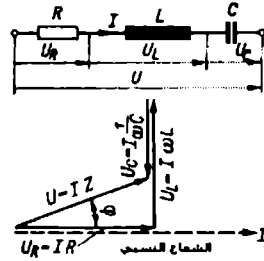
$\rho_0 v$ عدم التوافق النظامي



الشكل 264



التوصيل المكافئ



الشكل 263

الملفات ذات الضياعات (الشكل 264)

$$\tan \delta_L = \frac{r_L}{X_L} = \frac{r_L}{\omega L}$$

$\delta_L = 90 - \varphi$ زاوية الضياع للملفات

r_L المقاومة الحقيقية أو مقاومة التأثير للملفات

X_L المقاومة العمياء للملفات

$$\rho_L = \frac{1}{\tan \delta_L} = \frac{\omega L}{r_L}$$

ρ_L عامل الجودة، جودة الملفات

$$\cos \varphi = \frac{r_L}{Z} = \frac{r_L}{\sqrt{r_L^2 + (\omega L)^2}}$$

المكثفات ذات الضياعات

التوصيل المكافئ على التسلسل (الشكل 265)

$$\delta_C = 90 - \varphi$$

δ_C زاوية ضياع المكثفات

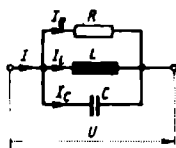
$$\tan \delta_C = \frac{r}{X_C} = r_C \omega C$$

r_C مقاومة التأثير

X_C المقاومة العمياء

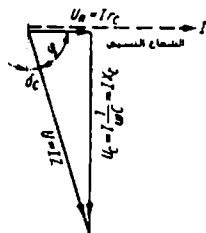
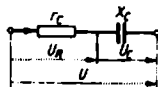
$$\rho_C = \frac{1}{\tan \delta_C} = \frac{1}{r_C \omega C}$$

$$\cos \varphi = \frac{r_C}{Z} = \frac{r_C}{\sqrt{r_C^2 + \left(\frac{1}{\omega C}\right)^2}}$$



الشكل 266

ρ_C عامل جودة المكثف



الشكل 265

$$G = \frac{1}{R}$$

قيمة التوصيل

$$B_C = \frac{1}{X_C} = \omega C$$

قيمة التوصيل العمياء

$$Y = \frac{1}{Z}$$

قيمة التوصيل الظاهري

$$Z = \frac{R_C}{\sqrt{1 + \omega^2 R_C^2 C^2}}$$

المقاومة الظاهرية

$$\tan \delta_C = \frac{1}{R_C \omega C}$$

δ_C زاوية ضياع المكثف

$$\rho_C = R_C \omega C$$

ρ_C عامل الجودة

$$\tan \phi = R_C \omega C; \quad \cos \phi = \frac{1}{\sqrt{1 + \omega^2 R_C^2 C^2}};$$

تحويل مقاومة مربوطة على التسلسل إلى مقاومة على التفرع

$$R_C = r_C + \frac{1}{r_C \omega^2 C^2}$$

تكون R_C كبيرة في الضياعات الصغيرة في حالة الوصل المكافئ على التوازي وفي

الوصل على التسلسل تصبح r_C صغيرة. في حال $r_C^2 \ll X_C^2$ نطبق $R_C = \frac{1}{r_C \omega^2 C^2}$

2.5 التوصيل على التوازي لـ R-L-C

(المقاومة الأومية، المقاومة التحريضية، المقاومة السعوية) (الشكل 266)

$$I = U Y$$

$$Y = \sqrt{\frac{1}{R^2} + \left(\frac{1}{\omega L} - \omega C\right)^2} \quad \text{قيمة التوصيل الظاهرية}$$

$$\tan \phi = R \left(\frac{1}{\omega L} - \omega C\right)$$

$$\rho_0 = \frac{R}{\omega_0 L} = \frac{1}{\omega_0 L G} = R \sqrt{\frac{C}{L}} \quad \text{عامل الجودة}$$

$$\frac{Y}{G} = 1 + j\rho_0 v \quad \text{انظر الوصل على التوازي R-L-C}$$

(أمثلة أخرى للتوصيلات المركبة لـ R-L-C والمخططات البيانية، انظر الملحق).

6. الإلكترونيات

* $v_0 = 594\sqrt{U}$ السرعة النهائية للإلكترون $\frac{km}{s}$ (كتلة السكون m_0)
بعد تطبيق الجهد U مقاس بالواحدة V .

الأخطاء:

< 10 kV حتى 5% < 50 kV حتى 1%

< 100 kV حتى 10%

$$*v = 3 \times 10^5 \sqrt{1 - \frac{1}{(1 + 1.95 \times 10^{-6} U)^2}}$$

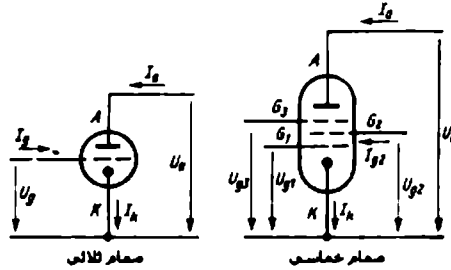
$$*E_T = 8.6 \times 10^{-5} T$$

السرعة النهائية مع عامل تصحيح Lorentz

جهد درجة الحرارة مقاسة بالواحدة V

عند درجة الحرارة K

صمامات التقوية الفراغية



الشكل 267

$$D = \frac{-\Delta U_s}{\Delta U_a}$$

$$S = \frac{\Delta I_a}{-\Delta U_s}$$

$$R_i = \frac{\Delta U_a}{\Delta I_a}$$

$$SDR_i = 1$$

$$\mu = \frac{1}{D}$$

النفوذية غالباً كنسبة مئوية %

$$(U_a = \text{const}) \frac{\text{mA}}{V}$$

مقاومة الصمامات الداخلية

$$(U_g = \text{const}) \text{ k}\Omega = \frac{V}{\text{mA}}$$

معادلة Barckhausen

$$\text{عامل التضخيم المثالي (على فراغ)} = v_{K_{\text{max}}}$$

$$v_u = \frac{1}{D} \frac{R_a}{R_i + R_a}$$

تضخيم الجهد

$$v_u \approx SR_a$$

تطبق في حماسي الأقطاب ($R_i \gg R_a$)، حيث R_i

— $k\Omega$ و R_a — $k\Omega$

$$v_x = 0.9 \frac{1}{D}$$

تطبيق في ثلاثي الأقطاب ($R_a \approx 10 R_i$)

$$k = \frac{\sqrt{I_2^2 + I_3^2 + \dots}}{\sqrt{I_1^2 + I_2^2 + I_3^2 + \dots}}$$

عامل الترشيح

الاهتزاز المتخامد: $a^2 < \omega_0^2$

$$a = \frac{R}{2L}$$

عنصر التخامد

$$\omega = 2\pi f = \sqrt{\frac{1}{LC} - \frac{R^2}{4L^2}}$$

$$= \sqrt{\frac{1}{LC} - a^2}$$

التردد الزاوي

$$\omega \approx \frac{1}{\sqrt{LC}} = \omega_0$$

$$a^2 \ll \frac{1}{LC}$$

$$\mu_C = U_0 e^{-at} \left(\cos \omega t + \frac{a}{\omega} \sin \omega t \right)$$

جهد المكثف

$$\approx U_0 e^{-at} \cos \omega_0 t$$

$$\frac{a}{\omega} \approx 0$$

$$= -C \frac{du_C}{dt} = \frac{U_0}{\omega L} e^{-at} \sin \omega t$$

تيار إفراغ الشحنة

$$\approx I_0 e^{-at} \sin \omega_0 t$$

من أجل التتابع e انظر الجدول (28)

تبعية التردد

$$\eta = \frac{\omega}{\omega_0} = \omega\sqrt{LC}$$

نسبة التردد

$$\sqrt{\frac{L}{C}} = Z, \Rightarrow \omega L = \eta Z;$$

$$\omega C = \frac{\eta}{Z}$$

$$\sin \theta = \frac{R}{2} \sqrt{\frac{C}{L}} = \frac{R}{2Z}$$

θ زاوية تخامد التيار ($R < 2Z$)

$$2\pi \tan \theta$$

تناقص التخامد (اللوغاريتمي)

$$2\pi\theta$$

التناقص لزوايا الإخماد الصغيرة

$$I = \frac{I}{2 \sin \theta + \left(\eta - \frac{1}{\eta} \right) \frac{E}{Z}}$$

معادلة التيار

$$I = \frac{I}{\sqrt{4 \sin^2 \theta + \left(\eta + \frac{1}{\eta} \right)^2}} \frac{E}{Z}$$

تبعية تردد القيمة

$$I_{\max} = \frac{E}{2Z \sin \theta} = \frac{E}{R}$$

شدة التيار الأعظمية

مع

$$\eta - \frac{1}{\eta} = \pm 2 \sin \theta$$

عزم التوافقية (المضاعف)

يصبح

$$I = \frac{I}{2\sqrt{2} \sin \theta} \frac{E}{Z}$$

$$= \frac{|I|_{\max}}{\sqrt{2}} = 70.7\% |I|_{\max}$$

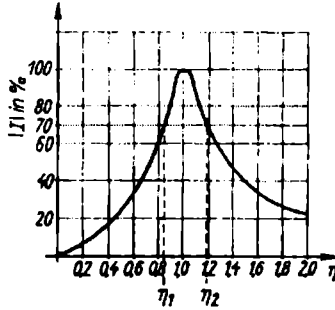
$$\eta_2 = \sin \theta + \sqrt{1 + \sin^2 \theta}$$

(الشكل 268)

$$\eta_1 = -\sin \vartheta + \sqrt{1 + \sin^2 \vartheta}$$

$$\omega_2 - \omega_1 = 2\omega_0 \sin \vartheta = \frac{R}{L}$$

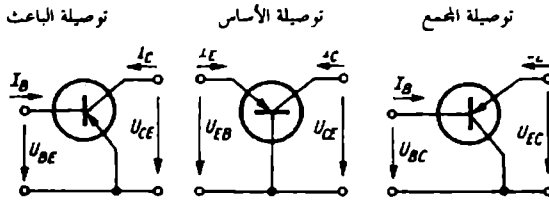
عرض نصف القيمة



الشكل 268

الترانزستورات

التوصيلات الأساسية للترانزستورات



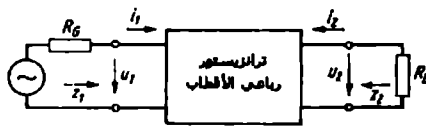
الشكل 269

الخواص المميزة للتوصيلات الرئيسية

توصيلة المجمع	توصيلة القاعدة	توصيلة الباعث	مقاومة الدخل
كبير	صغير	متوسط	Z_i
$Z_{ic} \approx \beta R_L$	$Z_{ib} \approx \frac{Z_{ie}}{\beta}$	Z_{ie}	

توصيلة المجمع	توصيلة القاعدة	توصيلة الباعث	
صغير $Z_{2C} \approx \frac{Z_{1E} + R_G}{\beta}$	كبير جداً $Z_{2B} \approx Z_{1E} \beta$	كبير Z_{2E}	مقاومة الخرج Z_2
كبير $\gamma \approx \beta + 1$	< 1 $\alpha \approx \frac{\beta}{\beta + 1}$	كبير β	تضخيم التيار
< 1	كبير	كبير	تضخيم الجهد
متوسط	كبير	كبير جداً	تضخيم الاستطاعة
منخفض $\approx f_{\beta}$	عالي $f_{\alpha} \approx f_{\beta} \beta$	منخفض f_{β}	التردد الحدي

ترانزيستور كرباعي أقطاب خطي (مضخم إشارة صغيرة)، الوصف لمستغيرات h (الشكل 270)



الشكل 270

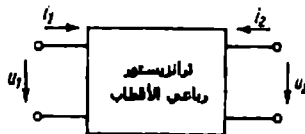
$$u_1 = h_{11}i_1 + h_{12}u_2$$

معادلة رباعي الأقطاب بشكل هجين،

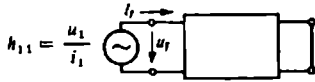
$$i_2 = h_{21}i_1 + h_{22}u_2$$

الشكل المختلط (الشكل 271)

$$\Delta h = h_{11}h_{22} - h_{12}h_{21}$$

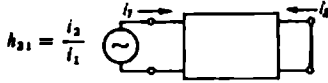


الشكل 271



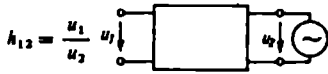
$u_2 = 0$ مقاومة الدخل عند قصر الخرج (Ω)

الشكل 272



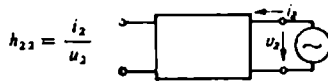
$u_2 = 0$ تضخيم التيار عند قصر الخرج

الشكل 273



$i_1 = 0$ تأثير إرجاعي للجهد عند الحمل على فراغ الدخل

الشكل 274



$i_1 = 0$ قيمة توصيل الخرج عند حمل على الفراغ على المدخل (mS)

الشكل 275

$$S = \frac{h_{21}}{h_{11}} = \frac{i_2}{u_1} \Big|_{u_2=0}$$

الانحدار الستاتيكي

$$R_i = \frac{h_{11}}{\Delta h} = \frac{u_2}{i_2} \Big|_{u_1=0}$$

مقاومة الدخل التفاضلية

$$D = \frac{\Delta h}{h_{21}} = -\frac{u_1}{u_2} \Big|_{i_2=0}$$

النفوذ الهندسي

حساب بالمتغيرات h (انظر الشكل 270)

$$Z_1 = \frac{u_1}{i_1} = \frac{h_{11} + \Delta h R_L}{1 + h_{22} R_L}$$

ممانعة الدخل

$$Z_2 = \frac{u_2}{i_2} = \frac{h_{11} + R_G}{\Delta h + h_{22} R_G}$$

ممانعة الخرج

$$V_U = \frac{u_2}{u_1} = \frac{-h_{21} R_L}{h_{11} + \Delta h R_L}$$

تضخيم الجهد

$$V_1 = \frac{i_2}{i_1} = \frac{h_{21}}{1 + h_{22}R_L}$$

تضخيم التيار

$$V_p = \frac{u_2 i_2}{u_1 i_1} = \frac{|h_{21}|^2 R_L}{(1 + h_{22}R_L)(h_{11} + \Delta h R_L)}$$

تضخيم الاستطاعة (في الترددات المنخفضة ومتغيرات حقيقية h ، فيما عدا ذلك عوامل نقل)

$$V_{P_{max}} = \frac{4h_{21}^2 R_G R_L}{[(1 + h_{22}R_L)R_G + h_{11} + \Delta h R_L]^2}$$

$$V_{p_{opt}} = \left(\frac{h_{21}}{\sqrt{\Delta h + \sqrt{h_{11}h_{22}}}} \right)^2$$

تضخيم الاستطاعة (عند التوافق في الدخل)

تضخيم الاستطاعة (عند التوافق في الدخل والخرج)

$$R_G = Z_1 = \sqrt{\frac{h_{11} \Delta h}{h_{22}}}$$

التوافق عند الدخل

$$R_L = Z_2 = \sqrt{\frac{h_{11}}{h_{22} \Delta h}}$$

التوافق عند الخرج

7. الاستطاعات

$$P = UI \quad \text{تيار مستمر}$$

$$P = UI \cos \varphi \quad \text{تيار متناوب}$$

$$Q = UI \sin \varphi \quad \text{الشكل (276)}$$

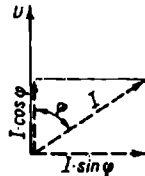
$$S = UI$$

$$S = \sqrt{P^2 + Q^2}$$

استطاعة التأثير

استطاعة المهيمية

الاستطاعة الظاهرية



الشكل 276

التيار الدائر $P = \sqrt{3}UI \cos\phi$

استطاعة التأثير

$Q = \sqrt{3}UI \sin\phi$

استطاعة العمى

$S = \sqrt{3}UI$

الاستطاعة الظاهرية

(التوصيل المثلثي 278)

التوصيل النجمي (الشكل 277)

$U = \sqrt{3}U_N$ $U = U_N$

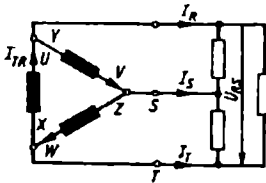
U جهد الناقل U_N جهد الحمل

$I = I_{st}$ $I = \sqrt{3}I_{st}$

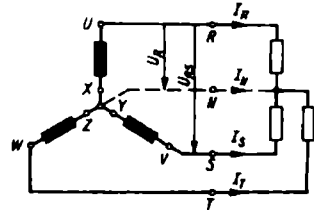
I تيار الناقل I_{st} تيار الحمل

$I_R = I_S = I_T = I; I_N = 0$

في الحمل المتناظر



الشكل 278



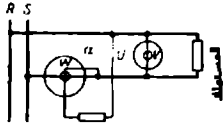
الشكل 277

قياسات الاستطاعة في التيار المتناوب والتيار المستمر التيار المتناوب

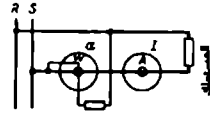
$P_{cons.} = P - I^2 (R_{nr} + R_l)$

$P_{cons.} = P - \frac{U^2}{R_{volt} + R_U}$

$P = c\alpha$



الشكل 280



الشكل 279

تصحیح قيمة الاستطاعة المقاسة عند قياس الاستطاعات الصغيرة (تحت 1 kW)

c ثابت مقياس الاستطاعة α إزاحة العداد

P_{cons} استطاعة الاستهلاك U الجهد I التيار

R_{volt} مقاومة درب الجهد لمقياس الاستطاعة

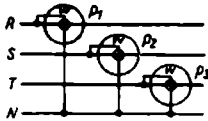
R_{volt} مقاومة درب التيار لمقياس الاستطاعة

R_{U} مقاومة درب الجهد لمقياس الجهد

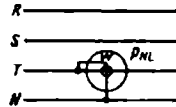
R_I مقاومة درب التيار لمقياس التيار

التيار المستمر

نظام - الناقل الرباعي



الشكل 281b



الشكل 281a

$$P = 3 P_{NL}$$

الحمل المتناظر (الشكل 281a)

$$P = P_1 + P_2 + P_3$$

الحمل غير المتناظر (الشكل 281b)

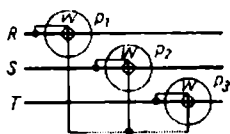
نظام الناقل الثلاثي

$$P = 3 P_{NL}$$

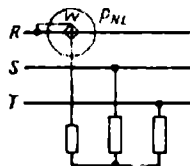
الحمل المتناظر (الشكل 282)

$$P = P_1 + P_2 + P_3$$

الحمل غير المتناظر (الشكل 283)



الشكل 283



الشكل 282

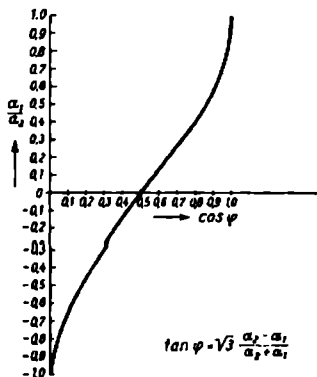
نظام - الناقل الثلاثي، حمل بأي حمل (الشكل 284)

$$P = C(\alpha_2 \pm \alpha_1)$$

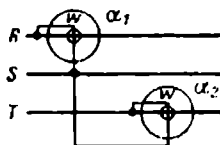
طريقة - ثنائي مقياس الاستطاعة

$$P = P_2 \pm P_1$$

"اتوصيلة Aron"



الشكل 285



الشكل 284

α_1 تصبح سالبة عندما تكون زاوية الطور $< 60^\circ$ ، ضمن حقل الجهد لتحويل الأقطاب أو مجال التيار (عند الحمل السعوي ينبغي تبديل دليل إزاحة الجهاز في الشكل بحيث يكون دائماً $\alpha_2 \geq \alpha_1$) (الشكل 285)

8. المحولات (الشكل 286)

الدليل 1 يعني قيم الملف الأولي

N_1, N_2 اللفات

f: التردد بـ Hz

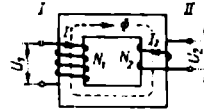
الدليل 2 يعني قيم الملف الثانوي

Φ القيمة الأعظمية للتدفق المغناطيسي

صيغ المحول

$$E = 4.44 f N \Phi_{\max}$$

$$= 4.44 f N B_{\max} A_{Fe}$$



الشكل 286

$$\frac{U_1}{U_2} = \frac{N_1}{N_2} = \frac{I_2}{I_1}$$

$$B = \mu_r \mu_0 H = \frac{\Phi}{A_{Fe}}$$

$$\mu_0 = 1.257 \times 10^{-8} \text{ Vs/Acm}$$

$$P_{Fe} \approx 1.25 v m_{Fe}$$

$$P_{Cu} = I_1^2 R_K = U_K I_1$$

$$R_K = R_1 + R_2 \left(\frac{N_1}{N_2} \right)^2$$

$$U_K = \frac{P_{Cu}}{I_1} = I_1 R_K$$

$$u_K = \frac{I_1 R_K}{U_1} 100\%$$

عند إهمال ضياعات المحولة نطبق

التحريض المغناطيسي

A_{Fe} مقطع الحديد

m_{Fe} كتلة الحديد

ضياعات تحويل المغنطة

v رقم الضياع

الضياعات الحرارية للتيار

مقاومة القصر

جهد القصر

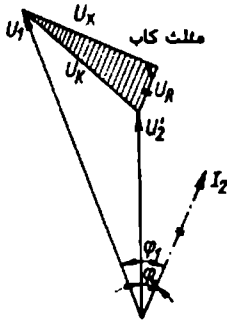
جهد القصر (النسي)

$$\eta = \frac{P_2}{P_2 + P_{Fe} + P_{Cu}} 100\%$$

مردود المحول (الشكل 287)

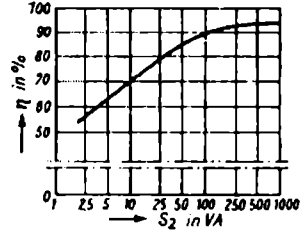
$$U_K = U_1 - U_2' = U_1 - U_2 \frac{N_1}{N_2}$$

هبوط الجهد (الشكل 288)



الشكل 288

مفلة هبوط الجهد



الشكل 287

المردود

$$u_K = \frac{U_1 - U_2'}{U_1} 100\%$$

هبوط الجهد المثري

$$u_K = u_R \cos \varphi_2 + u_S \sin \varphi_2$$

u_R هبوط الجهد الأومي مقاسة بالوحدة %

$$u_K = \frac{U_{IK}}{U_{I \text{ nom}}} 100\%$$

قصر الجهد (النسبي)

$$I_{IK} = I_{I \text{ nom}} \frac{100}{u_K}$$

قصر التيار (عند $U_{IK} = U_{I \text{ nom}}$)

نوع الاستطاعة

المحولات الاقتصادية

عندما $U_2 > U_1$

$$P_T = U_2 I_2 \left(1 - \frac{U_1}{U_2} \right)$$

عندما $U_2 < U_1$

$$P_T = U_2 I_2 \left(1 - \frac{U_2}{U_1} \right)$$

هندسة التحكم

1. الوصف

هندسة التحكم، مصطلحات وتعريف:

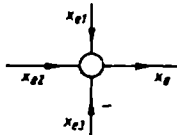
$$x_c = x_{a1} = x_{a2} = x_{a3}$$



تفرع الإشارة إلى جريان الإشارة

الشكل 289

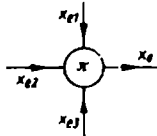
$$x_a = x_{e1} + x_{e2} - x_{e3}$$



عقدة الجمع في جريان الإشارة

الشكل 290

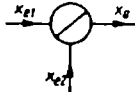
$$x_a = x_{e1} \cdot x_{e2} \cdot x_{e3}$$



عقدة الضرب

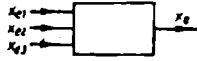
الشكل 291

$$x_a = \frac{x_{e1}}{x_{e2}}$$



عقدة القسمة

الشكل 292



الشكل 293

عنصر النقل الخطي بعدة مدخل



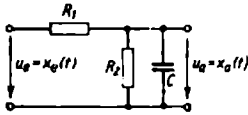
الشكل 294

عنصر غير خطي

1.1 سمات عناصر النقل

يتم الوصف عبر معادلة الإشارة. جواب القفزة $x_a(t)$ أو عامل التحويل $h(t)$ ، مدخل التردد المركب $F(j\omega)$ أو تابع الانتقال $G(p)$. (انظر الجدول 31) في الملحق.

يُيجاد معادلة الإشارة عن طريق مدخل التردد



الشكل 295

مثال: إن تصرف P_1 بشكل شبكة كهربائية (سلوك نسبي مع تباطؤ ذو درجة أولى).

$$F(j\omega) = \frac{u_a(j\omega)}{u_e(j\omega)} = \frac{\frac{R_2}{R_1 + R_2}}{\frac{R_2}{R_1 + R_2} R_1 C j\omega + 1}$$

مع $K = \frac{R_2}{R_1 + R_2}$ و $T = KR_1C$ ينتج الشكل العام:

$$F(j\omega) = \frac{x_a(j\omega)}{x_e(j\omega)} = \frac{K}{Tj\omega + 1}$$

مدخل التردد المركب

$$F(j\omega) = |F(j\omega)| e^{j\varphi(\omega)}$$

التحليل إلى قسم تخيلي وحقيقي

$$= \frac{K}{1 + \omega^2 T^2} - j \frac{\omega T}{1 + \omega^2 T^2}$$

$$(Tj\omega + 1) x_a = Kx_e$$

ينتج من مدخل التردد مع محلل تفاضلي

$$T\dot{x}_a(t) + x_a(t) = Kx_e(t)$$

$$\frac{d}{dt} = j\omega \text{ معادلة الإشارة}$$

وتابع الانتقال ($p = j\omega$)

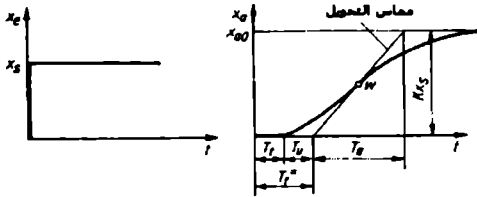
تابع الانتقال من أجل

$$G(p) = \frac{X_a(p)}{X_e(p)} = \frac{K}{Tp+1}$$

$$h(t) = \frac{x_a(t)}{x_s} = L^{-1} \left\{ \frac{G(p)}{p} \right\}$$

$$x_e(t) = \begin{cases} 0 & \text{من أجل } t < 0 \\ x_s = \text{const.} & \text{من أجل } t \geq 0 \end{cases}$$

من جواب القفزة يمكن إيجاد القيم:



الشكل 296

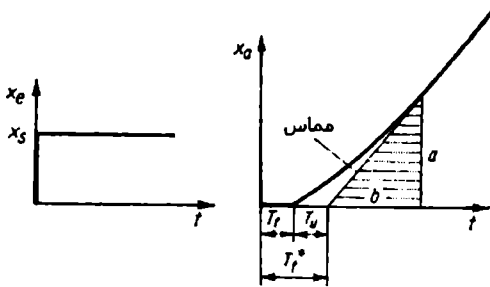
T_i الزمن الميت

T_u زمن التأخير

T_e زمن التعادل

T_i^* زمن المكافئ

1 - عنصر مع زمن ميت



الشكل 297

$$K_1 = \frac{a/b}{x_s}$$

عامل الانتقال التكاملي (منسوب على سرعة التغيير في الحالة الساكنة)

$$T_i^* = T_i + T_u$$

زمن المكافئ

عناصر - P: وصف متقارب من خلال T_1^* ، T_2 ، K (الشكل 296)
 عناصر - I: وصف متقارب من خلال T_1^* ، K_1 (الشكل 297)

2.1 سمات عناصر الانتقال أثناء التوصيل المتسلسل بانتظام

(a) عدة عناصر تباطؤ: $T_1^* \approx \sum_{i=1}^n T_{ki}$

النظام الأول ومنه واحداً مع ثابت زمني كبير نسبياً T_8
 والباقي مع ثابت زمني صغير نسبياً $T_{k1}, T_{k2}, \dots, T_{kn}$
 حيث $T_{ki} < 0.05 T_8$

(b) عنصري تباطؤ، ذو ترتيب عشوائي مع زمن ميت
 مكافئ: T_{11}^* و T_{12}^* وأزمنة التعادل T_{21} و T_{22} ، حيث ثوابت
 الزمن $(0.05 \dots 1.0) T_{22}$ ، T_{21} (C من الجدول 30)

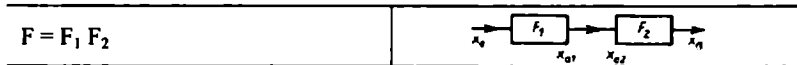
الجدول 30

$\frac{T_{a1}}{T_{a2}}$	0.05	0.1	0.2	0.3	0.4	0.6	0.8	1.0
c	0.75	0.63	0.53	0.47	0.42	0.36	0.32	0.28

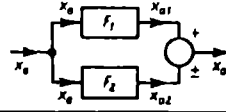
سلوك (المسافة):
 مع دارة تحكم } قابل للتحكم بشكل جيد > 10
 ذات دورة واحدة } قابل للتحكم بشكل معقول ≈ 6
 قابل للتحكم بشكل سيء < 3

2. توصيلات عناصر الانتقال

الجدول 32



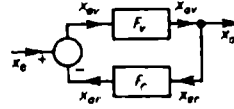
$$F = F_1 + F_2$$



$$F = \frac{1}{\frac{1}{F_v} + F_r}$$

$$F = \frac{F_v}{1 + F_v F_r}$$

$$F \approx \frac{1}{F_r} \text{ من أجل } F_v \rightarrow \infty$$



F_v عنصر التقديم

F_r عنصر التأخير

3. قواعد الضبط (التعير)

K_{crit} عامل الانتقال الحرج

قيم الضبط للمنظم - PID حسب

Ziegler-Nichols (الجدول 33)

T_{crit} زمن الدورة للاهتزاز الدائم

بيانات التعريف للمسافة غير معروفة

الجدول 33

المنظم	K_R	T_i	T_D
P	$0.50 K_{crit}$	-	-
PI	$0.45 K_{crit}$	$0.85 T_{crit}$	-
PID	$0.60 K_{crit}$	$0.50 T_{crit}$	$0.12 T_{crit}$

T_i الزمن الميت

الضبط المناسب للمنظمات في المسافات

T_s زمن التعادل

مع توازن حسب Oppelt (الجدول 34)،

T_u زمن التأخير

بيانات التعريف للمسافة غير محددة

K_R عامل انتقال المنظم

K_S عامل انتقال المسافة

الجدول 34

النظم	K_R	T_i	T_D
P	$\frac{T_a}{(T_i + T_u)K_S}$	-	-
PI	$0.8 \frac{T_a}{(T_i + T_u)K_S}$	$3(T_i + T_u)$	-
PD	$1.2 \frac{T_a}{(T_i + T_u)K_S}$	-	$0.25(T_i + T_u)$
PID	$1.2 \frac{T_a}{(T_i + T_u)K_S}$	$2(T_i + T_u)$	$0.42(T_i + T_u)$

4. بديهيات الاستقرار حسب Hurwitz

(كل العوامل $a_i \neq 0$ ولها نفس الإشارة)

الجدول 35

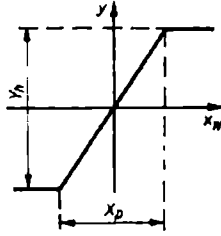
ترتيب المعادلات	المعادلة المميزة والمقارنة التابعة لها	شروط الاستقرار
1	$a_1\lambda + a_0 = 0$	بنية مستقرة
2	$a_2\lambda^2 + a_1\lambda + a_0 = 0$	بنية مستقرة
3	$a_3\lambda^3 + a_2\lambda^2 + a_1\lambda + a_0 = 0$	$a_1a_0 - a_2a_1 < 0$
4	$a_4\lambda^4 + a_3\lambda^3 + a_2\lambda^2 + a_1\lambda + a_0 = 0$	$a_4a_1^2 + a_3^2a_0 - a_1a_2a_1 < 0$

5. المنظمات الخطية الدائمة

النظم التناسلي - P (الشكل 298)

$$K_R = \frac{y}{x_w} = \frac{y_h}{X_p}$$

عامل الانتقال يطبق فقط في المجال النسي



الشكل 298

$\left. \begin{array}{l} \text{(في الوحدات لقيم المنظم أو} \\ \text{محيط المقياس)} \end{array} \right\}$	$\left\{ \begin{array}{l} \text{مجال التناسب} \\ \text{مجال التعيير الكلي} \\ \text{انحراف المنظم} \\ \text{قيمة التعيير} \end{array} \right.$	X_p
		Y_h
		x_w
		y

المنظم التكاملى - 1 (الشكل 299)

$$K_I = \frac{\dot{y}}{x_w}$$

عامل الانتقال التكاملى

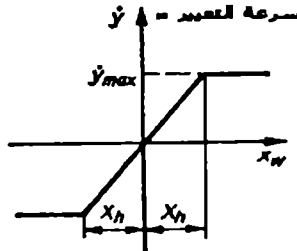
$$\dot{y}_{\max} = K_I X_h = \frac{Y_h}{T_y}$$

X_h مجال التشغيل (هذا التغيير يبدأ بسرعة التعيير من الصفر حتى القيمة العظمى)

$$\dot{y} = \frac{Y_h}{T_y X_h} x_w$$

T_y زمن التعيير في هذا الزمن يعمل مجال التعيير عند أكبر ما يمكن لسرعة التعيير

$$T_y = \frac{x_w}{\dot{y}} = \frac{1}{K_I}$$



الشكل 299

المنظم PI - الشكلين (300 و 301) تناسبي - تكاملي

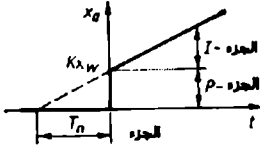
$$y = K_R x_w + K_I x_{wt}$$

$$T_I = \frac{K_R}{K_I}$$

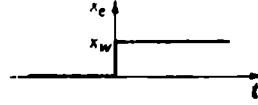
جواب القفزة — $x_w = \text{const}$

T_I زمن التكامل في المنظمات

T_n زمن التعبير اللاحق



الشكل 301



الشكل 300

$$y = K_R \left(x_w + \frac{1}{T_n} \int x_w dt \right)$$

معادلة المنظم PI العامة

$$x_a = K(x_e + K_I \int x_e dt)$$

$$G(p) = K + \frac{K_I}{p}$$

انظر أيضاً الجدول 36

المنظم PD - الشكل (302) تناسبي - تفاضلي

$$X_a = K(X_e - T_D \dot{X}_e) \quad (36) \text{ انظر الجدول } G(p) = K(1 + T_D p)$$

$$x_a = K(x_e + T_D \dot{x}_e)$$

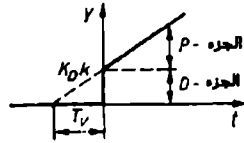
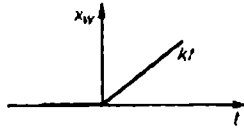
$$T_D = \frac{K_D}{K}$$

T_D زمن التفاضل عند المنظم

T_v زمن الإيقاف الأولي

$$y = K_R(kt + T_v k) = Kk(t + T_v) \quad \text{جواب التزايد بـ } x_w = kt \text{ (تزايد خطي عند}$$

المدخل)

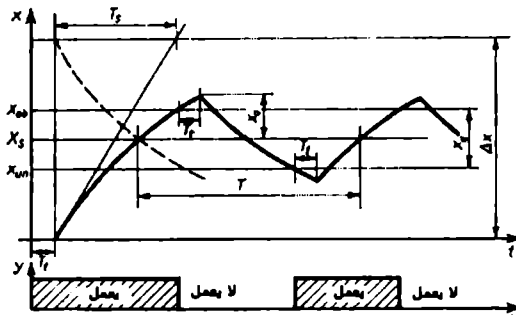


الشكل 302

6. المنظمات غير الدائمة

منظم ثنائي النقط على مسافات مع موازنة
(في مجال $x_3 \pm x_0$ تقترب حركة العمل عن طريق الاستقلال الخطي)

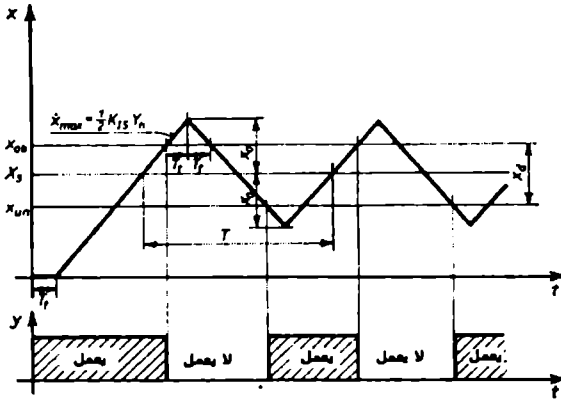
$$T = 4T_1 + 4 \frac{x_d T_s}{\Delta x} \quad \text{مدة الاهتزاز لخلوص المنظم (الشكل 303)}$$



الشكل 303

$$f_s = \frac{1}{T} \quad \text{تردد التوصيل}$$

$$x_0 = \frac{T_1}{2T_s} \Delta x + \frac{1}{2} x_d \quad \text{سعة حركة العمل للمسافة بدون موازنة (الشكل 304)}$$



الشكل 304

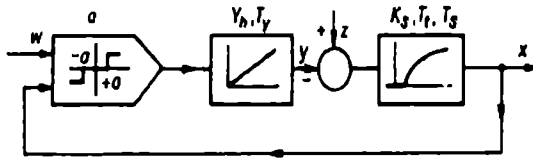
$$T = 4T_t + 4 \frac{x_d}{K_{IS} Y_h}$$

الزمن الدوري لخلوص المنظم

$$x_0 = \frac{1}{2} K_{IS} Y_h T_t + \frac{1}{2} x_d$$

سعة حركة العمل

منظم ذو حركتين (شبيه للمنظم - 1) (شكل 305)



الشكل 305

زمن الضبط T_y ، مجال الضبط Y_h ، قيمة توافقية a

$$\left(\frac{y}{a}\right)_{crit} \approx \begin{cases} \frac{2}{K_S T_t} & \text{من أجل } \frac{T_S}{T_t} \approx 20 \\ \frac{1}{K_S T_t} & \text{من أجل } \frac{T_S}{T_t} \approx 10 \end{cases}$$

$$\left(\frac{y}{a}\right) \text{ المرفقة } \approx \begin{cases} \frac{1}{K_S T_1} & \text{من أجل} \\ \frac{1}{2K_S T_1} & \text{من أجل} \end{cases} \quad \begin{matrix} \frac{T_S}{T_1} \approx 20 \\ \frac{T_S}{T_1} \approx 10 \end{matrix}$$

$$v = \frac{Y_h}{T_y}$$

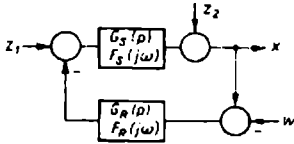
سرعة التعبير

7. الإرجاع (الإعادة)

الجدول 36

سلوك الإرجاع (عنصر متقدم هو مضمخ مع تضخيم $\leftarrow \infty$)		سلوك الزمن للتوصل الكلي	
الشرح	$G_v \rightarrow \infty$ من أجل $G_r(p) = \frac{1}{G(p)}$	تابع النقل $G(p)$	الرمز
قاس	$K_r = \frac{1}{K}$	K	P
متأخر	$\frac{K_r p}{T_r p + 1} = \frac{\frac{T_1}{K} p}{T_1 p + 1}$	$K \left(1 + \frac{1}{T_1 p}\right)$	PI
متباطئ	$\frac{K_r}{T_r p + 1} = \frac{1}{T_{DP} + 1}$	$K(1 + T_{DP})$	PD
متباطئ ومتأخر	$\frac{K_r p}{T_2^2 p^2 + T_1 p + 1} = \frac{\frac{T_1}{K} p}{T_1 T_{DP}^2 p^2 + T_1 p + 1}$	$K \left(1 + \frac{1}{T_1 p} + T_{DP}\right)$	PID

8. المنظم الدائري الخطي الدائم الحلقي



الشكل 306

z_1 تشويش التغذية

z_2 تشويش الحمل

w تغيير قيم القيادة

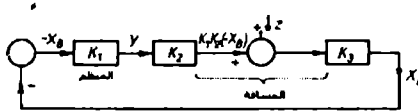
[التعليل (p) أو (jω)]

$$x(p) = \frac{G_S(p)z_1 + z_2 + G_S(p)G_R(p)w}{1 + G_S(p)G_R(p)}$$

$$x(j\omega) = \frac{F_S(j\omega)z_1 + z_2 + F_S(j\omega)F_R(j\omega)w}{1 + F_S(j\omega)F_R(j\omega)}$$

الانحراف المتبقي في المنظم X_B

تشويش في المسافة (فقط عناصر - P، شكل 307)



الشكل 307

$$x_0 = K_3 z$$

انحراف القاعدة دون تحكم (تضخيم الدارة)

$$V_0 = K_1 K_2 K_3$$

$$X_B = \frac{K_3 z}{1 + K_1 K_2 K_3} = \frac{1}{1 + V_0} x_0$$

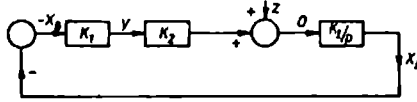
$$R = \frac{X_B}{x_0} = \frac{1}{1 + V_0}$$

عامل المنظم

تشويش قبل العنصر - I

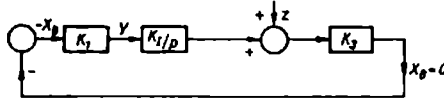
$$X_B = \frac{z}{K_1 K_2}$$

الانحراف المتبقي في المنظم



الشكل 308

تشويش بعد العنصر 1



الشكل 309

$X_B = 0$ (نظرياً)

الانحراف المتبقي في المنظم (الشكل 309)

$$\delta = \frac{\dot{x}_a}{KK_1}$$

خطأ السرعة

9. تحويلات Laplace

1.9 قواعد الحساب والتطابق

الجمل الخطية

$$Af(t) \circ \bullet AF(p)$$

الضرب مع عامل ثابت وجملة التقاطع

$$f_1(t) + f_2(t) + \dots + f_n(t)$$

تطبق في مجال الزمن والشكل

$$\circ \bullet F_1(p) + F_2(p) + \dots + F_n(p)$$

$$f(at - t_1) \circ \bullet \frac{1}{a} e^{-t_1 p} F\left(\frac{p}{a}\right)$$

الإبدال الخطية

$a = 1; t_1 > 0$ جملة الإزاحة من أجل

في المجال العلوي $t_1 > 0$ ، حقيقي $a > 0$

$a \neq 1; t_1 = 0$ جملة التشابه من أجل

$$F(ap + b) \circ \bullet \frac{1}{a} e^{-\frac{b}{a}t} f\left(\frac{t}{a}\right)$$

الإبدال الخطية

في المجال السفلي $a > 0$

$a \neq 1; b = 0$ من أجل

قانون التشابه

(الجدول 37) مطابقات تحويلات Laplace

المجال السفلي المجال الشكلي $F(p)$	المجال العلوي المجال الزمني $f(t) (t \geq 0)$	التابع
1	$\delta(t)$	نبضة ديراك
$\frac{1}{p}$	$1(t)$	قفزة واحدة
$\frac{1}{(p - p_0)^n}$	$\frac{t^{n-1} e^{p_0 t}}{(n-1)!}$	التابع الأسّي
$\frac{\omega_0}{p^2 + \omega_0^2}$	$\sin \omega_0 t$	اهتزاز توافقي غير متخامد
$\frac{p}{p^2 + \omega_0^2}$	$\cos \omega_0 t$	
$\frac{1}{p - p_0}$	$e^{p_0 t}$	بعض الاشتقاقات من المطابقات العلوية
$\frac{1}{p + p_0}$	$e^{-p_0 t}$	
$\frac{1}{p^2}$	t	
$\frac{2}{p^3}$	t^2	
$\frac{n!}{p^{n+1}}$	$t^n; n \geq 0$	
$\frac{e^{-t_0 p}}{p}$	$f(t) = \begin{cases} 0 & \text{من أجل } t < t_0 \\ 1 & \text{من أجل } t \geq t_0 \end{cases}$	

قانون التفاضل

$$f(t) \quad 0 \rightarrow F(p)$$

$$f'(t) \quad 0 \rightarrow pF(p) - f(+0)$$

$$f''(t) \quad 0 \rightarrow p^2F(p) - pf(+0) - f'(+0)$$

.....

$$f^{(n)}(t) \quad 0 \rightarrow p^n F(p) - p^{n-1}f(+0) - p^{n-2}f'(+0) - \dots - pf^{(n-2)}(+0) - f^{(n-1)}(+0)$$

$$\frac{df(t)}{dt} = f'(t); \frac{d^2f(t)}{dt^2} = f''(t)$$

الخ

تبسط إلى

$$f(t) \quad 0 \rightarrow F(p)$$

$$f'(t) \quad 0 \rightarrow pF(p)$$

$$f''(t) \quad 0 \rightarrow p^2F(p)$$

.....

$$f^{(n)}(t) \quad 0 \rightarrow p^n F(p)$$

عندما تكون كافة الشروط الابتدائية

للتابع الزمني تساوي الصفر

إن التفاضل في المجال الزمني يطابق فقط

جداً تابع الشكل مع p

قانون التكامل

$$\int_0^1 f(t) dt \quad 0 \rightarrow \frac{1}{p} F(p)$$

يطابق التكامل في المجال الزمني القسمة

على p لتابع الشكل.

قوانين النهايات

$$\lim_{t \rightarrow +0} h(t) = \lim_{p \rightarrow +\infty} G(p) = \lim_{\omega \rightarrow +\infty} F(j\omega)$$

$$\lim_{t \rightarrow +\infty} h(t) = \lim_{p \rightarrow +0} G(p) = \lim_{\omega \rightarrow +0} F(j\omega)$$

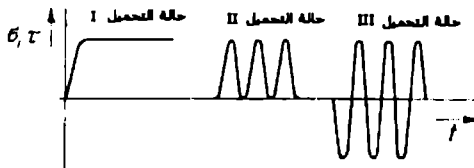
تصميم الآلات

المقدمة (المدخل)

تشمل الصيغ الهندسية لعلم تصميم الآلات على :

1. حساب قيم التوابيع: مثلاً: القوى، العزوم الاستطاعات، السرعة، التسارعات.
2. حساب القيم التصميمية: مثلاً: الأبعاد حسب تأثير الإجهادات.
- إن قابلية الحمل للمادة، يُعبر عنها نوعياً من خلال قيم المتانة والإجهادات للمادة، وتتفرع من أجل الحساب بشكل أساسي إلى ثلاثة أقسام:

1. حساب المشروع حساب بشكل غير مباشر للأبعاد
 2. إثبات الإجهاد أو إثبات الأمان حساب الإجهاد المتولد (الأمان) ومقارنة مع الإجهاد المسموح به (الأمان المطلوب).
 3. حساب قابلية التحميل حساب الحمل الأعظمي المطبق.
- بالإضافة لذلك قيم عملية للإجهاد المسموح حسب حالات التحميل، الجدول 38 والشكل 310.



الشكل 310 مخطط الحمولة لحالات التحميل

يتم غالباً تطبيق الحساب مع عوامل أمان أولية، بدلاً من الإجهادات المغطاة المسموح بها.

في الإجهادات الستاتيكية (انسيابية)

$$S_B = \frac{\sigma_B}{\sigma}$$

الأمان مقارنة مع الانهيار القسري في الإجهاد الطبيعي

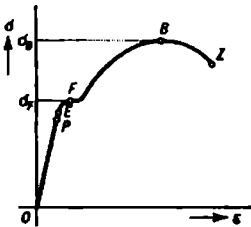
$$S_B = \frac{\tau_B}{\tau}$$

الأمان مقارنة مع الانهيار الطبيعي في الإجهاد الناظمي 4 ... 3

σ_B ، τ_B متانة الانهيار (الانكسار)

(مثلاً من مخطط الاجهاد والانفعال،

الشكل 311)



الشكل 311 مخطط الإجهاد والانفعال

(الجدول 38) القيم العملية للإجهادات المسموح بها

في الميكانيك (تصميم الآلات) بشكل عام (حسب Tauscher)

الإجهاد المسموح به $\frac{N}{mm^2}$ (1)				حالة التحميل	مادة الفولاذ
القتل والانسحاب	القصر	الانعطاف	الشدة والانضغاط		
60	90	115	110	I	St 34
52	74	95	92	II	
33	40	60	50	III	
70	96	130	120	I	St 38
60	77	110	96	II	
40	45	70	55	III	
80	100	150	125	I	St 42
70	87	130	110	II	
43	50	85	65	III	

الإجهاد المسموح به $\frac{N}{mm^2}$ (1)				حالة التحميل	مادة الفولاذ
القتل والانحناب	القص	الانعطاف	الشد والانضغاط		
95	125	180	155	I	St 50
83	110	160	135	II	
54	60	105	75	III	
110	145	210	180	I	St 60
95	125	185	160	II	
62	70	120	85	III	
130	170	245	210	I	St 70
115	140	220	175	II	
75	80	135	100	III	
66	90	130	110	I	GS 38 متوهج
50	70	100	85	II	
27	40	60	50	III	
77	110	145	130	I	GS 45 متوهج
61	80	120	90	II	
36	50	70	60	III	

1) $1 \text{ N/mm}^2 = 1 \text{ MPa} = 10 \text{ kp/cm}^2$

الإجهاد المسموح به $\frac{N}{mm^2}$				حالة التحميل	المادة من الحديد الصب
(2) القتل	(2) الانعطاف	الضغط	الشد القص والانزلاق		
25 ... 50	40 ... 70	100	40	I	GG 12
22 ... 45	35 ... 50	80	35	II	
16 ... 30	25 ... 40	25	25	III	
50 ... 100	80 ... 140	200	80	I	GG 26 TGW 35
45 ... 90	70 ... 100	160	70	II	
32 ... 60	50 ... 80	50	50	III	

(2) حسب شكل القطع والمساحة

عند التحميل الستاتيكي والديناميكي

$$S_F = \frac{\sigma_F}{\sigma} \quad \text{أو} \quad S_F = \frac{\sigma_F}{\sigma_0}$$

الأمان مقارنة مع السيلان (التشكيل البلاستيكي) عند الإجهاد الناظمي

$$S_F = \frac{\tau_F}{\tau} \quad \text{أو} \quad S_F = \frac{\tau_F}{\tau_0}$$

الأمان مقارنة مع السيلان (التشكيل البلاستيكي) عند الإجهاد المماسي

$S_F = 1.3 \dots 2.0$ أعلى قيمة عند التحميل بالصدمة

σ_F, τ_F الإجهاد في حدود السيولة (مثلاً من مخطط

الإجهاد، والتمدد، الشكل 311)

σ, τ الإجهاد الاسمي

σ_0, τ_0 الإجهاد العلوي

في الإجهاد الديناميكي

$$S_D = \frac{\sigma_G}{\sigma_a}$$

عامل الأمان مقارنة مع الدائم عند الإجهاد الناظمي

$$S_D = \frac{\tau_G}{\tau_a}$$

عامل الأمان مقارنة مع الكسر الدائم عند الإجهاد المماسي

$S_D = 1.3 \dots 3.5$ أعلى قيمة عند أقوى حمل بالصدمة

σ_a, τ_a ذبذبة الإجهاد

$$\sigma_G = \frac{\sigma_A K_X}{\beta_k}$$

متانة التشكيل عند الإجهاد الناظمي

$$\tau_G = \frac{\tau_A K_X}{\beta_k}$$

متانة التشكيل عند الإجهاد المماسي

x عامل السطح الخارجي

σ_a, τ_a ذبذبة الإجهاد للمتانة الدائمة (مثلاً من

(مثلاً من الشكل 314a)

مخطط المتانة الدائمة، الشكلين 312a، و312b)

β_k عامل تأثير الحز

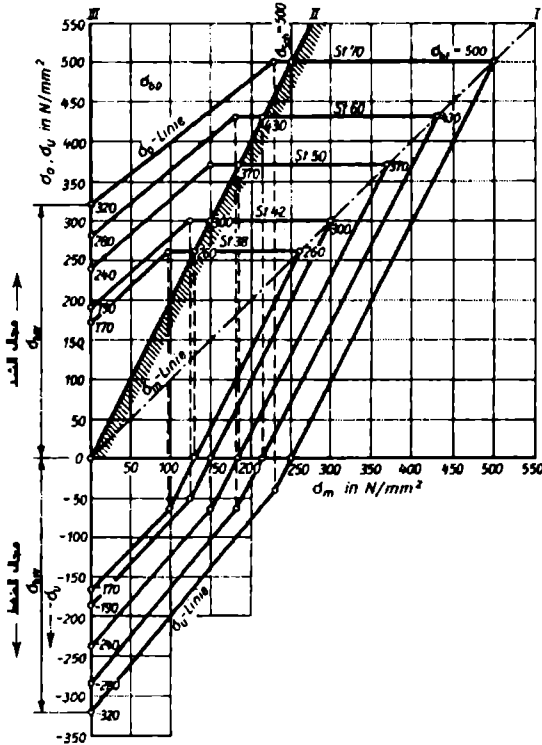
K عامل تحديد الأبعاد

مثلاً من الشكلين 314b حتى

(مثلاً من الشكل 313)

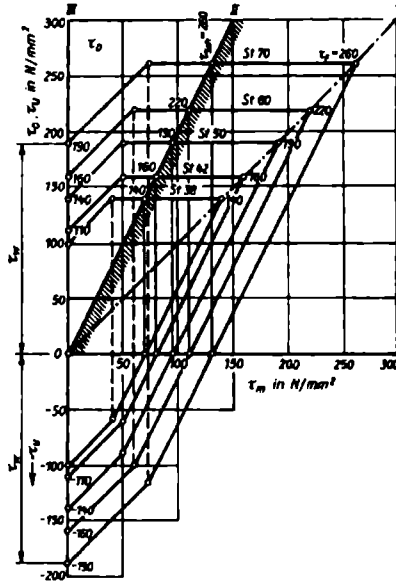
(314d)

إن الاعتبارات الأخيرة هي لبقية قيم التأثير، كشكل المقطع، اللايزوتروبي، انخفاضات الجهد.



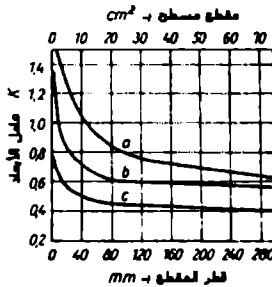
الشكل 312g مخطط المائة الدائمة

ماتة الانعطاف الدائمة σ_{BD} للفولاذ ذو المادة الحجرية غير مخلوطة معدنياً



الشكل 312b مخطط المائة الدائمة

مئاة الفتل الدائمة σ_D للفولاذ ذو المادة الحجرية غير مخلوطة معدنياً



الشكل 313 استمرار لعامل الأبعاد K

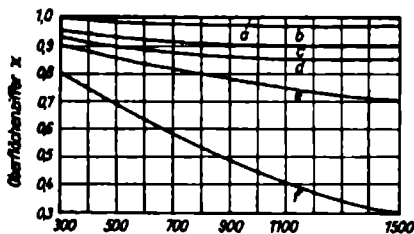
(a) محاور دوارة مع مضبوطة

(c) قضبان مسطحة

(b) قضبان دائرية، المحاور الثابتة والدوارة

$$\beta_k = c(\beta_{k0} - 1) + 1$$

إيجاد عامل تأثير الحز للمحاور ذات شق مفرغ
 β_{k0} عامل تأثير الحز للمحاور ذات شق مفرغ بنسبة
 أقطار محدودة (مثلاً من الأشكال 314b و 314c)
 c عامل التحويل الحسابي (مثلاً من الشكل 314d)



(a) متانة الشد σ_b — N/mm^2

الشكل 314a استمرار لعامل المطح

a مصقول ناعم ($R_1 < 0.4 \mu m$)

b مصقول ناعم متوسط

($R_1 < 1 \mu m$)

c مجلوخ ناعم ($R_1 = 1 \dots 4 \mu m$)

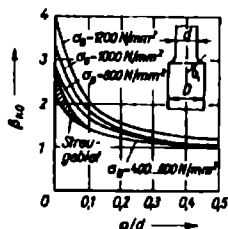
d مجلوخ ناعم متوسطاً أو مطلقاً

($R_1 = 4 \dots 16 \mu m$)

e ($R_1 = 25 \dots 160 \mu m$)

f جلد حديد الصلب أو قشرة

أسطوانية ($R_1 = 160 \dots 630 \mu m$)

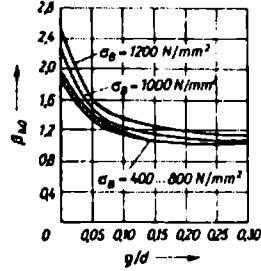
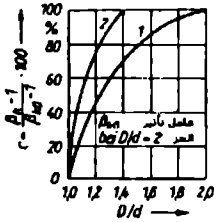


الشكل 314b، عامل تأثير الحز β_{k0}

للمحاور المجهددة بالانعطاف ذات شق

مفرغ من أجل $D/d = 2$ أو جدت

للمحاور ذات قطر $d = 30 \text{ mm}$



الشكل 314d عامل تحويل الحساب c من أجل تأثير نسب أقطار أخرى على عامل تأثير الحزب للمحاور ذات الشقوق المفرغة

الشكل 314c، عامل تأثير الحزب β_{k0} للمحاور المجهدة بالقتل مع شقوق مفرغة من أجل $D/d = 1.4$

1 للانعطاف من أجل $D/d < 2$ (الشكل 314b)

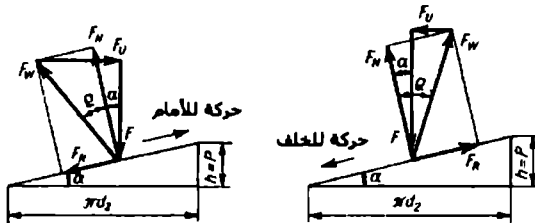
2 للقتل من أجل $D/d < 1.4$ (الشكل 314c)

1. براغي التثبيت

1.1 براغي الربط

(القوى في حز اللولب)

(تطبيق أيضاً لبراغي الحركة)



الشكل 315 القوى في حز اللولب

$$F_U = F \tan(\alpha + \rho')$$

القوة المحيطة أثناء الحركة للأمام

$$F_U = F \tan(\alpha - \rho')$$

القوة المحيطة أثناء الحركة للخلف

$$\mu' = \tan \rho' = \frac{\mu}{\cos \beta}$$

عامل الاحتكاك المختزل

ρ' زاوية الاحتكاك المختزلة

$$M_t = F_U \frac{d_2}{2} = F \frac{d_2}{2} \tan(\alpha + \rho')$$

عزم الدوران

d_2 قطر حلقة الإحكام

$$M_{GA} = F \left[\frac{d_2}{2} \tan(\alpha + \rho') + \mu r_A \right]$$

عزم الشد في اللولب

r_A نصف القطر لعزم احتكاك الموقع

$$r_A \approx 0.7d$$

$$\rho' < \alpha$$

شرط الكبح الذاتي

$$\eta = \frac{\tan \alpha}{\tan(\alpha + \rho')}$$

المردود

1.1.1 البراغي المجهدة طولياً بدون إجهاد مسبق

الإجهاد الستاتيكي

$$\sigma_{z,d} = \frac{F_B}{A_S}$$

إجهاد الشد أو الضغط

F_B قوة التشغيل

A_S مقطع الإجهاد

$$S_F = \frac{\sigma_F}{\sigma_{z,d}}$$

الأمان مقارنة مع السيلان $S_F \geq 1.3$

الإجهاد الديناميكي

$$\sigma_a = \frac{F_{Bmax} - F_{Bmin}}{2A_S}$$

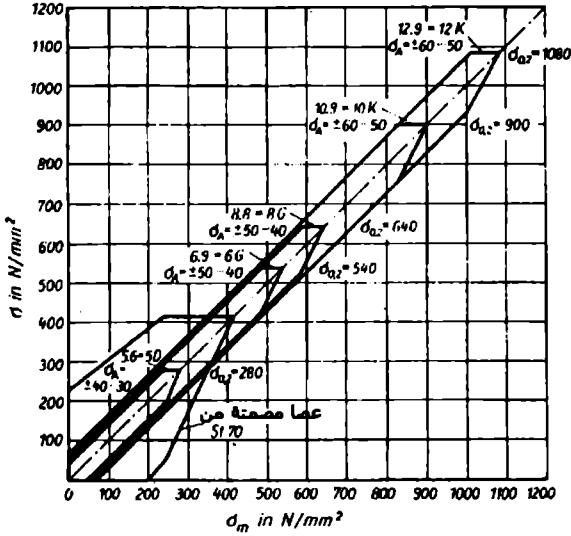
ذبذبة الإجهاد

$$S_D = \frac{\sigma_A}{\sigma_a}$$

الأمان مقارنة مع الاهتار الدائم $S_D \geq 1.3$

σ_A متانة التشكيل (المتانة الدائمة) للبراغي

الشكل (316)



الشكل 316 مائة التشكيل (المائة الدائمة) للبراجي

2.1.1 البراجي الجهدة طولياً مع إجهاد مسبق

$$F_D = F_B \frac{\Delta l_B}{\Delta l_B + \Delta l_S} = F_B \frac{C_S}{C_B + C_S}$$

قوة الاختلاف

Δl_S استطالة البراجي

Δl_B تقصير أجزاء التركيب

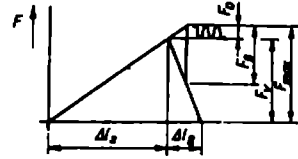
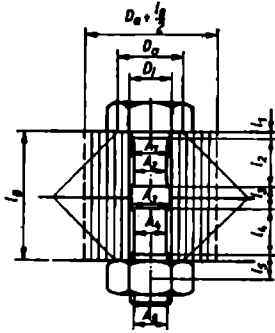
القوة الواحدة (ثابت النابض) للبراجي

E_S معامل المرونة لمادة البراجي

A_1, A_2, \dots أطوال ومقاطع أجزاء

البراجي بدون شرار أو مع شرار

$$C_S = \frac{E_S}{\frac{l_1}{A_1} + \frac{l_2}{A_2} + \dots}$$



الشكل 318 مخطط الإجهاد

المقاطع $A_1 \dots A_5$

الشكل 317 براغي الربط المجهدة طولياً
ديناميكياً مع إجهاد مسبق

$$C_B = \frac{\pi E_B \left[\left(D_a + \frac{l_B}{2} \right)^2 - D_i^2 \right]}{4l_B}$$

القوة الواحدة (ثابت النابض) للأجزاء
المركبة

E_B معامل المطيلية لأجزاء المادة المركبة

D_a, D_i, l_B الأبعاد، انظر الشكل 317

$$F_{\max} = F_v + F_D$$

القوة الأعظمية

F_v قوة مسبقة الإجهاد

$$\sigma_z = \frac{F_{\max}}{A_S}$$

إجهاد الشد

$$\tau_t = \frac{M_t}{W_p} = \frac{M_t}{\frac{\pi d_3^3}{16}}$$

إجهاد الفتل

d_3 قطر النواة

$$\sigma_v = \sqrt{\sigma_z^2 + 3\tau_t^2}$$

إجهاد المقارنة

$$S_F = \frac{\sigma_F}{\sigma_v}$$

الأمان مقارنة مع السيلان $S_F \geq 1.3$

$$\sigma_a = \frac{F_D}{2A_s}$$

ذبذبة الإجهاد

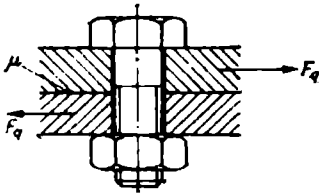
$$S_D = \frac{\sigma_A}{\sigma_a}$$

الأمان مقارنة مع الاختيار الدائم $S_D \geq 1.3$
 σ_A متانة التشكيل (المتانة الدائمة) للبراغي (الشكل 316)

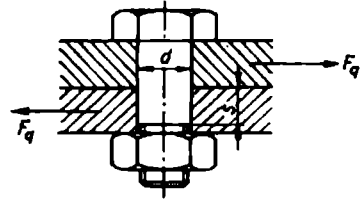
3.1.1 البراغي المجهدة عرضياً

$$\tau_a = \frac{F_q}{A}$$

إجهاد القص لبراغي الضغط المجهدة المقطع



الشكل 320 برغي اختراق بمجهد المقطع
(إقفال بالاحتكاك)



الشكل 319 برغي ضغط بمجهد المقطع
(إقفال بالشكل)

$$p = \frac{F_q}{ds}$$

انضغاط السطوح (ضغط أقرص الثقب) في الراغي
الملائمة المجهدة المقطع

$$F_{max} = \frac{S_q F_q}{\mu}$$

قوة البرغي الأعظمية في القفل الاحتكاكي

S_q أمان الانزلاق

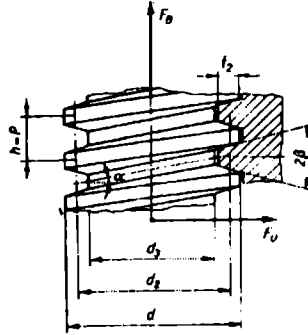
$S_q = 1.1$ - بشكل عام

الحساب الدقيق لمتانة البرغي يطابق البراغي المجهدة طولياً مع إجهاد مسبق، حيث

$$F_{max} = F_v$$

2. براغي الحركة

(الحلزون اللولبي) الشرار



الشكل 321 براغي الحركة مع شرار ذو شبه منحرف

$$\sigma_{z,d} = \frac{F_B}{A_q}$$

إجهاد الضغط أو الشد

مقطع النواة

$$\tau = \frac{M_t}{W_p} = \frac{M_t}{\frac{\pi}{16} d_3^3}$$

إجهاد الفتل

$$\sigma_v = \sqrt{\sigma_{z,d}^2 + 3\tau^2}$$

إجهاد المقارنة

$$S_v = \frac{\sigma_F}{\sigma_v}$$

الأمان بالمقارنة مع السيلان $S_v \geq 1.3$

$$p = \frac{F_B}{\pi d_2 l_2 n}$$

انضغاط السطوح حلزوني/عزقة

n عدد مداخل الشرار

$$m = hn$$

ارتفاع العزقة (الصامولة)

$$\lambda = \frac{l_K}{i}$$

مردود النخافة (في حلزون الضغط، مادام فحصه بالمقارنة

مع التحنيط مطلوباً)

l_K طول التحنيط

i نصف قطر المعطالة

هناك حسابات إضافية حسب Euler في حال $\lambda \geq \lambda_p$ ، وحسب Tetmajer في حال $\lambda < \lambda_p$.
انظر الميكانيك الهندسي.

يمكن حساب الأمان بالمقارنة مع إجهاد الكسر في حالة الإجهادات الديناميكية بشكل مطابق لحساب المحاور الدوارة ص 258.
عندها يجب إيجاد متانة الهيكل σ_G أو τ_G وذبذبات الإجهادات σ_s أو τ_s .

3. الربط بالشرار والخوابير

1.3 الربط بالشرار

$$M_b = \frac{F}{4} \left(1 - \frac{b}{2}\right)$$

عزم الانعطاف (أعظماً)

$$\sigma_b = \frac{M_b}{W} = \frac{8F \left(1 - \frac{b}{2}\right)}{\pi d^3}$$

إجهاد الانعطاف (الأعظمي)
W عزم المقاومة

$$P_{St} = \frac{F}{bd}$$

انضغاط السطوح شرار/عمود

$$P_G = \frac{F}{2ds}$$

انضغاط السطوح شرار/شوكة

2.3 الربط بالخوابير

خوابير الإدخال

$$M_b = Fh$$

عزم الانعطاف (أعظماً)

$$\sigma_b = \frac{M_b}{W} = \frac{32Fh}{\pi d^3}$$

إجهاد الانعطاف (أعظماً)

$$p = \frac{F(6h + 4s)}{ds^2}$$

انضغاط السطوح (أعظماً)

الخوابير القطري

$$\tau = \frac{4M_t}{\pi D_w d^2}$$

إجهاد القص

$$P_N = \frac{4M_t}{(D_N^2 - D_w^2)d}$$

ضغط السطوح خابور/اصرة

$$P_w = \frac{6M_t}{D_w^2.d}$$

انضغاط السطوح خابور/محور (أعظمية)

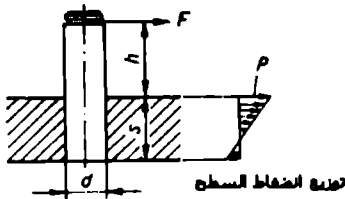
الخابور الطولي (خابور محوري)

$$P = \frac{4M_t}{Dd/l}$$

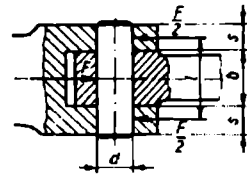
انضغاط السطوح خابور/اصرة

مع خابور/محور

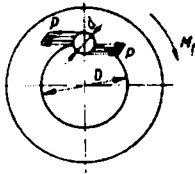
الطول المحمول للخابور



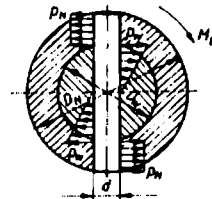
الشكل 323 خابور الإدخال القسري



الشكل 322 الربط بالشرار



الشكل 325 خابور طولي



الشكل 324 خابور قطري

4. الروابط الأحكام للمحاور والصرّة

1.4 نوابض الأحكام (الضغط)

$$F_U = \frac{2M_t}{d_1}$$

القوة المحيطة (في محيط المحور)

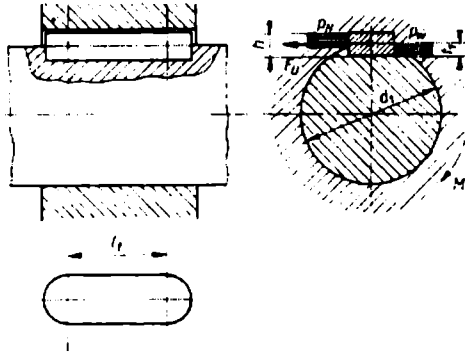
$$p_w = \frac{F_U}{t_1 l_1}$$

ضغط السطوح نابض/محور

$$p_N = \frac{F_U}{(h - t_1) l_1}$$

ضغط السطوح نابض/صرّة

l_1 طول النابض المحمول



الشكل 326 الربط بنوابض الضغط

2.4 المساقط الجانبية للمحاور والصرّة

نوابض ذو أجنحة كثيرة

$$F_U = \frac{2M_t}{d_m}$$

قوة محيطة (في محيط المحور الوسطي)

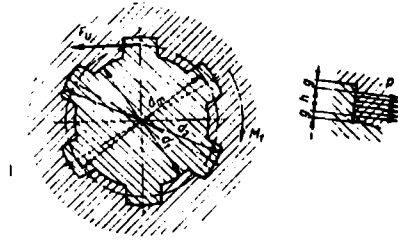
$$p = \frac{F_U}{0.75ihl_1}$$

ضغط السطوح

75% = 0.75 من جزء المساحة المحمولة المفترضة

$$h = \frac{d_2 - d_1}{2} - 2g$$

ارتفاع الصامولة المجهدة



الشكل 327 مسقط محور وصرة (خابور ذو أجنحة كثيرة)

5. روابط الضغط

$$\sigma_{tAi} = p \frac{1+Q_A^2}{1-Q_A^2}$$

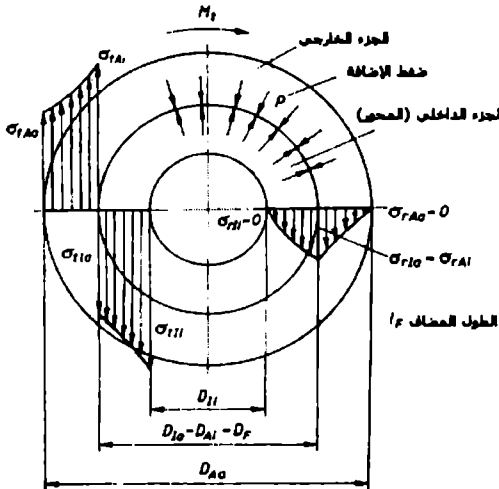
الإجهاد المماسي (الجزء الخارجي، المساحة الداخلية)

$$\sigma_{tIa} = -p \frac{1+Q_I^2}{1-Q_I^2}$$

الإجهاد المماسي (جزء داخلي، مساحة خارجية)

$$Q_A = \frac{D_F}{D_{AS}}; \quad Q_I = \frac{D_{II}}{D_F}$$

نسب الأقطار

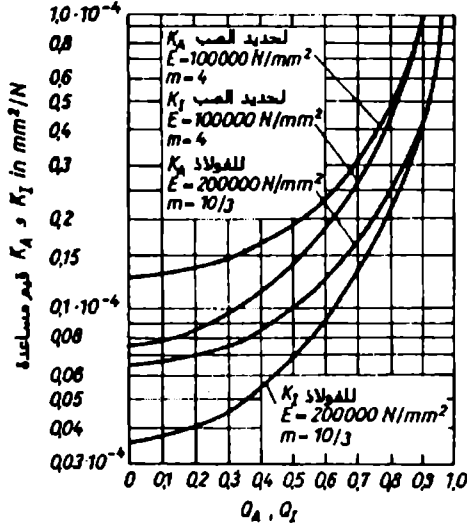


الشكل 328 توزيع الإجهاد في ربط محور وخابور (مضغوطين)

$$\begin{aligned} \sigma_{rAi} &= -p && \text{الإجهاد القطري (جزء خارجي، مساحة داخلية)} \\ \sigma_{rIa} &= -p && \text{الإجهاد القطري (جزء داخلي، مساحة خارجية)} \\ \sigma_{IaA} &= \sigma_{IAi} - p && \text{الإجهاد المماسي (جزء خارجي، مساحة خارجية)} \\ \sigma_{Ili} &= -\frac{2p}{1-Q_I^2} && \text{الإجهاد المماسي (جزء داخلي، مساحة داخلية)} \\ \sigma_{nAi} &= p \left(\frac{1+Q_A^2}{1-Q_A^2} + \frac{1}{m_A} \right) && \text{الإجهاد الناطمي (جزء خارجي، مساحة داخلية)} \\ \sigma_{nIa} &= -p \left(\frac{1+Q_I^2}{1-Q_I^2} - \frac{1}{m_I} \right) && \text{الإجهاد الناطمي (جزء داخلي، مساحة خارجية)} \\ \varepsilon_{Ai} &= \frac{p}{E_A} \left(\frac{1+Q_A^2}{1-Q_A^2} + \frac{1}{m_A} \right) = pK_A && \text{الانفعال (جزء خارجي، سطح داخلي)} \\ \varepsilon_I &= -\frac{p}{E_I} \left(\frac{1+Q_I^2}{1-Q_I^2} - \frac{1}{m_I} \right) = -pK_I && \text{الانفعال (جزء داخلي، سطح خارجي)} \end{aligned}$$

329 K_A, K_I قيم مساعدة لحساب التمدد الشكل

$$\begin{aligned} Z &= p(K_A + K_I) D_F && \text{القياس النظري الزائد} \\ U_K &= Z + \Delta U && \text{القياس الزائد العملي (القياس الزائد أصفري)} \\ \Delta U &= 2(G_{Ai} + G_{Ia}) && \text{ضياح القياس الزائد} \\ G_{Ai} &\approx 0.6 R_{Ai} && \text{النعمومة (جزء خارجي، مساحة داخلية)} \\ G_{Ia} &\approx 0.6 R_{Ia} && \text{النعمومة (جزء داخلي، مساحة خارجية)} \\ F_S &= \sigma_{sA} \frac{1-Q_A^2}{1+Q_A^2} \quad (\sigma_{IAi} = \sigma_{sA} \text{ حيث } (\sigma_{Ai} \text{ من)}) && \text{أكبر ضغط إضافي مسموح به (من } \sigma_{Ai} \text{ حيث } (\sigma_{IAi} = \sigma_{sA} \text{ حيث } (\sigma_{Ai} \text{ من)}) \\ & && \text{الجهاد في حدود المسافة للمادة للجزء الخارجي} \\ U_s &= p_B(K_A + K_I) D_F + \Delta U && \text{أكبر قياس زائد} \\ T &= U_B - U_K && \text{التسامح المناسب} \\ T_B &= (0.5 \dots 0.6) T && \text{تسامح الثقب} \\ T_W &= T - T_B && \text{تسامح المحور} \end{aligned}$$



الشكل 329 قيم مساعدة K_A و K_I لحساب التمدد

$$M_{t \max} = \frac{\frac{\pi}{2} p D_F^2 / F \cdot \mu}{S_H}$$

$$t_A = \frac{U_g + S_K}{\alpha_A D_F} + t_R$$

$$S_K = (0.5 \dots 1.0) U_g$$

عزم الدوران الأعظمي المنقول

$\mu = \mu_r$ عامل الاحتكاك (عامل التماسك)

$S_H = 1.8 \dots 2.0$ أمان التماسك

درجة حرارة الإحماء للجزء الخارجي لجملة

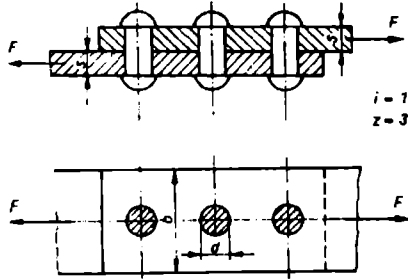
انضغاط عرضية

t_R درجة حرارة الغرفة

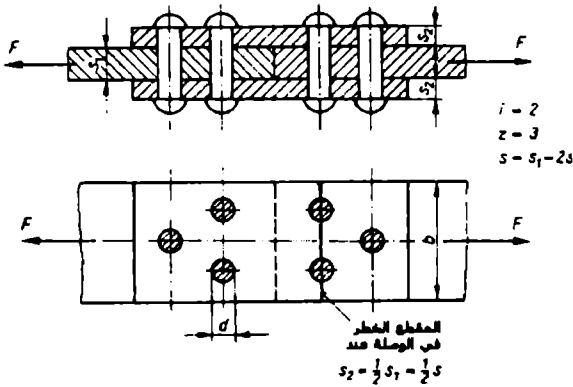
α_A عامل التمدد الحراري الطولي

خلوص الإدخال

6. وصلات الربط بالبرشيم



الشكل 330 البرشمة لصفحة ذات المقطع الواحد (تراكبية)



الشكل 331 البرشمة ذات مقطعين

$$\tau = \frac{F}{A}$$

$$A = \frac{\pi d^2}{4} iz$$

إجهاد القص (إجهاد الانزياح) في مقطع الوصلة

سطح القص - مقطع القص يشمل

d قطر البرشام المتعرض للحط

i عدد المقاطع المقصوفة لكل وصلة.

z عدد الوصلات

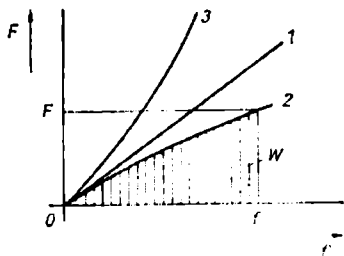
$$p_1 = \frac{F}{dsz}$$

ضغط القرص المثقوب (انضغاط) بين القطعة والمسار المرشم
s أصغر سماكة عناصر الربط النسبية

$$\sigma_z = \frac{F}{s(b-2d)}$$

إجهاد الشد الأعظمي في الأجزاء الموصولة، شكل 331
عندها يجب دائماً اعتبار الموقع ذو المقطع الخطر

7. النوابض



الشكل 332 الخطوط المميزة للنوابض

1 سلوك خطي، 2 سلوك تنازلي
3 سلوك تصاعدي

$$c = \frac{dF}{df}$$

ثابت النابض (عام)

$$c = \frac{F}{f}$$

ثابت النابض (في الخط المستقيم المستقيم)

$$W = \int F df$$

عمل النابض (عام)

$$W = \frac{Ff}{2} = \frac{cf^2}{2}$$

عمل النابض (في الخط المميز المستقيم)

1.7 النوابض المهجدة بالانعطاف

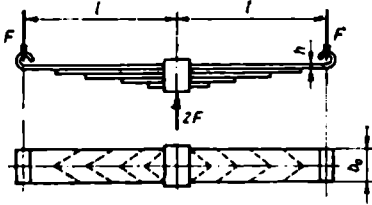
النوابض الورقية البسيطة

$$\sigma_b = \frac{M_b}{W} = \frac{6Ff}{bh^2}$$

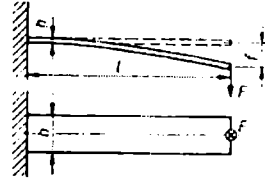
$$f = \frac{F/3}{3EI} = \frac{4F/3}{Ebh^3}$$

يعتبر كجائز حر {
إجهاد الانعطاف (الأعظمي)
إجهاد التمدد (مسافة النابض)

النوابض الورقية الطبقية



الشكل 334 النوابض الورقية الطبقية



الشكل 333 النابض الورقي البسيط

$$\sigma_b = \frac{M_b}{W} = \frac{6Fl}{bh^2} = \frac{6Fl}{ib_0h^2}$$

$$f = q \frac{Fl^3}{3EI} = q \frac{4Fl^3}{Eib_0h^3}$$

إجهاد الانعطاف (الأعظمي)

التدلي (مسافة النابض)

ل عزم العطالة

E مودول المطيلية

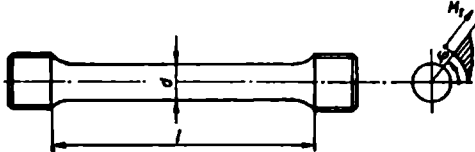
i عدد صفائح النابض

q عامل، يأخذ بعين الاعتبار عدد صفائح النابض

عدد صفائح النابض	1	2	3	4	5	6
q	1	1.16	1.24	1.28	1.31	1.34

2.7 النوابض المجهدة بالفتل

نابض قضيب دوراني



الشكل 335 نابض قضيب دوراني

$$\tau_t = \frac{M_t}{W_p} = \frac{16M_t}{\pi d^3}$$

إجهاد الفتل

M_t عزم الدوران

W_p عزم المقاومة القطبي

d قطر القضيب الدوار

زاوية الدوران

G مودول الانزلاق

I_p عزم العطالة القطبي

ثابت النابض

$$\varphi = \frac{M_t l}{GI_p} = \frac{32M_t l}{\pi Gd^4}$$

$$C = \frac{M_t}{\varphi} = \frac{GI_p}{l}$$

نوابض البراغى الاسطوانية من شبكة فولاذ نابضية ذات مقطع دائري

$$\tau = k \frac{M_t}{W_p} = k \frac{8Fd_m}{\pi d^3}$$

إجهاد الانزلاق

d_m قطر اللفة الوسطي

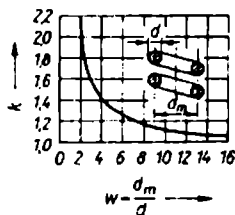
W_p عزم المقاومة القطبي

d قطر السلك

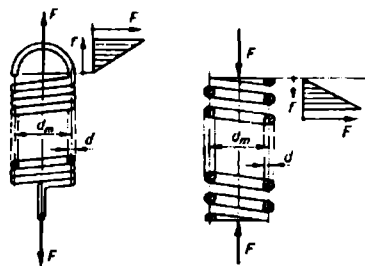
$k = f(w)$ عامل يأخذ بعين الاعتبار نسبة اللف

$$w = \frac{d_m}{d} \geq 3$$

نسبة اللف



الشكل 337، عامل $k = f(w)$



الشكل 336 نابض على شكل برغى

يستخدم كتابض للشد أو الضغط

$$f = \frac{\pi F_i r d_m^3}{4GI_p} = \frac{8F_i r d_m^3}{Gd^4}$$

مسافة النابض، النابضية

(الانضغاط عند نابض ضغط، الاستطالة في حال نابض شد)

G مودول الانزلاق

I_p عزم العطالة القطبي

i_r عدد لفات النابض

$$i_{tot} = i_r + 2$$

عدد اللفات الكلية (في نابض الضغط)

$$l_B = i_{tot} d$$

طول البلوك في (نابض الضغط)

8. المحاور الثابتة والمحاور الدوارة

1.8 القوى وقوى ردود الأفعال (قوى المضاجع)

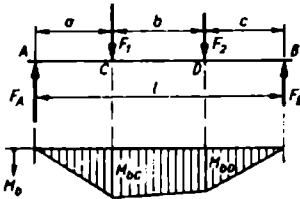
(المحاور الثابتة فقط انعطاف)

إيجاد قوى المضاجع باستخدام

شروط التوازن (تخطيطياً أو حسابياً)

في الشكل 338 القوى والعزوم في

المحور (مثال)



قوى المضاجع (الشكل 338)

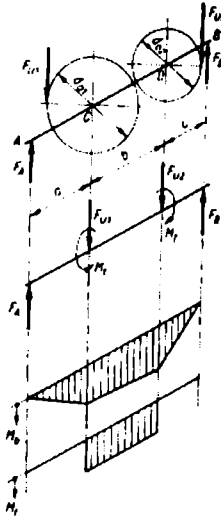
$$\sum M_A = 0$$

$$F_B = \frac{F_1 a + F_2 (a + b)}{l}$$

$$\sum F_y = 0$$

$$F_A = F_1 + F_2 - F_B$$

المحاور الدوارة (انعطاف مع قتل)

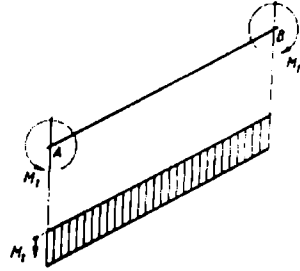


الشكل 339 القوى والعزوم في محاور
(مثلاً محور آلية)

إيجاد القوى المحيطة من عزم الدوران.
إيجاد قوى المضاجع كما في المحاور الثابتة
(تحصل القوى القطرية)
القوى المحيطة (الشكل 339)

$$F_{U1} = \frac{2M_t}{d_{01}}$$

$$F_{U2} = \frac{2M_t}{d_{02}}$$



الشكل 340 عزم القتل في محاور (مثلاً محور كاردان)

المحاور الدوارة (فقط قتل)

لا يوجد هناك قوى مضاجع

2.8 عزوم القتل والانعطاف

المحاور الثابتة (فقط عزوم الانعطاف)

يتم إيجاد عزوم الانعطاف من المقاطع المعتبرة وشروط التوازن (حسابياً أو تخطيطياً)

$$M_{BC} = F_{Aa}$$

عزوم الانعطاف في C و D (للكشكل 338)

$$M_{bD} = F_{Bc}$$

المحاور الدوارة (عزوم الفتل والانعطاف)

يتم إيجاد عزوم الانعطاف تماماً كما في المحاور الثابتة.

يتم إيجاد عزوم الفتل من الاستطاعة وعدد الدورات.

$$* M_t = 97400 \frac{P}{n}$$

M_t	P	n
kp cm	kW	l/min

عزم الفتل بين C و D
(في الشكل 339)

$$M_t = F_{U1} \frac{d_{01}}{2} = F_{U2} \frac{d_{02}}{2}$$

أو

$$* M_t = 9550 \frac{P}{n}$$

M_t	P	n
Nm	kW	l/min

المحاور الدوارة (فقط عزوم الفتل)

$$* M_t = 97400 \frac{P}{n}$$

M_t	P	n
kp cm	kW	l/min

عزم الفتل بين A و B (في
الشكل 340)

أو

$$* M_t = 9550 \frac{P}{n}$$

M_t	P	n
Nm	kW	l/min

3.8 الإجهادات

المحاور الثابتة (إجهاد الانعطاف)

$$\sigma_b = \frac{M_b}{W} = \frac{M_b}{\frac{\pi}{32} d^3} \leq \sigma_{ballal}$$

إجهاد الانعطاف

$$d = \sqrt[3]{\frac{32M_b}{\pi\sigma_{balla}}} = 2.173 \sqrt[3]{\frac{M_b}{\sigma_{balla}}}$$

حساب القطر

المحاور الدوارة (إجهاد الانعطاف، إجهاد الفتل، الإجهاد المقارن)

$$\sigma_b = \frac{M_b}{W} = \frac{M_b}{\frac{\pi}{32} d^3} \leq \sigma_{ballal} \quad \text{إجهاد الانعطاف}$$

$$\tau_t = \frac{M_t}{W_p} = \frac{M_t}{\frac{\pi}{16} d^3} \leq \tau_{tallal} \quad \text{إجهاد الفتل}$$

$$\sigma_v = \sqrt{\sigma_b^2 + 3\tau_t^2} \leq \sigma_{ballal} \quad \text{الإجهاد المقارن}$$

$$d = \sqrt[3]{\frac{32M_b}{\pi\sigma_{balla}}} = 2.173 \sqrt[3]{\frac{M_b}{\sigma_{balla}}} \quad \text{الحساب التقديري للقطر (فقط باعتبار الانعطاف)}$$

$$d = \sqrt[3]{\frac{16M_t}{\pi\tau_{balla}}} = 1.723 \sqrt[3]{\frac{M_t}{\tau_{balla}}} \quad \text{الحساب التقديري للقطر (فقط باعتبار الفتل)}$$

$$d = \sqrt[3]{\frac{32M_v}{\pi\sigma_{balla}}} = 2.173 \sqrt[3]{\frac{M_v}{\sigma_{balla}}} \quad \text{حساب القطر (باعتبار الانعطاف والفتل)}$$

$$M_v = \sqrt{M_b^2 + 0.75M_t^2} \quad \text{عزم المقارنة}$$

4.8 متانة التشكيل والمتانة الدائمة

المحاور الثابتة (انعطاف حسب حالة التحميل III (انعطاف دوراني) أو II)

$$S_D = \frac{\sigma_G}{\sigma_a} \quad \text{الأمان مقارنة مع الأحمال الدائم}$$

$$\sigma_G = \frac{\sigma_{bw} K x}{\beta_{kb}} \quad \text{متانة الهيكل (حالة التحميل III)}$$

σ_{bw} متانة الانعطاف المتناوبة

K عامل القياس

x عامل السطح الخارجي

β_{kb} عامل تأثير الحز عند الانعطاف

$$\sigma_a = \sigma_b = \frac{M_b}{W} \quad \text{ذبذبة الإجهاد (حسب حصة التحميل III)}$$

المحاور الدوارة (انعطاف و/أو قتل حسب حالة التحميل III أو II)

$$S_D = \frac{\sigma_G}{\sigma_a} \quad \text{الأمان مقارنة مع الاهتزاز الدائم (انعطاف)}$$

$$S_D = \frac{\tau_G}{\tau_a} \quad \text{الأمان مقارنة مع الاهتزاز الدائم (قتل)}$$

$$S_D = \frac{\sigma_G}{\sigma_a} \quad \text{الأمان مقارنة مع الاهتزاز الدائم (انعطاف وقتل)}$$

$$\sigma_G = \frac{\sigma_{bW} Kx}{\beta_{kb}} \quad \text{متانة الهيكل (انعطاف) حالة التحميل III}$$

$$\tau_G = \frac{\tau_{tW} Kx}{\beta_{kt}} \quad \text{متانة الهيكل (القتل) حالة التحميل III}$$

τ_{tW} متانة القتل المتناوبة

β_{kt} عامل تأثير الحز عند القتل

$$\sigma_G = \frac{\sigma_{bW} Kx}{\beta_{red}} \quad \text{متانة الهيكل الانعطاف والقتل (حالة التحميل III)}$$

عامل تأثير الحز المخترزل

$$\beta_{red} = \sqrt{\beta_{kb}^2 + 3 \left(\frac{\tau_a}{\sigma_a} \beta_{kt} \right)^2}$$

$$\sigma_a = \sigma_b = \frac{M_b}{W} \quad \text{ذبذبة الإجهاد (انعطاف) حالة التحميل III}$$

$$\tau_a = \tau_t = \frac{M_t}{W_p} \quad \text{ذبذبة الإجهاد القتل (حالة التحميل III)}$$

$$\sigma_a = \sigma_b = \frac{M_b}{W} \quad \text{ذبذبة الإجهاد الانعطاف والقتل (حالة التحميل III)}$$

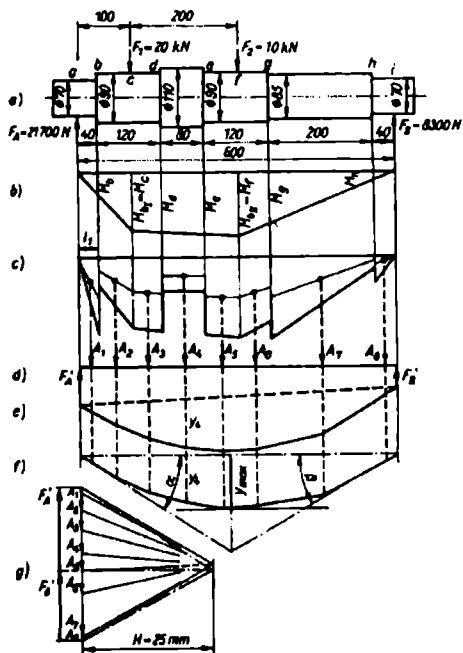
يعتبر القتل بعد ذلك خلال β_{red}

5.8 تغييرات الشكل

التدلي في المحاور الثابتة والمحاور الدوارة

يتم إيجاد الحل الحسابي للتدلي بمساعدة معادلة التفاضل لحظ الانعطاف، أو عملية قيم القوى أو قانون Castigliano. من أجل حمولات معينة تعطى قيم التدلي. (الجدول).

يتم إيجاد الحل التخطيطي للتدلي، بشكل خاص للمحاور والمحاور الدوارة، بطريقة الجائز المكافئ حسب Mohr (الشكل 341).



يتم اعتبار مقياس الرسم

قياس الرسم الطولي
(مقياس الرسم للقوى)

مقياس رسم العزوم

مقياس رسم العزوم المختزلة

مقياس رسم المساحة

مقياس رسم التدلي

الشكل 341 الحل التخطيطي لإيجاد التدلي محور دوار

عرض البيانات الهامة لذلك في شكل جدول

محتوى السطح \wedge يكافئ قوى السطح N/mm^2	المساحة	$\frac{M_b}{I}$ N/mm^3	M_b $N\ mm$	I $10^4\ mm^4$	a mm	الموقع
$\frac{0.74 \times 40}{2} = 14.8$	A_1	-	-	117.9	70	a

الفتل في المحاور

$$\varphi = \frac{M_t l}{GI_p}$$

زاوية الفتل

G مودول الانزلاق

I_p عزم العطالة القطبي

زاوية الفتل النسبية

$$\vartheta = \frac{\varphi}{l} = \frac{M_t}{GI_p}$$

حساب القطر (مع اعتبار زاوية الفتل النسبية المسموح بها)

$$* d = \sqrt[4]{\frac{180}{\pi} \frac{32M_t}{\pi G \vartheta_{\text{allow}}}}$$

d	M_t	ϑ_{allow}	G
cm	kp cm	$\frac{^\circ}{\text{cm}}$	$\frac{\text{kp}}{\text{cm}^2}$

أو

d	M_t	ϑ_{allow}	G
cm	N cm	$\frac{^\circ}{\text{cm}}$	$\frac{\text{N}}{\text{cm}^2}$

6.8 الاهتزازات

اهتزازات الانعطاف للمحاور الدوارة

$$* n_k = 300 \sqrt{\frac{1}{f}}$$

n_k	f
1/min	cm

عدد الدورات الحرج (الطنين) في القرص المركب

f التبدلي الستاتيكي للمحور الدوار نتيجة الوزن الذاتي للصحيفة (القرص) أيضاً عند محور دوار مائل أو شاقولي

$$* n_k = 300 \sqrt{\frac{1}{f_0 + f_1 + f_2 + \dots}}$$

n_k	f_0, f_1, f_2, \dots
1/min	cm

تطبق أيضاً هذه الصيغة في حال تقريب كبير

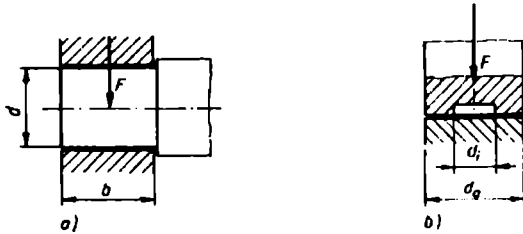
عدد الدورات الحرج (الطين) لأقرص عديدة
مركبة حسب Dunkerley

f_0 التدلي الستاتيكي للمحور الدوار نتيجة الوزن الذاتي للمحور (يمكن إهماله)
 f_1, f_2 التدلي الستاتيكي نتيجة الوزن الذاتي للأقرص

9. المضاجع الانزلاقية (المدحرجات)

1.9 المضاجع الانزلاقية مع احتكاك ممزوج (مضجع تاكل)

ضغط السطوح



الشكل 342 المضجع الطولي والعرضي

(a) مضجع عرضي (b) مضجع طولي

$$p = \frac{F}{bd}$$

انضغاط السطوح في المضجع العرضي (مضجع حامل)

$$p = \frac{F}{\frac{\pi}{4}(d_a^2 - d_i^2)}$$

انضغاط السطوح في المضجع الطولي (مضجع حماية)

التسخين

$$\mu F_v = \alpha A(t_m - t_1) + cpQ(t_2 - t_2)$$

التوازن الحراري

μFv

حرارة الاحتكاك، الحرارة المتولدة

μ عامل الاحتكاك

$v = \pi dn$

سرعة الانزلاق (المضجع العرضي)

$\alpha A(t_m - t_1)$

الحرارة المسحوبة من المضجع خلال الإشعاع

α عامل انتقال الحرارة

$$\alpha \approx 0.012 \dots 0.02 \frac{\text{kpcm}}{\text{cm}^2 \text{s K}}$$

$$\approx 0.012 \dots 0.02 \frac{\text{Nmm}}{\text{mm}^2 \text{s K}}$$

$A = (4 \dots 10) \pi bd$

سطح الطبقة الخارجية للمضجع

t_m درجة حرارة طبقة التشحيم الرقيقة الوسطية (درجة حرارة المضجع)

t_1 درجة حرارة الهواء المحيط بالمضجع

$cpQ(t_a - t_e)$

الحرارة المسحوبة من المضجع بواسطة وسيط تبريد

c السعة الحرارية النوعية لوسيط التبريد

$$c \approx 0.4 \frac{\text{kcal}}{\text{kg K}} = 1.68 \frac{\text{kJ}}{\text{kg K}}$$

باستخدام زيت التبريد

ρ كثافة وسيط التبريد، $\rho \approx 0.9 \frac{\text{kg}}{\text{dm}^3}$

t_a درجة حرارة خروج وسيط التبريد

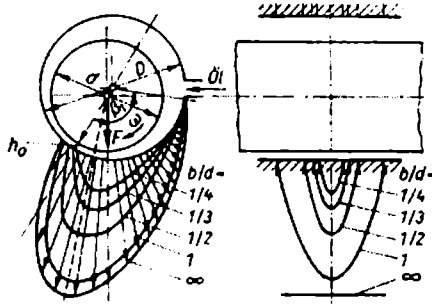
t_e درجة حرارة دخول وسيط التبريد

الاهتراء (التآكل)

يمكن حساب التآكل بحساب عمر المضجع بمساعدة مخطط التآكل (يمكن العودة

إلى المراجع الاختصاصية)

2.9 المدحرجات الهيدروديناميكية



الشكل 343 مخطط توزيع الضغط في قناة التثحيم

$$s = D - d$$

$$s_k = s + \Delta s$$

$$\Delta s \approx 10^{-4} d$$

$$\psi = \frac{s}{d} = \frac{D-d}{d}$$

$$e = \frac{D-d}{2} - h_0$$

$$\epsilon = \frac{e}{\frac{D-d}{2}}$$

$$h_0 = \psi r (1 - \epsilon)$$

$$h_{0\ddot{u}} = y_1 + y_2 + y_3 + y_4$$

$$y_1 = \frac{R_L}{2}$$

$$y_2 = \frac{R_Z}{2}$$

خلوص المضجع المطلق (خلوص ساخن)

خلوص المضجع المطلق (خلوص بارد)

فرق الخلوص في طبقة الصب الخارجية

خلوص المضجع النسبي

حساب اللامر كترية

حساب اللامر كترية النسبية

أضيق ممر مشحوم (مزيت)

أضيق ممر مشحوم (قيمة انتقالية، قيمة حدية)

درجة خشونة السطح الخارجي للمضجع

R_L عمق خشونة المضجع

خشونة السطح الخارجي للوتد (خابور)

R_Z عمق خشونة الخابور

y_3 انحراف (ميل) وتحدب الخابور

$$y_3 = 0.001 \dots 0.01 \text{ mm}$$

y_4 ميل وتحدب قشرة المضجع، قابل للتحديد

بصعوبة، غالباً $y_4 = 0$

R_z عمق خشونة الخابور

عامل أمان لأضيق ممر مشحوم

$$S = \frac{h_0}{h_{0\bar{u}}}$$

$$S = 1.2 \dots 1.5$$

$$\sigma = \frac{h_0}{r}$$

عرض المر النسبي

$$S_0 = \frac{p\psi^2}{\eta\omega}$$

عامل Sommerfeld

η اللزوجة الديناميكية للزيت

ω السرعة الزاوية للخابور

$$\mu = \frac{2.25}{\sqrt{1-\varepsilon}} \frac{\psi}{S_0}$$

قيمة التآكل (معادلة تقريبية)

تحليل المضجع

بمجال الخلوص الطبيعي للمضجع

$$S_0 = 1 \dots 20 \text{ و } \varepsilon = 0.60 \dots 0.95$$

10. المدحرجات الأسطوانية

قدرة التحمل الديناميكية

$$L = \left(\frac{C}{F}\right)^p$$

L العمر بملايين الدورات

C الحمولة الديناميكية

F الحمل المكافئ

p أس العمر وبشكل عام فإن $p = 3 \dots 4$

للمدحرجات الكروية $p = 3$ ، للمدحرجات الأسطوانية $p = \frac{10}{3}$

$$* L_h = \frac{10^6 L}{60n}$$

L_h	L	n
h	10^6	$1/\text{min}$

L_h عمر المدحرج بـ ساعات العمل

$$\left. \begin{array}{l} \text{حسب مراجع علمية أو من} \\ \text{النشرات الفنية للمدحرجات} \\ \text{الأسطوانية} \end{array} \right\} \begin{array}{l} \text{عامل تحديد العمر } f_L \quad f_L = \frac{C}{F} f_n f_i \\ \text{عامل عدد الدورات } f_n \\ \text{عامل درجة الحرارة } f_i \end{array}$$

تعتبر القوى الإضافية الديناميكية من خلال عوامل الإضافة f_i ، حيث $f_i = 1.1 \dots 2.3$ عند تجاوز القساوة الأصغرية (60 أو 59 HRC)، يتم تخفيض عدد المحولات الديناميكية عبر إدخال عامل القساوة. $f_H < 1.0$.

حساب عوامل عدد الدورات وعوامل عمر المدحرج

$$f_n = \left(\frac{33 \frac{1}{3} \text{ min}^{-1}}{n} \right)^{\frac{1}{3}} \quad \text{عامل عدد الدورات للمدحرج الكروي}$$

$$f_n = \left(\frac{33 \frac{1}{3} \text{ min}^{-1}}{n} \right)^{\frac{3}{10}} \quad \text{عامل عدد الدورات للمدحرج الأسطواني}$$

$$f_L = \left(\frac{L_h}{500h} \right)^{\frac{1}{3}} \quad \text{عامل العمر للمدحرج الكروي}$$

$$f_L = \left(\frac{L_h}{500h} \right)^{\frac{3}{10}} \quad \text{عامل العمر للمدحرج الأسطواني}$$

حساب الحمل المكافئ

$$F = VXF_r + YF_a$$

$$F = F_a + VF_r$$

$$F = F_a$$

الحمل المكافئ للمدحرج القطري

الحمل المكافئ للمدحرج المحوري الأبري

الحمل المكافئ للمدحرجات الكروية - الأسطوانية والمحورية

F عامل الدورات

عند الحمل المحيطي للحلقة الداخلية $V = 1$ ، عند الحمل النقطي

للحلقة الداخلية حسب جداول المدحرجات الأسطوانية

F_r الحمل القطري الحقيقي

F_a الحمل المحوري الحقيقي

X العامل القطري { حسب جداول

Y العامل المحوري { المدحرجات الأسطوانية

قدرة الحمل الستاتيكية

$$f_0 = \frac{C_0}{F_0}$$

عامل تعريف قدرة الحمل الستاتيكية

C_0 عامل الحمل الستاتيكي

F_0 الحمل المكافئ الستاتيكي

حساب الحمل الستاتيكي المكافئ

$$F_0 = X_0F_{r0} + YF_{a0}$$

$$F_0 = 2.3F_{r0} + F_{a0}$$

$$F_0 = F_{a0}$$

الحمل الستاتيكي المكافئ للمدحرج القطري

الحمل الستاتيكي المكافئ للمدحرج المحوري الدوراني الأبري

الحمل الستاتيكي المكافئ للمدحرج الكروي المحوري

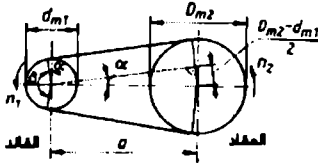
F_{r0} أكبر حمل قطري مطبق

F_{a0} أكبر حمل محوري مطبق

X_0 العامل القطري { حسب جداول

Y_0 العامل المحوري { المدحرجات الأسطوانية

11. السيور



الشكل 347 الشكل تخطيطياً للسيور

$$i = \frac{n_1}{n_2} = \frac{D_{m2}}{d_{m1}}$$

$$v = \pi d_{m1} n_1 = \pi D_{m2} n_2$$

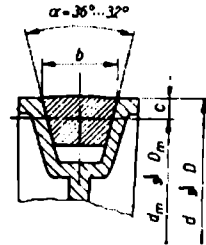
$$\cos \frac{\beta}{2} = \frac{D_{m2} - d_{m1}}{2a}$$

$$L_m = \frac{d_{m1} + D_{m2}}{2} \pi + 2a + \frac{(D_{m2} - d_{m1})^2}{4a}$$

$$Z = \frac{P' c_2}{P c_1 c_3}$$

اعتبار المستحجات لقيم تأثير أخرى،

كطول السير وعدد السيور، المحيط.



الشكل 346 مقطع لشكل السيور

نسبة النقل

n_1 عدد دورات البكرة القائدة

n_2 عدد دورات البكرة المقادة

السرعة المحيطة، سرعة السير

β زاوية الإحاطة

طول السير الوسطي (قيمة

تقريبية لـ $140^\circ \leq \beta \leq 180^\circ$

عدد السيور

P' الاستطاعة المطلوب نقلها

P الاستطاعة القابلة للنقل عندما $\beta = 180^\circ$

دون إجهاد زائد (قيمة مثالية)

c_1 عامل زاوية الإحاطة $c_1 \leq 1$

c_2 عامل إجهاد زائد قصير الأجل $c_2 \geq 1$

c_3 عامل لقطر الأقراص $c_3 \leq 1$

1.12. المسننات

1.12 هندسة وآلية التعشيق

$$i = \frac{n_1}{n_2} = \frac{\omega_1}{\omega_2} = \frac{z_2}{z_1}$$

النقل (دوماً باتجاه تأثير القوة)

n_1, n_2 عدد دورات البكرتين القائدة والمقودة

ω_1, ω_2 السرعة الزاوية البكرتين القائدة والمقودة

z_1, z_2 عدد أسنان المسنن القائد والمقود

$$u = \frac{z_{pinion}}{z_{gear}} \geq 1$$

نسبة عدد الأسنان (غير متعلق باتجاه تأثير القوة)

تحديد وحساب قيم المسننات ذات الأسنان المستقيمة مع تعشيق انقليوي

$$t_0 = \pi m$$

منصف دائري جزئي

m مودول (تجزئة القطر)

$$d_0 = z m$$

قطر الدائرة الجزئي

$$h_{k0} = m$$

ارتفاع رأس السن

$$h_{f0} = h_{kw}$$

ارتفاع جذر السن

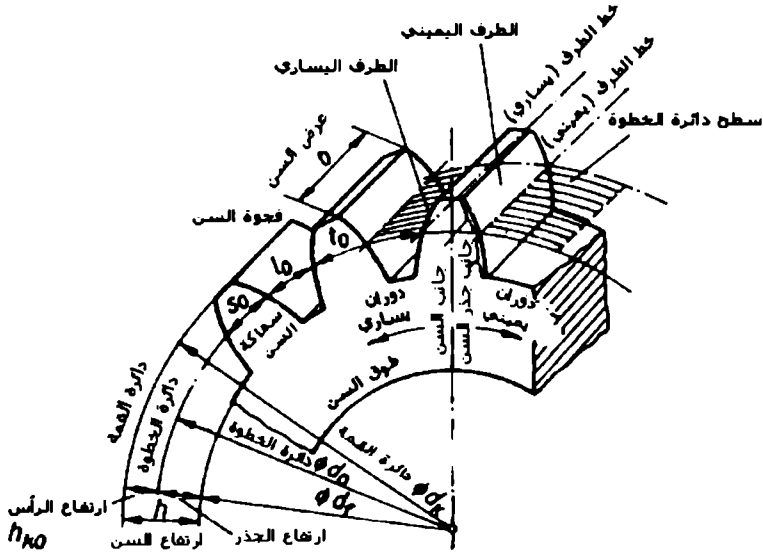
h_{kw} ارتفاع رأس الأداة (ارتفاع الرأس

بالنسبة لمسقط الأداة)

$$h_{kw} = 1.167 m \text{ أو } h_{kw} = 1.25 m$$

ارتفاع رأس الأداة، قيمة عادية (حسب

المسقط I حتى IV)



الشكل 348 مميزات ومواصفات السن ذو الأسنان المستقيمة

- ارتفاع السن $h_0 = h_{k0} + h_{r0} = h_{k0} + h_{kw}$
- قطر دائرة الأساس $d_k = d_0 + 2h_{k0} = m(z + 2)$
- بعد المحور لآلية الصفر وآلية الصفر - V أو $d_r = d_0 + 2h_{r0} = d_0 - 2h_{kw}$
- قيم حسابية لآلية V بعد المحور للآلية V $a_0 = \frac{d_{01} + d_{02}}{2} = \frac{m}{2}(z_1 + z_2)$
- زاوية الهجوم $\alpha = 20^\circ$ بعد المحور للآلية V $a = \frac{d_{b1} + d_{b2}}{2} = a_0 \frac{\cos \alpha_0}{\cos \alpha_b}$
- زاوية هجوم التشغيل $\alpha_b \neq \alpha_0$
- قطر دائرة الرأس للمسنن V (مع تقصير الرأس) $d_{k1} = 2(a + m - x_2 m) - d_{o2}$
- قطر دائرة الأساس للمسنن V $d_{k2} = 2(a + m - x_1 m) - d_{o1}$
- $d_r = d_0 - 2(h_{kw} - xm)$

$$x_1 + x_2 = \frac{ev\alpha_b - ev\alpha_0}{2 \tan \alpha_0} (z_1 + z_2)$$

بمجموع عوامل الانزياح للمسقط
تجزئة بمجموع عوامل الانزياح للمسقط
حسب عدد الأسنان ونسبة النقل
للمسنتات.

$$ev \alpha = \tan \alpha - a$$

التابع الانقليوي

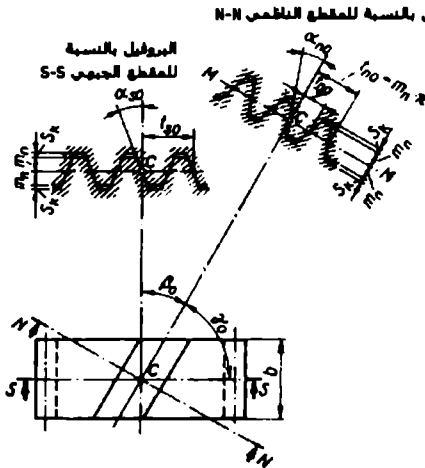
أو $ev \alpha_b$ أو $ev \alpha_0$ قيم التوابع الانقليوية

$$e_p = \frac{\sqrt{d_{k1}^2 - d_{g1}^2} + \sqrt{d_{k2}^2 - d_{g2}^2} - 2a \sin \alpha_b}{2t_0 \cos \alpha_0}$$

$$d_s = d_0 \cos \alpha_0 = d_b \cos \alpha_b$$

قطر الدائرة الأساسية

تحديد القيم والحسابية للمسنت المائل مع تعشيق انقليوي



الشكل 349 مسنت ذو أسنان مائلة ومقطعين ناظمي وجيهي

$$m_g = \frac{m_n}{\cos \beta_0}$$

المودول الجبهي

m_n مودول الطبيعي، نظامي (ستاندرد)

$\beta_0 = 8^\circ \dots 20^\circ$ زاوية الميل

$$t_{g0} = \pi m_g$$

الخطوة المائلة

$$t_{n0} = \pi m_n$$

الخطوة الطبيعية

$$\tan \alpha_{g0} = \frac{\tan \alpha_{n0}}{\cos \beta_0}$$

α_{g0} زاوية الهجوم الجبهي

$$z_n = z_v = \frac{z}{\cos^3 \beta_0}$$

عدد أسنان المسنن المستقيم المكافئ

(عدد الأسنان الحقيقي)

$$d_0 = z m_s = z \frac{m}{\cos \beta_0}$$

قطر دائرة الخطوة

$$d_k = d_0 + 2m_n = \left(\frac{z}{\cos \beta_0} + 2 \right)$$

قطر دائرة الرأس (مسنن الصفر)

$$d_f = d_0 - 2h_{kw}$$

قطر دائرة الجذر (مسنن الصفر)

$$a_0 = \frac{d_{01} + d_{02}}{2} = \frac{m_n}{2 \cos \beta_0} (z_1 + z_2)$$

مسافة المحور لآلية الصفر وآلية الصفر - V

أو القيم الحسابية للآلية V

$$a = \frac{d_{b1} + d_{b2}}{2} = a_0 \frac{\cos \alpha_{s0}}{\cos \alpha_{sb}}$$

بعد المحور للآلية - V

α_{sb} زاوية هجوم التشغيل في المقطع الجبهي

$$d_{k1} = 2(a + m_n - x_2 m_n) - d_{02}$$

قطر دائرة الرأس للمسنن V (مع تقصير

رأس)

$$d_{k2} = 2(a + m_n - x_1 m_n) - d_{01}$$

$$d_f = d_0 - 2(h_{kw} - x m_n)$$

قطر دائرة الأساس للمسنن V

$$x_1 + x_2 = \frac{e v \alpha_{sb} - e v \alpha_{s0}}{2 \tan \alpha_{n0}} (z_1 + z_2)$$

مجموع عوامل انزياح البروفيل

يتم تجزئة مجموع عوامل انزياح البروفيل

حسب عدد الأسنان ونسبة النقل للمسنن

$$\epsilon_p = \frac{\sqrt{d_{k1}^2 - d_{g1}^2} + \sqrt{d_{k2}^2 - d_{g2}^2} - 2a \sin \alpha_{sb}}{2t_{s0} \cos \alpha_{s0}} \quad \text{درجة تغطية البروفيل}$$

$$\epsilon_{sp} = \frac{b \tan \beta_0}{t_{s0}} \quad \text{تغطية القفزة}$$

$$\epsilon_{ges} = \epsilon_p + \epsilon_{sp} \quad \text{درجة التغطية الكلية}$$

تحديد القيم الحسابية للمسند المخروطي ذو الأسنان المستقيمة

مع تعشيق انقليزي (آلية الصفر)

$$\delta_A = \delta_{o1} + \delta_{o2} \quad \text{زاوية المحور}$$

$$\tan \delta_{o1} = \frac{\sin \delta_A}{\frac{z_2}{z_1} + \cos \delta_A} \quad \delta_{o2}, \delta_{o1} \text{ زوايا المخروط}$$

$$\tan \delta_{o2} = \frac{\sin \delta_A}{\frac{z_1}{z_2} + \cos \delta_A}$$

$$d_0 = zm \quad \text{قطر الدائرة الجزئية}$$

$$d_{m0} = d_0 - b \sin \delta_0 \quad \text{القطر الوسطي}$$

$$b \leq b_{\max} = \frac{R_a}{3} \quad \text{عرض السن}$$

$$R_a = \frac{d_{o1}}{2 \sin \delta_{o1}} = \frac{d_{o2}}{2 \sin \delta_{o2}} \quad \text{نصف قطر للمسند}$$

$$d_{r0} = \frac{d_{m0}}{\cos \delta_0} \quad \text{قطر الدائرة الجزئية للمسند الجبهي}$$

$$z_r = \frac{z}{\cos \delta_0} \quad \text{الوسطي المكافئ}$$

$$m_m = m_r = \frac{d_{m0}}{z} = \frac{d_{r0}}{z_r} \quad \text{عدد الأسنان التكميلى}$$

$$= d_0 + 2h_k \cos \delta_0 \quad d_k \quad \text{المودول الوسطي، مودول المسند الجبهي المكافئ}$$

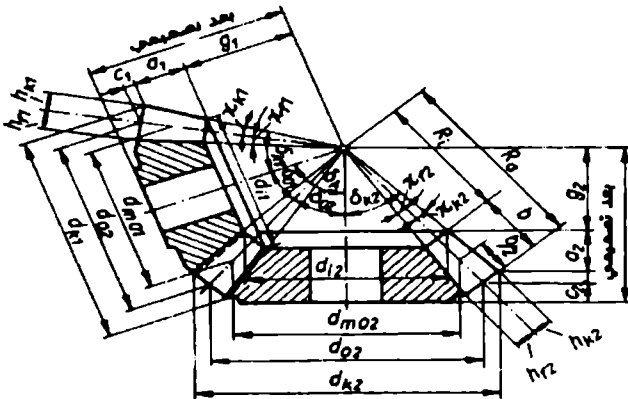
$$\text{قطر دائرة الرأس}$$

$$\tan x_k = \frac{h_k}{R_a}$$

x_k زاوية الرأس

$$\delta_k = \delta_0 + x_k$$

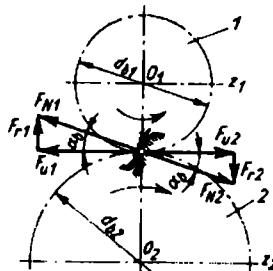
زاوية المخروط الرأسية



الشكل 350 زوج مسننات مخروطية - ذات أسنان مستقيمة

2.12 القوى في المسننات

المسننات الجبهية ذات الأسنان المستقيمة



الشكل 351 القوى في مسننين جهيين ذوات أسنان مستقيمة

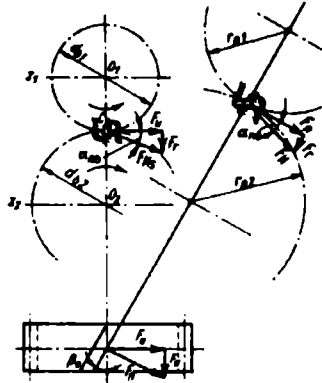
$$F_{U1} = F_{U2} = F_U = \frac{2M_{t1}}{d_{b1}} = \frac{2M_{t2}}{d_{b2}} \quad \text{القوة المحيطة}$$

$$F_{U01} = F_{U02} = F_{U0} = \frac{2M_{t1}}{d_{o1}} = \frac{2M_{t2}}{d_{o2}} \quad \text{القوة المحيطة في دائرة الخطوة}$$

$$F_{n1} = F_{n2} = F_n = \frac{F_U}{\cos \alpha_b} = \frac{F_{U0}}{\cos \alpha_0} \quad \text{القوة الناعمية (القوة في خط المحوم)}$$

$$F_{r1} = F_{r2} = F_r = F_U \tan \alpha_b = F_{U0} \tan \alpha_0 \quad \text{القوة القطرية}$$

المسنتات الجيحية ذات الأسنان المائلة



الشكل 352 القوى في مسنتين جيحيين ذات أسنان مائلة

$$F_{U1} = F_{U2} = \frac{2M_{t1}}{d_{b1}} = \frac{2M_{t2}}{d_{b2}} \quad \text{القوة المحيطة}$$

$$F_{U01} = F_{U02} = F_{U0} = \frac{2M_{t1}}{d_{o1}} = \frac{2M_{t2}}{d_{o2}} \quad \text{القوة المحيطة في الدائرة الخطوية}$$

$$F_{a1} = F_{a2} = F_a = F_{U0} \tan \beta_0 \quad \text{القوة المحورية}$$

$$F_{r1} = F_{r2} = F_r = F_{U0} \frac{\tan \alpha_n}{\cos \beta_0} \quad \text{القوة القطرية}$$

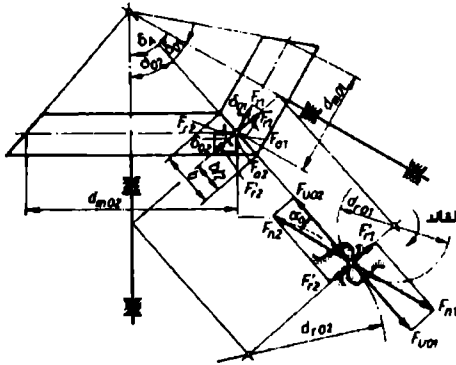
من أجل إيجاد قوى المضاجع وعزوم الانعطاف انظر الفقرة "المحاور والمحاور الدوارة".

حيث تم الحساب في مستويين مثلاً مستوي x,z ومستوي y,z. بعد ذلك يمكن حساب قوى المضاجع الناتجة وعزوم الانعطاف تخطيطياً.

المسنتات المخروطية ذات الأسنان المستقيمة (مسنن صفري)

$$F_{U1} = F_{U2} = F_U = F_{U0} = \frac{2M_{11}}{d_{m01}} = \frac{2M_{12}}{d_{m02}} \quad \text{القوة المحيطة}$$

$$F_{n1} = F_{n2} = F_n = \frac{F_{U0}}{\cos \alpha_0} \quad \text{القوة الناظمية}$$



الشكل 353 القوى في المسنتات المخروطية ذات الأسنان المستقيمة

$$F_{r1} = F_{U0} \tan \alpha_0 \cos \delta_{01} \quad \text{القوى القطرية}$$

$$F_{r2} = F_{U0} \tan \alpha_0 \cos \delta_{02}$$

$$F_{t1} = F_{U0} \tan \alpha_0 \sin \delta_{01} \quad \text{القوى المحورية}$$

$$F_{t2} = F_{U0} \tan \alpha_0 \sin \delta_{02}$$

من أجل إيجاد قوى المضاجع وعزوم الانعطاف انظر الفقرة "المحاور والمحاور الدوارة"

3.12 قابلية الحمل

مسنات ذات أسنان مستقيمة

$$\sigma_b = \frac{F_{U0}}{bm} q_k q_\epsilon$$

إجهاد الانعطاف في جذر السن

q_k عامل الشكل (الشكل 354)

q_ϵ عامل التغطية

$$q_\epsilon = \frac{1}{\epsilon} \text{ عند } q_L \leq \frac{1}{\epsilon}$$

$$q_L > \frac{1}{\epsilon} \text{ عند } q_\epsilon = q_L$$

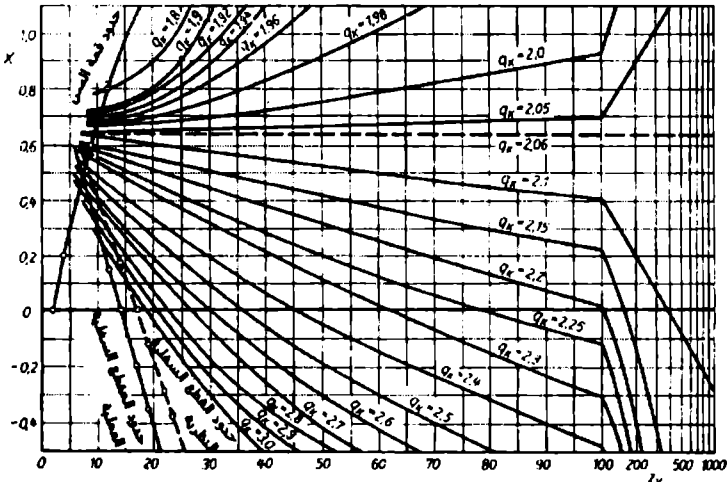
q_L عامل توزيع الحمل (الشكل 355)

إجهاد الانعطاف المسموح به في جذر السن

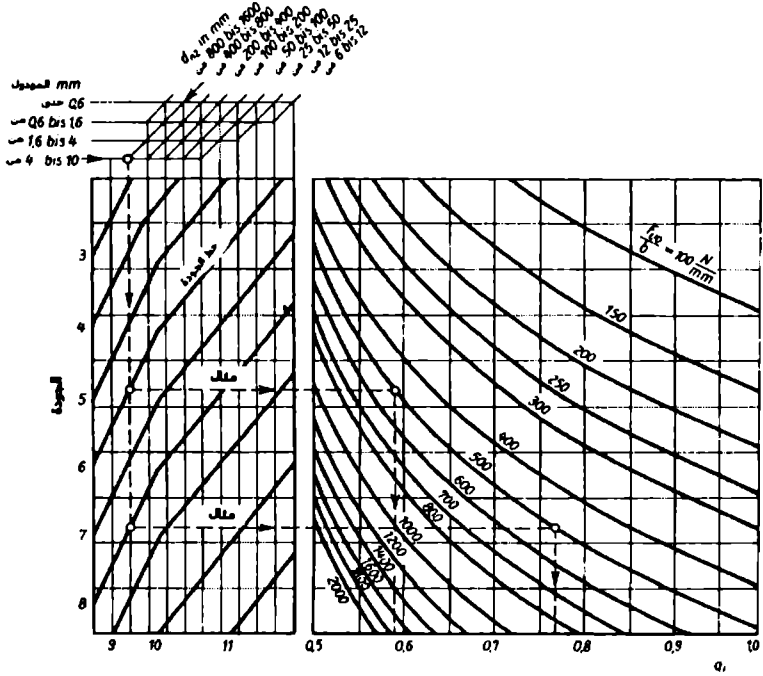
$$\sigma_{balla} \frac{\sigma_{fromG}}{S_D}$$

σ_{fromG} متانة الهيكل

$S_D = 1.5$ عامل الأمان، وبشكل عام



الشكل 354 عامل الشكل q_k من أجل $\alpha_{n0} = 20$ عند تعشيق خارجي



الشكل 355 عامل توزيع الحمل q_L

(الخطوط المنقطعة تبين إيجاد q_L ، عندما تكون m ، d_{o2} ، b ، نوعية F_{U0} معالم)

$$m \approx \sqrt[3]{\frac{4M_{t1}}{z_1^2 \left(\frac{b}{d_{o1}}\right) \sigma_{b1} a_1}}$$

الحساب التقريبي الأولي للمودول عند تطبيق إجهاد الانعطاف المسموح به في جذر السن

(الفرض: $q_k = 2.25$; $q_e = 0.9$)

$$P_c = y_C y_w \sqrt{\frac{F_{U0} u + 1}{b d_{o1} u}}$$

الضغط الاسطواني في نقطة التلاقي C

$$y_C = \sqrt{\frac{l}{\cos^2 \alpha_0 \tan \alpha_b}}$$

عامل نقطة التلاقي
(يمكن استخراجه أيضاً من المخطط)

$$y_w = \sqrt{0.35 \frac{2E_1E_2}{E_1 + E_2}}$$

عامل المادة

(يمكن استخراجه أيضاً من الجدول)

E_2, E_1 مودول المطيلية للمسننين 1 و 2

$$P_{alla} = \frac{PD}{S_D}$$

الضغط الاسطواني المسموح به

P_D المتانة الدائمة (الانضغاط) لجوانب السن

S_D عامل أمان وبشكل عام 1.5

$$m = \frac{1}{z_1} \sqrt[3]{\frac{2M_{tl} y_w^2 y_c^2}{\left(\frac{b}{d_{ol}}\right) P_{alla}^2} \frac{u+1}{u}}$$

الحساب الأولي للمودول عند تطبيق الضغط

الاسطواني المسموح به

المسننات ذات الأسنان المائلة

$$\sigma_b = \frac{F_{U0}}{b m_n} q_k q_e$$

إجهاد الانعطاف لجذر السن

q_e, q_c, q_k انظر حساب المسنن ذو

الأسنان المستقيمة

$$m_n \approx \sqrt[3]{\frac{4M_{tl} \cos^2 \beta_0}{z_1^2 \left(\frac{b}{d_{ol}}\right) \sigma_{bzul}}}$$

الحساب التقريبي الأولي للمودول الطبيعي

عند تطبيق إجهاد الانعطاف المسموح به في

جذر السن (الفرض: $q_k = 2.25; q_e = 0.9$)

الانضغاط الأسطواني في نقطة التلاقي C

$$P_c = y_w y_C y_\beta \sqrt{\frac{F_{U0}}{b d_{ol}} \frac{u+1}{u}}$$

عامل نقطة التلاقي

(يمكن أيضاً استخراجه من المخطط)

β_g زاوية الميل الأساسية، زاوية الإمالة في

الاسطوانة الأساسية.

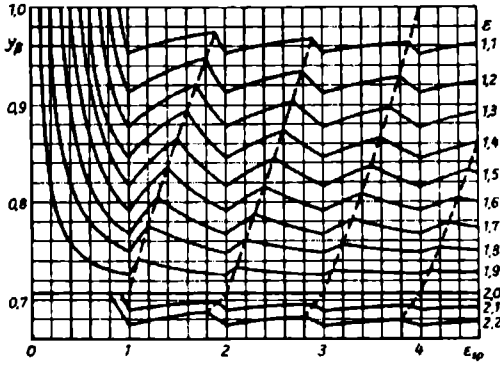
$$y_C = \sqrt{\frac{\cos \beta_g}{\cos^2 \alpha_{s0} \tan \alpha_{sb}}}$$

$$\sin \beta_g = \sin \beta_0 \cos \alpha_{\tau 0}$$

y_β عامل طول السن الشكل 356

y_w, P_{alla} انظر حساب المسنن ذو الأسنان

المستقيمة



الشكل 356 عامل طول السن y_{β} من أجل $\alpha_{n0} = 20^\circ$

$$m_n = \frac{\cos \beta_0}{z_1} \sqrt[3]{\frac{2M_{11} y w^2 y_c^2 y_{\beta}^2 u + 1}{\left(\frac{b}{b_{01}}\right) p a l a^2 u}}$$

الحساب الأولي للمودول الطبيعي
عند تطبيق الضغط الاسطواني
المسموح به

السننات المخروطية المتعاشقة بأسنان مستقيمة (سننات صفرية)

$$\sigma_b = \frac{F_{U0}}{b m_m} q_{ke} q_{\epsilon e}$$

إجهاد الانعطاف في جذر السن

q_{ke} عامل الشكل للمسنن المكافئ (يمكن استخراجه

من الشكل 354)

$q_{\epsilon e}$ عامل التغطية للمسنن المكافئ (يحسب بشكل مطابق

للمسنن ذو الأسنان المستقيمة)

$\sigma_{b_{all}}$ انظر حسابات المسنن ذو الأسنان المستقيمة

الضغط الاسطواني في نقطة التلاقي C

u_e نسبة عدد الأسنان للمسنن المكافئ

لأنه مسنن صفرى $d_{e1} = d_{0e1}$

انظر حساب المسنن ذو الأسنان

المستقيمة

$$p_c = y_c y_w \sqrt{\frac{F_{U0} u_e + 1}{b d_{e1} u_e}}$$

4.12 آلية المسننات

الآلية المرحلية الهندسية

$$n_z = n_{z-1} \varphi = n_{z-2} \varphi^2$$

قانون التشكيل لعدد الدورات

z عدد المراحل

بجال عدد الدورات

$$B = \frac{n_z}{n_1} = \frac{n_{\max}}{n_{\min}}$$

القفرة المرحلية

$$\varphi = \frac{n_z}{n_{z-1}} = z \sqrt[z]{\frac{n_{\max}}{n_{\min}}} = z \sqrt[z]{B}$$

φ النظامية، مثلاً لآلات التشكيل

حسب السلسلة الأساسية

$$R 20 \approx \varphi = \sqrt[20]{10} = 1.12$$

والسلاسل المشتقة هي:

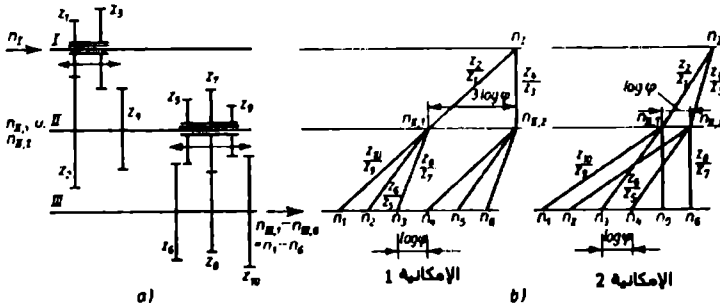
$$R 20 / 2 \wedge \varphi = 1.25$$

$$R 20 / 3 \wedge \varphi = 1.4$$

$$R 20 / 4 \wedge \varphi = 1.6$$

$$R 20 / 6 \wedge \varphi = 2.0$$

الأشكال التخطيطية لتمثيل الآليات بمخطط الآلية وشكل عدد الدورات (الشكل 357)



(الشكل 357). (a) مخطط الآلية (b) مخطط عدد الدورات

مثال لآلية ذات ست مراحل انتقالية مع إكمانيتين لمخطط عدد الدورات

$$i_{tot} = i_1 i_2 i_3 \dots = \frac{n_{drive}}{n_{driven}}$$

نسبة النقل الكلية (بشكل عام)

i_1, i_2, i_3, \dots نسبة النقل المنفردة

بمجال نسبة النقل المنفردة (مثلاً آلات التشكيل)

n_{drive} عدد دورات البكرة القائد

n_{driven} عدد دورات البكرة المقاد

نسبة النقل الكلية (الإجمالية)

(خاصة للآلية حسب الشكل 357 في الوضع

المرسوم)

$$i_{tot} = \frac{n_1}{n_{II,1}} \cdot \frac{n_{II,1}}{n_{III,3}} = \frac{n_1}{n_3} = \frac{n_{drive}}{n_{driven}}$$

$$i_{tot} = \frac{z_2}{z_1} \cdot \frac{z_8}{z_7}$$

$$\eta_{tot} = \eta_{v1} \eta_{v2} \dots \eta_{w1} \eta_{wII} \dots$$

المردود الإجمالي

$$\eta_{tot} = \frac{P_{drive}}{P_{driven}}$$

المراديد المستقلة لتعشيق ما η_{v1}, η_{v2}

بشكل عام $\eta_v = 0.99$

المراديد المستقلة لمضجع محور دوار η_{w1}, η_{wII}

بشكل عام $\eta_w = 0.97 \dots 0.99$

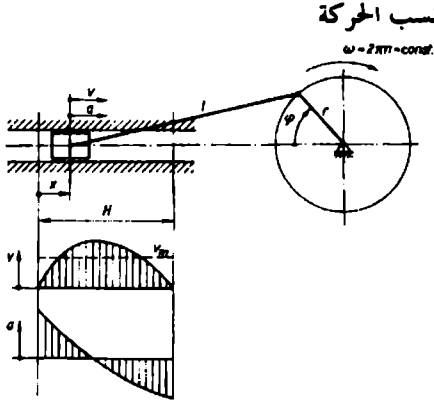
استطاعة المقاد P_{drive}

استطاعة القائد P_{driven}

نسبة استطاعة مسننين هجوميين

$$\frac{M_{t2}}{M_{t1}} = \frac{n_1}{n_2} \eta_v$$

13. آلية الذراع المرفقية



مخطط السرعة والتسارع من
 أجل $0 < \varphi < 180^\circ$
 من أجل $180^\circ < \varphi < 360^\circ$
 مخطط شكل انعكاسي

الشكل 358 قيم الحركة في آلية الذراع المرفقية المركزية

$$\varphi = \omega t$$

زاوية الذراع
 الزمن t

$$\omega = 2\pi n = \text{const.}$$

السرعة الزاوية للذراع
 عدد دورات الذراع n

$$H = 2r$$

ارتفاع الشوط

$$\lambda = \frac{r}{l}$$

نسبة القطر إلى ذراع الشوط

$$x = r \left(1 - \cos \varphi + \frac{1}{2} \lambda \sin^2 \varphi \right)$$

مسافة القيادة المستقيمة

$$v = r\omega \left(\sin \varphi + \frac{1}{2} \lambda \sin 2\varphi \right)$$

سرعة الحركة المستقيمة

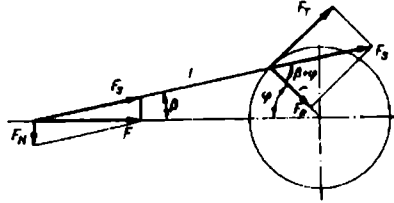
$$a = r\omega^2 (\cos \varphi + \lambda \cos 2\varphi)$$

تسارع الحركة المستقيمة

$$a_m = 2Hn$$

سرعة الشوط الوسطية

القوى في آلية الذراع المرفقية



الشكل 359 القوى في آلية الذراع المرفقية المركزية

$$F_N = F \tan \beta$$

القوة الناعمية

$$F_S = -\frac{F}{\cos \beta}$$

قوة ذراع المرفق

$$F_T = F \frac{\sin(\beta + \varphi)}{\cos \beta}$$

القوة المماسية (المحيطية)

$$F_R = F \frac{\sin(\beta + \varphi)}{\cos \beta}$$

القوة القطرية

القوة F في الحركة المستقيمة

14. العناصر الهيدروليكية

1.14 المعادلات الأساسية

$$p = \frac{F}{A}$$

الضغط

المساحة A

القوة F

$$Q = \frac{V}{t}$$

التدفق، الكمية

الزمن t

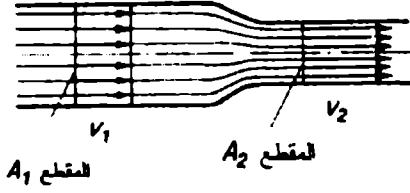
الحجم V

$$Q = A_1 v_1 = A_2 v_2$$

معادلة الاستمرار (الشكل 360)

A_1, A_2 مقاطع الأنابيب

v_1, v_2 سرعات التدفق



الشكل 360 سرعات التدفق عند مقاطع أنبوب مختلفة

$$p + \rho gh + \frac{\rho v^2}{2} = \text{const}$$

معادلة Bernoulli

p الضغط الستاتيكي

ρgh ضغط الثقالة، يهمل بشكل عام في

الوحدات الهيدروليكية

ضغط التخزين $\frac{\rho v^2}{2}$

ρ الكثافة

$$Re = \frac{dv\rho}{\eta} = \frac{dv}{\nu}$$

قانون التشابه - رقم Reynolds

η اللزوجة الديناميكية

$$Re_{crit} = 2320$$

رقم Reynolds الحرج في أنبوب ذو

$$Re < Re_{crit} < Re$$

مقطع دائري

$$\nu = \frac{\eta}{\rho}$$

اللزوجة الحركية

$$\Delta V = V_1 - V_2 = \beta_v V_1 (p_1 - p_2)$$

تغير الحجم

V_1 الحجم البدائي

V_2 الحجم النهائي

p_1 الضغط البدائي

p_2 الضغط النهائي

$$\Delta p = \lambda \frac{\rho v^2}{2d}$$

هبوط الضغط في أنبوب مستقيم

$\lambda = f(Re)$ عامل المقاومة

$$\lambda = \frac{64}{Re}$$

عامل المقاومة في تدفق صفحي مع ثبات درجة الحرارة

$$\lambda = \frac{75}{Re}$$

عامل المقاومة في تدفق صفحي، غير ثابت درجة الحرارة

$$\lambda = \frac{0.3164}{Re^{0.25}}$$

عامل المقاومة في تدفق مضطرب

$$\Delta p = \zeta \frac{\rho v^2}{2}$$

هبوط الضغط في المقاومات المحلية (الحناء، تفرعة، صمامات، ... الخ)

$$Q_L = \frac{\pi d_m s^3 \Delta P}{12 \eta l}$$

ζ عامل الاحتكاك (يؤخذ من المراجع)
ضياعات المائع، كمية التسرب أثناء الجريان في قناة حلقة مركزة
s سماكة الجرى

d_m القطر الوسطي (القطر الاسمي)

Δp اختلاف الضغط

l طول الجرى

$$P = Qp = Fv$$

الاستطاعة (أساسية)

2.14 المضخات

$$Q_{Pth} = V_{Pth} n_p$$

تدفق النقل النظري

n_p عدد دورات المضخة

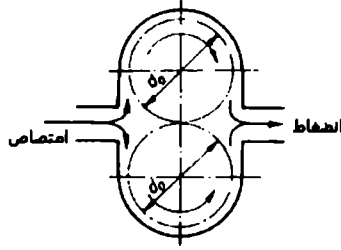
$$V_{Pth} = 2\pi d_0 m b$$

حجم النقل النظري للمضخة المستننة (تقريبي)

d_0 قطر الدائرة الخطوية

b عرض المسنن

m المودول



الشكل 361 مضخة ممتية (تخطيطي)

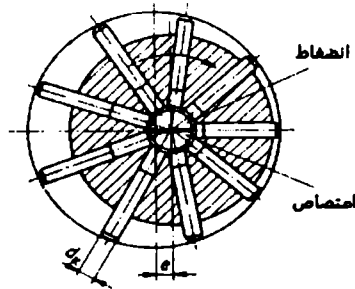
$$V_{Pth} = \frac{\pi d_K^2}{4} 2ez$$

تدفق النقل النظري للمضخة المكبسية القطرية

d_K قطر المكبس

z عدد المكابس

e اللا مركزية



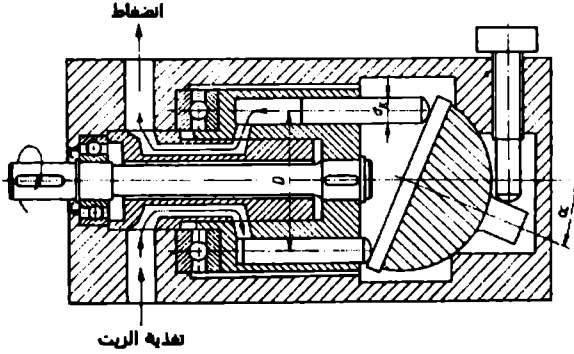
الشكل 362 مضخة مكبسية قطرية (تخطيطي)

$$V_{Pth} = \frac{\pi d_K^2}{4} ZD \tan \alpha$$

حجم النقل النظري للمضخة المكبسية المحورية

D القطر الدائري للثقب

α زاوية تعبير القرص المائل



الشكل 363 مضخة مكبسية محورية

$$Q_{Pactu} = Q_{Pth} \eta_{Pvol}$$

التدفق الحقيقي

$$P_{Pn} = Q_{Pactu} P_p$$

η_{Pvol} المردود الحجمي

استطاعة النقل، استطاعة المفيدة

P_p ضغط النقل

$$P_{Pdrive} = \frac{P_{Pn}}{\eta_{Pges}} = \frac{Q_{Pactu} P_p}{\eta_{Ptot}}$$

استطاعة التشغيل

$$\eta_{Ptot} = \eta_{Pvol} \eta_{Pmec}$$

المردود الإجمالي

η_{Pmec} المردود الميكانيكي

3.14 المحركات

محركات الحركة الدائرية

$$Q_{mth} = V_{mth} \eta_m$$

تيار الشحنة النظرية

η_m عدد دورات المحرك

V_{mth} حجم الشحنة النظرية للمحرك تحسب

من قياسات المحرك بشكل يطابق حساب

التدفق النظري للمضخة

$$Q_{\text{mactu}} = \frac{Q_{\text{mth}}}{\eta_{\text{mvol}}}$$

تيار الشحنة الحقيقية

η_{Mvol} المردود الحجمي

$$P_{\text{mAb}} = P_K = Q_{\text{mactu}} p_M \eta_{\text{mtot}}$$

الاستطاعة المقادة، استطاعة الواصل

p_M ضغط العمل

$$\eta_{\text{mtot}} = \eta_{\text{mvol}} \eta_{\text{mmech}}$$

المردود الكلي

η_{mmech} المردود الميكانيكي

$$* M_{tM} = 97400 \frac{P_{\text{MAb}}}{n_M} \begin{array}{|c|c|c|} \hline M_{tM} & P_{\text{MAb}} & n_M \\ \hline \text{kp cm} & \text{kW} & \text{l/min} \\ \hline \end{array}$$

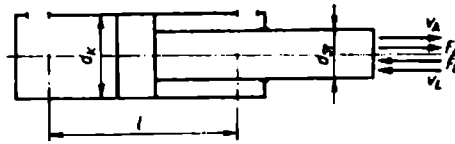
أو

عزم الدوران على محور المحرك

$$* M_{tM} = 9550 \frac{P_{\text{MAb}}}{n_M} \begin{array}{|c|c|c|} \hline M_{tM} & P_{\text{MAb}} & n_M \\ \hline \text{Nm} & \text{kW} & \text{l/min} \\ \hline \end{array}$$

محركات الحركة المستقيمة

اسطوانة العمل مع مكبس قرصي



الشكل 364 اسطوانة عمل مع مكبس قرصي

$$F_A = \frac{\pi}{4} [d_K^2 p_1 - (d_K^2 - d_{St}^2) p_2] \eta_{\text{mec}}$$

قوة الرفع عند الخروج

$$F_E = \frac{\pi}{4} [(d_K^2 - d_{St}^2) p_1 - d_K^2 p_2] \eta_{\text{mec}}$$

قوة الرفع عند الإقلاع

p_1 ضغط العمل

p_2 الضغط العكسي

$p_1 \gg p_2$ بشكل عام

d_K قطر المكبس

d_{St} قطر عمود المكبس

η_{mech} المردود الميكانيكي

سرعة الرفع عند الخروج (انحاء)

$$v_A = \frac{Q}{\frac{\pi d_K^2}{4}}$$

$$v_E = \frac{Q}{\frac{\pi}{4}(d_K^2 - d_{St}^2)}$$

سرعة الرفع عند الإقلاع

Q تدفق الشحنة

$$t_A = \frac{l}{v_A} = \frac{\pi d_K^2 l}{4Q}$$

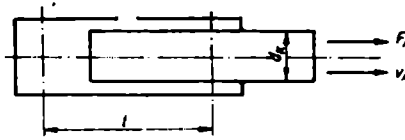
زمن الرفع عند الخروج

$$t_E = \frac{l}{v_E} = \frac{\pi}{4}(d_K^2 - d_{St}^2)l$$

زمن الرفع عند الإقلاع

l طول الشوط

اسطوانة عمل مع مكبس غطاس



الشكل 365 اسطوانة عمل بمكبس غطاس

$$F_A = \frac{\pi d_K^2}{4} p_1 \eta_{mec}$$

قوة الرفع عند الخروج

p_1 ضغط العمل

d_K قطر المكبس

η_{mec} المردود الميكانيكي

$$v_A = \frac{Q}{\frac{\pi}{4} d_K^2}$$

سرعة الرفع عند المخرج

Q تدفق الشحنة

$$t_A = \frac{l}{v_A} = \frac{\frac{\pi}{4} d_K^2 l}{Q}$$

زمن الرفع عند المخرج

l طول الرفع

باعتبار أن اسطوانة العمل بمكبس غطاس مع مردود بسيط، يمكن بلوغ الإقلاع فقط خلال تأثيرات خارجية للقوة.

آلات العمل والقوة

1. حساب الاحتراق

إن القيم التالية منسوبة إلى وحدات الكمية لمادة الاحتراق. إذاً في الحالة الصلبة والسائلة لمادة الاحتراق على 1 kg مادة احتراق وفي الحالة الغازية لمادة الاحتراق على 1 m³ غاز احتراق في الشروط النظامية.

تعطى جميع الحجم دائماً في الشروط النظامية، (0 °C, 101.3 kPa) هذا يعني بأن m³ هي في الشروط النظامية.

تحتوي 1 kg من مادة الاحتراق الصلبة أو السائلة على الأجزاء التالية بـ kg/kg أو بأجزاء الكميات

$$c + h + s + o + n + w + a = 1 \text{ kg/kg}$$

إن 1 m³ من مادة الاحتراق الغازية تحتوي على الأجزاء التالية بـ m³/m³ أو بأجزاء الحجم

$$CO + H_2 + CH_n + C_m H_n + H_2S + O_2 + SO_2 + H_2O = 1 \text{ m}^3/\text{m}^3$$

1.1 حرارة الاحتراق وقيم التسخين

يجب التمييز هنا بين حرارة الاحتراق (قيمة التسخين العليا) $\Delta_v h$ وقيمة التسخين (قيمة التسخين الدنيا) $\Delta_H h$ بـ kJ/kg في مواد الاحتراق الصلبة والسائلة و kJ/m³ في المواد الغازية.

$$\Delta_H h = \Delta_v h - 2500 \frac{\text{kJ}}{\text{kg}} (9h + w)$$

إن قيمة التسخين Δ_{Hh} بوحدة kJ/kg لمادة الاحتراق الصلبة والسائلة

$$\Delta_{Hh} = 33910c + 117200\left(h - \frac{o}{8}\right) + 10470s - 2500w$$

$$\Delta_{vh} = (1 - a - w) \Delta_{vh}' \quad \Delta_{vh}' \text{ حرارة الاحتراق للفحم الصافي}$$

(الخالي من الرماد والماء)

$$\Delta_{Hh} = (1 - a - w) \Delta_{Hh}' - 2500w \quad \Delta_{Hh}' \text{ قيمة التسخين للفحم الصافي}$$

من أجل مواد الاحتراق الغازية بوحدة kJ/m³ نطبق:

$$\Delta_{Hh} = 12620 \text{ CO} + 10790 \text{ H}_2 + 35800 \text{ CH}_4 + 64300 \text{ C}_2\text{H}_6 + \dots$$

$$\Delta_{vh} = 12600 \text{ CO} + 12800 \text{ H}_2 + 39900 \text{ CH}_4 + 70400 \text{ C}_2\text{H}_6 + \dots$$

2.1 حساب الاحتراق للمواد الصلبة والسائلة

سمات ومميزات للمواد الصلبة والسائلة

المزايا لـ:

$$\sigma = 1 + \frac{3}{c} \left(h - \frac{o-s}{8} \right) \quad \text{للاحتياج الأصغري للأكسجين}$$

$$\omega = \frac{2.9h + w}{3c} \quad \text{محتوى بخار الماء}$$

$$\zeta = \frac{3s}{8c} \quad \text{محتوى الكبريت}$$

$$v = \frac{3n}{7c} \quad \text{محتوى الآزوت}$$

$$\chi = 1 + \zeta + v + 3.76 \sigma \quad \text{المحتوى الأعظمي لـ CO}_2 \text{ للغاز المدخن}$$

$$K = 1.867c \frac{\text{m}^3}{\text{kg}} \quad \text{K حجم CO}_2 \text{ الذي ينتج من 1 kg مادة احتراق صلبة}$$

أو سائلة

للاحتراق التام مع الاحتياج الأصغري النظري للأكسجين نطبق:

$$V_{O-\min} = K\sigma \quad m^3/kg \text{ الاحتياج النظري للأكسجين } V_{O-\min}$$

$$V_{L-\min} = 4.76 K\sigma \quad m^3/kg \text{ الاحتياج النظري للهواء } V_{L-\min}$$

$$V_{TR-\min} = K\chi \quad m^3/kg \text{ حجم الغاز المدخن النظري الجاف } V_{TR-\min}$$

$$V_{FR-\min} = K(\chi + \omega) \quad m^3/kg \text{ حجم الغاز المدخن الرطب النظري } V_{FR-\min}$$

للاحتراق الكامل مع احتياج الهواء الحقيقي V_L نطبق:

$$V_L = \lambda V_{L-\min} = 4.76\lambda K\sigma \quad m^3/kg \text{ الهواء اللازم } V_L$$

$$\lambda = \frac{V_L}{V_{L-\min}} \quad \lambda \text{ عامل نسبة الهواء}$$

$$V_{L-u} = V_L - V_{L-\min} = (\lambda - 1)V_{L-\min} \quad m^3/kg \text{ الهواء الفائض } V_{L-u}$$

$$V_{TR} = V_{TR-\min} + V_{L-u} \quad m^3/kg \text{ حجم غاز المدخن الجاف } V_{TR}$$

$$V_{TR} = K[\chi + 4.76(\lambda - 1)\sigma]$$

$$V_{FR} = V_{TR} + K\omega = V_{FR-\min} + V_{L-u} \quad m^3/kg \text{ حجم الغاز المدخن الرطب } V_{FR}$$

$$V_{FR} = K[\chi + \omega + 4.76(\lambda - 1)\sigma]$$

$$*m_{FR} = 1 - a + 1.293 V_L \quad kg/kg_{Br} \text{ كمية الغاز المدخن الرطب } m_{FR}$$

$$\rho_{FR} = \frac{m_{FR}}{V_{FT}} \quad kg/m^3 \text{ كثافة الغاز المدخن الرطب } \rho_{FR}$$

$$M_{FR} = 22.4 \frac{m^3}{kmol} \rho_{FR} \quad M_{FR} \text{ الكتلة المولية الظاهرية في الغاز المدخن الرطب } kg/mol$$

الأقسام المكونة لغاز الدخان m^3/kg

$$V_{CO_2} = K \quad \text{حجم ثاني أكسيد الكربون } V_{CO_2}$$

$$V_{H_2O} = K\omega \quad \text{حجم بخار الماء } V_{H_2O}$$

$$\begin{aligned}
V_{SO_2} &= K\zeta && \text{حجم ثاني أكسيد الكبريت } V_{SO_2} \\
V_{N_2} &= K(v + 3.76\sigma) && \text{حجم النتروجين } V_{N_2} \\
V_{O_2} &= K(\lambda - 1)\sigma && \text{حجم الأكسجين } V_{O_2} \\
\sum V_i &= V_{FR} && \text{حجم الغاز المدخن الرطب } V_{FR}
\end{aligned}$$

3.1 حساب الاحتراق للمواد الغازية

يمكن تطبيق العلاقات الناتجة لمواد الاحتراق الصلبة والسائلة على مواد الاحتراق للمواد الغازية، عندما تحسب للمواد الغازية بتعويض K' بدلاً من K القيم الناتجة هي قيم منسوبة إلى 1 m^3 غاز احتراق في الشروط النظامية.

سمات مواد الاحتراق الغازية

$$K' = \text{CO} + \text{CH}_4 + m \text{C}_m \text{H}_n + \text{CO}_2 \quad \text{حجم ثاني أكسيد الكربون للغاز المدخن لكل } \text{m}^3 \text{ غاز احتراق}$$

$$\sigma = \frac{\frac{\text{CO} + \text{H}_2}{2} + 2\text{CH}_4 + \left(m + \frac{n}{4}\right)\text{C}_m\text{H}_n + \frac{3}{2}\text{H}_2\text{S} - \text{O}_2}{K'}$$

σ عامل مميز لمادة الاحتراق لأقل احتياج من الأكسجين

$$\omega = \frac{\text{H}_2 + 2\text{CH}_4 + \text{H}_2\text{O} + \text{H}_2\text{S} + \frac{n}{2}\text{C}_m\text{H}_n}{K'} \quad \omega \text{ عامل مميز لمادة الاحتراق محتوي بخار الماء}$$

$$\zeta = \frac{\text{H}_2\text{S} + \text{SO}_2}{K'} \quad \zeta \text{ عامل مميز لمادة الاحتراق محتوي الكبريت}$$

$$v = \frac{N_2}{K'} \quad v \text{ عامل مميز لمادة الاحتراق محتوي النتروجين}$$

$$\chi = \frac{1 + v + \zeta + 3.766\sigma}{K'}$$

χ عامل مميز لمادة الاحتراق
للمحتوى الأعظمي لـ CO_2
محتوى الغاز المدخن

4.1 تحديد عامل نسبة الهواء

$$\lambda = 1 + \frac{\text{O}_2}{\text{CO}_2\sigma}$$

محتوى O_2 و CO_2 المقاس في حجم الغاز المدخن
الجاف.

$$\lambda = \frac{\text{CO}_{2\max}}{\text{CO}_2}$$

تطبق فقط لمادة الاحتراق الصلبة

$$\text{CO}_{2\max} = \frac{1}{\chi}$$

$\text{CO}_{2\max}$ أعظم محتوى CO_2 لغاز الدخان هذا يعني،
محتوى CO_2 لغاز الدخان الرطب أثناء الاحتراق
بأقل احتياج للهواء

5.1 درجة حرارة الاحتراق النظرية t_{th} بـ $^\circ\text{C}$

$$t_{th} = \frac{\Delta H_h + V_L c_{pn-L} \left| \begin{matrix} t_L \\ 0 \end{matrix} \right. + c_{p-Br} f_{Br}}{V_{FR} c_{pn-R} \left| \begin{matrix} f_L \\ 0 \end{matrix} \right.}$$

t_L درجة حرارة هواء الاحتراق بـ $^\circ\text{C}$
 t_{Br} درجة حرارة مادة الاحتراق بـ $^\circ\text{C}$

$$c_{pn} = \rho_n c_p$$

c_{p-Br} السعة الحرارية النوعية الوسطية لمادة الاحتراق

c_{pn-L} السعة الحرارية النوعية الوسطية للهواء $\text{kJ}/(\text{m}^3 \text{K})$

ρ_n الكثافة في الشروط النظامية النظامية بـ kg/m^3

السعة الحرارية النوعية الوسطية لغاز الدخان c_{pn-R} بـ $\text{kJ}/(\text{m}^3 \text{K})$

$$c_{Pn-R} = \frac{1}{V_{FR}} (V_{CO_2} c_{pn-CO_2} + V_{H_2O} c_{pn-H_2O} + V_{SO_2} c_{pn-SO_2} + V_{O_2} c_{pn-O_2} + V_{N_2} c_{pn-N_2})$$

الضياء الحراري Q_A الناتج عن طرد الغاز بـ t_A لكل وحدة كمية لمادة الاحتراق

$$Q_A = V_{FR} \left[c_{pn-R} \left| \begin{matrix} t_A \\ 0 \end{matrix} \right. - c_{pn-R} \left| \begin{matrix} t_{LI} \\ 0 \end{matrix} \right. \right] \quad t_A \text{ درجة حرارة الغاز بـ } ^\circ\text{C}$$

$$Q_A \approx c_{pn-R} \left| \begin{matrix} t_A \\ 0 \end{matrix} \right. V_{FR} (t_A - t_{LI}) \quad t_{LI} \text{ درجة حرارة الهواء الخارجي بـ } ^\circ\text{C}$$

$$q_A = \frac{Q_A 100\%}{\Delta_H h} \quad q_A \text{ الضياء الغازي بـ } \% \text{ للحرارة المضافة}$$

2. مولدات البخار

في هذه الفقرة تعطى جميع المحوم لكل من غاز الاحتراق، وهواء الاحتراق، وغاز الدخان دائماً في الشروط النظامية (0°C و 101.3 kPa)، هذا يعني أن m^3 من هذه القيم دوماً بـ m^3 في الشروط النظامية.

$$\dot{m}_B \text{ كمية المادة المحترقة الحقيقية بـ } \text{kg/s} \text{ أو } \text{m}^3/\text{s} \quad \Delta_H h \text{ قيمة تسخين مادة الاحتراق بـ } \text{kJ/kg} \text{ أو } \text{kJ/m}^3$$

$$\dot{m}_D \text{ كمية البخار بـ } \text{kg/s} \quad \dot{m}_B \text{ كمية مادة الاحتراق المضافة بـ } \text{kg/s} \text{ أو } \text{m}^3/\text{s}$$

$$t_{L1} \text{ درجة حرارة الهواء عند الدخول في مسخن الهواء الأولي } ^\circ\text{C} \quad w \text{ محتوى الماء المتبقي بـ } \% \text{ لكمية البخار}$$

$$t_{L2} \text{ درجة حرارة الهواء عند الخروج من مسخن الهواء الأولي } ^\circ\text{C} \quad A_K \text{ مساحة تسخين المرجل بـ } \text{m}^2 \quad A_R \text{ مساحة الموقد بـ } \text{m}^2$$

V_L هواء الاحتراق بـ m^3/kg أو m^3/m^3	h_{ii} انتالي البخار خلف المسخن العالي kJ/kg
V_{FR} حجم غاز الدخان بـ m^3/kg أو m^3/m^3	" h " انتالي البخار المشبع kJ/kg
$c_{p,n-L}$ السعة الحرارية النوعية الوسطية للهواء $kJ/(m^3 K)$	h_{w2} انتالي ماء التغذية بعد المسخن الأولي لماء التغذية
$c_{p,n-R}$ السعة الحرارية النوعية الوسطية لغاز الدخان $kJ/(m^3 K)$	h_{w1} انتالي ماء التغذية قبل المسخن الأولي لماء التغذية
k عامل النفوذ الحراري بـ $W/(m^2 K)$	r حرارة التبخير kJ/kg
Δt_m فرق درجات الحرارة الوسطي في المبادل الحراري	t_1 درجة حرارة غاز الدخان قبل المبادل الحراري $^{\circ}C$
η_K مردود المرجل	t_2 درجة حرارة غاز الدخان بعد جهاز نقل الحرارة $^{\circ}C$

تعريف ودلالات خاصة

$\dot{Q}_B = \dot{m}_B \Delta_H h$	استطاعة التسخين الحارقة kW
$b_r = \frac{\dot{m}_B}{A_R}$	تحميل الموقد $kg/(m^2 h)$
$q_r = \frac{\dot{Q}_B}{A_R} = \frac{\dot{m}_B \Delta_H h}{A_R}$	الحمل الحراري للموقد kW/m^2
$b_h = \frac{\dot{m}_D}{A_K}$	حمل سطح التسخين $kg/(m^2 h)$
$b_f = \frac{\dot{m}_D}{V_F}$	الحمل لحرارة النار $kg/(m^2 h)$
$q_f = \frac{\dot{Q}_B}{V_F} = \frac{\dot{m}_D \Delta_H h}{V_F}$	الحمل الحراري لحرارة النار
$z = \frac{\dot{m}_D}{\dot{m}_B} = \frac{\Delta_H h \eta_K}{h_u - h_{w1}}$	عامل التبخر kg/kg
$z_n = z \frac{h_u - h_{w1}}{2680 kJ/kg}$	عامل التبخر للتبخار الطبيعي، مقاسة بالواحدة kg/kg

البخار الطبيعي هو بخار مشبع جاف ذو درجة حرارة 100 °C، ينتج من ماء التغذية عند 0 °C مع حرارة متولدة تبلغ 640 kcal/kg = 2680 kJ/kg.

الاستطاعات الحرارية kW

$$\dot{Q} = \dot{m}_D (h_u - h_{w1}) \quad \text{لوحة المرجل الإجمالية}$$

$$\dot{Q} = \dot{Q}_K + \dot{Q}_u + \dot{Q}_w$$

$$\dot{Q}_K = \dot{m}_D \left(h'' - h_{w2} - \frac{wr}{100\%} \right) \quad \text{للمبخر}$$

$$\dot{Q}_u = \dot{m}_D \left(h_u - h'' + \frac{wr}{100\%} \right) \quad \text{للمسخن الفائض}$$

$$\dot{Q}_w = \dot{m}_D (h_{w2} - h_{w1}) \quad \text{للمسخن الأولي لماء التغذية}$$

$$\dot{Q}_L = \dot{m}_B V_L c_{pn-L} \left| \begin{matrix} t_{L2} \\ 0 \end{matrix} (t_{L2} - t_{L1}) \right. \quad \text{للمسخن الأولي للهواء}$$

$$c_{pn-L} \left| \begin{matrix} t_{L2} \\ 0 \end{matrix} \approx c_{pn-L} \left| \begin{matrix} t_{L2} \\ t_{L1} \end{matrix} \right.$$

لجهاز التسخين الزائد تطبق:

$$\dot{Q}_u = \dot{m}_D \left(h_u - h'' + \frac{wr}{100\%} \right) = \dot{m}_B V_{FR} \left[c_{pn-R} \left| \begin{matrix} t_1 \\ 0 \end{matrix} t_1 - c_{pn-R} \left| \begin{matrix} t_2 \\ 0 \end{matrix} t_2 \right. \right]$$

$$A_u = \frac{\dot{m}_D \left(h_u - h'' + \frac{wr}{100\%} \right)}{k \Delta t_m} \quad \text{A}_{ii} \text{ بـ } m^2 \text{ سطح التسخين لجهاز التسخين الزائد}$$

$$k = (30 \dots 70) \text{ W}/(m^2 \text{ K})$$

من أجل المسخن الأولي - لماء التغذية - لغاز الدخان تطبق:

$$\dot{Q}_w = \dot{m}_D (h_{w2} - h_{w1}) = \dot{m}_B V_{FR} \left[c_{pn-R} \left| \begin{matrix} t_1 \\ 0 \end{matrix} t_1 - c_{pn-R} \left| \begin{matrix} t_2 \\ 0 \end{matrix} t_2 \right. \right]$$

$$A_w = \frac{\dot{m}_D (h_{w2} - h_{w1})}{k \Delta t_m} \quad \text{A}_{ii} \text{ سطح التسخين للمسخن الأولي لماء التغذية } m^2$$

$$k = (10 \dots 35) \text{ w}/(m^2 \text{ K})$$

من أجل المسخن الأولي للهواء نطبق

$$\dot{Q}_L = \dot{m}_B V_L c_{pn-L} \int_0^{t_{L2}} (t_{L2} - t_{L1}) = \dot{m}_B V_{FR} \left[c_{pn-R} \int_0^{t_1} t_1 - c_{pn-R} \int_0^{t_2} t_2 \right]$$

$$A_L = \frac{\dot{m}_B V_L c_{pn-L} \int_0^{t_{L2}} (t_{L2} - t_{L1})}{k \Delta t_m}$$

سطح التسخين للمسخن
الأولي لماء التغذية m^2
 $k = (10 \dots 30) \text{ W}/(m^2 \text{ K})$

المرايد والضياعات الحرارية

$$\eta_k = \frac{\dot{m}_D (h_u - h_{w1})}{\dot{m}_B \Delta_H h} = \eta_H \eta_F$$

مردود المرجل

$$\eta_F = \frac{\dot{m}_B}{\dot{m}_B}$$

مردود الاشتعال

$$\eta_H = \frac{\dot{m}_D (h_u - h_{w1})}{\dot{m}_B \Delta_H h}$$

مردود السطح الساخن

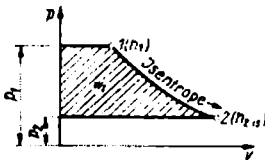
3. الآلات البخارية المكبسية

1.3 الاستطاعات والمراديد

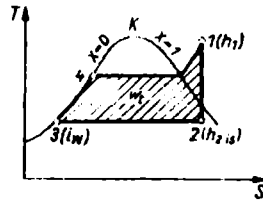
الاستطاعة النظرية P_{th} للآلة البخارية بـ kW

إن عملية المقارنة النظرية للآلة البخارية ذات مرجل بخاري هي دارة Clausius-Rankine (انظر الشكل 366) بتمدد ايزونثروبي تام في الآلة البخارية (انظر مخطط $p-v$ الشكل

(367)



الشكل 367

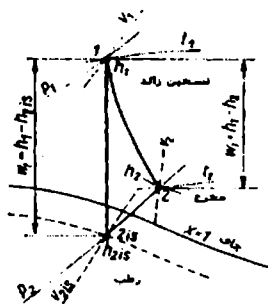


الشكل 366

$$P_{th} = \dot{m}_D w_t = \dot{m}_D (h_1 - h_{2is})$$

$$w_t = h_1 - h_{2is}$$

$$\eta_{th} = \frac{h_1 - h_{2is}}{h_1 - h_w}$$



الشكل 368

$$\eta_i = \frac{h_1 - h_2}{h_1 - h_{2is}} = \frac{w_i}{w_t} = \frac{P_i}{P_{th}}$$

$$\eta_{th-i} = \eta_{th} \eta_i = \frac{h_1 - h_2}{h_1 - h_w}$$

$$w_i = h_1 - h_2$$

$$P_i = \eta_i P_{th} = \dot{m}_D w_i = \dot{m}_D (h_1 - h_2)$$

$$P_e = \eta_m P_i = \eta_m \eta_i P_{th}$$

$$\eta_m = \frac{P_e}{P_i}$$

$$\eta_{tot} = \eta_m \eta_i \eta_{th} = \frac{P_e}{\dot{m}_D (h_1 - h_w)}$$

$$P_{tot} = \eta_{gen} \eta_u P_e$$

P_{th} الاستطاعة النظرية بـ kW

w_t العمل النظري للآلة البخارية عند تمدد

أيزونروبي تام kJ/kg

η_{th} المردود الحراري للآلة البخارية ذات

مرجل بخاري

h_1 انتالي البخار عند الدخول للآلة kJ/kg

h_2 انتالي البخار عند الخروج من الآلة

(شكل 368) kJ/kg

h_{2is} انتالي البخار بعد تمدد أيزونروبي

(شكل 368) kJ/kg

h_w انتالي ماء التغذية عند الدخول للمرجل

kJ/kg

\dot{m}_D معدل استهلاك البخار kg/s

η_i المردود الداخلي أو درجة الجودة

η_{th-i} المردود الحراري الدليلي

w_i العمل الداخلي أو العمل الدليلي kJ/kg

P_i الاستطاعة الداخلية أو

الاستطاعة الدليلية kW

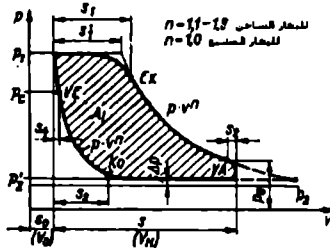
P_e استطاعة التوصيل

η_m المردود الميكانيكي (0.85 ... 0.95)

η_{tot} المردود الكلي للآلة البخارية

P_{tot} استطاعة اللاقط - المولدة

η_{tot} مردود المولدة



الشكل 369

η_u مردود وسيط النقل، في
التوصيل المباشر $\eta_u = 1$

A_i سطح المخطط الدليلي مقاس بالوحدة
 mm^2 (الشكل 369)

f قياس النابض بالوحدة
 (N/cm^2)

l طول المخطط mm ، في الشكل (369)
يكون طول l مساوياً للمسافة s

$$\dot{m}_D = \frac{P_e}{(h_1 - h_2)\eta_m} = d_e P_e$$

معدل استهلاك البخار \dot{m}_D kg/s

$$d_e = \frac{\dot{m}_D}{P_e} = \frac{3600 \frac{\text{kJ}}{\text{kWh}}}{(h_1 - h_2)\eta_m}$$

d_e معدل استهلاك البخار النوعي kg/kWh

2.3 الاستطاعة الدليلية من المخطط الدليلي

انظر الشكل (369)

$$P_i' = A_p s n$$

P_i' الاستطاعة الدليلية لإحدى جوانب الاسطوانة kW

$$P_i = \sum P_i' = s n \sum A_p i$$

P_i الاستطاعة الدليلية للآلة البخارية kW

A سطح المكبس cm^2

s طول شوط المكبس m

$$P_i = c_m \sum A_p i$$

n عدد الدورات بوحدة U/s

c_m سرعة المكبس الوسطية m/s

$$p_i = \frac{A_i}{lf}$$

p_i الضغط الداخلي الوسطي أو الضغط الدليلي
الوسطي N/cm^2 من المخطط أو من العلامات
التقريبية التالية:

$$p_i = 12 \frac{N}{cm^2} + 0.2p_1$$

- لآلة التكثيف

$$p_i = 12 \frac{N}{cm^2} + 0.25p_1$$

- لآلة العادم وآلة الضغط المعاكس $p_2 < 20 N/cm^2$

$$c_m = 2sn$$

$c_m = 2 \dots 3.5$ m/s من أجل دوار بطيء

$c_m = 3.5 \dots 5$ m/s من أجل دوار سريع

$$x_h = \frac{s}{D}$$

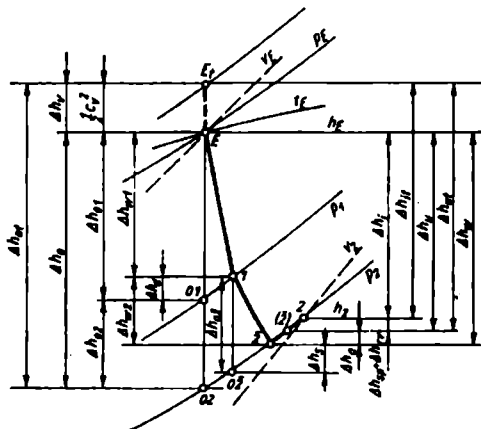
x_h نسبة الشوط

D قطر الاسطوانة

يمكن تحديد الأبعاد الرئيسية عن طريق العلاقات المبينة أعلاه للاستطاعة الداخلية P_i

وفرض c_m و x_h و P_i

4. العنقات البخارية



الشكل 370 سير الحالة في المخطط h-s في مرحلة عنفة محورية مع رد فعل منخفض

$$\begin{aligned} \Delta h_0 &= h_{ES1x} - h_{O2S1x} && \text{انخفاض الحرارة المرحلية الأيزونتروبية¹ kJ/kg} \\ \Delta h_{01} &= h_{ES1x} - h_{O1S1x} && \text{انخفاض الدولاب القائد الأيزونتروبي¹ kJ/kg} \\ \Delta h_{02} &= h_{O1S1x} - h_{O2S1x} && \text{انخفاض الدولاب الدوار الأيزونتروبي¹ kJ/kg} \\ \Delta h_i &= h_E - h_2 && \text{انخفاض الحرارة المرحلية الداخلية¹ kJ/kg} \\ \Delta h_{0t} &= h_{E1} - h_{02} && \text{انخفاض الحرارة المرحلية الكلي الأيزونتروبي kJ/kg} \\ \Delta h_{it} &= h_{E1} - h_2 && \text{انخفاض الحرارة المرحلية الكلي الداخلي kJ/kg} \\ \Delta h_w &= \Delta h_{w1} - \Delta h_{w2} && \text{انخفاض الحرارة المرحلية الحقيقية في القرص القائد والدوار} \\ \Delta h_{w1} &= h_E - h_1 && \text{انخفاض الحرارة المرحلية الحقيقية في القرص القائد kJ/kg} \\ \Delta h_{w2} &= h_1 - h_2 && \text{انخفاض الحرارة المرحلية الحقيقية في القرص الدوار kJ/kg} \\ \Delta h_u &= h_E - h(\bar{2}) && \text{انخفاض الحرارة المرحلية للعمل في محيط القرص الدوار kJ/kg} \\ \Delta h_{ut} &= h_{E1} - h(\bar{2}) && \text{العمل الكلي في محيط قرص دوار مرحلة واحدة kJ/kg} \\ \Delta h_{ut} &= \Delta h_v + h_E - h(\bar{2}) \end{aligned}$$

$$\Delta h_v = \frac{c_v^2}{2} = h_{E1} - h_E \quad \begin{aligned} &\Delta h_v \text{ انخفاض الدوار الأولي kJ/kg} \\ &c_v \text{ سرعة الدوار الأولي m/s} \end{aligned}$$

$$\left[\frac{1 \text{ kg m}^2}{\text{kg s}^2} = \frac{1 \text{ Nm}}{\text{kg}} = \frac{1 \text{ J}}{\text{kg}} \right]$$

$$\begin{aligned} \Delta h_d &= h_1 - h_{01} && \text{ضباغات القرص القائد (قارن الشكل 370) kJ/kg} \\ \Delta h_s &= h_{\bar{2}} - h_{0\bar{2}} && \text{ضباغات القرص الدوار (قارن الشكل 370) kJ/kg} \\ \Delta h_a &= h_{(2)} - h_{\bar{2}} && \text{ضباغات الخرج (قارن الشكل 370) kJ/kg} \\ r &= \frac{\Delta h_{02}}{\Delta h_0} = \frac{h_1 - h_{\bar{2}}}{h_E - h_{02}} && \text{درجة رد الفعل} \\ \eta' &= \frac{\Delta h_{w1} + \Delta h_v}{\Delta h_{01} + \Delta h_v} = \frac{c_1^2}{c_0^2} && \text{مردود القرص القائد} \end{aligned}$$

¹ يمكن حذف الدليل Stx عندما يكون من الواضح عند الحساب، في أي مرحلة تتم المعالجة.

$$\eta' = \frac{w_2^2}{w_{20}^2}$$

مردود القرص الدوار
 η' و η'' تأخذان بعين الاعتبار ضياعات القرصين الدوار
 والقائد ويمكن استنتاجهما من المنحنيات التجريبية.

1.4 الاستطاعات والمراديد

\dot{m}_s تدفق البخار اللحظي kg/s
 \dot{m}_B معدل كمية مادة الاحتراق
 المضافة بالساعة kg/h
 ΔH_h قيمة تسخين مادة الاحتراق
 η_K مردود وحدة المراحل

h_E الانتالي قبل بداية التمدد kJ/kg
 h_{0A} الانتالي بعد التمدد الإيزونتروبي kJ/kg
 h_A الانتالي في قاعدة طرد الغاز kJ/kg
 h_e الانتالي عند مخرج مولد البخار kJ/kg
 h_{w1} الانتالي عند مدخل مولد البخار kJ/kg
 للتعويض للعنفات ذات سحب البخار

$$m_s \Delta H_0 = \sum m_{s-S_i} \Delta h_{0-S_i}$$

$$m_s \Delta H_i = \sum m_{s-S_i} \Delta h_{i-S_i}$$

$$P_{th} = m_s \Delta H_0 = m_s (h_E - h_{0A})$$

P_{th} استطاعة الآلة النظرية عند تمدد ايزونتروبي kW

$$\Delta H_0 = h_E - h_{0A}$$

$$\eta_i = \frac{\Delta H_i}{\Delta H_0} = \frac{P_i}{P_{th}} = \frac{h_E - h_A}{h_E - h_{0A}}$$

ΔH_0 انخفاض الحرارة الإجمالي الأيزونتروبي kJ/kg
 η_i المردود الداخلي للعنفة

$$P_i = \eta_i P_{th} = \dot{m}_s \Delta H_i$$

P_i استطاعة الداخلية للعنفة kW

$$\Delta H_i = h_E - h_A$$

$$\eta_m = \frac{P_e}{P_i}$$

ΔH_i انخفاض الحرارة الإجمالي الداخلي kJ/kg
 η_m المردود الميكانيكي (انظر الشكل 371)

$$P_e = \eta_m P_i = \eta_m \eta_i \dot{m}_s \Delta H_0$$

P_e استطاعة التوصيل أو الفعالة بـ kW

$$P_e = \eta_e \dot{m}_s \Delta H_0$$

η_e المردود الفعال (انظر الشكل 371)

$$P_{gen} = \eta_{gen} P_i = \eta_{gen} \eta_i \dot{m}_s \Delta H_0$$

P_{gen} استطاعة المولد مقاسة بالواحدة kW

$$\eta_{gen} = \frac{P_{gen}}{P_e} \quad \eta_{gen} \text{ مردود المولدة (0.96 ... 0.98)}$$

$$\eta_e = \eta_i \eta_m \quad \eta_m \text{ و } \eta_e \text{ تعتمد على الخبرة ويمكن استنتاجهما}$$

$$\eta_i = \frac{\eta_e}{\eta_m} \quad \text{من المخططات (371 و 372)}$$

$$\eta_{th} = \frac{\Delta H_O}{h_e - h_{w1}} \quad \eta_{th} \text{ المرود الحراري للدارة}$$

$$\eta_{th-i} = \frac{\Delta H_i}{h_e - h_{w1}} \quad \eta_{th-i} \text{ المرود الحراري الداخلي}$$

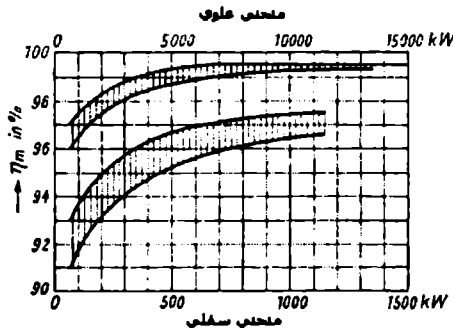
$$\dot{m}_h = \frac{P_e}{\Delta H_i \eta_m} \quad \dot{m}_h \text{ معدل تدفق البخار في الساعة kg/h}$$

$$d_{gen} = \frac{\dot{m}_h}{P_{gen}} = \frac{3600 \frac{\text{kJ}}{\text{kWh}}}{\Delta H_i \eta_m \eta_{gen}} \quad d_{gen} \text{ استهلاك البخار النوعي منسوب إلى } P_{gen} \text{ — kg/kWh}$$

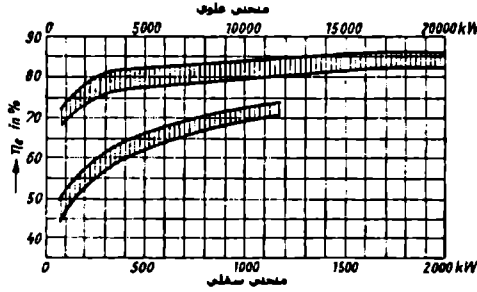
$$q_{gen} = \dot{m}_B \Delta H h = \frac{3600 \frac{\text{kJ}}{\text{kWh}}}{\eta_{gen}} \quad q_{gen} \text{ استهلاك الحرارة النوعي للمحطة kJ/kWh}$$

$$\eta_{tot} = \frac{P_{gen}}{\dot{m}_B \Delta H h} \quad \eta_{ges} \text{ المرود الإجمالي للمحطة}$$

$$\eta_{tot} = \eta_{th} \eta_i \eta_m \eta_K \eta_{gen} \eta_{self} \quad \eta_{self} \text{ المرود للاحتياج الخاص للمحطة}$$



الشكل 371 المراديد الميكانيكية كتاب لاستطاعة العتفة



الشكل 372 المراديد الفعالة كتابك لاستطاعة العنفة

2.4 استثمار الطاقة في القرص القائد والقرص الدوار

الاستنتاج الحسابي والتخطيطي للسرع والزوايا

$$h_E + \frac{c_v^2}{2} = h_{01} + \frac{c_0^2}{2}$$

معادلة الطاقة للقرص القائد

$$\Delta h_v = \frac{c_v^2}{2}$$

h_v انخفاض الدوار الأولي بـ kJ/kg

في حالة $c_v \leq 50$ m/s، يمكن إهمال

طاقة الجريان.

$$c_0 = 44.72 \sqrt{\Delta h_{01} + \Delta h_v}$$

c_0 السرعة النظرية عند تمدد

الايذونتروبي في القرص القائد m/s

$$c_1 = \sqrt{\eta' c_0^2} = \sqrt{\eta' c_0}$$

c_1 سرعة الخروج الفعلية للقرص

القائد تساوي سرعة الدخول المطلقة

للقرص الدوار m/s

η' مردود القرص القائد

$$u_1 = \pi D_1 n$$

u_1 السرعة المحيطية في مدخل القرص الدوار

$$u_2 = \pi D_2 n$$

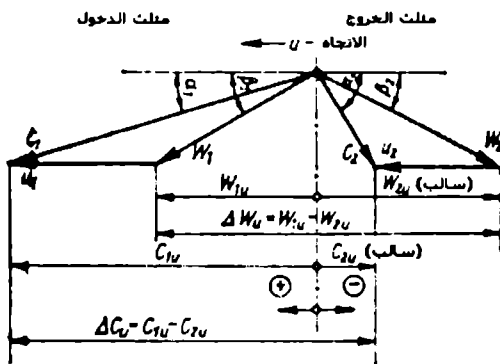
u_2 السرعة المحيطية في مخرج القرص الدوار

$$w_1^2 = c_1^2 + u_1^2 - 2 c_1 u_1 \cos \alpha_1$$

w_1 سرعة الدخول النسبية m/s

$$\sin \beta_1 = \frac{c_1}{w_1} \sin \alpha_1$$

β_1 زاوية الدخول للقرص الدوار



الشكل 373 مخطط السرعة لمراحل العنفة

$$h_1 + \frac{w_1^2}{2} + \frac{u_2^2 - u_1^2}{2} = h_{02} + \frac{w_{20}^2}{2}$$

معادلة الطاقة للقرص الدوار

* $w_{20} = \sqrt{2000r \Delta h_0 + w_1^2 + u_2^2}$ u_1 سرعة الخروج النسبية النظرية عند

التمدد الإيزونتروبي بـ m/s

$$u_2 = u_1 = u = \pi D n$$

u السرعة المحيطة عند التأثير المحوري

$$* w_{20} = \sqrt{2000r \Delta h_0 + w_1^2}$$

w_{20} سرعة الخروج النسبية النظرية من

أجل $u_1 = u_2$

$$w_2 = \sqrt{\eta^{**} w_{20}^2} = \sqrt{\eta^{**}} w_{20}$$

w_2 سرعة الخروج النسبية

$$c_2^2 = w_2^2 + u_2^2 - 2u_2 w_2 \cos \beta_2$$

c_2 سرعة الخروج المطلقة

$$\sin \alpha_2 = \frac{w_2}{c_2} \sin \beta_2$$

α_2 زاوية الخروج المطلقة

3.4 حساب مقاطع التدفق

$$\frac{m_s v_1}{c_1} = A_1 z_d$$

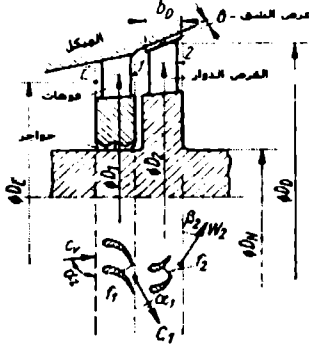
معادلة الاستمرار لمقطع القرص القائد

$$\frac{m_s v_1}{c_1} = k \epsilon \pi D_1 l_1 \sin \alpha_1$$

$$\frac{m_s v_2}{w_2} = A_2 z_s$$

$$\frac{m_s v_2}{w_2} = k \epsilon \pi D_2 l_2 \sin \beta_2$$

$$\epsilon = \frac{\text{محيط التأثير}}{\text{المحيط الكلي}}$$



الشكل 374 مراحل عتفة (ليست محورية تماماً)

معادلة الاستمرار لمقاطع القرص الدوار

k عامل التصحيح

ε درجة التأثير

A₁ المقطع عند مخرج القرص القائد

z₁ عدد الأقرص القائدة

v₁ الحجم النوعي للبخار عند مخرج

القرص القائد

l₁ طول القرص القائد

A₂ المقطع عند مخرج القرص الدوار

z₂ عدد الأقرص الدوارة

v₂ الحجم النوعي للبخار عند مخرج

القرص الدوار

l₂ طول القرص الدوار عند المخرج

4.4 العمل في محيط القرص Δh_{ut} والمردود في المحيط η_u

العمل في محيط القرص الوسطي للقرص الدوار مقاس بالوحدة

(المعادلة الأساسية للعتفة) kJ/kg

$$\Delta h_{ut} = \frac{1}{2} (c_1^2 - c_2^2 + w_2^2 - w_1^2 + u_1^2 - u_2^2)$$

$$\Delta h_{ut} = u_1 c_{1u} - u_2 c_{2u} = u_1 w_{1u} - u_2 w_{2u}$$

$$\Delta h_{ut} = h_{E1} - h_{(2)}$$

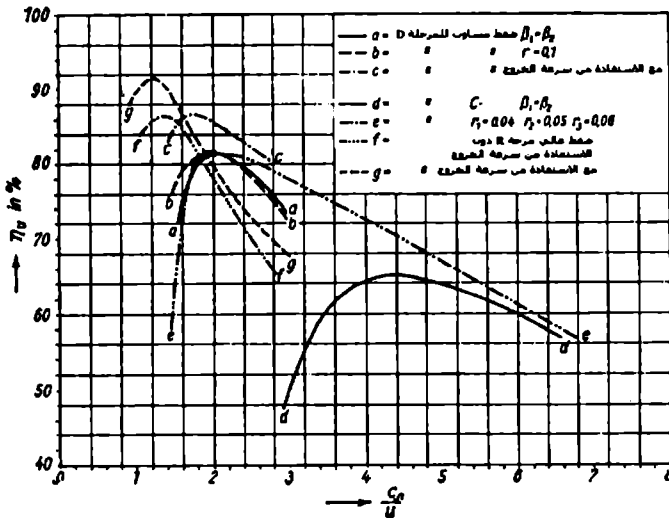
قارن الشكل (370)

$$\Delta h_{ut} = u(c_{1u} - c_{2u})$$

يطبق فقط لمرحلة محورية صافية مع $u_1 = u_2 = u$

$$\Delta_{ut} = u\Delta c_u = u\Delta w_u$$

Δc_u و Δw_u تعرف بمسافات الاستطاعات يمكن استنتاجها بشكل غير مباشر من مخطط السرعات (قارن الشكل 373)



الشكل 375 مردود المحيط للقرص عند درجات ردود أفعال مختلفة
كتابع لقيمة عكسية لعامل الدوران c_u/u

$$\eta_u = \frac{\Delta h_{ut}}{\Delta h_0 + \frac{c_v^2 - c_2^2}{2}}$$

η_u للردود في المحيط دون ضياعات الخروج. من أجل المراحل التي تستخدم عندها طاقة الخروج $c_2^2/2$ كطاقة دخول في المراحل القادمة

$$\bar{\eta}_u = \frac{\Delta h_{ut}}{\Delta h_0 + \frac{c_v^2}{2}} = \frac{\Delta h_{ut}}{\Delta h_{ot}}$$

$\bar{\eta}_u$ المردود في المحيط مع ضياعات الخروج، للمراحل عندما لا يمكن استخدام طاقة الخروج في المراحل التالية.

5.4 عرض الضياعات لمرحلة في عنفة والمردود الداخلي المرحلي η_i

$$\Delta h_d = (1 - \eta') \frac{c_o^2}{2} = h_1 - h_{o1} \quad \text{kJ/kg في الفوهة}$$

$$\Delta h_s = (1 - \eta'') \frac{w_{2o}^2}{2} = h_2 - h_{o2} \quad \text{ضياعات القرص الدوار kJ/kg}$$

$$\Delta h_a = \frac{c_2^2}{2} = h(\bar{2}) - h_2 \quad \text{ضياعات الخروج kJ/kg}$$

$$\Delta h_{rv} = \frac{P_{rv}}{\dot{m}_s} \quad \text{ضياعات احتكاك القرص، وضياعات المروحة kJ/kg. } P_{rv} \text{ بـ kW (راجع المراجع الاختصاصية)}$$

$$\Delta h_{sp} = \Delta h_{sp}' + \Delta h_{sp}'' \quad \text{ضياعات القناة لمرحلة}$$

$$\Delta h_{sp} = \xi_{sp} \Delta h_o = (\xi_{sp}' + \xi_{sp}'') \Delta h_o$$

$$\Delta h_{sp}' = \xi_{sp}' \Delta h_o$$

$$\Delta h_{sp}'' = \xi_{sp}'' \Delta h_o$$

$$\Delta h_{ut} = \Delta h_{ot} - (\Delta h_d + \Delta h_s + \Delta h_a)$$

$$\Delta h_{it} = \Delta h_{ut} - (\Delta h_{sp} + \Delta h_{rv})$$

$$\eta_i = \frac{\Delta h_{it}}{\Delta h_o + \frac{c_v^2 - c_2^2}{2}}$$

$$\bar{\eta}_i = \frac{\Delta h_{it}}{\Delta h_o + \frac{c_v^2}{2}}$$

ضياعات القناة للقرص القائد

ضياعات القناة للقرص الدوار

عمل المحيط لمرحلة في عنفة

العمل الداخلي لمرحلة في عنفة

المردود الداخلي لمرحلة عنفة عند

الاستهلاك التام لطاقة الخروج

المردود الداخلي لمرحلة عنفة مع

ضياعات طاقة الخروج

5. آلات قوى الاحتراق

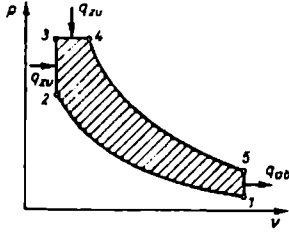
1.5 الدارات المثالية لآلات قوى الاحتراق:

$$\eta_{th} = 1 - \frac{q_{loss}}{q_{supp}}$$

η_{th} المردود الحراري للدارة المثالية

دارة محركات Otto، انظر (علم الحرارة

الهندسي)



الشكل 376

دائرة محركات الديزل، انظر (علم
الحرارة الهندسي)

تتكون دائرة Seiliger (الشكل 376)

من تغيرات الحالة التالية:

1 - 2: تكثيف ايزونتروبي

2 - 3: اكتساب الحرارة تحت حجم

ثابت

3 - 4: اكتساب الحرارة تحت ضغط

ثابت

4 - 5: تمدد ايزونتروبي

5 - 1: طرد الحرارة تحت حجم ثابت

η_{th} المردود الحراري لدائرة Seiliger

$$\eta_{th} = 1 - \frac{1}{\epsilon^{\chi-1}} \frac{\psi \rho^{\chi} - 1}{\psi - 1 + \chi \psi (\rho - 1)}$$

$$\epsilon = \frac{V_1}{V_2}$$

$$\psi = \frac{p_3}{p_2}$$

$$\rho = \frac{V_4}{V_3}$$

$$P_{th} = \frac{\epsilon}{\epsilon - 1} \frac{q_{supp} \eta_{th}}{v_1}$$

$$P_{th} = \frac{p_1}{\chi - 1} \frac{\epsilon^{\chi}}{\epsilon - 1} [\psi - 1 + \chi \psi (\rho - 1)] \eta_{th}$$

ϵ نسبة التكايف

ψ نسبة ازدياد الضغط في دائرة Diesel $\psi = 1$

$\rho = 0$ نسبة الضغط الكلي، في دائرة Otto $\rho = 0$

P_{th} الضغط الوسطي kP_e محرك يعمل

حسب الدائرة المثالية

q_{supp} الحرارة المكتسبة kJ/kg

v_1 الحجم النوعي m^3/kg

2.5 دارات المحركات الكاملة (التامة)

\dot{m}_B معدل استهلاك المادة اللازمة w_v عمل المحركات بوحدة kJ لوحدة

مادة احتراق

kg/s

Δ_{HH}	قيمة تسخين مادة الاحتراق	T	عدد الأشواط لكل دورة عمل
q_{supp}	الحرارة المكتسبة بـ k لكل	T=4	لمحركات رباعية الشوط
kg	شحنة جاهزة	T=2	لمحركات ثنائية الشوط
q_{ab}	الحرارة المسحوبة بـ k لكل	m_L	كمية الهواء المحترقة بـ kg لكل
kg	شحنة جاهزة		وحدة من مادة الاحتراق
D	قطر المكبس m	m_{L-min}	احتياج الهواء النظري kg لكل
s	طول الشوط m		وحدة من مادة الاحتراق
n	عدد الدورات $\frac{1}{s}$	V_H	حجم الشوط للمحرك m^3
z	عدد الاسطوانات	V_h	حجم الشوط للاسطوانة m^3

η_v مردود المحرك الكامل، يتعلق بدارة المقارنة
الموضوعة إما (Diesel، Otto)، أو (Seiliger)

$$\eta_v = \frac{w_v}{\Delta_{HH} h} = \frac{P_v}{m_B \Delta_{HH} h}$$

q_{supp} الحرارة المكتسبة kJ/kg، شحنة جاهزة

$m_G = \lambda_v m_{L-min} + k$ كمية الشحن الجاهزة kg لكل وحدة من مادة الاحتراق

$\lambda_v = \frac{m_L}{m_{L-min}}$ عامل نسبة الهواء

$k = 0$ من أجل محركات Diesel و Otto مع حقن مادة احتراق محركات Otto

$k = 1 \text{ kg/kg}$ للمحركات الغازية، ρ_x كثافة غاز التشغيل kg/m^3 في

$k = \rho_k$ الشروط النظامية (0 °C: 101.3 kPa)

$P_v = \frac{\epsilon}{\epsilon - 1} \rho_1 q_{supp} \eta_v$ P_v الضغط الوسطي للمحرك الكامل kPa

ρ_1 كثافة تعبئة الاسطوانة kg/m^3 عند بداية الانضغاط

$$P_v = \frac{2p_v V_H n}{T}$$

P_v استطاعة المحرك الكامل kW

3.5 الأبعاد، المراديد والاستطاعات

$$V_H = z V_h$$

V_h حجم الشوط للاسطوانة m^3

$$V_H = z \frac{\pi}{4} D^2 s$$

V_H حجم الشوط للمحرك m^3

$$c_m = 2sn$$

c_m سرعة المكبس الوسطية m/s

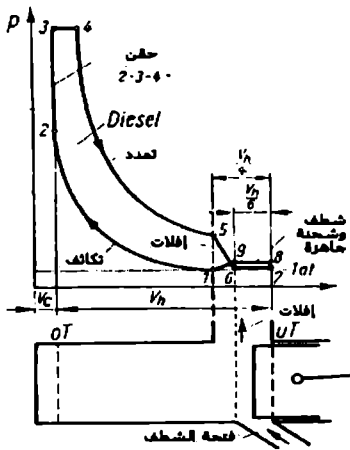
$$\varepsilon = \frac{V_h + V_c}{V_c}$$

ε نسبة التكايف

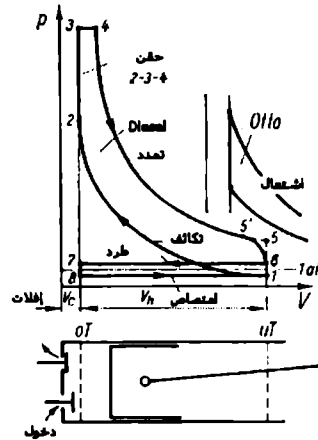
V_c حجرة تكيف الاسطوانة

$$x_h = \frac{s}{D}$$

x_h نسبة الشوط



الشكل 378 طريقة عمل
محركات ثنائية الشوط



الشكل 377 طريقة عمل
محركات رباعية الشوط

$$\eta_i = \frac{P_i}{\dot{m}_B \Delta_{Hh}} = \eta_g \eta_v$$

η_i المردود الداخلي أو المردود الدليلي

$$\eta_g = \frac{P_i}{P_v} = \frac{P_i}{P_v} = \frac{\eta_i}{\eta_v}$$

η_g مردود الجودة

$$P_i = \frac{2V_H n}{T} P_i = \frac{\pi D^2 \text{snz}}{2T} P_i$$

P_i الضغط الداخلي الوسطي kPa

P_i الاستطاعة الداخلية kW

$$\eta_m = \frac{P_e}{P_i} = \frac{P_e}{P_e + P_r}$$

η_m المردود الميكانيكي

P_r استطاعة الاحتكاك واستطاعات التجهيزات

المساعدة (الشاحن، النافخ الطرد)

$$P_e = \frac{2V_H n}{T} P_e = \frac{\pi D^2 n z}{2T} P_e$$

P_e الاستطاعة المفيدة kW

$$M_d = \frac{V_H}{\pi T} P_e$$

M_d عزم الدوران المفيد kNm

$$P_e = P_i \eta_m$$

P_i الضغط الداخلي الموسط kPa

$$P_e = \frac{\Delta_{Hh}}{\lambda_v m_{L-\min} + k} \lambda_i \rho_F \eta_e$$

P_e الضغط المفيد الموسط kPa

$$\lambda_i = \frac{m_z}{\rho_F V_h}$$

λ_i درجة التوزيع

$$\frac{P_e}{\lambda_i \eta_e} = \frac{P_i}{\lambda_i \eta_i} = \frac{P_v (\epsilon - 1)}{\eta_v \epsilon}$$

m_z كمية الشحنة الجاهزة للاسطوانة

ρ_F كثافة الشحنة الجاهزة قبل فتحات الدخول

$$\eta_e = \frac{P_e}{\dot{m}_B \Delta_{Hh}} = \frac{1}{b_e \Delta_{Hh}}$$

η_e المردود المفيد

$$\eta_e = \eta_v \eta_g \eta_m$$

$$b_e = \frac{\dot{m}_B}{P_e} = \frac{3600 \frac{\text{kJ}}{\text{kWh}}}{\Delta_{Hh} \eta_e}$$

b_e الاستهلاك النوعي للمادة kg/kWh

6. المضخات المكبسية والمضخات الدوارة

(العلاقات المشتركة)

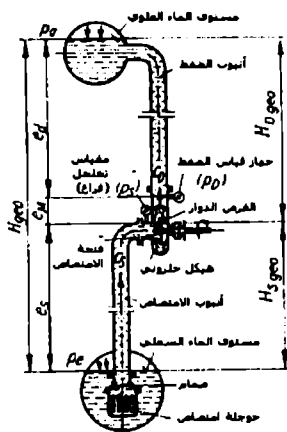
الضغط في قعر الامتصاص للمضخة	P_s	ارتفاع النقل	H
الضغط في مستوى السائل (العلوي)	P_a	ارتفاع النقل الجغرافي (فرق الارتفاع بين مستوي السائل العلوي والسفلي)	H_{geo}
سرعة التدفق في موقع قياس الضغط	P_e	ارتفاع الضغط الجغرافي	H_{Sgeo}
سرعة التدفق في موقع قياس الامتصاص	C_D	مقاومات الأنابيب	H_{Dgeo}
سرعة التدفق في موقع قياس الامتصاص	C_s	مقاومات الأنابيب	H_v
التسارع الأرضي	g	مقاومة أنابيب الامتصاص	H_{v_s}
كثافة السائل	ρ	مقاومة أنابيب الضغط	H_{vD}
التدفق	\dot{V}	الضياعات الداخلية للمضخة	H_{v_i}
عدد الدورات	n	ارتفاع النقل النظري	H_{th}
ارتفاع عمود سائل أثناء قياس ضغط الهواء الجوي	H_A	ارتفاع النقل المانومتري	H_{man}
ارتفاع عمود سائل أثناء قياس ضغط الإشباع لبخار السائل	H_t	فرق الارتفاع بين موقع قياس الضغط والامتصاص	e_M
ارتفاع النقل	H	الضغط في قعر مضخة الضغط (موقع قياس الضغط)	P_D

ارتفاع النقل الجغرافي H_{geo}
 (فرق الارتفاع بين
 مستوى السائل العلوي
 والسفلي)

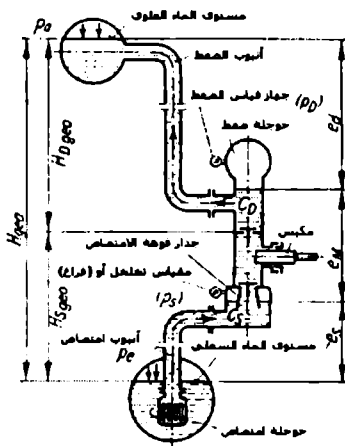
$$H = \frac{(P_D - P_S)}{\rho g} + c_M + \frac{C_D^2 - C_S^2}{2g}$$

$$H = \frac{(P_D - P_S)}{\rho g} + H_{geo} + H_v$$

$$H = H_{geo} + H_v$$



الشكل 380



الشكل 379

$$H_v = H_{VS} + H_{VD}$$

$$H = \frac{(P_D - P_S)}{\rho g} + c_M$$

$$H_{man} = \frac{H_p}{1000 \frac{kg}{m^3}}$$

$$\Delta p = H_{man} 1000 \text{ kg/m}^3 \quad g = H_p g$$

$$H_{th} = \frac{H}{\eta_h} = H + H_{vi}$$

$$\eta_H = \frac{H}{H_{th}}$$

H_v مقاومة الأنابيب m

يطبق في المضخات المكبسية في مرحلة الانضغاط والامتصاص

H_{man} الارتفاع المانومتري بوحدة m ، ارتفاع عند

نقل الماء، $\rho_{4^\circ C} = 1000 \text{ kg/m}^3$

Δp ضغط النقل P_a

H_{th} الارتفاع النظري m

η_H المرود الهيدروليكي

1.6 المضخات المكبسية

$$P = \dot{V}H\rho g$$

الاستطاعة المفيدة kW

$$P_i = \frac{P}{\eta_i} = \frac{P}{\lambda\eta_h}$$

η_i المردود الداخلي

\dot{V}_{th} تدفق الارتفاع المطلوب m^3/s ، من

قياسات المضخة المكبسية عديمة الضياعات

\dot{V}_v ضياعات النقل m^3/s خلال المرشحات

$$\eta_i = \frac{P}{P_i} = \lambda\eta_h$$

$$\eta = \frac{\dot{V}}{\dot{V}_{th}} = \lambda\lambda_f$$

η_v المردود الحجمي ($\eta_v = 0.88 \dots 0.98$)

$$\lambda_f = \frac{\dot{V} + \dot{V}_v}{\dot{V}_{th}}$$

λ_f مردود التعبئة

$$\lambda = \frac{\dot{V}}{\dot{V} + \dot{V}_v}$$

λ درجة التوزيع

$$P_i' = A p_i s n$$

P_i' الاستطاعة الدليلية لجانب الاسطوانة kW

p_i الضغط الداخلي المتوسط بوحدة Pa، من

مخطط الدليلي

$$P_i = \sum P_i' = s n \sum A p_i$$

P_i الاستطاعة الدليلية للمضخة المكبسية kW

A مساحة المكبس لطرف الاسطوانة m^2

s طول الشوط m

$$P_K = \frac{P_i}{\eta_{mec}} = \frac{P}{\eta_i \eta_{mec}} = \frac{P}{\eta_{tot}}$$

P_K استطاعة التوصيل kW

η_{mec} المردود الميكانيكي

$$\eta_{tot} = \frac{P}{P_K} = \eta_i \eta_{mec} = \lambda \eta_h \eta_{mec}$$

η_{tot} المردود الكلي ($\eta_{tot} = 0.7 \dots 0.85$)

$$c_m = 2s n$$

c_m سرعة المكبس الوسطية m/s ($c_m = 1.5 \dots 2 m/s$)

$$x_h = \frac{s}{D}$$

x_h نسبة الشوط ($p \leq 4 MPa$ من أجل 1.2 حتى 0.6)

$\dot{V} = \eta_v \dot{V}_{th} = \eta_v s n \Sigma A$ العلاقات لتحديد القياسات الأساسية حسب

$\dot{V} = \eta_v \frac{c_m}{2} \Sigma A$ الفرض لـ x_h و c_m

ارتفاع الامتصاص الأعظمي الممكن في المضخات المكبسية ($H_{s, geo max}$)

$H_{s, geo max} = H_A - H_t - h_{s, max} - h_{svo}$ مضخات بدون وعاء امتصاص

$H_{s, geo max} = H_A - H_t - H_{vs} - h_{svo}$ مضخات مع وعاء امتصاص

$H_{s, geo} < H_{s, geo max}$ ارتفاع الامتصاص الحقيقي (للماء البارد 7 m ... 6)

$H_A = \frac{P_A}{1000 \frac{kg}{m^3} g}$ $h_{s, max}$ ارتفاع التسارع الأعظمي m
 h_{svo} مقاومة فتحة صمام الامتصاص m

$H_t = \frac{P_t}{1000 \frac{kg}{m^3} g}$ p_A ضغط الهواء الجوي N/m^2
 p_t ضغط إشباع بخار السائل بوحدة Pa

2.6 المضخات الدوارة - المكثفات الدوارة

(انظر أيضاً المضخات المكبسية والمضخات الدوارة) الأدلة:

0 لحظة قبل بداية دوران القرص H_{tho} ارتفاع النقل لعدد شفرات غير

1 لحظة بعد بداية دوران القرص منته وتدفق بدون احتكاك بوحدة m

2 قليل قبل نهاية دوران القرص u السرعة المحيطية m/s

3 قليل بعد نهاية دوران القرص c السرعة المطلقة للتدفق m/s

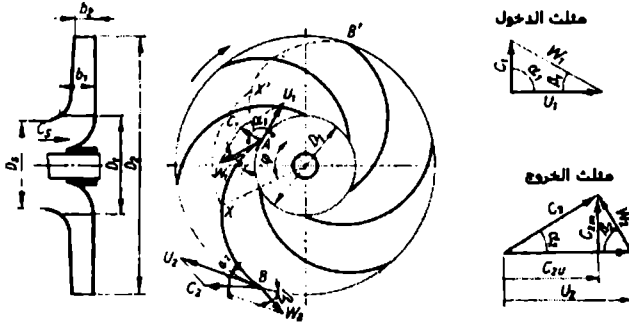
الزوايا: w السرعة النسبية للتدفق m/s

α الزاوية بين c و u

β الزاوية بين w والاتجاه السالب لـ u

$H_{thoo} = \frac{u_2 c_2 \cos \alpha_2 - u_1 c_0 \cos \alpha_0}{g}$ h_{thoo} ارتفاع النقل لعدد شفرات غير منته وجريان بدون احتكاك

$H_{thoo} = \frac{u_2 c_2 u - u_1 c_0 u}{g}$ المعادلة الرئيسية Euler (عند عدد غير منته من الشفرات $c_0 = c_1$ وأيضاً $\alpha_0 = \alpha_1$)



الشكل 381

$$H_{th\infty} = \frac{u_2 c_2 \cos \alpha_2}{g} = \frac{u_2 c_{2u}}{g}$$

عند $\alpha_0 = 90^\circ$ (الدخول عمودي)

$$H_{th} = k H_{th\infty}$$

H_{th} الارتفاع النظري المطلوب عند عدد غير منته من الشفرات

$$k = \frac{H_{th}}{H_{th\infty}} \quad (k \approx 0.70 \dots 0.85)$$

k عامل الاستطاعة الأصغري، ويمكن تحديده حسب صيغ التقريب لـ Plfeider

$$H = \eta_{th} H_{th} = \eta_h k H_{th\infty}$$

H الارتفاع الحقيقي المطلوب m

$$r_\infty = 1 - \frac{c_{2u}}{2u_2}$$

درجة رد الفعل لعدد نهائي من الشفرات

$$r = 1 - \frac{kc_{2u}}{2u_2}$$

درجة رد الفعل لعدد منته من الشفرات

$$\psi = \frac{2gH}{u_2^2}$$

عامل الضغط ($\psi = 0.9 \dots 1.1$)، أقصراص قطرية

3.6 الاستطاعات والمراديد في المضخات الدورانية

$$P = \dot{V} H \rho g$$

P الاستطاعة المفيدة kW

$$P_i = \frac{P}{\lambda \eta_h} + P_{vr}$$

P_i الاستطاعة الداخلية kW

P_{vr} ضياعات احتكاك الدولاب kW

P_K استطاعة جهاز الوصل kW

$$*P_{vr} = 0.9 \times 10^{-6} \mu_2^3 D_2^2$$

λ درجة التوزيع ($\lambda = 0.88 \dots 0.98$)

η_h المرود الهيدروليكي ($\eta_h = 0.7 \dots 0.95$)

$$\eta_i = \frac{P}{P_i}$$

η_i المرود الداخلي

$$P_K = \frac{P_i}{\eta_{mec}}$$

η_{mec} المرود الميكانيكي ($\eta_{mec} = 0.85 \dots 0.98$)

$$\eta_{tot} = \frac{P}{P_K}$$

η_{tot} المرود الكلي ($\eta_{tot} = 0.4 \dots 0.9$)

4.6 سلوك المضخات الدورانية والمكثفات الدورانية

سلوك المضخات الدورانية والمكثفات الدورانية عند عدد دورات متغير

عند تغير عدد الدورات من n إلى n_1 يتغير تدفق النقل \dot{V} وارتفاع النقل H والاستطاعة P حسب العلاقات التالية:

$$\dot{V}_1 = \dot{V} \frac{n_1}{n} \quad \text{تدفق النقل}$$

$$H_1 = H \frac{n_1}{n^2} \quad \text{ارتفاع النقل}$$

$$P_1 = P \frac{n_1^3}{n^3} \quad \text{الاستطاعة}$$

السلوك عند عدد دورات متساوي وانعكاس دوران الدولاب من D_2 إلى D_2'

عندما يتم تدوير الدولاب الدوار من D_2 إلى D_2' يتغير تدفق النقل \dot{V} ، وارتفاع النقل H والاستطاعة P حسب العلاقات التالية:

$$\dot{V}_1 = \dot{V} \frac{D_2'}{D_2} \quad \text{تدفق النقل}$$

$$H_1 = H \frac{D_2'^2}{D_2^2}$$

ارتفاع النقل

$$P_1 = P \frac{D_2^3}{D_2'^3}$$

الاستطاعة

عدد الدورات النوعي n_q

$$* n_q = n \frac{\sqrt{V}}{H^{3/4}}$$

n_q	n	\dot{V}	H
U/min	U/min	m ³ /s	m

أشكال الدولاب الدوار



$n_q = 11 \dots 39$

دوران بطيء (دولاب محوري)



$n_q = 38 \dots 82$

دوران متوسط (دولاب عنفة Francis)



$n_q = 82 \dots 164$

دوران سريع (دولاب قطري)



$n_q = 100 \dots 500$

دوران أسرع ما يمكن (دولاب على شكل

الشكل 382

قطعي)

ارتفاع الامتصاص المسموح به في المضخات الدورانية $H_{S_{geo \max}}$

$$H_{S_{geo \max}} = H_A - H_1 - H_{VS} - \frac{c_0^2}{2g} - \Delta h$$

$$* \Delta h = \left[\left(\frac{n}{100} \right)^2 \frac{\dot{V}}{k_n S} \right]^{2/3}$$

Δh	n	\dot{V}	$k_n S$
m	U/min	m ³ /s	-

$$k_n = 1 - (d_n/D_S)^2$$

Δh انخفاض الضغط (ضغط التوقف) m

$S \approx 2.47$ للدولاب القطعي

c_0 السرعة المطلقة قبل الدولاب m/s

$S \approx 2.35$ عنفة ذات تدوير بسيط

k_n عامل تضيق مقطع الدخول

$S \approx 2.9$ دولاب محوري (مضاعف التدوير)

S عامل الامتصاص

5.6 أجهزة سحب الهواء

(خصوصيات مقارنة مع المضخات الدورانية)

$$\Delta p_{\text{tot}} = (p_D - p_S) + \frac{c_D^2 - c_S^2}{2} \rho$$

Δp_{tot} ضغط النقل بوحدة Pa

$$p_{\text{stat}} = p_D - p_S$$

Δp_{stat} الضغط الستاتيكي Pa

$$p_{\text{dyn}} = \frac{c_D^2 - c_S^2}{2} \rho$$

Δp_{dyn} الضغط الديناميكي Pa

$$P = \dot{V} \Delta p_{\text{tot}}$$

P الاستطاعة المفيدة kW

$$z \approx 8.5 \frac{\sin \beta_2}{1 - (r_1 / r_2)}$$

عدد الشفرات

6.6 المكثفات الدورانية

(خصوصيات مقارنة مع المضخات الدورانية)

$$w_t = \frac{\chi}{\chi - 1} p_s v_s \left[\left(\frac{p_D}{p_S} \right)^{\frac{\chi - 1}{\chi}} - 1 \right]$$

w_t العمل النوعي للمكثف عند

تكثيف ايزونثروبي J/kg

$$w_t = \frac{\chi}{\chi - 1} R T_S \left[\left(\frac{p_D}{p_S} \right)^{\frac{\chi - 1}{\chi}} - 1 \right]$$

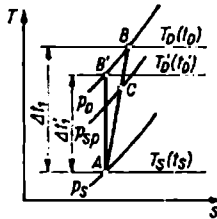
c_p السعة الحرارية النوعية عند ضغط

ثابت J/(kg K)

$$w_t = c_p T_S \left[\left(\frac{p_D}{p_S} \right)^{\frac{\chi - 1}{\chi}} - 1 \right]$$

R ثابت الغازات العام J/(kg K)

v_s الحجم النوعي بحالة الامتصاص m^3/kg



الشكل 383

$H = \frac{w_t}{g}$ العلاقة بين ارتفاع النقل H بوحدة m والعمل النوعي w_t

$w_{t-i} = c_p(T_D - T_S) = h_D - h_S$ w_{t-i} العمل النوعي الداخلي J/kg

$\eta_i = \frac{w_t}{w_{t-i}} = \frac{T_D' - T_S}{T_D - T_S} = \frac{\Delta t_1'}{\Delta t_1}$ η_i المردود الداخلي

h_D الانتالي للنقطة B — J/kg

h_A الانتالي للنقطة A — J/kg

$w_{t-L} = \tau w_t$ w_{t-L} العمل النوعي للدولاب الدوران J/kg

p_{pp} الضغط في القناة بين الدولاب الدوران والجهاز القائد N/m^2

$P = \dot{m} w_t$ P الاستطاعة المفيدة عند التكاثف الايزونثروبي kW

$P_i = \frac{P}{\eta_i} = \dot{m} w_{t-i}$ P_i الاستطاعة الداخلية kW

$P_K = \frac{P_i}{\eta_{mech}}$ P_K استطاعة التوصيل kW

η_{mech} المردود الميكانيكي

$\eta_{ges} = \frac{P}{P_K}$ η_{tot} المردود الكلي

$\dot{m} = \frac{p_S \dot{V}}{RT_S}$ \dot{m} الكمية المطلوبة (المنقولة) kg/s

7. الكثافات المكبسية

\dot{V} تدفق النقل (التدفق الحجمي) m^3/s P_i الاستطاعة الداخلية kW

V_H حجم الشوط لاسطوانة m^3 P_K استطاعة التوصيل kW

V_0 الفراغ المتضرر للاسطوانة m^3 p_i الضغط الداخلي المتوسط Pa

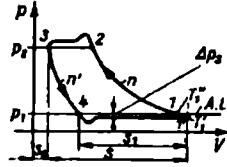
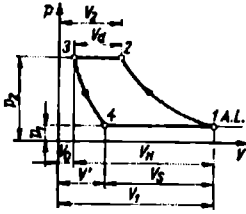
z عدد الاسطوانات $p_{i,th}$ الضغط الوسطي النظري Pa

s شوط الاسطوانة m p_D الضغط في داعمات الضغط Pa

n عدد الدورات U/s p_S الضغط في داعمات الامتصاص Pa

c_m سرعة المكبس الوسطية m/s T_D درجة الحرارة في داعمات الضغط K

T_S درجة الحرارة في داعمات الامتصاص K



الشكل 384 المخطط التالي لكثف ذي فراغ متضمر

$$V_0 = s_0 A$$

$$V_H = s A$$

$$\epsilon_0 = \frac{V_0}{V_H} = \frac{s_0}{s}$$

$$\epsilon = \frac{s_0 + s}{s_0} = \frac{V_0 + V_H}{V_0}$$

$$\epsilon_0 = \frac{1}{\epsilon - 1} \quad \epsilon = \frac{\epsilon_0 + 1}{\epsilon_0}$$

$$\lambda_0 = 1 - \epsilon_0 \left[\left(\frac{P_D}{P_S} \right)^{\frac{1}{n''}} - 1 \right] = \frac{s_1}{s}$$

$$\lambda = \frac{\Delta P_S}{P_S}$$

$$\lambda_1 = \frac{\dot{V}}{V_1}$$

$$\lambda_2 = \frac{T_S}{T_1''}$$

$$\lambda_r = \lambda_0 \lambda \lambda_2$$

A مساحة المكبس الفعالة لجانب الاسطوانة m^3

V_H حجم الشوط للاسطوانة m^3

ϵ_0 نسبة الفراغ المتضمر (0.03 ... 0.15)

ϵ نسبة التكثيف

العلاقة بين ϵ و ϵ_0

λ_0 عامل التمدد العكسي

عامل ضياع الضغط عند الامتصاص، وغالباً:

$$(\lambda = 1, \Delta P_S = 0.02 \dots 0.03 P_S)$$

λ_1 درجة الكثافة (درجة التوزيع) نسبة كمية التوزيع

لكمية الامتصاص ($\lambda_1 = 0.97$ حتى 1)

λ_2 درجة التسخين

T_S درجة الحرارة في حالة الامتصاص

T_1'' درجة الحرارة في النقطة 1 (انظر الشكل 385)

λ_r درجة التعبئة

n' أس البروليتروبي لتمدد الإرجاع

$$\lambda_f = \left\{ 1 - \epsilon_0 \left[\left(\frac{p_D}{p_S} \right)^{\frac{1}{n'}} - 1 \right] \right\} \frac{T_S}{T_1''}$$

$$\eta_v = \lambda_1 \lambda_1 = \lambda_0 \lambda' \lambda_1 \lambda_2$$

η_v المرود الحتمي (0.7 ... 0.9)

1.7 الأبعاد، الاستطاعات والمراديد

$$\dot{V} = \eta_v z V_H$$

$$\dot{V} = \eta_v s n \Sigma A$$

$$\dot{V} = \eta_v \frac{c_m}{2} \Sigma A$$

$$x_H = \frac{s}{D}$$

$$c_m = 2sn$$

$$P_{is} = 2.3 p_S \dot{V} \lg \frac{p_D}{p_S}$$

$$P_{pot} = \frac{n}{n-1} p_S \dot{V} \left[\left(\frac{p_D}{p_S} \right)^{\frac{n-1}{n}} - 1 \right]$$

$$P_i = sn \Sigma p_i A$$

$$p_i = \frac{P_{ith}}{\eta_h}$$

$$P_{ith} = \frac{n}{n-1} p_S \lambda_0 \left[\left(\frac{p_D}{p_S} \right)^{\frac{n-1}{n}} - 1 \right]$$

\dot{V} الحجم المنقول m^3/s في حالة الامتصاص
للمرحلة الأولى. في حالة تكتيف ذي مراحل
متعددة تعتبر \dot{V} على حالة البداية لكل مرحلة.

V_H حجم الشوط بـ m^3 للأسطوانة التابعة
لكل مرحلة الضغط

D قطر الاسطوانة m

x_H نسبة الشوط

c_m سرعة المكبس الوسطية m/s ($c_m = 1.4 \dots 4$)

P_{is} الاستطاعة النظرية عند تكتيف ايزونتروبي

P_{pot} الاستطاعة النظرية kW عند تكتيف
بوليتروبي. أما عند تكتيف ايزونتروبي فتعوض
 $x \rightarrow n$

P_i الاستطاعة الداخلية (الاستطاعة الدليلية) kW

η_h درجة الاكتمال أو المرود الهيدروليكي

($\eta_h = 0.94 \dots 0.98$)

n أس البوليتروبي للتكاثف والتمدد
الإرجاعي

$$\eta_{is-i} = \frac{P_{is}}{P_i}$$

$$P_K = \frac{P_i}{\eta_{mech}}$$

$$x = i \sqrt{\frac{P_e}{P_S}}$$

$$x' = k_i \sqrt{\frac{P_e}{P_S}}$$

$$Q_S = c_v \frac{\lambda - n}{n - 1} (T_{D'} - T_{S'}) \dot{m}$$

$$Q_K = c_{pm} (T_{D'} - T_{S'}) \dot{m}$$

η_{is-i} المرود الدليلي بثبوت درجة الحرارة

η_{mech} المرود الميكانيكي ($\eta_{mech} = 0.88 \dots 0.95$)

نسبة الضغط المرحلية بالعمال ضياعات
الضغط قبل وبعد المبردات

نسبة الضغط المرحلية باهمال ضياعات الضغط
قبل وبعد المبردات

Q_S الحرارة المطروحة من الغاز عند التكثيف
في مرحلة ما

Q_K الحرارة المكتسبة لمرحلة ما بين المبرد

\dot{m} معدل تدفق كمية الغاز kg/s

$T_{D'}$ درجة الحرارة بعد التكثيف في مرحلة ما

$T_{S'}$ درجة الحرارة عند بداية التكثيف في مرحلة
ما

P_e الضغط Pa لمرحلة ما بعد المبرد

i عدد المراحل

k عامل اعتبار ضياعات الضغط في مرحلة ما بين

وما بعد المبرد ($k = 1.03 \dots 1.2$)

هندسة الإنتاج والتشكيل

1. التشكيل والقص

1.1 التشكيل

قواعد حساب التشكيل

تمتلك المواد المعدنية خواص البلاستيكية، حيث تظهر تغيرات مرنة على هذه المواد فور خضوعها لتأثير قوى خارجية، وحتى يقع أي تغير في سلوك هذه المواد ينبغي أن تكون قيمة الإجهاد المتولد بتأثير تلك القوى الخارجية أكبر من متانة التشكيل.

إن التغير المتزايد في شكل المادة ضمن درجة حرارة إعادة البنية الكرسطالية (الزجاجية) يؤدي إلى زيادة متانة المادة.

تنطلق جميع العلاقات التالية من ثبات الحجم $V_0 = V_1 = V_2 = \dots = V$

شروط التشكيل وشروط المادة

$$k_t = \frac{F}{A} = \sigma_w$$

متانة التشكيل بوحدة N/mm^2 (قيم المادة)

وتكون متماثلة خارج حدود المسافة بجهد

حقيقي σ_w

$$\epsilon_x = \frac{x_1 - x_0}{x_0} = \frac{x_1}{x_0} - 1 = \frac{\Delta x}{x_0}$$

إن تغير الأبعاد من الأبعاد البدائية والنهائية

منسوبة إلى الأبعاد البدائية، المعطيات غالباً

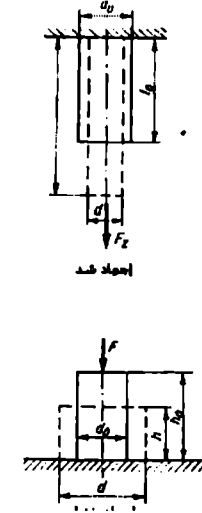
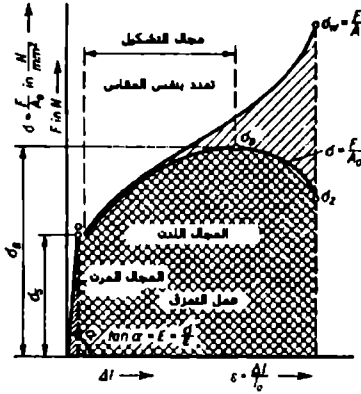
نسبة مئوية %

$$\varphi_x = \int_{x_0}^{x_1} \frac{dx}{x} = \ln \frac{x_1}{x_0} = \ln(1 + \epsilon_x)$$

درجة التشكيل، تغيرات شكل لوغاريتمية،

اللوغاريتم الطبيعي لنسبة من نهاية الأبعاد

إلى البداية (انظر الجدول 39)



الشكل 386 مخطط لتغيرات الانفعال والإجهاد لمعدن ذي المحتوى 0.08% كربون

(الجدول 39) علاقات حساب تغيرات الأبعاد

درجة التشكيل، تغيرات الشكل اللوغاريتمية	تغيرات الأبعاد النسبوية		العلاقات البدائية والوسطى والنهائية	
	النسبوية	المطلقة		
$\varphi_A = \ln \frac{A_1}{A_0} = \ln(1 + \varepsilon_A)$	$\varepsilon_A = \frac{A_1 - A_0}{A_0} = \frac{\Delta A}{A_0}$	$A = A_1 - A_0$	$A_0, A_1 \dots A_n$	المقطع
$\varphi_l = \ln \frac{l_1}{l_0} = \ln(1 + \varepsilon_l)$	$\varepsilon_l = \frac{l_1 - l_0}{l_0} = \frac{\Delta l}{l_0}$	$l = l_1 - l_0$	$l_0, l_1 \dots l_n$	الطول
$\varphi_b = \ln \frac{b_1}{b_0} = \ln(1 + \varepsilon_b)$	$\varepsilon_b = \frac{b_1 - b_0}{b_0} = \frac{\Delta b}{b_0}$	$b = b_1 - b_0$	$b_0, b_1 \dots b_n$	العرض
$\varphi_h = \ln \frac{h_1}{h_0} = \ln(1 + \varepsilon_h)$	$\varepsilon_h = \frac{h_1 - h_0}{h_0} = \frac{\Delta h}{h_0}$	$h = h_1 - h_0$	$h_0, h_1 \dots h_n$	الارتفاع السماكة
$\varphi_d = \ln \frac{d_1}{d_0} = \ln(1 + \varepsilon_d)$	$\varepsilon_d = \frac{d_1 - d_0}{d_0} = \frac{\Delta d}{d_0}$	$d = d_1 - d_0$	$d_0, d_1 \dots d_n$	القطر

درجة التشكيل، تغيرات الشكل اللوغاريتمية	تغيرات الأبعاد المنسوبة		العلاقات البدائية والوسطى والنهائية	
	المنسوبة	المطلقة		
$\varphi_s = \ln \frac{S_1}{S_0} = \ln(1 + \varepsilon_s)$	$\varepsilon_s = \frac{S_1 - S_0}{S_0} = \frac{\Delta S}{S_0}$	$S = S_1 - S_0$	$S_0, S_1 \dots S_n$	سماعة الجدار

$$w = \int_0^{\varphi} k_f d\varphi = k_{fm} \varphi$$

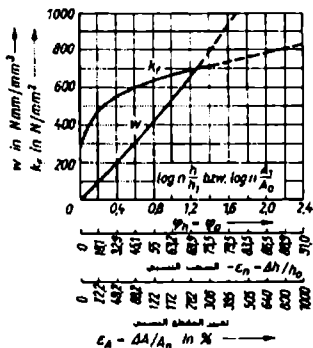
$$k_{fm} = \frac{k_{f0} + k_{f1}}{2}$$

$$k_{fm} = \frac{k_{f0} + 2k_{f1}}{3}$$

قابلية التشكيل النوعية N/mm^3

متانة التشكيل الوسطية N/mm^2

k_{fm} يعتبر كقيمة حسابية ويطبق بتقريب كبير



الشكل 387 قيم المادة k_f و w ، 0.1 %

كربون و $\sigma = 380 N/mm^2$

$$\varphi_x + \varphi_y + \varphi_z = 0$$

المجموع الجبري لدرجة التشكيل في اتجاه

التغير الرئيسي يساوي الصفر

$$\varphi_v = \sqrt{\frac{2}{3}(\varphi_x^2 + \varphi_y^2 + \varphi_z^2)}$$

درجة التشكيل المقارن، تغير الشكل

المقارن اللوغاريتمي φ_v يساوي φ_{max}

$$\varphi_v = \varphi_{max}$$

عند إجهاد الشد أو الضغط البسيطين

$$\dot{\varphi} = \frac{d\varphi}{dt} = \frac{dh}{h dt} = \frac{1}{h} \frac{dh}{dt} = \frac{v}{h}$$

سرعة التشكيل $1/s$ ، v سرعة الأداة

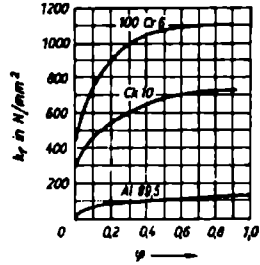
للحظية h ، m/s ارتفاع السحب

الموجود m

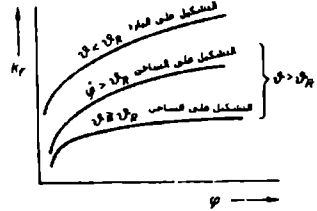
القيم المؤثرة على متانة التشكيل

بنية تشكيل المادة (تكوينها)، حالة التكوين (التاريخ الأولي للأداة بالمعنى الواسع) درجة التشكيل ϕ (التاريخ الأولي بالمعنى المحدد)، درجة حرارة التشكيل θ ، سرعة التشكيل $\dot{\phi}$

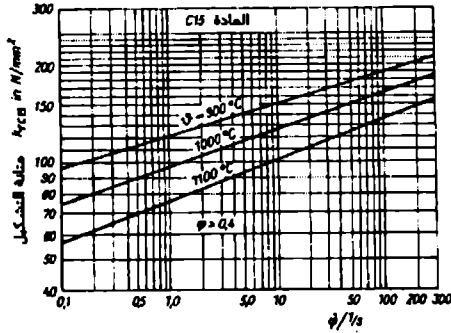
الشكل 388a، تأثير المادة ودرجة التشكيل على k_f



الشكل 388c) تأثير درجة الحرارة وسرعة التشكيل على k_f



الشكل 388b) تأثير درجة الحرارة ودرجة التشكيل على k_f درجة حرارة إعادة البنية θ_R ، تقع سرعة إعادة التشكيل (البنية) وسطياً عند $\frac{1}{s}$



المادة	العامل $n = k_{fx} / k_{TC15}$		
	7100 °C	1000 °C	300 °C
C 15	1	1	1
C 35	1.06	1.10	1.16
C 45	1.02	1.12	1.27
C 60	1.11	1.19	1.38
16 Mn Cr 5	1.05	1.08	1.12
20 Mn Cr 5	1.05	1.10	1.13
26 Cr V 7	1.05	1.09	1.27

(الشكل 389) منحنيات السيلان الحار لـ C15 (مادة أساسية)

(حسب تجربة Nenberger - Möckel - Rötze)

n عامل تحويل الحساب لبعض أنواع الفولاذ

(الجدول 40) عامل تحويل الحساب n لمقاومة التشكيل ومتانة التشكيل k_{fx} لبعض أنواع الفولاذ

العامل $n = \frac{k_{fx}}{k_{TC15}}$			المادة
900 °C	1000 °C	1100 °C	
1	1	1	C 15
1.16	1.10	1.06	C 35
1.27	1.12	1.02	C 45
1.38	1.19	1.11	C 60
1.12	1.09	1.05	16 Mn Cr 5
1.13	1.10	1.05	20 Mn Cr 5
1.27	1.09	1.05	26 Cr V 7

$$k_{fx} = nk_{rc15}$$

k_{fx} متانة التشكيل المطلوبة

n عامل تحويل الحساب (الجدول 40)

k_{rc15} متانة التشكيل للمادة الأساسية

θ درجة حرارة التشكيل °C

قوة التشكيل - عمل التشكيل - مردود التشكيل

$$F = pA$$

قوة التشكيل مقاسة بالواحدة N، المساحة

المجهددة مقاسة بالواحدة mm²

p الإجهاد الكلي N/mm²

$$F = k_w A$$

k_w مقاومة التشكيل تختوي كما في p إلى جانب

الإجهادات المثالية إجهادات الاحتكاك والانزلاق

$$F_{id} = k_f A$$

قوة التشكيل المثالية مقاسة بالواحدة N

$$F_{id \max} = k_{f \max} A_{\max}$$

قوة التشكيل العظمى مقاسة بالواحدة N

(باعتبار ازدياد القوة وتغيير شكل المرحلة النهائية

لعملية التشكيل مثلاً (السحب على البارد)

$$W = \int_{h_0}^{h_1} F dh = V_P \int_{h_0}^{h_1} \frac{dh}{h}$$

عمل التشكيل مقاسة بالواحدة N.mm من أجل

تعويض $F = \frac{V}{h} p$ ، حيث V تمثل حجم التشكيل

المزاح mm³

$$W = V_P \ln \frac{h_1}{h_0}$$

من أجل $\ln \frac{h_1}{h_0} = \varphi_h$

$$W = V_P \varphi_h; W = V k_f \varphi_n$$

من أجل p قيم تعريف المادة تعوض k_f

$$W_{id} = V w$$

من أجل تعويض $k_f \varphi_n = w$

$$W = W_{id} + W_R + W_S$$

عمل التشكيل يتكون من عمل التشكيل المثالي

وكذلك من عمل الانزلاق والاحتكاك

$$\eta_u = \frac{W_{id}}{W} = \frac{k_f}{k_w}$$

مردود التشكيل هو نسبة من العمل الحقيقي؛
والمثالي أو مقاومة التشكيل ومثانة التشكيل

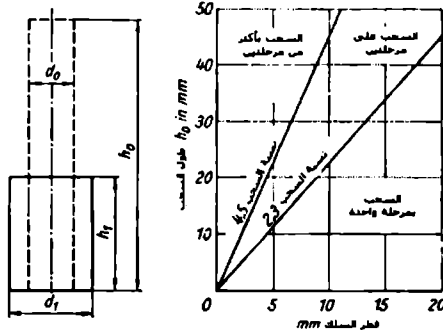
القيم الحقيقية لمردود التشكيل

$\eta_u = 0.4 \dots 0.8$ عند التشكيل على البارد

$\eta_u = 0.2 \dots 0.5$ عند التشكيل على الساخن

2.1 التشكيل، القوة والعمل اللازم

1.2.1 السحب



(الشكل 390) نسب السحب ومراحل التشكيل

قيم التشكيل

$$s = \frac{h_0}{d_0}$$

نسبة السحب

$$\varphi = \ln \frac{h_1}{h_0} = \ln \frac{A_1}{A_0}$$

مردود السحب (عام) درجة التشكيل

$$\varphi_{\max} = \ln \frac{A_{\max}}{A_0}$$

درجة السحب العظمى

$$\phi = \frac{d\phi}{dt} = \frac{v}{h}$$

سرعة التشكيل $\frac{1}{s}$

v سرعة الأداة اللحظية mm/s

h ارتفاع السحب اللحظي mm

$$\varepsilon = \frac{h_1 - h_0}{h_0}$$

تغيرات الأبعاد النسبية

طول وحجم السحب انظر العلاقات الهندسية في مراجع أخرى

السحب على البارد

$$F = Ak_w = A \frac{k_f}{\eta_F}$$

قوة التشكيل (قوة السحب) مقاسة

بالبوحدة N

k_f متانة التشكيل

η_F مردود التشكيل لقوة السحب

$$F_{\max} = \frac{A_{\max} k_f}{\eta_F}$$

قوة السحب الأعظمية N

$$W = \frac{Vw}{\eta_F} = \frac{Vk_{fm}\phi}{\eta_w}$$

عمل التشكيل (العمل اللازم) N mm

w عمل التشكيل النوعي $N \text{ mm/mm}^3$

η_w مردود التشكيل لعمل التشكيل

(المجدول 41) مردود التشكيل تابع لشكل السحب

η_w من أجل عمل التشكيل	η_F من أجل قوة التشكيل	
0.85 ... 0.98	$\frac{1}{1 + \frac{1}{3} \mu \frac{d}{h}}$	السحب بين صفائح مستوية
0.8 ... 0.9	0.75 ... 0.85	رأس لبرغي سداسي (ست أطراف)
0.6 ... 0.6	0.35 ... 0.45	رأس أسطواني
0.4 ... 0.6	0.3 ... 0.5	رأس غاطس

0.4 ... 0.6	0.3 ... 0.4	رأس كروي
0.35 ... 0.6	0.25 ... 0.4	رأس نصف دائري

عامل الاحتكاك يتعلق بالتشحيم للسحب على البارد $\mu = 0.05 \dots 0.15$

السحب على الساخن

تطبق العلاقات المطبقة للسحب على البارد تماماً.

$$S = \frac{h_0}{d_0} = 3$$

نسبة السحب الممكنة على الساخن في عملية ما

$$F = A k_f z k$$

قوة التشكيل مقاسة بالوحدة N

z عامل يأخذ بعين الاعتبار تأثير السرعة المحيطة عند التحويل إلى السحب على الساخن 2 ... 1 عند الضغط، 5 ... 2 عند الطرق

$$k_{f_{dyn}} = k_{f_{stat}} z$$

متانة التشكيل مقاسة بالوحدة N/mm^2

عندما يكون $\phi > \theta_R$ و $\theta > \theta_R$

نحصل على $k_{f_{stat}}$ عند $\phi = v_R = 0.1 \frac{1}{s}$ من الشكل (389)، ويؤخذ العامل n من العلاقة بين المادة الموجودة والمادة الأساسية C15 (الجدول 14)

$$k_{fs} = nk_{f_{C15}}$$

$k_{f_{dyn}C15}$ من الشكل 389 كتاب لـ θ و $\phi = \frac{v}{h}$

k عامل يأخذ بعين الاعتبار ارتفاع الرأس وشكل السحب عند السحب على الساخن وتطابق مردود التشكيل η_F عند السحب على البارد

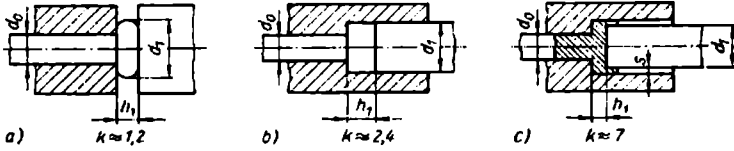
$$F = AK_{f_{dyn}C15} nk$$

قوة التشكيل بوحدة N

$$W = VK_f z k \phi$$

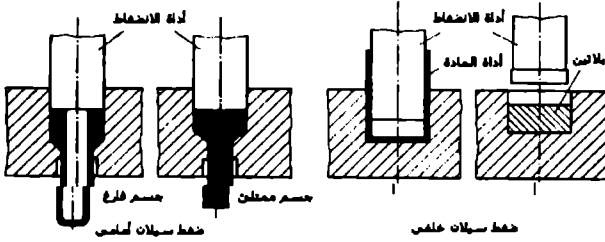
عمل التشكيل N.mm

$$W = V k_{f_{dyn}C15} nk \phi$$



الشكل 391 عوامل حسب Billigmann

1.2.2 ضغط السيلان



الشكل 392 أنواع ضغط السيلان

لحسابات التقديرية تطبق كلتا حالتى السيلان:

$$F = \frac{Ak_{fm}\phi}{\eta_F}$$

قوة التشكيل مقاسة بالواحدة N

A المقطع، الذي تنقل من خلاله القوة

عند ضغط السيلان إلى الأمام $A = A_0$

عند ضغط السيلان إلى الخلف $A = A_{st}$

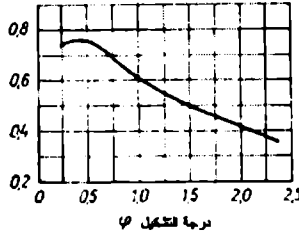
η_F مردود التشكيل

$$\eta_F = 0.3 \dots 0.85$$

ϕ درجة التشكيل

$$w = \frac{Vk_{fm}\phi}{\eta_F}$$

عمل التشكيل مقاس بالواحدة N mm



الشكل 393 مردود التشكيل η_F كتابع لدرجة التشكيل φ

$$W = k_{fm} \varphi$$

عمل التشكيل النوعي $N \text{ mm/mm}^3$

$$\varphi = \ln \frac{A_0}{A_1}$$

درجة التشكيل عند ضغط السيلان إلى الأمام

$$\varphi \approx \ln \frac{D_0}{D_0 - d} - 0.16$$

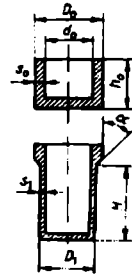
درجة التشكيل عند ضغط السيلان إلى الخلف

في الحسابات الدقيقة

$$F = A_0 k_{fm} \varphi \left(1 + \frac{\hat{\alpha}}{2\varphi} + \frac{2\mu}{\hat{\alpha}} \right) \pi D_0 h_0 \mu k_{r0}$$

الشكل 394 مميزات القياس للأجسام المفرغة عند ضغط السيلان

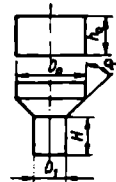
إلى الأمام



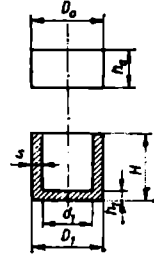
$$F = A_0 k_{fm} \varphi \left(1 + \frac{\mu}{\hat{\alpha}} + \frac{2}{3} \frac{\hat{\alpha}}{\varphi} \right) \pi D_0 h_0 \mu k_{r0}$$

الشكل 395 مميزات القياس للأجسام المصمتة عند ضغط السيلان

إلى الأمام



الشكل 396 مميزات القياس للأجسام المفرغة عند ضغط السيلان إلى الخلف



$$F = A_{St} \left\{ k_{f1} \left(1 + \frac{1}{3} \mu \frac{d_1}{h_1} \right) + k_{f2} \left[1 + \frac{h_1}{S} \left(0.25 + \frac{\mu}{2} \right) \right] \right\}$$

$$\varphi_1 = \ln \frac{h_0}{h_1}$$

درجة التشكيل لإيجاد k_{f1}

$$\varphi_2 = \left(1 + \frac{d_1}{8s} \right) \ln \frac{h_0}{h_1}$$

درجة التشكيل لإيجاد k_{f2}

نطبق مميزات القياس للأشكال في العلاقات. A_0 مقطع الخروج أو المقطع المجهد عند ضغط السيلان إلى الأمام. A_{St} مقطع ختم الضغط؛ عامل الاحتكاك $\mu = 0.1 \dots 0.15$

$\bar{\alpha}$ زاوية Matriz

$$W = Fh$$

عمل التشكيل N mm

F قوة التشكيل N

h مسافة الختم، التي تم عندها التشكيل مقاسة بالوحدة mm

$$P_{St} = \frac{F}{A_{St}}$$

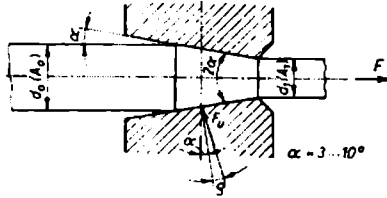
ضغط الختم N/mm^2

F قوة التشكيل N

A_{St} مساحة الختم مقاسة بالوحدة mm^2

$$P_{St} \leq 2500 N/mm^2$$

3.2.1 سحب الأسلاك والقضبان



الشكل 397 مميزات القياس عند سحب البروفيل

$$F = A_1 k_{wm} \varphi = A_1 \frac{k_{fm}}{\eta_F} \varphi$$

قوة السحب مقاسة بالوحدة N

مردود التشكيل $\eta_F \approx 0.4 \dots 0.7$

$$\varphi = \ln \frac{A_1}{A_0} \text{ درجة التشكيل}$$

$$\eta_F = \frac{1}{\left(1 + \frac{\mu}{\alpha} + \frac{2\alpha}{3\varphi}\right)}$$

$$F = A_1 w \left(1 + \frac{\mu}{\alpha} + \frac{2\alpha}{3\varphi}\right)$$

عمل التشكيل مقاس بالوحدة N mm

$$W = V w \left(1 + \frac{\mu}{\alpha} + \frac{2\alpha}{3\varphi}\right)$$

$$P = Fv$$

استطاعة سحب الفوهة kW

v سرعة السحب m/s

(الجدول 42) عامل الاحتكاك للسحب خلال فوهة

المادة	التشحيم	مادة فوهة السحب
Ms 63	زيت	فولاذ
Ms 63	زيت	معدن قاس
فولاذ، متوهج طري	زيت أو صابون	معدن قاس
المنيوم	زيت آلات أو زيت سحب	فولاذ

$$v = \frac{F}{A_1 \sigma_B} = \frac{k_{fm} \phi}{\sigma_B \eta_F}$$

تقارن درجة التعب الإجهاد الطولي المتولد خلال قوة السحب مع متانة سحب للمادة

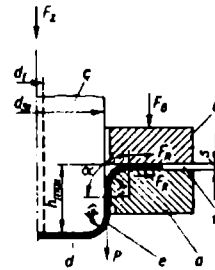
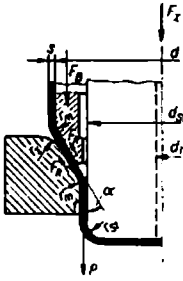
$$v = \frac{w}{\sigma_B \eta_F}$$

$$v \leq 0.75$$

$$\phi_{\max} = \partial \eta_F \frac{\sigma_B}{k_{fm}}$$

درجة التشكيل العظمي

4.2.1 السحب العميق مع ختم التشكيل



الشكل b 398 السحب العميق المسمر

الشكل a 398 السحب العميق

a حلقة السحب، b ماسك، c الختم، d جزء السحب

e مجال نقل القوة، r مجال محيط الشكل

السحب العميق

$$F_{id} = \pi d s l k_{fm} \ln \frac{D_z}{d}$$

قوة السحب المثالية N

$$F_z = \pi d s \left\{ \left(1 + \frac{\pi \mu}{2} \right) \left(l k_{fm} \ln \frac{D_z}{d} + \frac{\mu}{2} \left[\left(\frac{D_0}{d} \right)^2 - 1 \right] \frac{d^2 p_B}{D_z s} \right) + \frac{k_{f1} s}{2 r_2} \right\}$$

احتياج القوة الحقيقي N باعتبار نصيب إعادة

الانعطاف والاحتكاك (حسب Siebel) $\mu \approx 0.2$

قطر البلاطين mm، التي تظهر عنده القوة العظمى

نسبة السحب (D قطر التدوير، d قطر السحب)

$$D_z = d \sqrt{0.7\beta^2 + 0.3}$$

$$D_z \approx d(0.77\beta + 0.23)$$

$$\beta = \frac{d_n - 1}{d_n} = \frac{D}{d}$$

$$\varphi_1 = \ln \sqrt{0.3\beta^2 + 0.7}$$

درجة التشكيل φ_1 ، التي تحدد k_{Π} من منحنى
السيلان (درجة التشكيل في طرف السحب)

$$\varphi_2 = \ln \frac{\beta}{0.7\beta^2 + 0.3}$$

$$k_{fm} = \frac{k_{f1} + k_{f2}}{2}$$

متانة التشكيل الوسطية N/mm^2

$$\varphi_z = \ln \frac{D_z}{d} = \ln \sqrt{0.7\beta^2 + 0.3}$$

درجة التشكيل لحظة تأثير القوة العظمى

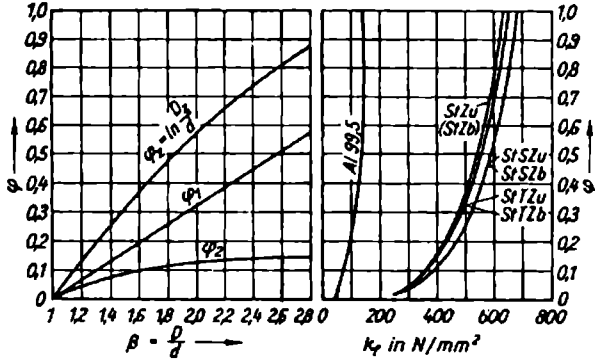
(المجمول 43) نسب السحب لبعض المواد

(تصلح لأجل $s = 1 \text{ mm}$ وقطر $d = 100 \text{ mm}$)

القيم المسموح بها للسحب

متانة الشد σ_{rB} N/mm^2	مع توهج β_2	نسبة السحب بدون توهج		وصف المادة	
		β_2	β_1	جديد	قديم
280 ... 500	1.5	1.2	1.7	StG, StGu	St I-III 23
280 ... 420	1.6	1.2	1.8	StZu, StZb	St V-VI 23
280 ... 420	1.65	1.25	1.9	StTZu, StTZb	St VII 23
280 ... 400	1.7	1.3	1.9	StSZu, StSZb	St VIII 23
210 ... 250	1.9	1.3	2.0	Cu	Cu
310	1.9	1.4	2.0	CuZn 30	مسحوب عميقاً 72 Ms
78	1.8	1.3	1.9	Al 99.5	ألنيوم صافي AluF 7w
160 ... 210	1.7	1.4	1.8	AlMg 3 F 18	AlMg 3w
230 ... 250	-	-	1.55	AlMg 3 F 23	AlMg 3 1/2 H
180 ... 250	1.8	1.4	1.9	AlCuMgF 20	AlCuMg w

النسبة $d : s$ تعتبر العامل k عند $d : s > 20$ ، تكون $k = 1$ وعندما $d : s$ بين 20 ... 2 تقع k بين 1 ... 0.4



الشكل 399 مخطط لتعيين درجة التشكيل ϕ_1, ϕ_2, ϕ_3

الجزء المشطوف الاسطواني المحيطي من صفيحة فولاذية

$$\beta_n = \beta_1 n^{-0.7\beta_1}$$

(الصيغة التقريبية حسب Volter)

$$\log \beta_n = \log \beta_1 - 0.07 \beta_1 \log n$$

تعطى قيم β من أجل $s = 1 \text{ mm}$ (انظر الجدول 43)، n عدد المراحل

علاقة التصحيح (حسب Ochler)

$$\beta_{zul} = ck\beta$$

للفئات مقاسة بالوحدة $s \leq 1 \text{ mm}$ تقع c في صفائح الفولاذ بين 0.8 ... 1.15
ولسماكة الصفيحة بين 0.3 ... 3 mm

العمل اللازم N

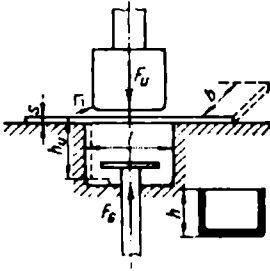
ضغط تماسك الصفيحة N

$$p_B = 0.0025 \left[(\beta_1 - 1)^2 + 0.005 \frac{d}{s} \right] \sigma_B$$

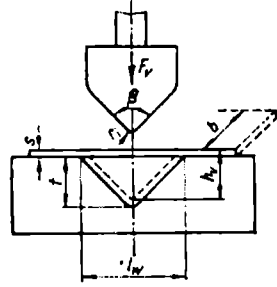
قوة الصفيحة المحافظ بوحدة N

$F_B = A p_B$ المساحة الفعالة mm^2

5.2.1 الثني



الشكل 401 الثني على شكل U



الشكل 400 الثني على شكل V

$$F_V = \frac{bs^2\sigma_B}{l'}$$

قوة الثني بدون قوة السبكرة عند الثني على شكل

V مقاسة بالواحدة N

$l' = l_w - s$ عرض العمق الفعال

نصف قطر الثني الأصغري

c = 0.5 ... 0.6 فولاذ حراري

c = 0.3 ... 0.4 نحاس أصفر

c = 0.6 ألمنيوم طري

$$r_{in} = cs$$

$$F_{Vmax} \approx 2F_V$$

قوة الثني النهائية مقاسة بالواحدة N وما يتبعها قوة

الثني

قوة الثني N mm

$$W_V = \frac{1}{3}F_{Vmax}h_V$$

$$W_V = \frac{1}{3}F_{Vmax}\frac{l'}{2}$$

$$F_U = 0.4\sigma_Bbs$$

قوة الثني مقاسة بالواحدة N عند الثني على شكل U

$$F_{Umax} = 2F_U$$

قوة الثني الأعظمية N

$$F_G = (0.2 \dots 0.4) F_U$$

قوة رد الفعل N

$$W_U = \frac{1}{3} F_{U\max} h_U$$

عمل الثني N

$$W_U = \frac{2}{3} (F_U + F_G) h_U$$

عمل الثني مقاسة بالوحدة N عند الانخفاض مع حامل عكسي

$$h_U = (2 \dots 4) s$$

حجم العمل الضروري

$$M_b = F_{r_s} = \frac{c_p \sigma_B b s^2}{4}$$

عزم الثني على آلة إزالة الأطراف N mm

c_b قيم الثني عند:

$\frac{r_i}{s} = 0.5$	$c_b = 1.6$
$\frac{r_i}{s} = 1.0$	$c_b = 1.3$
$\frac{r_i}{s} = 2.5$	$c_b = 1.1$

$$W_K \approx \frac{2}{3} M_b \bar{\beta}$$

عمل الثني لإزالة الأطراف N mm

$\bar{\beta}$ زاوية الثني مقاسة بالقوس

$$M_b = \frac{1}{3} \sigma_B W_b$$

عزم الثني N mm عند الثني للأنايب على آلة ثني الأنايب

$$W_b \approx 0.8 D_m^2 s$$

عزم المقاومة للأنايب ذات الجدران الرقيقة ($s < 0.04D$)

$$W_b = 0.1 \frac{D^4 - d^4}{D}$$

عزم المقاومة للأنايب ذات الجدران المثينة

($s \geq 0.04D$)

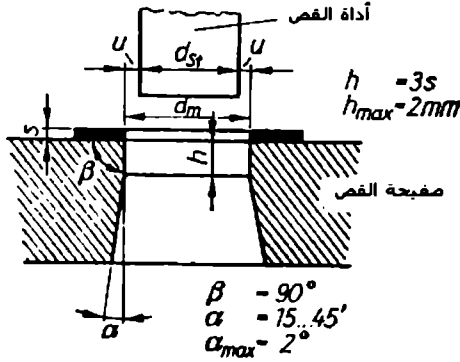
$$W = M_b \bar{\beta}$$

عمل الثني مقاس بالوحدة N mm

$\bar{\beta}$ زاوية الثني مقاسة بالوحدة rad (قياس القوس)

3.1 القص (القص المتوازي)

القص، الثقب - الفصل بالقص



الشكل 402، القص، والثقب

$$F = A_s \tau_{sB}$$

قوة القص مقاسة بالوحدة N، حيث $A_s = Ls$

$$F = L \cdot s \times 0.8 \sigma_{zB}$$

L طول القطع (المحيط مقاسة بالوحدة mm)
s سماكة الصفيحة مقاسة بالوحدة mm
 $\tau_{sB} \approx 0.8 \sigma_{zB}$ متانة القص مقاسة بالوحدة
N/mm²

$$W = \chi F s$$

عمل التشكيل مقاسة بالوحدة N mm

$$W = \chi L s^2 \times 0.8 \sigma_{zB}$$

$\chi = 0.65$ من أجل $s \approx 1 \dots 2$ mm

$$u = cs \sqrt{0.8 \sigma_{zB}}$$

يجري القص u مقاسة بالوحدة mm من أجل $s = 3$ mm

$$u = (1.5cs - 0.015) \sqrt{0.8 \sigma_{zB}}$$

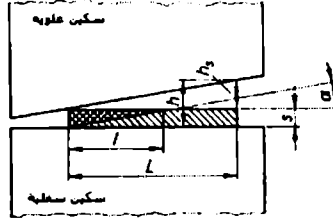
من أجل $s > 3$ mm

العوامل:

$$\sigma_{zB} \leq 500 \text{ N/mm}^2 \text{ من أجل } c = 0.005$$

$$\sigma_{zB} > 500 \text{ N/mm}^2 \text{ من أجل } c \geq 0.01$$

القص بالواح قص (القص المتقاطع)



الشكل 403، القص على لوح قص

$$F = A_s \tau_{zB}$$

قوة القص مقاسة بالوحدة N، حيث

$$F = \frac{s^2 0.8 \sigma_{zB}}{2 \tan \alpha}$$

$$A_s = \frac{ls}{2}; \quad l = \frac{s}{\tan \alpha}$$

$$W = Fh = F(L \tan \alpha + s)$$

العمل اللازم مقاس بالوحدة N mm حيث

$$h = h_s + s$$

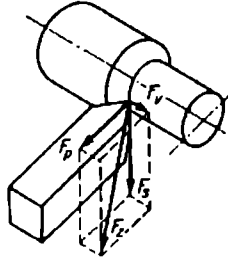
$$h_s = L \tan \alpha$$

2. الخراطة

2.1 علاقات الخراطة الأساسية

عند التطبيق المناسب للمعرفة في قلم الخراطة المستقلة يمكن نقل هذه المعرفة على مشاكل الخراطة الأخرى. تستخدم عوامل العمليات من أجل عمليات الإجهاد المختلفة.

F_s قوة القطع



الشكل 404 مركبات القوى في أداة ذات قطع مفرد

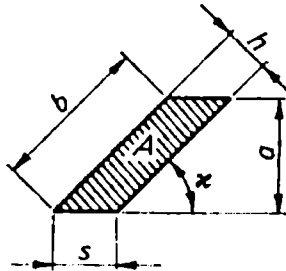
F_S قوة القطع، F_P القوة السلبية، F_V القوة الانزلاقية، F_Z قوة الإجهاد

قيم الضغط

a عمق القطع بوحدة mm، χ زاوية التعيين بالدرجة °

s المسافة الانسحابية لكل دورة من القلم (mm/U)

قيم الحساب



الشكل 405 قيم الخراطة

مقادير الخراطة

$$b = \frac{a}{\sin \chi}$$

عرض الخراطة مقاس بالوحدة mm

$$h = s \sin \chi$$

سماكة الخراطة مقاسة بالواحدة mm

$$A = as = bh$$

مقطع الخراطة مقياس بالواحدة mm² (إهمال زيادة القطع وأنصاف أقطار القمم)

$$k_s = \frac{F_s}{as} = \frac{F_s}{bh}$$

قوة القطع النوعية N/mm²

$$\frac{F_s}{b} = k_{sl.1} \cdot h^{1-m}$$

قانون قوة قطع Kienzle (تشمل تأثير s أو h)

$$k_s = \frac{k_{sl.1}}{h^m}$$

قوة القطع النوعية المنسوبة للمادة N/mm² (فقط أثناء تطبيقها على الدوران) عند 1 mm ثخانة الرايش و 1 mm عرض الرايش (انظر الجدول 44)

$$m = \tan \rho$$

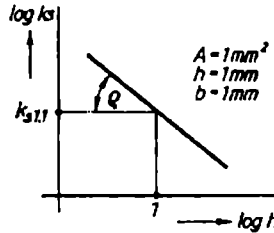
ظل زاوية التقدم (ميل زاوية الصعود)

$$1 - m$$

قيم الزيادة

$$G = \pi dn$$

سرعة القطع مقاسة بالواحدة m/s (الصيغة العامة)



الشكل 406، k_s كتابع لـ h

T زمن الوقوف

T زمن القطع لأداة جديدة مجلوحة

v₆₀; v₂₄₀; v₄₈₀

سرعات قطع زمن الوقوف

v_T مقاسة بالواحدة m/min (دوران v₆₀؛ دوران المسدس

v₂₄₀، الدوران الآلي v₄₈₀)

الجدول (44) قوة القطع النوعية الوسطية عند المعالجة بالخرطاة

المادة	$\sigma_{\text{b}}/N \text{ mm}^{-2}$ bzw. MPa قوة Brinell HB	l-m	k_{m} N/mm^2	mm \rightarrow b عند MPa أو N/mm^2 \rightarrow k _m										
				0.063	0.10	0.16	0.25	0.40	0.63	1.0	1.6	2.5		
St 34, St 42	500 حتى	0.83	1780	2820	2600	2400	2240	2060	1920	1780	1640	1520		
St 50	520	0.74	1990	4200	3610	3190	2830	2500	2240	1990	1780	1580		
St 60	620	0.83	2110	3310	3080	2830	2620	2440	2270	1110	1960	1820		
St 70	720	0.70	2260	5120	4500	3920	3410	2990	2600	2260	1980	1740		
Ck 45	670	0.86	2220	3240	3040	2840	2660	2500	2340	2220	2090	1960		
Ck 60	770	0.82	2130	3430	3150	2920	2700	2490	2300	2130	1960	1810		
16 MnCr 5	770	0.74	2100	4350	3830	3400	3020	2660	2360	2100	1880	1670		
GGL 15	200	0.79	950	1670	1510	1370	1250	1140	1040	950	850	780		
GGL 25	245	0.74	1160	2360	2100	1870	1660	1470	1300	1160	1050	930		

عينت بالقيم: المعدن القاسية، قص عمل حاد، دون إعطاء مجال الارتفاع

زاوية الأداة	α°	β°	γ°	ϵ°	χ°	λ°	R mm \rightarrow	سرعة القطع $v = 90 \dots 125 \frac{\text{m}}{\text{min}}$
معالجة الفولاذ	5	79	6	90	45	4	1	المسألة: دوران طولي $b : h \geq 4$
معالجة حديد الصب	5	83	2	90	45	4	1	قابل للتطبيق بعوامل المسألة، القشط، القف، التفريغ، التحليل، والتصلب

$$B = t^n C_B$$

العلاقة بين B-v-t

B عرض المميز الاستهلاكي mm

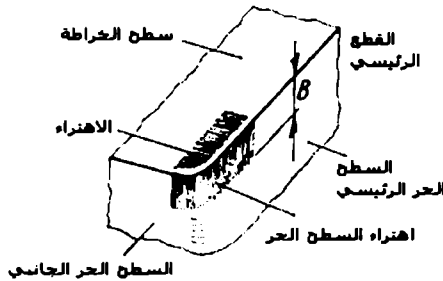
t زمن القطع مقاس بالوحدة min

v سرعة القطع m/min

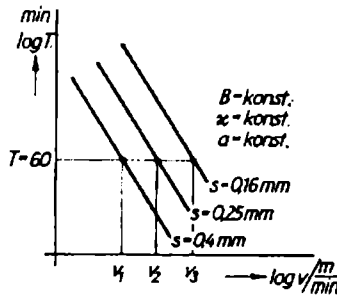
n = tan η قيمة الصعود

C_B ثابت

عرض المميز المستهلك الاعتيادي 0.2؛ 0.5؛ 0.8 و 1.2 mm حسب طريقة إنجاز العمل.



الشكل 407a أشكال الاهتراء في أداة القطع



الشكل 407b، مخطط - T, v, s

$$v_T = \frac{C_T}{T^y}$$

سرعة القطع في زمن الوقوف m/min

C_T سرعة القطع من أجل $T = 1 \text{ min}$ زمن الوقوف

y أس زمن الوقوف

$$v_{lat} = \pi d n_{lat}$$

سرعة قطع زمن الوقوف الحقيقي الممكن الوصول إليه m/min

d القطر مقياس بالواحدة m حيث:

للمعالجة الخارجية - قطر الأنبوب

للمعالجة الداخلية - قطر جاهز

n_{lat} مقياس بالواحد $\frac{U}{min}$ عدد الدورات الحقيقي القابل للتعبير

في الآلة

$$v_{Tth} = v_{TTab} K_\chi K_a K_{Kr} K_U K_{ku} K_B$$

سرعة القطع النظرية بزمن الوقوف m/min

v_{TTab} سرعة القطع بزمن الوقوف

K_χ عامل التصحيح لزاوية العيار (تتعلق بالمادة والقطع)

و بتقريب كبير نطبق:

$$K_\chi = 1 \text{ عند } \chi = 45^\circ, K_\chi = 0.95 \text{ عند } \chi = 70^\circ, K_\chi = 0.9 \text{ عند } \chi = 90^\circ$$

K_a عامل التصحيح لعمق القطع (يتعلق بمادة القطع) للمعادن القاسية ذات المحتوى

العال من التيتان الكاربيد

(نوع p) نطبق $K_a = 1$ عند $a = 5 \text{ mm}$; قيمة K_a تزداد عند $a = 1 \text{ mm}$ إلى $K_a =$

1.18، إن قيمة K_a تنخفض حتى $a = 10 \text{ mm}$ إلى $K_a = 0.92$

K_{Kr} عوامل التصحيح من أجل قشور الدرفلة والقص أو الصب

$K_{Kr} = 1$ للمواد بدون قشور

$K_{Kr} = 0.7 \dots 0.75$ للفولاذ مع قشرة

$K_{K_r} = 0.6$ لـ GG مع قشرة

K_{U} عوامل التصحيح لتوقفات القطع

$K_{U} = 1$ بدون توقفات القطع

$K_{U} = 0.8 \dots 0.85$ عند توقفات القطع

K_{K_u} عامل التصحيح للتبريد

$K_{K_u} = 1$ عند القطع الجاف

$K_{K_u} = 1.4 \dots 1.5$ التبريد أثناء الدوران

$K_{K_u} = 1.8$ تبريد عند دوران المسدس

$K_{K_u} = 1.75$ تبريد عند الثقب

K_B عامل تصحيح لعرض المميز المتآكل:

المعادن القاسية تكون $K_B = 1$ ، عند $B = 0.8 \text{ mm}$ وعند $B = 0.5 \text{ mm}$ عند $K_B = 0.8$ المميز المتآكل.

$$v_{Th} = \pi d n_{th}$$

سرعة زمن الوقوف النظرية m/min

$$n_{th} = \frac{v_{Th}}{d}$$

عدد الدورات النظرية U/min

n_{th} عدد الدورات القابلة الحقيقية للتعبير في الآلة U/min، التي تكون قريبة من عدد الدورات النظرية ويتم اختيارها في الشروط النظامية لآلية أقل من n_{th} ، وبذلك ينخفض زمن الوقوف المطلوب.

$$V = A v = a s v$$

حجم الرایش cm³/min

$$F_s = b h^{1-m} k_{s1.1}$$

معادلة قوة القطع حسب Kienzle بوحدة N

(حقل التوزيع الطبيعي حسب Kienzle من

$$F_s = a s k_s K_v K_y K_{sch} K_{ver}$$

18% → 12 من قوة القطع)

$$K_{\gamma} = 1 - \frac{\gamma - \gamma_0}{66.7}$$

من أجل مادة رايش طويلة $\gamma_0 = 6^\circ$

من أجل مادة رايش قصيرة $\gamma_0 = 2^\circ$

K_{Sch} عامل التصحيح لمادة القطع

$K_{Sch} = 1$ لجميع المعادن القاسية والفولاذ ذو العمل السريع.

$K_{Sch} = 0.95 \dots 0.9$ لسيراميك القطع للفولاذ ومعالجة حديد الصب.

K_v عامل التصحيح لسرعة القطع

عوامل التصحيح

v m/min	20	30	40	50	60	70	80	100	200	300	400
K_v	1.25	1.2	1.15	1.1	1.08	1.05	1.03	1.0	0.96	0.93	0.91

هذه القيم صالحة للخراطة، للفرز، للقشط والصدم

عند القشط والصدم تطبق $K_v = 1.18$ كقيمة وسطية، عند الثقيب، عند النشر،
والتحويف وعلى العكس تحذف K_v عند التخليخ.

K_{ver} عامل التصحيح للاهتراء

$K_{ver} = 1$ لأداة حادة

$K_{ver} = 1.3 \dots 1.5$ لأداة غير حادة

استطاعة القطع والتشغيل P_A و P_s

$$P_s = F_t v_T$$

استطاعة القطع kW

F_t مقاسة بالواحدة N؛ v_T مقاسة بالواحدة m/s

$$P_A = \frac{P_s}{\eta}$$

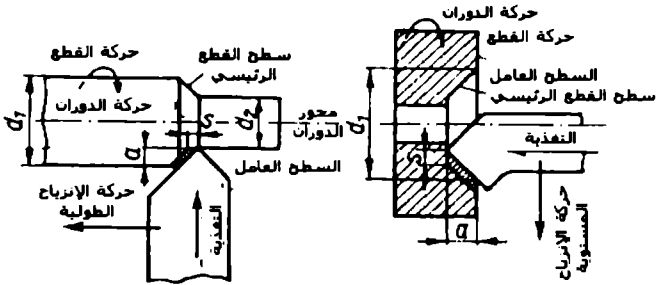
استطاعة التشغيل للأداة

$\eta = 0.7 \dots 0.85$ مردود لأداة القطع

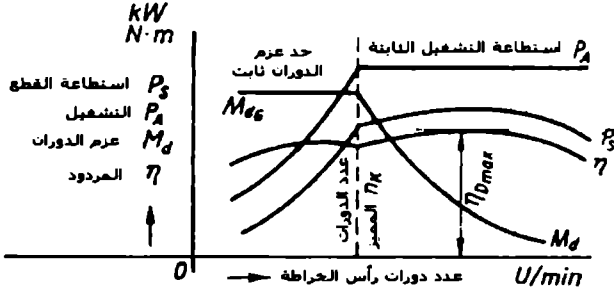
(P_A الاستطاعة الاسمية للمحرك الكهربائي)

2.2 حساب قوى القطع، استطاعة القطع والتشغيل

1.2.2 الخراطة



الشكل 408 حركة أداة القطع والأداة



الشكل 409 خطوط تعريف آلة الدوران (آلية ذات مراحل)

$$s = B = \frac{n_{max}}{n_{min}}$$

مجال عدد الدورات

$$\phi = z - \sqrt{\frac{n_{max}}{n_{min}}} = z - \sqrt{B}$$

قفرة المراحل

النظامية 1.2؛ 1.25؛ 1.4؛ 1.6؛ 2.0

$$* M_{dG} = 9555 \frac{P_s k}{n_k}$$

حد عزم الدوران Nm

$P_s k$ استطاعة القطع kW عند عدد الدورات الاسمي
 n_k عدد الدورات الاسمي (عندما تكون غير معطاة
من المنتج، غالباً في نهاية الربع الأول من مجال عدد
الدورات)

2.2.2 القشط والصدمة

قوى القشط انظر العلاقات الأساسية.

استطاعة القطع للقشط والصدمة كما في العلاقات الأساسية، بدلاً من v نعوض v_a
عند القشط و v_{sm} عند الصدمة.

$$* v_a = \frac{\pi m z n_a}{1000}$$

سرعة القطع m/min عند الشوط العامل، m المودول،

z عدد أسنان شقوق التشغيل

n_a عدد الدورات لشقوق التشغيل

$$* v_r = \frac{\pi m z n_r}{1000}$$

سرعة الإرجاع m/min

n_r عدد دورات الإرجاع لشقوق التشغيل

$$q = \frac{v_r}{v_a}$$

نسبة السرعة 1.35 ... 1.4 q

تكون q صغيرة عند قصر القشط وكبيرة عند طول القشط

تصلح أيضاً من أجل التشغيل الهيدروليكي الكامل، لأن v_a

و v_r قابلتان للمعايرة

$$P_A = \frac{[F_s + \mu(G_T + G_W)]v_a}{\eta}$$

استطاعة التشغيل kW

v_a سرعة القطع عند شوط العمل m/s

G_T وزن الطاولة

G_W وزن الأداة N

$\mu \approx 0.15$ للمسار المسطح

$\mu \approx 0.3$ للمسار على شكل V

$\eta = 0.4 \dots 0.75$

الصدوم مع دوران ذراع الإدارة المهتز بـ $q = 1.4 \dots 2$

(في آلية بسيطة (طول الشوط $> 250 \text{ mm}$) تصبح $q = 1$)

$v_{am} = \frac{L180^\circ \cdot n_{DH}}{\alpha^\circ}$ سرعة القطع الوسطية عند شوط العمل

$v_{rm} = \frac{L180^\circ \cdot n_{DH}}{\beta^\circ}$ سرعة الإرجاع الوسطية عند شوط الإرجاع

$\cos \beta = \frac{L}{2R}$ تجيب الزاوية β ($\alpha + \beta = 180^\circ$)

R ثابت الآلة (نصف القطر، الذي يصف الذراع المهتز)

$v_m = 2Ln_{DH} = \frac{2L}{t_a + t_r}$ السرعة الوسطية

t_a زمن شوط العمل

t_r زمن شوط الإرجاع

$P_A = \frac{F_a v_{am}}{\eta}$ استطاعة التشغيل مقاسة بالوحدة kW

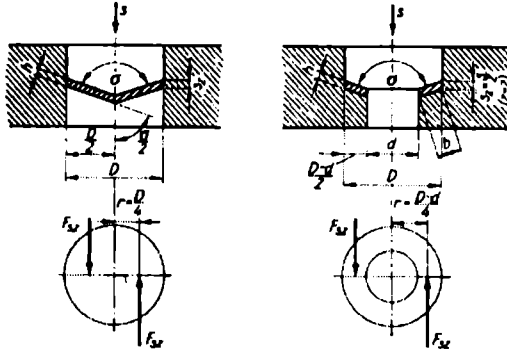
v_{am} سرعة القطع الوسطية أثناء شوط العمل m/s

$\eta = 0.6 \dots 0.8$

3.2.2 الثقب

يمكن تطبيق علاقات قوى القطع حسب Victor أيضاً كما حسب Kienzle.

التشابه بين الثقب والخراطة الداخلية.



الشكل 410، علاقات القيم والقوى أثناء الثقب

$$s_z = \frac{s}{z}$$

الشروط لكل قطعة مقياس بالواحدة mm/z

s الشوط لكل دورة ثقب مقياس بالواحدة mm/U

z عدد القطعات (z=2 أثناء الثقب اللولبي)

$$h = s_z \sin \frac{\sigma}{2}$$

سمائة الرايش مقياس بالواحدة mm

$$b = \frac{D-d}{2 \sin \frac{\sigma}{2}}$$

زاوية القمة sigma

عرض الرايش مقياس بالواحدة mm

D قطر الثقب مقياس بالواحدة mm

d القطر المثقوب مسبقاً

$$F_{sz} = \frac{D-d}{2} s_z k_s f_B K_{ver}$$

قوة القطع مقياس بالواحدة N في بداية الثقب

$$F_{sz} = \frac{D}{2} s_z k_s f_B K_{ver}$$

قوة القطع مقياس بالواحدة N أثناء الثقب بكامل

المادة

k_s الثقب ≈ k_s عند الخراطة، تحسب كتابع لـ h

عوامل العملية

$f_B = 1$ أثناء الثقب لكامل المادة

$f_B = 0.95$ في بداية الثقب

$K_{ver} = 1.25 \dots 1.4$ عامل التصحيح لاستهلاك القطع

قوة الإزاحة مقاسة بالواحدة N

$$F_v \approx 2F_{sz} \sin \frac{\sigma}{2}$$

$$M_d = 2F_{sz} \frac{D}{4} \frac{l}{10}$$

عزم الدوران أثناء الثقب بكامل المادة مقاس

بالواحدة N cm؛ D مقاسة بالواحدة mm

$$M_d = F_{sz} \frac{D}{20}$$

$$M_d = 2F_{sz} \frac{D+d}{4} \frac{l}{10}$$

عزم الدوران في بداية عند الثقب مقاس بالواحدة

N cm

$$M_d = F_{sz} \frac{D+d}{20}$$

D و d مقاسان بالواحدة mm

$$* P_s = \frac{M_d n}{955000}$$

استطاعة القطع مقاسة بالواحدة kW عند الثقب بكامل المادة

n مقاسة بالواحدة 1/min و M_d مقاس بالواحدة N cm

$$P_s = F_{sz} v$$

استطاعة القطع مقاسة بالواحدة kW

$$P_s = \frac{1}{2} F_{sz} (v_D + v_d)$$

استطاعة القطع مقاسة بالواحدة kW في بداية الثقب

v_D سرعة القطع عند القطر الأعظمي m/s

v_d سرعة القطع عند القطر الأصغري m/s

استطاعة التشغيل مقاسة بالواحدة kW بإهمال

استطاعة الانزلاق الصغرى

$$P_A = \frac{P_s}{\eta}$$

$\eta = 0.75 \dots 0.85$ مردود آلة الثقب

4.2.2 السحل

معطيات القيم (انظر الشكل 246)

انظر أيضاً علاقات الثقب، عند السحل يكون عامل القطع غالباً أكبر من 2

$$h = s_z = \frac{s}{z}$$

سماكة الرايش مقاسة بالواحدة mm عند رأس أو عنق

$$\left(\frac{\sigma}{2} = 90^\circ; \sin \frac{\sigma}{2} = 1 \right) \text{ أداة السحل}$$

عامل العملية $f_{se} = 1.0$

عامل التصحيح لاستهلاك القطع $K_{ver} = 1.3$

$$F_{sz} = \frac{D-d}{2} s_z k_s f_{se} K_{ver}$$

قوة القطع للقصبة الواحدة مقاسة بالواحدة N

$$M_d = F_{sz} \frac{z(D-d)}{4 \times 10}$$

عزم الدوران مقاس بالواحدة N cm

$$P_s = \frac{F_{sz} z (v_D + v_d)}{2}$$

استطاعة القطع مقاسة بالواحدة kW

v_d, v_D مقاستان بالواحدة m/s

5.2.2 الحك

$$* P_s = \frac{M_d n}{955000}$$

استطاعة القطع مقاسة بالواحدة kW

عزم الدوران N cm (قيم تجريبية)

n مقاسة بالواحدة U/min

إن حساب القوى والاستطاعات أثناء الحك غير ضروري في أغلب الأحيان.

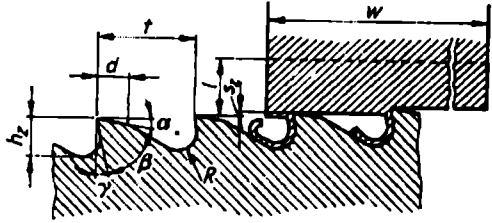
6.2.2 التفريغ

عواما الرايش هي:

سرعة قص منخفضة، انزلاق أسنان منخفض، رايش لولي، أدوات متعددة القطع مرور

الرايش عند التفريغ الداخلي والخارجي مختلف، والطلاء والتلميع بعملية واحدة.

نسب المهجوم في التفريغ



$$F_s = a k_s z z_{IE} f_R K_\gamma K_{ver}$$

قوة القطع بوحدة N للتفريغ الداخلي والخارجي مع قطع متوسطة منتظم مهترئة (مستهلكة) عوامل العملية:

$$f_R = 1.6 \text{ للتفريغ الداخلي}$$

$$f_R = 1.05 \text{ للتفريغ الخارجي}$$

عامل التصحيح للاستهلاك $K_{ver} = 1.3 \dots 1.5$ أكبر قيمة حوالي نهاية زمن الوقوف.

w طول التفريغ في قطعة المساحة مقياس بالوحدة mm
عدد الأسنان المعترضة

$$n = \frac{w}{t}$$

$$t = 1.7 \dots 1.8 \sqrt{w}$$

t جزء السن المضروب مقياس بالوحدة mm

$$t_s = \frac{a z k_s w K_\gamma f_R}{A_{w \min} \sigma_{z \text{ alla}}}$$

التحزيء المسموح به mm (يجب أن يمنع تجاوز متانة الأداة)

$A_{w \min}$ مقطع الأداة الأصغري mm^2

$\sigma_{z \text{ alla}}$ متانة الشد المسموح به للأداة الفولاذية

$$\sigma_{z \text{ alla}} = 300 \dots 350 \text{ N/mm}^2$$

يجب التحقق أن $t_s \geq t_f$ و $t_s \geq t_f$

$$F_{\text{allal}} = \frac{2}{3} F_{\text{nom}}$$

قوة القطع المسموح بها مقياس بالوحدة N

F_{nom} قوة الشد الاسمية مقياس بالوحدة N

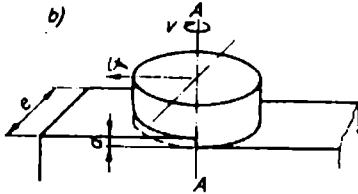
$$P_s = F_s v$$

استطاعة القطع kW

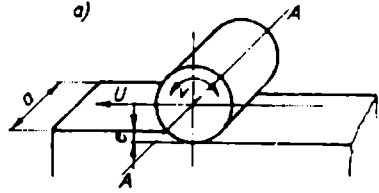
v سرعة القطع m/s

7.2.2 التفريز

من أجل شرح المصطلحات هناك الأشكال التالية



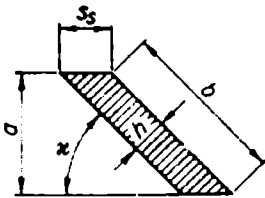
الشكل 412b التفريز الجبهي



الشكل 412a التفريز السطحي (بالدخل)

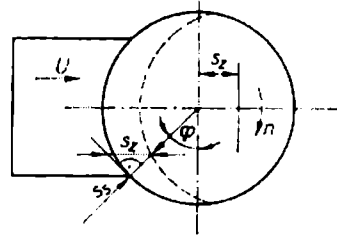
الشكل 412 أنواع التفريز

التفريز الجبهي Weilenmann



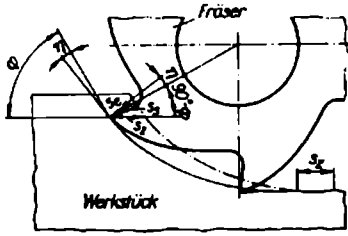
الشكل 414 مقطع الرايش

عند التفريز الجبهي

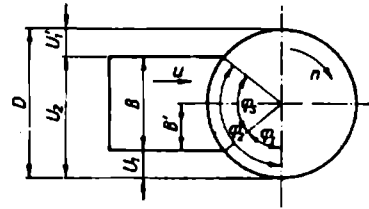


الشكل 413 نسب القطع

عند التفريز الجبهي



الشكل 416 انسحاب السن s_z ؛
انسحاب القطع s_c و انسحاب التأثير s_e
أثناء التفريز المتعاكس



الشكل 415، قيم الزاوية والحسابات عند
التفريز الجبهي

حسب الأشكال 412 ... 416 يكون

$$v = \frac{\pi D n}{1000}$$

$$b = \frac{a}{\sin \chi}$$

$$h = s_c \sin \chi$$

$$u = s_z z n$$

سرعة الانزلاق (السحب) الأولى مقاسة بالواحدة
mm/min

z عدد أسنان سكين التفريز

s_z الانسحاب لكل سن فرز مقاس بالواحدة mm
لكل سن

$$s^s \approx s_z \sin \varphi$$

انسحاب القطع مقاس بالواحدة mm

φ زاوية اتجاه الانسحاب

$$\cos \varphi_1 = 1 - \frac{2U_1}{D}$$

φ_1 زاوية اتجاه الانسحاب ببداية القطع

$$\cos \varphi_2 = 1 - \frac{2U_2}{D}$$

φ_2 زاوية اتجاه الانسحاب بنهاية القطع

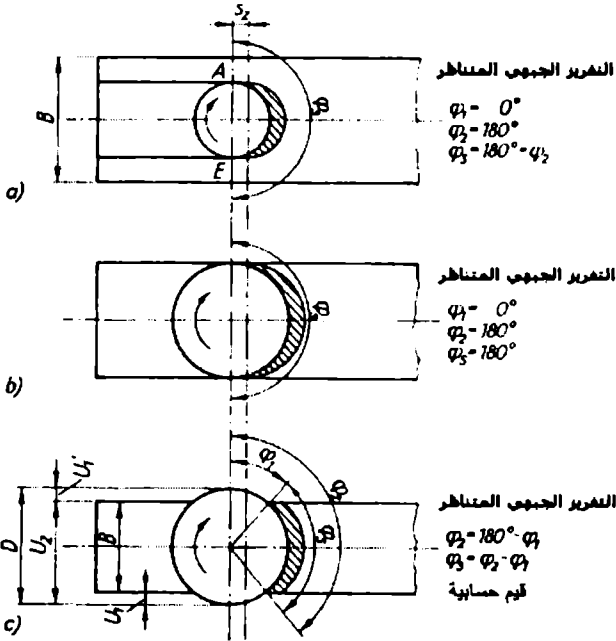
$$\varphi_s = \varphi_2 - \varphi_1$$

φ_s زاوية قوس القطع

$$h_m = \frac{114.6}{\varphi_s^0} s_z \sin \chi \frac{B}{D}$$

سماكة الرايش الوسطي مقاسة بالواحدة mm

إن علاقات القياس للفرز الجبهي والوسط الخارجي ينتج من الأشكال التالية:



الشكل (417) قطر سكين التفريز وعرض قطع الأداة، موقع وسط سكين التفريز

$$F_{smz} = b h_m k_s K_\gamma K_v K_{ver}$$

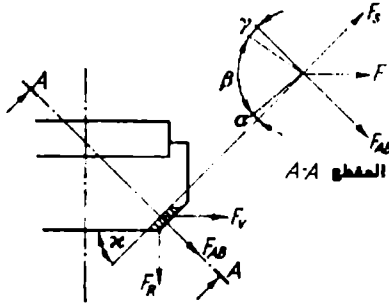
قوة القطع الوسطية لكل سن مقاسة
 بالوحدة N

$$K_{ver} = 1.2 \dots 1.4; k_s, k_\gamma, k_v$$

انظر العلاقات الأساسية

$$z_{iE} = \frac{z\varphi_s^0}{360^\circ}$$

عدد مرات القطع، المصادفة أثناء القطع (ولا دورة)



الشكل 418 قوى القطع في الفрез الجهبي

$$P_s = F_{smz} \cdot v_{zE}$$

استطاعة القطع مقاسة بالوحدة kW

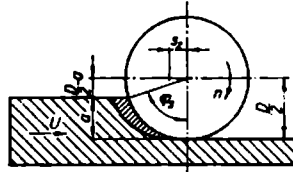
v مقاسة بالوحدة m/s

$$P_A = \frac{P_s}{\eta}$$

استطاعة التشغيل مقاسة بالوحدة kW

$$\eta = 0.6 \dots 0.8$$

التفريز الاسطواني



الشكل 419 نسب التغذية عند التفريز الاسطواني

باستخدام العلاقات العادية:

$$\phi_1 = 0^\circ; \phi_3 = \phi_2; \sin \chi = 1;$$

b = B عرض الرايش يساوي عرض القطع

انظر العلاقات الأساسية $K_v, K_\gamma, K_s, K_{ver} = 1.2 \dots 1.4$

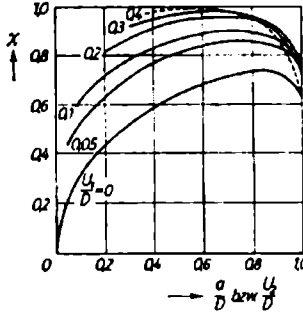
$$h_m = \frac{114.6^\circ}{\phi_s^0} s_z \frac{a}{D}$$

سمائة الرايش الوسطي مقاسة بالوحدة mm

(الشكل (420) $h_m = \chi s_z$)

$$\cos \phi_s = 1 - \frac{2a}{D}$$

زاوية قوس القطع مقاسة بالدرجة.



الشكل 420 مخطط لإيجاد سماكة الرايش الوسطي

المنحني $\frac{U_1}{D} = 0$ للتفريز الاسطواني؛ المنحني $\frac{U_2}{D}$ للتفريز الجبهي

$$F_{smz} = B h_m k_s K_\gamma K_v K_{ver}$$

قوة القطع الوسطية لكل سن من

سكين التفريز مقاسة بالوحدة N

$$* V = \frac{aB_u}{1000}$$

B سماكة الأداة أو الفارزة

حجم الرايش مقاس بالوحدة cm^3/min

u سرعة الانسحاب mm/min

$$V_s = \frac{6120}{k_s K_\gamma K_v K_{ver}}$$

حجم الرايش النوعي مقاس بالوحدة

$\text{cm}^3/(\text{kW min})$

$$P_s = F_{smz} v Z_i E$$

استطاعة القطع بوحدة kW

$$P_s = \frac{V}{V_s}$$

v بوحدة m/s

$$P_A = \frac{P_s}{\eta}$$

استطاعة التشغيل kW

$\eta = 0.6 \dots 0.8$

8.2.2 التجليخ، الصقل

تكون قوى التجليخ صغيرة نسبياً، وبشكل عام لا تحسب هذه القوى، لأن هناك عوامل تأثير كثيرة يجب أخذها بعين الاعتبار.

$$* F_s = \frac{\tau_0 a s v_w}{60 v_s}$$

صيغ التقريب لقوة التجليخ مقاسة بالوحدة N

τ_0 متانة القص مقاسة بالوحدة N/mm^2

a التوزيع mm

s الانزياح الطولي mm/U

v_s السرعة المحيطية للجسم المخلوخ

v_w السرعة المحيطية للأداة

$$P_s = F_s v_s$$

استطاعة القطع kW

$$P_A = \frac{P_s}{\eta}$$

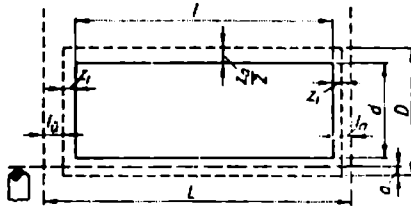
استطاعة التشغيل kW

$$\eta \approx 0.4 \dots 0.5$$

3.2 حساب الزمن الأساسي للآلة t_{Gm} بـ min (الزمن الرئيسي)

1.3.2 الخراطة

الخراطة الطولية



الشكل 421 نسب المسافة عند الخراطة الطولية

$$* t_{Gm} = \frac{\pi L D i}{1000 s v} = \frac{L}{n s}$$

$$D = d + 2Z_a$$

$$t_{Gm} = \frac{L i}{n s} = \frac{L i}{u}$$

مميزات القياس (انظر الشكل 421)

s الانزياح مقياس بالواحدة

Z_a إعادة المعالجة

n عدد الدورات مقاسة بالواحدة U/min

i_a + i_u مسافة البداية والمسير

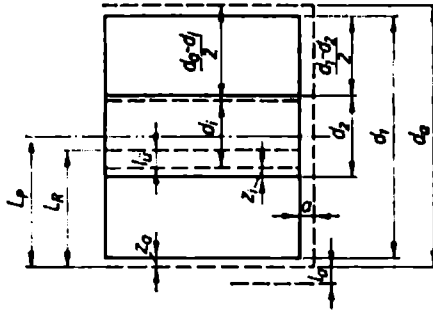
i عدد مرات القطع

Z₁ إعادة المعالجة

l طول قطعة الأداة (القياس النهائي)

L = l + 2Zl + i_a + i_u مسافة الخراطة مقاسة بالواحدة mm

(n = const) الخراطة السطحية



الشكل 422 نسب المسافة في الخراطة السطحية

$$t_{Gm} = \frac{L_R i}{n s}$$

علاقات القياس (انظر الشكل 422)

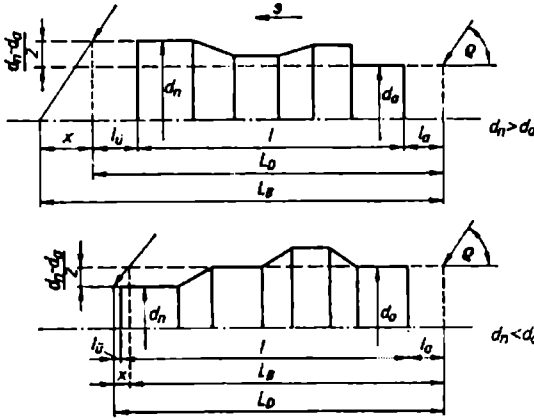
$$L_R = l_a + l_u \frac{d_a + d_i}{2}$$

مسافة الأداة مقاسة بالواحدة mm

المساحة الكلية - علاقات القياس (انظر الشكل 422)

$$t_{Gm} = \frac{L_R i}{ns}; \quad L_p = l_a + \frac{d_a}{2} \quad \text{مسافة الأداة مقاسة بالوحدة mm}$$

الخراطة الطولية حسب الشكل



الشكل 423 نسب المسافة أثناء الخراطة الطولية حسب الشكل
مع تغذية مائلة لأداة الخراطة، حيث n_D و s ثابت

$$x = \frac{d_n + d_o}{2 \tan \rho}$$

شرط أن تقاس المسافة بالوحدة mm، خلال
الوضع المائل لأداة الخراطة (إطالة أو تقصير)

ρ وضع مائل لأداة الخراطة (55°)

$$t_{Gm} = \frac{L_D i}{sn} = \frac{i(L_D + x)}{sn}$$

علاقات القياس انظر الشكل 423

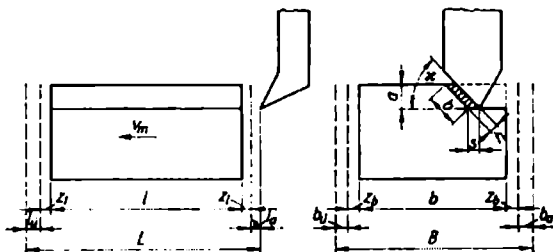
$$s_t = s \frac{\sin \rho}{\sin(\rho + \alpha)}$$

تغير الانزياح (mm/U)

زاوية مخروط منصفة } α موجبة عند الصعود
 α سالبة عند الهبوط

أثناء رفع أو تخفيض الانزياح الأولي وعند أقطار مختلفة للأداة مع عدد دورات متغيرة لرأس الخراطة أثناء عملية الخراطة يجب أن تحسب t_{Gm} على شكل خطوات من القيم التابعة لها .

2.3.2 القشط والصدم



الشكل 424 طرق العمل عند القشط والصدم

$$L = l + 2z_1 + L_a + l_u$$

$$l_a = l_u = 100 \dots 600 \text{ mm}$$

$$B = b + 2z_b + b_a + b_u$$

$$b_a = b_u = 3 \dots 6 \text{ mm}$$

z_1 و z_b إضافات المعالجة لعرض أو طول المشفرة

$$* n_{DH} = \frac{v_m}{2L}$$

شوط مضاعف لكل دقيقة

v_m السرعة الوسطية مقاسة بالواحدة m/min

$$* t_{Gm} = \frac{Bi}{sn_{DH}}$$

القشط

s الانسحاب مقاس بالواحدة mm/DH

$$* t_{Gm} = \frac{2H_h L_w i}{sv_m}$$

صدم عزقة

L_N عمق العزقة مقاس بالواحدة mm

بمسافة الدوران

a طول العزقة mm

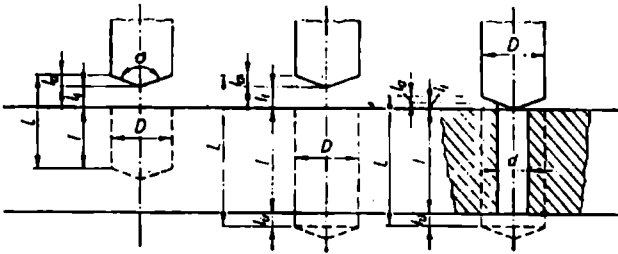
H_h عمق العزقة مقياس بالواحدة mm وما يتبعه

بمسافة الدوران وزيادته

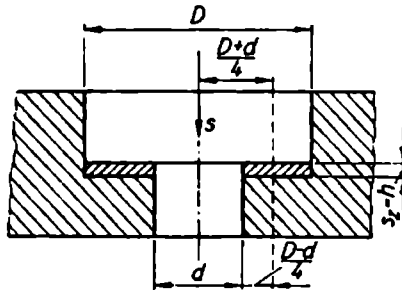
$$b_a = b_u = 1.5 \dots 3 \text{ mm}$$

$$l_a = l_u = 10 \dots 50 \text{ mm}$$

3.3.2 الثقب والإنزال



الشكل 425 طرق العمل عند الثقب



الشكل 426 معطيات قيم للإنزال

طرق العمل أثناء الثقب

$$l_a = \frac{D}{2 \tan \frac{\sigma}{2}}$$

معطيات الطول لرأس المثقب مقياس بالواحدة mm

$l_a \approx 0.3 D$ من أجل $\sigma = 112^\circ$ عند الثقب بكامل الأداة

$$l_a = \frac{D \cdot d}{2 \tan \frac{\sigma}{2}}$$

عند الثقب والإنزال $l_a = l_u = 0$ عند الثقب والإنزال للرأس والعنق المتزل

$l_e + l_u = 0$ من أجل الحك

$$L = l + l_a + l_u$$

مسافة الثقب الكلية مقياس بالواحدة mm

علاقات القياس (انظر الشكل 425)

$$t_{Gm} = \frac{Li}{ns}$$

$l_e \approx l_u$ (بشكل عام 3 mm ... 1)

$l_u = 0$ عند عملية الثقب الأساسي

4.3.2 التفرغ (التجويف)

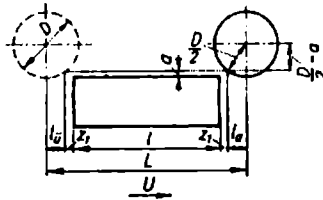
$$* t_{Gm} = \frac{Hi}{v}$$

H الشوط المعين للآلة مقاسة بالواحدة mm

v مقاسة بالواحدة m/min

5.3.2 التفرغ الاسطواني

التفرغ الاسطواني



الشكل 427 طول الفرزة عند التفرغ الاسطواني

$$l_a = 1.5 + \sqrt{a(D-a)}$$

مسافة بداية الدوران مقاسة بالوحدة mm

$$l_u = 1.5 \text{ mm}$$

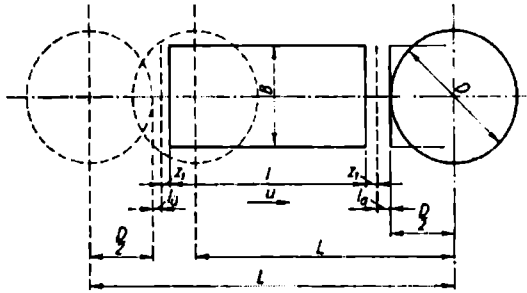
$$L = l + 2z_1 + l_a + l_u$$

طول الفرزة بوحدة mm (علاقات القياس انظر الشكل)

z_1 معطيات المعالجة للطرف الجهبي

a عمق القطع مقاس بالوحدة mm

التفريز الجهبي



الشكل 428 طول الفرز عند التفريز الوسطي الجهبي

$$l_a = 1.5 \text{ mm} + \frac{D}{2} \cdot 0.5 \sqrt{D^2 - B^2} \quad l_u = 1.5 \text{ mm}$$

من أجل التفريز الوسطي الجهبي الخارجي (محور الفارزة ضمن سطح الأداة)

$$l_a = 1.5 \text{ mm} + \frac{D}{2} \sqrt{\frac{D}{2}^2 - B^2} \quad t_u = 1.5 \text{ mm}$$

نطبق بشكل عام

$$l_a = l_u; l_a = 1.5 \text{ mm} + \frac{D}{2}; l_a + l_u = 3 \text{ mm} + D$$

الزمن الأساسي للتفريز الجهبي والاسطواناني

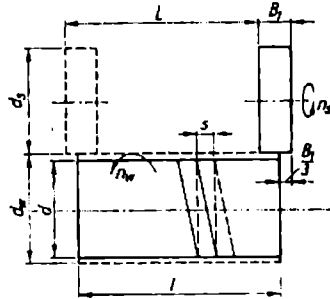
$$t_{Gm} = \frac{Li}{u}$$

u سرعة الانسحاب مقاسة بالوحدة mm/min

6.3.2 التجليط

التجليط الطولي

التجليط الداخلي والخارجي الدائري



الشكل 429 مسافة التجليط عند التجليط الدائري الخارجي

$$v_s = \pi n_s d_s$$

السرعة المحيطية للجسم المملوخ

d_s مقياس بالواحدة mm؛ n_s مقياس بالواحدة m/s

$v_s \approx 25 \dots 30$ m/s (غالباً تعطى من المنتج)

$$q = \frac{v_s}{v_w}$$

نسبة السرعة بين صفيحة التجليط والأداة

$q \approx 120$ للفلواذ (مملوخ)

$q = 100$ للفرافيت GG (مملوخ)

تجليط طبقي $2q \approx$

تجليط ناعم $4q \approx$

(تتبع عملية التجليط ونوع تغذية صفيحة التجليط)

v_w السرعة المحيطية للأداة m/min

عدد دورات الأداة U/min

$$n_w = \frac{v_w}{\pi d_w}$$

$$i = \frac{d_a - d_w}{2a}$$

mm قطر الأداة مقياس بالواحدة d_w

عدد الأشواط عند التخليخ الخارجي

mm قطر الأنبوب d_a

mm القطر المجلوخ مقياس بالواحدة d_w

mm التوزيع a

$$i = \frac{d_w - d_t}{2a}$$

عدد الأشواط عند التخليخ الداخلي

mm القطر المجلوخ مقياس بالواحدة d_w

mm قطر الأنبوب المثقوب مقياس بالواحدة d_t

$$L = l \frac{1}{3} B_1$$

mm مسافة التخليخ مقاسة بالواحدة mm

mm طول الأداة مقاسة بالواحدة mm

mm عرض قرص التخليخ B_1

التغذية

$$a \approx 0.01 \dots 0.03 \text{ mm}$$

تخليخ للفولاذ

$$a \approx 0.003 \dots 0.005 \text{ mm}$$

تخليخ طبقي للفولاذ

$$a \approx 0.05 \dots 0.08 \text{ mm}$$

تخليخ للغرافيت

$$a \approx 0.005 \dots 0.03 \text{ mm}$$

تخليخ طبقي للغرافيت

الانسحاب الطويل لكل دورة للأداة مقياس بالواحدة mm/U

للتخليخ الفولاذ؛ A1؛ B₂؛ M₁

$$s_w = (0.04 \dots 0.7) B_1$$

للتخليخ الطبقي للفولاذ؛ A1؛ B₂؛ M₁

$$s_w = (0.2 \dots 0.4) B_1$$

للتخليخ مادة الغرافيت

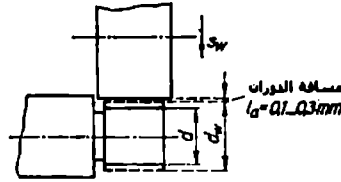
$$s_w = (0.6 \dots 0.8) B_1$$

للتخليخ الطبقي مادة الغرافيت

$$s_w = (0.2 \dots 0.5) B_1$$

$$t_{Gm} = \frac{Li}{s_w n_w}$$

التجليخ عن طريق اللدغ



الشكل 430 مسافة التجليخ عند التجليخ عن طريق اللدغ

$$L = \frac{z}{2} + l_a \quad \text{إعادة إضافة المادة بمقاسة بالوحدة mm}$$

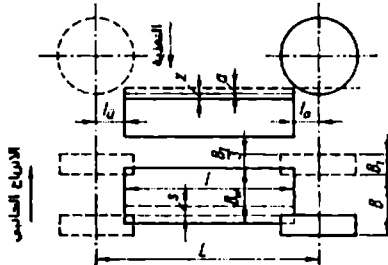
$$l_a = 0.1 \dots 0.3 \text{ mm} \quad \text{مسافة الدوران}$$

$$l_{Gm} = \frac{L}{s_w n_w} \quad \frac{1}{\text{min}} \quad \text{الانسحاب القطري لكل دورة للأداة بوحدة}$$

$$s_w = 0.02 \dots 0.008 \frac{1}{\text{min}}$$

تجليخ السطوح

تجليخ السطوح مع محيط جسم التجليخ



الشكل 431، مسافة التجليخ عند تجليخ السطوح مع محيط جسم التجليخ

$$L = l + l_a + l_u \quad \text{طول الشوط مقاس بالوحدة mm}$$

$$l_a = l_u = 15 \dots 30 \text{ mm}$$

$$B = B_w - \frac{1}{3} B_1$$

مسافة التخليخ مقاسة بالواحدة mm
(مسافة التوصيل باتجاه عرض الأداة)

$$n_{DH} = \frac{v_w}{2L}$$

عدد الشوط المضاعف $\left(\frac{1}{\min}\right)$ (DH)

$$q = \frac{v_s}{v_w}$$

$q \approx 30$ للفرانيت و $q \approx 80$ للفولاذ
 v_w سرعة الأداة باتجاه الشوط m/s

سرعة ما قبل الانزياح

v_s السرعة المحيطة لجسم التخليخ m/s

$$i = \frac{z}{a}$$

عدد المقاطع (التغذية)

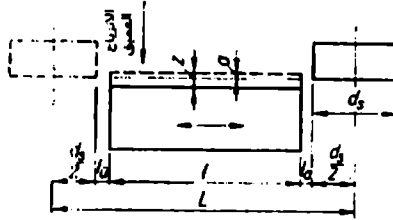
z إضافة المعالجة مقاسة بالواحدة mm

a التغذية لكل قصة مقاسة بالواحدة mm

s الانسحاب الجانبي مقاس بالواحدة mm

$$t_{Gm} = \frac{Bi}{n_{DH} S}$$

تخليخ السطوح في السطح الجهبي للجسم المخلوخ



الشكل 432 مسافة التخليخ عند تخليخ السطوح بمحيط جسم جهبي للجسم المخلوخ

جسم المخلوخ يقبض على العرض الكلي لأداة العمل

$$L = d_s + l_a + l_u$$

طول الشوط مقاس بالواحدة mm

d_s قطر الجسم المخلوخ مقاس بالواحدة mm





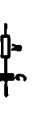




$$l_a = l_u = 15 \dots 25 \text{ mm}$$

$$t_{Gm} = \frac{z}{an_{DH}}$$

z معطيات المعالجة مقاسة بالواحدة mm
a التغذية لكل شوط مضاعف DH مقاسة
بالواحدة mm

جداول ومخططات

التوصيلات المركبة 1

التوصيل	الشكل الرمزي	كلية المقاومة	المهمة المطلوبة	معطيات	الشكل الرمزي	عملية قيمة التل	المهمة المطلوبة	معطيات
	$\frac{R_1 R_2}{R_1 + R_2}$	$\frac{R_1 R_2}{R_1 + R_2}$	$R_1 + R_2$	0 شعاع التيار عكس شعاع التيار حقل مغناطيسي	$\frac{1}{R_1} + \frac{1}{R_2}$	عملية قيمة التل	$\frac{1}{R_1} + \frac{1}{R_2}$	0 شعاع التيار عكس شعاع التيار حقل مغناطيسي
	$\frac{R_1 R_2}{R_1 + R_2}$	$R_1 + R_2$	$R_1 + R_2$	0 شعاع التيار عكس شعاع التيار حقل مغناطيسي	$\frac{1}{R_1} + \frac{1}{R_2}$	عملية قيمة التل	$\frac{1}{R_1} + \frac{1}{R_2}$	0 شعاع التيار عكس شعاع التيار حقل مغناطيسي
	$\frac{R_1 R_2}{R_1 + R_2}$	$R_1 + R_2$	$R_1 + R_2$	0 شعاع التيار عكس شعاع التيار حقل مغناطيسي	$\frac{1}{R_1} + \frac{1}{R_2}$	عملية قيمة التل	$\frac{1}{R_1} + \frac{1}{R_2}$	0 شعاع التيار عكس شعاع التيار حقل مغناطيسي
	$\frac{R_1 R_2}{R_1 + R_2}$	$R_1 + R_2$	$R_1 + R_2$	0 شعاع التيار عكس شعاع التيار حقل مغناطيسي	$\frac{1}{R_1} + \frac{1}{R_2}$	عملية قيمة التل	$\frac{1}{R_1} + \frac{1}{R_2}$	0 شعاع التيار عكس شعاع التيار حقل مغناطيسي
	$\frac{R_1 R_2}{R_1 + R_2}$	$R_1 + R_2$	$R_1 + R_2$	0 شعاع التيار عكس شعاع التيار حقل مغناطيسي	$\frac{1}{R_1} + \frac{1}{R_2}$	عملية قيمة التل	$\frac{1}{R_1} + \frac{1}{R_2}$	0 شعاع التيار عكس شعاع التيار حقل مغناطيسي
	$\frac{R_1 R_2}{R_1 + R_2}$	$R_1 + R_2$	$R_1 + R_2$	0 شعاع التيار عكس شعاع التيار حقل مغناطيسي	$\frac{1}{R_1} + \frac{1}{R_2}$	عملية قيمة التل	$\frac{1}{R_1} + \frac{1}{R_2}$	0 شعاع التيار عكس شعاع التيار حقل مغناطيسي
	$\frac{R_1 R_2}{R_1 + R_2}$	$R_1 + R_2$	$R_1 + R_2$	0 شعاع التيار عكس شعاع التيار حقل مغناطيسي	$\frac{1}{R_1} + \frac{1}{R_2}$	عملية قيمة التل	$\frac{1}{R_1} + \frac{1}{R_2}$	0 شعاع التيار عكس شعاع التيار حقل مغناطيسي
	$\frac{R_1 R_2}{R_1 + R_2}$	$R_1 + R_2$	$R_1 + R_2$	0 شعاع التيار عكس شعاع التيار حقل مغناطيسي	$\frac{1}{R_1} + \frac{1}{R_2}$	عملية قيمة التل	$\frac{1}{R_1} + \frac{1}{R_2}$	0 شعاع التيار عكس شعاع التيار حقل مغناطيسي
	$\frac{R_1 R_2}{R_1 + R_2}$	$R_1 + R_2$	$R_1 + R_2$	0 شعاع التيار عكس شعاع التيار حقل مغناطيسي	$\frac{1}{R_1} + \frac{1}{R_2}$	عملية قيمة التل	$\frac{1}{R_1} + \frac{1}{R_2}$	0 شعاع التيار عكس شعاع التيار حقل مغناطيسي

Resistors Formula

تركيب التوصيلان II

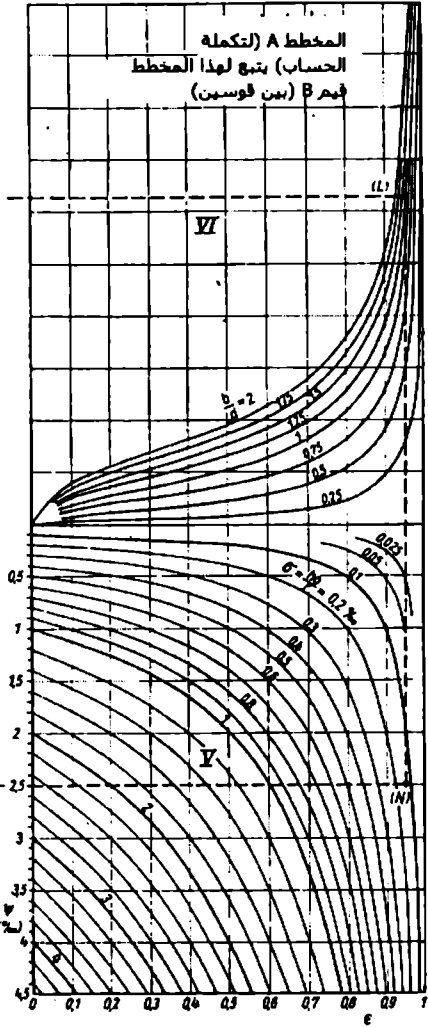
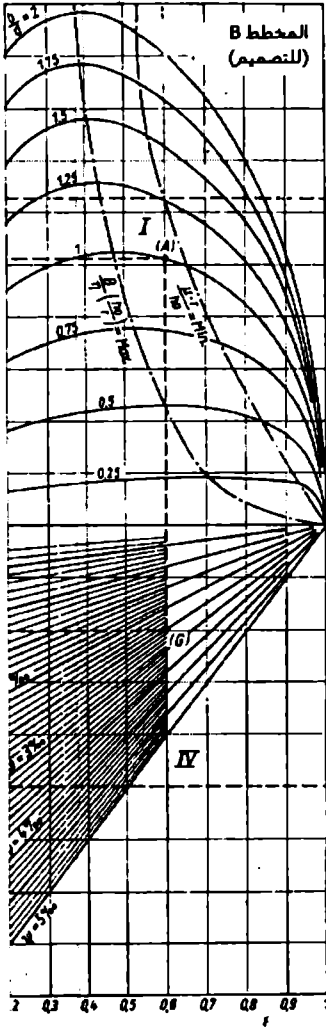
التوصيل	المشكل الوراثي $\frac{Z}{z}$	المشكل الخلفي $\frac{z}{Z}$	معادلات الترددات معادلات الترددات معادلات الترددات معادلات الترددات	معادلات الترددات $\frac{X}{x}$	المشكل الخلفي $\frac{x}{X} = -C$	معادلات الترددات معادلات الترددات معادلات الترددات معادلات الترددات
	$\frac{R_1 R_2}{R_1 + R_2}$	$\frac{R_1 R_2}{R_1 + R_2}$	0	$\frac{R_1 + R_2}{R_1 R_2}$	$\frac{R_1 + R_2}{R_1 R_2} = -C$	0
	$\frac{R_1 R_2 C}{R_1 + R_2}$	$\frac{R_1 R_2 C}{R_1 + R_2}$	+	$-\frac{R_1 + R_2}{R_1 R_2 C}$	$\frac{R_1 + R_2}{R_1 R_2 C} = -R_1$	-
	$\frac{1}{R_1 C + C}$	$\frac{1}{R_1 C + C}$	-	$+R_1 C + C$	$R_1 C + C = -R_2$	+
	$\frac{R_1 R_2 C}{R_1 + R_2 C} + 1$	$\frac{R_1 R_2 C}{R_1 + R_2 C}$	+	$\frac{R_1 - R_2}{R_1 R_2 C}$	$\frac{R_1 + R_2 C}{R_1 R_2 C}$	-
	$\frac{R_1 R_2 C}{R_1 + R_2 C} - 1$	$\frac{R_1 R_2 C}{R_1 + R_2 C}$	-	$\frac{1 + R_1 R_2 C}{R_1 R_2 C}$	$\frac{R_1 + R_2 C}{R_1 R_2 C}$	+
	$\frac{R_1}{1 + R_1 R_2 C} + 1$	$\frac{R_1}{1 + R_1 R_2 C}$	+	$\frac{1 + R_1 R_2 C}{R_1}$	$\frac{1 + R_1 R_2 C}{R_1}$	+
	$\frac{R_1}{1 + R_1 R_2 C}$	$\frac{R_1}{1 + R_1 R_2 C}$	+	$\frac{1 - R_1 R_2 C}{R_1}$	$\frac{1 - R_1 R_2 C}{R_1}$	-
	$\frac{1}{\frac{R_1}{R_2} + \left(R_2 C - \frac{1}{R_2} \right)^2}$	$\frac{R_2 C - \frac{1}{R_2}}{\frac{R_1}{R_2} + \left(R_2 C - \frac{1}{R_2} \right)^2}$	+	$\frac{1}{\frac{R_1}{R_2} + \left(R_2 C - \frac{1}{R_2} \right)^2}$	$\frac{1}{\frac{R_1}{R_2} + \left(R_2 C - \frac{1}{R_2} \right)^2}$	+
	$\frac{1}{\frac{R_1}{R_2} + \left(R_2 C - \frac{1}{R_2} \right)^2}$	$\frac{R_2 C - \frac{1}{R_2}}{\frac{R_1}{R_2} + \left(R_2 C - \frac{1}{R_2} \right)^2}$	-	$\frac{1}{\frac{R_1}{R_2} + \left(R_2 C - \frac{1}{R_2} \right)^2}$	$\frac{R_2 C - \frac{1}{R_2}}{\frac{R_1}{R_2} + \left(R_2 C - \frac{1}{R_2} \right)^2}$	-

تركيب التوصيلات III

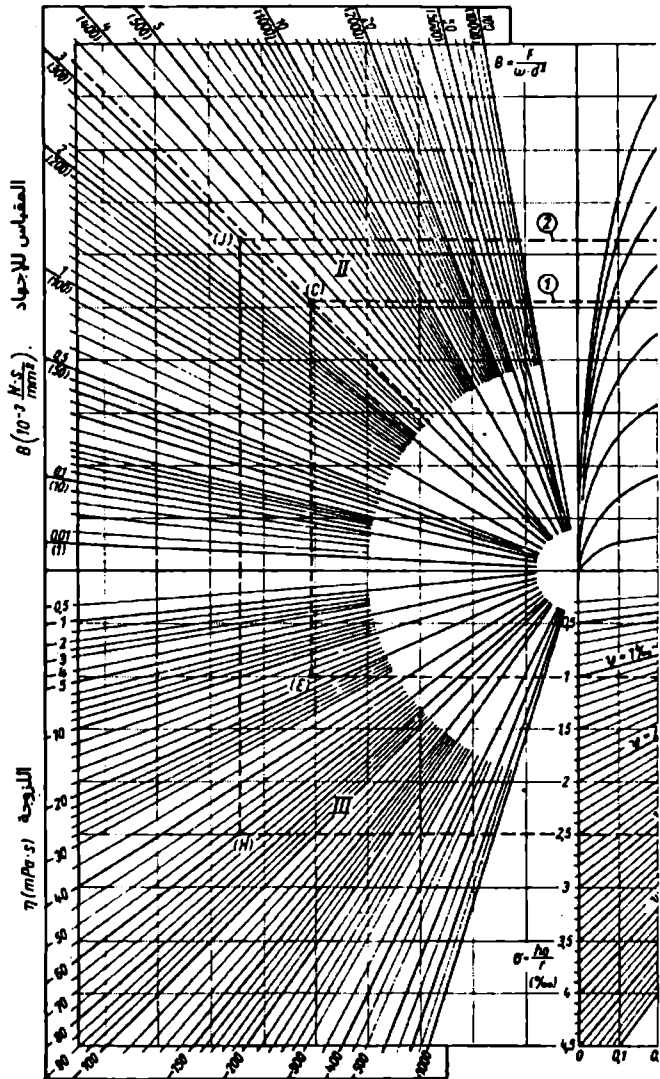
التوصيلة	الشكل الرمزي \underline{Z}	القيمة الملاحظة Z	$\tan \phi$ شعاع الجهد عكس شعاع التيار حول ϕ مدار
	$R_1 + \frac{R_1(\omega L_1)^2}{R_1^2 + (\omega L_1)^2} + j \frac{R_1^2 \omega L_1}{R_1^2 + (\omega L_1)^2}$	$\sqrt{R_{1,e}^2 + X_{1,e}^2}$	$+\frac{X_{1,e}'}{R_{1,e}'}$
	$\frac{R_1(\omega L_1)^2}{R_1^2 + (\omega L_1)^2} + j \left[\frac{R_1^2 \omega L_1}{R_1^2 + (\omega L_1)^2} + \omega L_2 \right]$	$\sqrt{R_{1,e}^2 + X_{1,e}^2}$	$+\frac{X_{1,e}'}{R_{1,e}'}$
	$\frac{R_1(\omega L_1)^2}{R_1^2 + (\omega L_1)^2} + j \left[\frac{R_1^2 \omega L_1}{R_1^2 + (\omega L_1)^2} - \frac{1}{\omega C_2} \right]$	$\sqrt{R_{1,e}^2 \pm X_{1,e}^2}$	$\pm \frac{X_{1,e}'}{R_{1,e}'}$
	$\left[\frac{R_1}{1 + (R_1 \omega C_1)^2} + R_2 \right] - j \frac{R_1^2 \omega C_1}{1 + (R_1 \omega C_1)^2}$	$\sqrt{R_{1,e}^2 + X_{1,e}^2}$	$-\frac{X_{1,e}'}{R_{1,e}'}$
	$\frac{R_1}{1 + (R_1 \omega C_1)^2} + j \left[\omega L_2 - \frac{R_1^2 \omega C_1}{1 + (R_1 \omega C_1)^2} \right]$	$\sqrt{R_{1,e}^2 \pm X_{1,e}^2}$	$\pm \frac{X_{1,e}'}{R_{1,e}'}$
	$\frac{R_1}{1 + (R_1 \omega C_1)^2} + j \left[\frac{R_1^2 \omega C_1}{1 + (R_1 \omega C_1)^2} + \frac{1}{\omega C_2} \right]$	$\sqrt{R_{1,e}^2 + X_{1,e}^2}$	$-\frac{X_{1,e}'}{R_{1,e}'}$
	$R_1 + j \frac{\omega L_1}{1 - \omega^2 L_1 C_1}$	$\sqrt{R_{1,e}^2 + \left(\frac{\omega L_1}{1 - \omega^2 L_1 C_1} \right)^2}$	$\pm \frac{\omega L_1}{R_{1,e} (1 - \omega^2 L_1 C_1)}$
	$j \left[\frac{\omega L_1}{1 - \omega^2 L_1 C_1} + \omega L_2 \right]$	$\frac{\omega L_1}{1 - \omega^2 L_1 C_1} + \omega L_2$	$\pm \infty$
	$j \left[\frac{\omega L_1}{1 - \omega^2 L_1 C_1} - \frac{1}{\omega C_2} \right]$	$\frac{\omega L_1}{1 - \omega^2 L_1 C_1} - \frac{1}{\omega C_2}$	$\mp \infty$
	$R_p = \frac{R_n^2 + X_n^2}{R_n}; \quad X_p = \frac{R_n^2 + X_n^2}{X_n}$		
		$R_p = \frac{X_p^2 R_p}{R_p^2 + X_p^2}; \quad X_n = \frac{R_p^2 X_p}{R_p^2 + X_p^2}$	

المخططات البهانية
لتوصيلات المركبة I و II

الوصل على التسلسل المخطط النسبي	التيار	الوصل على التوازي المخطط النسبي	الجهد



مخطط نومو للمضاجع



القطرة Gnllke و Fleischer

جدول المحتويات

7	المقادير والوحدات
7	المقادير الفيزيائية
8	المعادلات
9	1. نظام الوحدات العالمية (SI)
10	1.1 الوحدات القياسية (النظامية)
11	2.1 استخدام الوحدات الغريبة عن SI
11	3.1 تحويلات الوحدات
13	4.1 جدول لأهم الوحدات
26	2. علم الحساب والجبر الخطي
26	1.2 المجموعات
27	2.2 المتطابقات الشهيرة
28	3.2 القوى
29	4.2 الجذور
29	5.2 اللوغاريتمات
31	6.2 الأعداد العقدية
32	7.2 السلاسل
32	1.7.2 السلاسل العددية
33	2.7.2 السلاسل الهندسية
33	8.2 المعينات
37	9.2 المصفوفات
39	10.2 الأشعة (المتجهات)

3. التوابع والمعادلات 43
- 1.3 التوابع الجبرية 43
- 2.3 التوابع المتسامية 44
- 3.3 حل المعادلات 46
4. الهندسة 49
- 1.4 الهندسة المستوية 49
- 1.1.4 السطوح (المساحة A، المحيط U، مركز الثقل S) 49
- 2.1.4 الزوايا 52
- 3.1.4 قوانين الأشعة، التشابه 53
- 4.2 الهندسة الفراغية (حجوم و سطوح الأجسام) 54
- 3.4 الهندسة المستوية 59
- 1.3.4 علاقات الهندسة المستوية في المثلث القائم الزاوية 59
- 2.3.4 إرجاع الزوايا إلى الربع الأول 61
- 3.3.4 العلاقات المثلثية في المثلث العام 62
- 4.2.4 تابع الجيب 63
- 5.3.4 نظريات الجمع 64
- 6.3.4 التوابع المثلثية العكسية: (الشكلين 58 و 59) 65
5. الهندسة التحليلية 66
- 1.5 المستقيم، المسافة 66
- 2.5 المثلث (الشكل 63) 67
- 3.5 الدائرة (الشكل 64) 67
- 4.5 القطع المكافئ (الشكل 65) 67
- 5.5 القطع الناقص والرائد 68
- 6.5 المعادلة العامة لمقاطع المخروط الانسحابي المتوازي 70
6. حساب التفاضل 71

71	القيم الحدية	1.6
71	نسب التفاضل	2.6
71	نسب التفاضل (الاشتقاق)	3.6
72	قواعد الاشتقاق	4.6
72	اشتقاق التوابع الأساسية المشتق	5.6
74	فحص المنحنيات	6.6
75	المشتقات الجزئية	7.6
75	حساب الأخطاء (الارتياب)	8.6
76	حساب التكامل	7
76	التكامل غير المحدد	1.7
77	التكامل الجزئي	2.7
78	التكامل المحدد	3.7
79	قواعد التكامل	4.7
80	التكاملات الأساسية	5.7
81	عملية التكامل	6.7
82	تكاملات خاصة	7.7
86	التكامل من خلال التقريب (التكامل العددي)	8.7
86	تطبيقات في حساب التكامل	9.7
89	السلاسل اللاهائية	8
89	السلاسل الأسية	1.8
91	سلاسل Fourier	2.8
95	المعادلات التفاضلية	9
95	المعادلة التفاضلية من الدرجة الأولى	1.9
96	المعادلات التفاضلية الخطية من الدرجة الأولى والثانية	2.9

99 _____ الرياضيات

102 _____ تمثيل مجريات البرنامج

105 _____ الفيزياء

105 _____ 1. الحركة

105 _____ 1.1 الحركة الانسحابية (الانتقالية)

107 _____ 2.1 السقوط والقذف

109 _____ 3.1 الحركة الدورانية

111 _____ 2. القوانين الأساسية في الديناميك

112 _____ 1.2 الحركة الانسحابية

113 _____ 2.2 الحركة الدورانية

115 _____ 3. الاهتزازات والموجات

116 _____ 1.3 الاهتزازات التوافقية (الحرّة، غير المتخامدة)

116 _____ 2.3 الاهتزاز المرن

117 _____ 3.3 اهتزاز النواس

118 _____ 4.3 الاهتزاز التوافقي المتخامد

118 _____ 5.3 الموجات

118 _____ 4. ميكانيك الموائع (الميكانيك الهيدروليكي)

119 _____ 1.4 الموائع الساكنة

120 _____ 4.2 الموائع المتحركة (المتدفقة)

123 _____ 5. علم الحرارة

123 _____ 1.5 تمدد الأجسام الصلبة

125 _____ 2.5 الطاقة الحرارية

130 _____ 6. علم الصوتيات

130 _____ 1.6 سرعة الصوت c

131	_____	Doppler	أثر	2.6
132	_____	قيم الحقل الصوتي	قيم الحقل الصوتي	3.6
134	_____	البصريات	البصريات	7.
134	_____	المرايا والعدسات	المرايا والعدسات	1.7
136	_____	الأجهزة البصرية	الأجهزة البصرية	2.7
137	_____	هندسة الإضاءة	هندسة الإضاءة	3.7
138	_____	الفيزياء الذرية	الفيزياء الذرية	8.
139	_____	الجزئيات الأولية الهامة	الجزئيات الأولية الهامة	1.8
139	_____	بنية الذرة	بنية الذرة	2.8
140	_____	مقادير وكتلة الذرة	مقادير وكتلة الذرة	1.2.8
141	_____	الكتلة والطاقة	الكتلة والطاقة	2.2.8
141	_____	النشاط الإشعاعي	النشاط الإشعاعي	3.8

145 _____ الميكانيك الهندسي

145	_____	توازن الأجسام الصلبة	توازن الأجسام الصلبة	1.
145	_____	القوى في نظام مركزي مستوي	القوى في نظام مركزي مستوي	1.1
145	_____	التأثير المشترك لقوتين (محصلة قوتين)	التأثير المشترك لقوتين (محصلة قوتين)	1.1.1
146	_____	محصلة عدة قوى	محصلة عدة قوى	2.1.1
147	_____	تركيب قوى في نظام قوى مستوية عام	تركيب قوى في نظام قوى مستوية عام	2.1
147	_____	عزم قوة بالنسبة لنقطة O	عزم قوة بالنسبة لنقطة O	1.2.1
148	_____	عزم عدة قوى	عزم عدة قوى	2.2.1
148	_____	محصلة قوى عشوائية في المستوي	محصلة قوى عشوائية في المستوي	3.2.1
149	_____	تحليل قوة وفق ثلاث اتجاهات معطاة مسبقاً	تحليل قوة وفق ثلاث اتجاهات معطاة مسبقاً	4.2.1
150	_____	توازن القوى	توازن القوى	3.1
150	_____	توازن القوى المستوية	توازن القوى المستوية	1.3.1

- 3.2.1 توازن القوى الفراغية _____ 151
- 4.1 تحديد مركز النقل _____ 152
- 1.4.1 مركز النقل لخط متجانس _____ 152
- 2.4.1 مركز نقل السطوح _____ 153
- 5.1 ردود الأفعال في المساند _____ 156
- 1.5.1 ردود أفعال المساند في الجوائز المقررة ستاتيكيًا _____ 156
- 2.5.1 ردود أفعال المساند في الجوائز غير المقررة ستاتيكيًا _____ 157
- 6.1 ردود أفعال المقاطع في الجوائز _____ 158
- 1.7 تحديد قوى القضبان في الجوائز الشبكية المستوية _____ 160
- 1.7.1 بطريقة معطط القوى معطط (Cremon) _____ 160
- 2.7.1 طريقة المقاطع بطريقة Ritter (الشكل 139) _____ 161
- 3.7.1 طريقة نقطة المقدم (مقطع دائري) _____ 161
- 1.8 الاحتكاك _____ 162
- 9.1 البكرات وأنواعها _____ 167
2. التحريك _____ 168
- 1.2 الحركة الانتقالية - مبدأ d'Alembert _____ 168
- 2.2 الحركة الدورانية حول محور ثابت (الشكل 162) _____ 171
- 3.2 عزوم العطالة الكتلية _____ 172
- 2.4 الحركة العامة - الحركة الانتقالية والدورانية _____ 174
3. علم مقاومة المواد _____ 177
- 1.3 مصطلحات أساسية _____ 177
- 1.1.3 الإجهادات الحدية (انظر الشكل 173) _____ 177
- 2.1.3 الإجهادات والانفعالات أثناء الشد والضغط _____ 178
- 3.1.3 الإجهادات والانفعالات أثناء الانسحاب _____ 179
- 4.1.3 الإجهادات المسموح بها _____ 180

180	5.1.3 الأمان	
181	6.1.3 المقاومة الدائمة	
183	2.3 إجهادات الضغط والشد وحيدة المحور	
184	3.3 ضغط السطوح	
184	3.4 مقاومة القص	
185	5.3 الانعطاف	
185	1.5.3 انعطاف الجوائز المستقيمة	
191	2.5.3 الانعطاف ثنائي المحور - الانعطاف المائل	
194	3.5.3 الجوائز ذات إجهاد الانعطاف المتساوي	
195	4.5.3 تغيرات شكل الجوائز المنعطفة (المجهدة بالانعطاف)	
196	5.3 عزم وتدلي الانعطاف للجوائز ثابتة المقطع	
196	6.5.3 إجهادات الانسحاب أثناء الانعطاف	
198	6.3 إجهاد القتل للقضبان الهرمية	
198	1.6.3 قضبان القتل ذات المقطع الدائري	
207	2.6.3 قضبان القتل ذات المقطع غير الدائري	
209	7.3 التحنيب	
211	1.7.3 التحنيب المرن حسب Euler،	
211	2.7.3 التحنيب غير المرن حسب Tetmajer	
212	3.7.3 طريقة Omega	
212	3.8 المقاومة المركبة	
212	1.8.3 الإجهادات ذات النوع المتماثل	
214	2.8.3 الإجهادات غير المتماثلة - الإجهادات الناعمة والماسية	

- علم الحرارة الهندسي _____ 217
1. تعاريف أساسية _____ 218
- 1.1 قيم الحالة الحرارية والوحدات _____ 218
- 2.1 الحرارة والسعة الحرارية النوعية _____ 221
- 3.1 معادلة الحالة الحرارية للغازات المثالية _____ 224
- 4.1 عمل تغيير الحجم، العمل الهندسي، الطاقة الداخلية الاتتالي،
- الانتروبي، سحب الطاقة _____ 225
2. مزج الغازات _____ 227
- 1.2 مزج الغازات تحت حجم غاز ثابت _____ 229
- 2.2 مزج الغازات المتدفقة _____ 229
3. القانون الأساسي الأول في الترموديناميك _____ 230
4. تغيرات الحالة للغازات المثالية _____ 231
- 1.4 ثبوت الحجم، $V = \text{const}$ (الشكل 204) _____ 231
- 4.2 بثبوت الضغط، $p = \text{const}$ (الشكل 205) _____ 231
- 3.4 بثبوت درجة الحرارة (ايزوترم) $t = \text{const}$ (الشكل 206) _____ 232
- 4.4 بثبوت كمية الحرارة $Q = 0$ ، $S = \text{const}$ (الشكل 207) _____ 232
- 5.4 متعدد التغيرات (البوليتروبي) _____ 233
5. القانون الأساسي الثاني في الترموديناميك _____ 235
6. الدارات _____ 236
- 1.6 دارة Carno (الشكل 211) _____ 3236
- 2.6 دارة Otto المثالية _____ 237
- 3.6 دارة محركات Diesel المثالية _____ 238
- 4.6 الدارة المثالية للعنفات الغازية _____ 239
- 5.6 الدارة المثالية لآلات الهواء الساخن دارة (Jol) _____ 240
- 6.6 دارة آلة التبريد _____ 241

241	دائرة المضخة الحرارية (توليد الحرارة)	7.6
242	دائرة الضاغط	8.6
243	بخار الماء	7.
247	الهواء الرطب	8.
250	انتقال الحرارة	9.
250	انتقال الحرارة بالحمل	1.9
252	انتقال الحرارة	2.9
254	انتقال الحرارة بالإشعاع	3.9
254	انتقال الحرارة بالإشعاع والحمل	4.9
255	النفوذ الحراري	5.9
257	المبادل الحراري	6.9

259 الهندسة الكهربائية

259	هندسة التيار المستمر العامة	1.
260	قانون Ohm	1.1
261	قانون Kirchhoff	2.1
262	توصيل المقاومات ومنايع الجهد	3.1
264	توصيل الشبكات Kirchoff	4.1
267	قياسات التيار المستمر	5.1
267	قياس المقاومة	6.1
269	7.1 قياس الاستطاعة من خلال قياس الجهد والتيار	
270	الحقل المغناطيسي	2.
270	قواعد المغنطة الكهربائية	1.2
273	تأثيرات الحقل المغناطيسي	2.2
274	التحريض الذاتي	3.2

- 277 _____ 4.2 طاقة الحقل المغناطيسي
- 279 _____ 3. الحقل الكهربائي
- 282 _____ 4. هندسة التوتر العالي
- 283 _____ 5. هندسة التيار المتناوب
- 284 _____ 1.5 التوصيل على التسلسل لـ R-L-C
- 287 _____ 2.5 التوصيل على التوازي لـ R-L-C
- 287 _____ 6. الإلكترونيات
- 294 _____ 7. الاستطاعات
- 298 _____ 8. المحولات (الشكل 286)

301 _____ هندسة التحكم

- 301 _____ 1. الوصف
- 302 _____ 1.1 سمات عناصر النقل
- 304 _____ 2.1 سمات عناصر الانتقال أثناء التوصيل المتسلسل بانتظام
- 304 _____ 2. توصيلات عناصر الانتقال
- 305 _____ 3. قواعد الضبط (التعير)
- 306 _____ 4. بديهيات الاستقرار حسب Hurwitz
- 306 _____ 5. المنظمات الخطية الدائمة
- 309 _____ 6. المنظمات غير الدائمة
- 311 _____ 7. الإرجاع (الإعادة)
- 312 _____ 8. المنظم الدائري الخطي الدائم الحلقي
- 313 _____ 9. تحويلات Laplace
- 313 _____ 1.9 قواعد الحساب والتطابق

317	تصميم الآلات
317	المقدمة (المدخل)
324	1. براغي التثبيت
324	1.1 براغي الربط
325	1.1.1 البراغي المجهدة طولياً بدون إجهاد مسبق
326	2.1.1 البراغي المجهدة طولياً مع إجهاد مسبق
328	3.1.1 البراغي المجهدة عرضياً
329	2. براغي الحركة
330	3. الربط بالشرار والخوابير
330	1.3 الربط بالشرار
330	2.3 الربط بالخوابير
332	4. الروابط الأحكام للمحاور والصرّة
332	1.4 نوابض الأحكام (الضغط)
332	2.4 المساقط الجانبية للمحاور والصرّة
333	5. روابط الضغط
336	6. وصلات الربط بالبرشيم
337	7. النوابض
337	1.7 النوابض المجهدة بالانعطاف
338	2.7 النوابض المجهدة بالفتل
340	8. المحاور الثابتة والمحاور الدوارة
340	1.8 القوى وقوى ردود الأفعال (قوى المضاحم)
341	2.8 عزوم القتل والانعطاف
342	3.8 الإجهادات
343	4.8 متانة التشكيل والمتانة الدائمة
344	5.8 تغييرات الشكل

- 346 _____ 6.8 الاهتزازات
- 347 _____ 9. المضامع الانزلاقية (المدحرجات)
- 347 _____ 1.9 المضامع الانزلاقية مع احتكاك ممزوج (مضجع تأكل)
- 349 _____ 2.9 المدحرجات الهيدروديناميكية
- 350 _____ 10. المدحرجات الأسطوانية
- 353 _____ 11. السيرور
- 354 _____ 12. المسننات
- 354 _____ 1.12 هندسة وآلية التعشيق
- 359 _____ 2.12 القوى في المسننات
- 362 _____ 3.12 قابلية الحمل
- 366 _____ 4.12 آلية المسننات
- 368 _____ 13. آلية الذراع المرفقية
- 369 _____ 14. العناصر الهيدروليكية
- 369 _____ 1.14 المعادلات الأساسية
- 371 _____ 2.14 المضخات
- 373 _____ 3.14 المحركات

377 _____ آلات العمل والقوة

- 377 _____ 1. حساب الاحتراق
- 377 _____ 1.1 حرارة الاحتراق وقيم التسخين
- 378 _____ 2.1 حساب الاحتراق للمواد الصلبة والسائلة
- 380 _____ 3.1 حساب الاحتراق للمواد الغازية
- 381 _____ 4.1 تحديد عامل نسبة الهواء
- 381 _____ 5.1 درجة حرارة الاحتراق النظرية t_{th} بـ C°
- 382 _____ 2. مولدات البخار

- 385 _____ 3. الآلات البخارية المكبسية
- 385 _____ 1.3 الاستطاعات والمراديد
- 387 _____ 2.3 الاستطاعة الدليلية من المخطط الدليلي
- 388 _____ 4. العنقات البخارية
- 390 _____ 1.4 الاستطاعات والمراديد
- 392 _____ 2.4 استثمار الطاقة في القرص القائد والقرص الدوار
- 393 _____ 3.4 حساب مقاطع التدفق
- 394 _____ 4.4 العمل في محيط القرص $h_{in}\Delta$ والمردود في المحيط η
- 396 _____ 5.4 عرض الضياعات لمرحلة في عنفة والمردود الداخلي المرحلي η
- 396 _____ 5. آلات قوى الاحتراق
- 396 _____ 1.5 الدارات المثالية لآلات قوى الاحتراق:
- 397 _____ 2.5 دارات المحركات الكاملة (التامة)
- 399 _____ 3.5 الأبعاد، المراديد والاستطاعات
- 401 _____ 6. المضخات المكبسية والمضخات الدوارة
- 403 _____ 1.6 المضخات المكبسية
- 404 _____ 2.6 المضخات الدوارة - المكثفات الدوارة
- 405 _____ 3.6 الاستطاعات والمراديد في المضخات الدورانية
- 406 _____ 4.6 سلوك المضخات الدورانية والمكثفات الدورانية
- 408 _____ 5.6 أجهزة سحب الهواء
- 408 _____ 6.6 المكثفات الدورانية
- 409 _____ 7. المكثفات المكبسية
- 411 _____ 1.7 الأبعاد، الاستطاعات والمراديد

413	هندسة الإنتاج والتشكيل
413	1. التشكيل والقص
413	1.1 التشكيل
419	2.1 التشكيل، القوة والعمل اللازم
419	1.2.1 السحب
422	1.2.2 ضغط السيلان
425	3.2.1 سحب الأسلاك والقضبان
426	4.2.1 السحب العميق مع ختم التشكيل
429	5.2.1 الثني
431	3.1 القص (القص المتوازي)
432	2. الخراطة
432	2.1 علاقات الخراطة الأساسية
440	2.2 حساب قوى القطع، استطاعة القطع والتشغيل
440	1.2.2 الخراطة
441	2.2.2 القشط والصدم
442	3.2.2 الثقب
445	4.2.2 السحل
445	5.2.2 الحك
445	6.2.2 التفريغ
447	7.2.2 التفريز
452	8.2.2 التخليخ، الصقل
452	3.2 حساب الزمن الأساسي للآلة tGm بـ min (الزمن الرئيسي)
452	1.3.2 الخراطة
455	2.3.2 القشط والصدم
456	3.3.2 الثقب، والإنزال

457 _____ التفريغ (التجفيف) 4.3.2

457 _____ التفريز 5.3.2

459 _____ التحليخ 6.3.2

473 _____ جدول المحتويات

TECHNICAL POCKET REFERENCE FOR ENGINEERS

تبرز أهمية هذا الكتاب لكونه يحتوي على كافة القوانين العلمية والمعادلات الهندسية المستخدمة في شتى أنواع العلوم. بالإضافة إلى الواحدات والجداول والرسوم التوضيحية الخاصة بكل علم. يشمل هذا الكتاب العلوم المتنوعة التالية:

- الرياضيات.
- المعلوماتية.
- الفيزياء (ويتضمن: الاهتزازات والموجات وميكانيك الموائع والحرارة والصوت).
- الفيزياء الذرية.
- الميكانيك الهندسي.
- الهندسة الكهربائية.
- الهندسة الإلكترونية.
- هندسة التحكم.
- تصميم الآلات.
- الآلات الحرارية.
- هندسة تشكيل المعادن



30017



4520R0560400



<http://www.raypub.com>